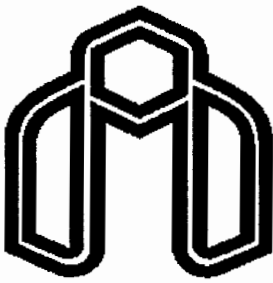


الله



دانشگاه صنعتی شهرود

پروژه کارشناسی ارشد

طراحی و شبیه سازی کنترل برداری موتور الکتری بدون حسگر
سرعت با استفاده از شبکه عصبی

استاد راهنمای: دکتر علی دستفان

استاد مشاور: دکتر مصطفی محمدیان

دانشجو: علی نقدی نژاد

شهریور ۱۳۸۴

تقدیم به: پدر و مادر عزیز و مهربانم که
همواره مشوق و راهنمایم بوده‌اند

تقدیر و تشکر:

بجاست که از زحمات بیشایی استاد ارجمند جناب آقای دکتر دستفان و همچنین از راهنمایی‌های استاد مشاور محترم جناب آقای دکتر محمدیان که همواره مورد لطف و عنایت بیدریغ این عزیزان قرار داشته‌ام، تشکر و قدردانی نمایم.

چکیده:

مقدار دقیق سرعت یکی از پارامترهای مهم در کنترل موتور القایی می باشد. ساده ترین روش اندازه‌گیری سرعت بوسیله حسگر سرعت از روی محور موتور می باشد. اما بکارگیری حسگر سرعت در محرکه الکتریکی باعث افزایش قیمت، کاهش قابلیت اطمینان سیستم و ناتوانی عملکرد محرکه الکتریکی در محیطهای کاری نامساعد می شود و عاملی برای ورود اختشاش و نویز به سیستم نیز می باشد. بنابراین سعی می شود که با حذف حسگر سرعت و جایگزینی آن با یک تخمینگر سرعت از مواجه شدن با مشکلات فوق اجتناب گردد.

شبکه‌های عصبی به عنوان ابزارهای قدرتمند در تخمین وقایع مختلف، امروزه یکی از مباحث پرکاربرد علوم مهندسی است. این مقوله برای دستیابی بشر به سیستم‌های هوشمند بسیار مورد توجه قرار گرفته است. موتورهای القایی نیز به خاطر پیچیدگیهایی که در رفتار آنها وجود دارد دارای مدل ریاضی دقیقی نیستند تا بتوان از آنها در طراحی کنترل کننده‌ها استفاده نمود. اما شبکه‌های عصبی از آنجایی که از روی اطلاعات آماری شکل می‌گیرند، می‌توانند رفتار سیستم را آنگونه که هست یادگرفته و کنترل کنند. در این پایان نامه، ابتدا کنترل برداری غیر مستقیم بر روی موتور القایی ۱/۵ کیلووات طراحی و شبیه سازی گردید و عملکرد آن در شرایط مختلف مورد بررسی قرار گرفت.

در ادامه روش‌های مختلف تخمین سرعت، نظری شبکه عصبی و تخمینگر تطبیقی با مدل مرجع (MRAS) برای تعیین مقدار سرعت در موتور القایی بدون استفاده از حسگر سرعت بررسی و شبیه سازی شده است. شبکه عصبی در دو حالت همزمان و غیرهمzman آموزش داده شده است. سپس عملکرد سیستم در شرایط مختلف مورد بررسی قرار گرفت. نتایج حاصله، عملکرد قابل اطمینان این روش‌های تخمین سرعت موتور القایی را نشان می‌دهند.

کلمات کلیدی: موتور القایی، کنترل برداری، شبکه عصبی، تخمینگر سرعت

فهرست مطالب

۱.....	فصل اول: مقدمه
۵.....	فصل دوم: مدل دینامیکی موتور القایی
۶.....	۱-۲ مقدمه
۶.....	۲-۲ ساختار ماشین های القایی سه فاز
۸.....	۳-۲ معادله های ولتاژ در متغیرهای ماشین القایی
۱۱.....	۴-۲ معادله گشتاور در متغیرهای ماشین
۱۲.....	۵-۲ معادله های تبدیل برای مدارهای روتور
۱۴.....	۶-۲ معادله های ولتاژ در متغیرهای دستگاه مرجع اختیاری
۱۷.....	۷-۲ معادله گشتاور در متغیرهای دستگاه مرجع اختیاری
۱۸.....	۸-۲ معادلات فضای حالت
۱۹.....	۹-۲ تحلیل حالت دائمی
۲۱.....	۱۰-۲ خلاصه
۲۲.....	فصل سوم: روشهای کنترل موتور القایی
۲۳.....	۱-۳ مقدمه
۲۳.....	۲-۳ روشهای کنترل موتور القایی
۲۴.....	۳-۳ کنترل اسکالر و انواع روشهای آن
۲۵.....	۱-۳-۳ کنترل ولتاژ استاتور
۲۶.....	۲-۳-۳ کنترل ولتاژ روتور
۲۶.....	۳-۳-۳ کنترل فرکانس استاتور
۲۷.....	۴-۳-۳ کنترل فرکانس و ولتاژ استاتور
۲۸.....	۵-۳-۳ کنترل حلقه بسته
۲۹.....	۴-۳ کنترل برداری
۲۹.....	۱-۴-۳ شباهتهای موتور DC و موتور القایی در حالت کنترل برداری
۳۱.....	۲-۴-۳ نحوه اجرای کنترل برداری موتور القایی

۳۲	۳-۴-۳ جهت یابی شار
۳۴	۴-۴-۳ کنترل برداری مستقیم
۳۶.....	۱-۴-۴-۳ معايب کنترل برداری مستقیم
۳۶.....	۵-۴-۳ کنترل برداری غير مستقیم
۴۳	۳ خلاصه: ۵-۳
۴۴	فصل چهارم: شبکه‌های عصبی
۴۵	۱-۴ مقدمه
۴۶	۲-۴ مدل نرون
۴۷	۱-۲-۴ توابع انتقال
۴۹	۲-۲-۴ نرون با ورودی برداری
۵۰	۳-۴ ساختان شبکه عصبی
۵۰	۱-۳-۴ یک لایه از نرونها
۵۱	۲-۳-۴ لایه‌های چندگانه از نرون ها
۵۲	۴-۴ شبکه پرسپترون
۵۳	۱-۴-۴ مدل نرون پرسپترون
۵۴	۲-۴-۴ قوانین یادگیری
۵۵	۳-۴-۴ یادگیری پرسپترون
۵۵	۴-۴-۴ مزايا و محدوديتها
۵۶	۵-۴ شبکه پس انتشار
۵۶.....	۱-۵-۴ مدل نرون
۵۸	۲-۵-۴ شبکه پيش خورد
۵۸	۸-۴ خلاصه:
۵۹	فصل پنجم: روش‌های تخمین سرعت موتور القایی بدون استفاده از حسگر سرعت
۶۰	۱-۵ مقدمه
۶۰	۲-۵ روش‌های کنترل سرعت موتور القایی بدون استفاده از انکدر
۶۱.....	۱-۲-۵ کنترل حلقه باز سرعت
۶۱.....	۱-۲-۵ کنترل حلقه باز بر مبنای استفاده از معادلات موتور
۶۱.....	۲-۱-۵ کنترل حلقه باز بر مبنای ساختار فیزیکی موتور

۶۲.....	۲-۲-۵ کنترل حلقه بسته با تخمین سرعت
۶۲.....	۳-۵ انواع روش‌های تخمین سرعت موتور القایی
۶۲.....	۱-۳-۵ تخمینگر معمولی سرعت
۶۴.....	۲-۳-۵ سیستم تطبیقی با مدل مرجع
۶۸.....	۳-۳-۵ رویتگر لیونبرگر
۶۹.....	۴-۳-۵ روش فیلتر کالمن
۷۱.....	۵-۳-۵ تخمین سرعت با استفاده از شبکه های عصبی
۷۴.....	۱-۵-۳-۵ شبکه عصبی با آموزش همزمان
۷۶.....	۲-۵-۳-۵ شبکه عصبی با آموزش غیرهمzman
۷۷.....	۶-۳-۵ تخمین سرعت بر اساس هارمونیک های ناشی از شیار روتور
۷۹.....	۴-۵ ارزیابی و مقایسه روش‌های مختلف کنترل برداری بدون حسگر
۷۹.....	۱-۴-۵ عملکرد حالت گذرا (عملکرد دینامیکی)
۷۹.....	۲-۴-۵ عملکرد حالت دائم (میزان خطا در حالت دائم)
۸۰.....	۳-۴-۵ حساسیت به تغییر پارامترها
۸۰.....	۴-۴-۵ حساسیت نسبت به نویز
۸۰.....	۵-۴-۵ جنبه اقتصادی طرح
۸۱.....	۶-۴-۵ پیچیدگی طراحی
۸۱.....	۷-۴-۵ جدول مقایسه
۸۲.....	۶-۵ خلاصه
۸۳.....	فصل ششم: شبیه سازی
۸۴.....	۱-۶ مقدمه
۸۴.....	۲-۶ شبیه سازی موتور القایی با کنترل برداری غیر مستقیم
۸۵.....	۱-۲-۶ مشخصات موتور
۸۵.....	۲-۲-۶ بلوک دیاگرام کلی موتور و کنترل برداری غیر مستقیم
۸۶.....	۳-۲-۶ بلوکهای تبدیل مختصات از مرجع ثابت به دور
۸۷.....	۴-۲-۶ بلوکهای تبدیل مختصات از مرجع دور به ثابت
۸۸.....	۵-۲-۶ بلوکهای تولیدکننده فرکانس لغزش و شار رتور
۸۹.....	۶-۲-۶ بلوکهای کنترل سرعت و جریانهای استاتور
۹۰.....	۷-۲-۶ بلوک یکسوساز قدرت

.....	8-۲-۶ بلوک اینورتر
9۱	
.....	۹-۲-۶ تعیین ضرایب کنترل کننده ها
9۳	
.....	۱۰-۲-۶ نتایج حاصل از شبیه سازی
9۳	
.....	۱-۱۰-۲-۶ پاسخ موتور در سرعت نامی
9۴	
.....	۲-۱۰-۲-۶ پاسخ موتور به تغییر پله ای در سرعت مرجع
9۶	
.....	۳-۱۰-۲-۶ پاسخ موتور به تغییر پله ای در بار
9۸	
.....	۴-۱۰-۲-۶ تغییرات اینرسی موتور
1۰۰	
.....	۳-۶ شبیه سازی تخمین سرعت موتورالقایی بدون سنسور سرعت با استفاده از تخمینگر تطبیقی با
1۰۳	(MRAS) مدل مرجع
.....	۶-۳-۶ پاسخ موتور در سرعت نامی
1۰۵	
.....	۶-۳-۶ پاسخ موتور به تغییر پلهای در سرعت مرجع
1۰۷	
.....	۶-۳-۶ پاسخ موتور به تغییر پله ای در بار
1۰۹	
.....	۶-۳-۶ تغییرات مقاومت روتور
1۱۱	
.....	۶-۳-۶ تغییرات اینرسی موتور
1۱۳	
.....	۴-۶ شبیه سازی تخمین سرعت موتورالقایی بدون سنسور سرعت با استفاده از شبکه عصبی با آموزش
1۱۵	غیر همزمان
.....	۱-۴-۶ طراحی شبکه عصبی غیر همزمان
1۱۶	
.....	۱-۴-۶ نتایج حاصل از شبیه سازی موتور القایی با تخمینگر عصبی با آموزش غیرهمzman
1۱۹	
.....	۱-۲-۴-۶ پاسخ موتور در سرعت نامی
1۲۱	
.....	۲-۲-۴-۶ پاسخ موتور به تغییر پله ای در سرعت مرجع
1۲۲	
.....	۳-۲-۴-۶ پاسخ موتور به تغییر پلهای در بار
1۲۵	
.....	۵-۶ شبیه سازی موتور القایی کنترل برداری غیر مستقیم با استفاده از تخمینگر عصبی سرعت
1۲۷	با آموزش همزمان
.....	۱-۵-۶ انتخاب زمان نمونه برداری مناسب
1۲۹	
.....	۲-۵-۶ نتایج حاصل از شبیه سازی
1۲۹	
.....	۱-۲-۵-۶ تغییرات مقاومت روتور
1۳۱	
.....	۲-۲-۵-۶ پاسخ موتور در سرعت نامی
1۳۳	
.....	۳-۲-۵-۶ پاسخ موتور به تغییر پلهای در سرعت مرجع
1۳۵	
.....	۴-۲-۵-۶ پاسخ موتور به تغییر پلهای در بار

١٣٧.....	٦-٦ خلاصه:
١٣٩	فصل هفتم: نتیجه گیری
١٤١.....	مراجع:

فهرست اشکال

شکل ۱-۲ - ماشین القایی متقارن ۲ قطب، ۳ فاز با اتصال ستاره ۸
شکل ۲-۲ - دستگاه مرجع ساکن (abc) و دوفاز (dq) ۱۴
شکل ۲-۳ - مدارهای معادل یک ماشین القایی متقارن سه فاز در دستگاه مرجع اختیاری ۱۷
شکل ۲-۵ - مدار معادل حالت دائمی یک ماشین القایی متقارن ۱۹
شکل ۲-۶ - مدار معادل حالت دائمی یک ماشین القایی متقارن ۲۰
شکل ۱-۳ - مدل مداری موتور القایی ۲۴
شکل ۲-۳ - کنترل سرعت با مقاومت رتور ۲۶
شکل ۳-۳ - مدار تولید کننده فرکانس و ولتاژ متغیر ۲۷
شکل ۵-۳ - تبدیل متغیرها برای کنترل برداری موتورهای القایی ۲۹
شکل ۶-۳ - موتور القایی با بلوک کنترل ۳۰
شکل ۷-۳ - مدار معادل موتور DC ۳۰
شکل ۸-۳ - نحوه اجرای کنترل برداری ۳۱
شکل ۹-۳ - مدار معادل موتور القایی در دستگاه مرجع ساکن (الف) محور q (ب) محور d ۳۳
شکل ۱۰-۳ - بلوک دیاگرام کنترل برداری مستقیم ۳۵
شکل ۱۱-۳ - دیاگرام برداری متغیرها در کنترل برداری غیر مستقیم ۳۷
شکل ۱۲-۳ - تبدیل از مرجع سه فاز به مرجع دو فاز ۳۹
شکل ۱۳-۳ - تبدیل از مرجع ساکن به مرجع دوار ۳۹
شکل ۱۴-۳ - بلوک تولید کننده شار رتور ۴۰
شکل ۱۵-۳ - بلوک تولید کننده فرکانس لغزش ۴۰
شکل ۱۶-۳ - بلوک کنترل کننده های سرعت، شار و جریانهای استاتور ۴۱
شکل ۱۷-۳ - تبدیل از مرجع دوار به مرجع ساکن ۴۱
شکل ۱۸-۳ - تبدیل دو فاز به سه فاز ۴۲
شکل ۱۹-۳ - بلوک دیاگرام کامل کنترل برداری غیر مستقیم ۴۳
شکل ۱-۴ - ساختار یک نرون ۴۷
شکل ۲-۴ -تابع انتقال hard-limit ۴۷
شکل ۳-۴ -تابع انتقال خطی ۴۸

۴۸ شکل ۴-۴- تابع انتقال Log-Sigmoid
۴۹ شکل ۴-۵- نرون با یک بردار ورودی
۵۰ شکل ۴-۶- ساختمان یک شبکه تک لایه
۵۱ شکل ۴-۷- ساختمان یک شبکه چند لایه
۵۲ شکل ۴-۸- مدل نرون یک شبکه پرسپترون
۵۳ شکل ۴-۹- مرز تصمیم گیری یک شبکه پرسپترون
۵۴ شکل ۴-۱۰- ساختار یک شبکه پرسپترون
۵۷ شکل ۴-۱۱- مدل نرون ساده
۵۷ شکل ۴-۱۲- تابع انتقال tan-sigmoid
۵۸ شکل ۴-۱۲- یک شبکه تک لایه با تابع انتقال logsig در خروجی
۶۳ شکل ۴-۱- بلوک تخمینگر معمولی سرعت
۶۵ شکل ۴-۲- سیستم کنترل قابل تنظیم با مدل مرجع بصورت موازی
۶۶ شکل ۴-۳- روش تخمین سرعت MRAS در سیستم کنترل برداری با مقایسه بردارهای شار
۶۸ شکل ۴-۴- رویتگر سرعت لیونبرگر
۷۰ شکل ۴-۵- بلوک دیاگرام فیلتر کالمن
۷۳ شکل ۴-۶- تخمین سرعت با مقایسه معادلات جریانی و ولتاژی شار
۷۳ شکل ۴-۷- تخمین سرعت با استفاده از شبکه عصبی به عنوان جایگزین جبرانساز(PI) و مدل جریانی شار
۷۳ شکل ۴-۸- تخمین سرعت با استفاده از شبکه عصبی به عنوان جایگزین جبرانساز سیستم(PI)
۷۸ شکل ۴-۹- شکل فاصله هواخی و توزیع شار موتور القایی
۸۶ شکل ۴-۱۰- شمای کلی مدار کنترل برداری غیر مستقیم
۸۶ شکل ۴-۱۱- تبدیل مختصات از سه فاز به دو فاز
۸۷ شکل ۴-۱۲- تبدیل جریانها از دستگاه مرجع ثابت بر روی استاتور به دستگاه مرجع دوار
۸۸ شکل ۴-۱۳- تبدیل ولتاژها از دستگاه مرجع دوار بر روی استاتور به دستگاه مرجع ثابت
۸۸ شکل ۴-۱۴- تبدیل مختصات از دو فاز به سه فاز
۸۹ شکل ۴-۱۵- بلوکهای تولیدکننده فرکانس لغزش و شار رتو
۸۹ شکل ۴-۱۶- بلوکهای کنترل سرعت ، شار و جریانهای استاتور
۹۰ شکل ۴-۱۷- مدار یکسو ساز قدرت
۹۱ شکل ۴-۱۸- بلوک مدار کنترلی، باس dc

..... شکل ۶-۱۰- ثابت زمانیهای PWM	۹۲
..... شکل ۶-۱۱- بلوک اینورتر همراه با PWM	۹۲
..... شکل ۶-۱۲- سرعت موتور	۹۴
..... شکل ۶-۱۳- جریان یک فاز موتور	۹۴
..... شکل ۶-۱۴- جریان محور d استاتور	۹۴
..... شکل ۶-۱۵- جریان مرجع محور d استاتور	۹۵
..... شکل ۶-۱۶- جریان محور q استاتور	۹۵
..... شکل ۶-۱۷- جریان مرجع محور q استاتور	۹۵
..... شکل ۶-۱۸- ولتاژ محور q استاتور	۹۵
..... شکل ۶-۱۹- ولتاژ محور d استاتور	۹۵
..... شکل ۶-۲۰- گشتاور الکترومغناطیسی	۹۵
..... شکل ۶-۲۱- گشتاور الکترومغناطیسی مرجع	۹۶
..... شکل ۶-۲۲- سرعت موتور	۹۶
..... شکل ۶-۲۳- جریان یک فاز موتور	۹۷
..... شکل ۶-۲۴- جریان محور d استاتور	۹۷
..... شکل ۶-۲۵- جریان مرجع محور d استاتور	۹۷
..... شکل ۶-۲۶- جریان محور q استاتور	۹۷
..... شکل ۶-۲۷- جریان مرجع محور q استاتور	۹۷
..... شکل ۶-۲۸- ولتاژ محور q استاتور	۹۷
..... شکل ۶-۲۹- ولتاژ محور d استاتور	۹۸
..... شکل ۶-۳۰- گشتاور الکترومغناطیسی	۹۸
..... شکل ۶-۳۱- گشتاور الکترومغناطیسی مرجع	۹۸
..... شکل ۶-۳۲- سرعت موتور	۹۸
..... شکل ۶-۳۳- جریان یک فاز موتور	۹۸
..... شکل ۶-۳۴- جریان محور d استاتور	۹۹
..... شکل ۶-۳۵- جریان مرجع محور d استاتور	۹۹
..... شکل ۶-۳۶- جریان محور q استاتور	۹۹
..... شکل ۶-۳۷- جریان مرجع محور q استاتور	۹۹
..... شکل ۶-۳۸- ولتاژ محور q استاتور	۹۹

۹۹	- ولتاژ محور d استاتور.....	شکل ۳۹-۶
۱۰۰	- گشتاور الکترومغناطیسی.....	شکل ۴۰-۶
۱۰۰	- گشتاور الکترومغناطیسی مرجع	شکل ۴۱-۶
۱۰۰	- سرعت به ازای $J=J_{nom}$	شکل ۴۲-۶
۱۰۰	- گشتاور به ازای $J=J_{nom}$	شکل ۴۳-۶
۱۰۱	- سرعت به ازای $J=0.1 * J_{nom}$	شکل ۴۴-۶
۱۰۱	- گشتاور به ازای $J=0.1 * J_{nom}$	شکل ۴۵-۶
۱۰۱	- سرعت به ازای $J=0.2 * J_{nom}$	شکل ۴۶-۶
۱۰۱	- گشتاور به ازای $J=0.2 * J_{nom}$	شکل ۴۷-۶
۱۰۱	- سرعت به ازای $J=1.0 * J_{nom}$	شکل ۴۸-۶
۱۰۲	- گشتاور به ازای $J=5 * J_{nom}$	شکل ۴۹-۶
۱۰۲	- سرعت به ازای $J=5 * J_{nom}$	شکل ۵۰-۶
۱۰۳	- بلوك دياگرام سистем کنترل برداری بهمراه تخمینگر سرعت MRAS.....	شکل ۵۲-۶
۱۰۴	- بلوك محاسبه شار تخمینی.....	شکل ۵۳-۶
۱۰۴	- بلوك محاسبه شار واقعی.....	شکل ۵۴-۶
۱۰۵	- بلوك محاسبه سرعت تخمینی رotor با استفاده از روش MRAS.....	شکل ۵۵-۶
۱۰۶	- سرعت موتور.....	شکل ۵۶-۶
۱۰۶	- جريان يك فاز موتور.....	شکل ۵۷-۶
۱۰۶	- جريان محور d استاتور.....	شکل ۵۸-۶
۱۰۶	- جريان محور q استاتور.....	شکل ۵۹-۶
۱۰۶	- جريان محور q استاتور.....	شکل ۶۰-۶
۱۰۶	- جريان محور q استاتور.....	شکل ۶۱-۶
۱۰۷	- ولتاژ محور q استاتور.....	شکل ۶۲-۶
۱۰۷	- ولتاژ محور d استاتور.....	شکل ۶۳-۶
۱۰۷	- گشتاور الکترومغناطیسی.....	شکل ۶۴-۶
۱۰۷	- گشتاور الکترومغناطیسی مرجع.....	شکل ۶۵-۶
۱۰۸	- سرعت موتور.....	شکل ۶۶-۶
۱۰۸	- جريان يك فاز موتور.....	شکل ۶۷-۶

..... ۱۰۸	شکل ۶-۶- جریان محور d استاتور.....
..... ۱۰۸	شکل ۶-۶- جریان مرجع محور d استاتور.....
..... ۱۰۸	شکل ۶-۷- جریان محور q استاتور.....
..... ۱۰۸	شکل ۶-۷- جریان مرجع محور q استاتور.....
..... ۱۰۹	شکل ۶-۷۲- ولتاژ محور q استاتور.....
..... ۱۰۹	شکل ۶-۷۳- ولتاژ محور d استاتور.....
..... ۱۰۹	شکل ۶-۷۴- گشتاور الکترومغناطیسی
..... ۱۰۹	شکل ۶-۷۵- گشتاور الکترومغناطیسی مرجع.....
..... ۱۱۰	شکل ۶-۷۶- سرعت موتور
..... ۱۱۰	شکل ۶-۷۷- جریان یک فاز موتور
..... ۱۱۰	شکل ۶-۷۸- جریان محور d استاتور
..... ۱۱۰	شکل ۶-۷۹- جریان مرجع محور d استاتور
..... ۱۱۰	شکل ۶-۸۰- جریان محور q استاتور
..... ۱۱۰	شکل ۶-۸۱- جریان مرجع محور q استاتور
..... ۱۱۱	شکل ۶-۸۲- ولتاژ محور q استاتور
..... ۱۱۱	شکل ۶-۸۳- ولتاژ محور d استاتور
..... ۱۱۱	شکل ۶-۸۴- گشتاور الکترومغناطیسی
..... ۱۱۱	شکل ۶-۸۵- گشتاور الکترومغناطیسی مرجع
..... ۱۱۲	شکل ۶-۸۶- سرعت روتور به ازای $Rr = 1/15 * Rr$
..... ۱۱۲	شکل ۶-۸۷- سرعت روتور به ازای $Rr = 1 * Rr$
..... ۱۱۲	شکل ۶-۸۸- سرعت روتور به ازای $Rr = 0.8 * Rr$
..... ۱۱۲	شکل ۶-۸۹- سرعت روتور به ازای $Rr = 1 * Rr$
..... ۱۱۳	شکل ۶-۹۰- سرعت به ازای $J = J_{nom}$
..... ۱۱۳	شکل ۶-۹۱- سرعت به ازای $J = 5 * J_{nom}$
..... ۱۱۳	شکل ۶-۹۲- سرعت به ازای $J = 0.2 * J_{nom}$
..... ۱۱۳	شکل ۶-۹۳- سرعت به ازای $J = 0.1 * J_{nom}$
..... ۱۱۵	شکل ۶-۹۴- ساختار داخلی شبکه عصبی
..... ۱۱۶	شکل ۶-۹۵- ورودی های مختلف برای آموزش شبکه عصبی
..... ۱۱۷	شکل ۶-۹۵- فلوچارت محاسبه بهترین الگوریتم

شکل ۶-۹۶-۶	- نمودار خطابا الگوریتم Levenberg-Marquardt	۱۱۷
شکل ۶-۹۷-۶	- نمودار خطابا الگوریتم Resilient backpropagation	۱۱۸
شکل ۶-۹۸-۶	- نمودار خطابا الگوریتم Fletcher-Reeves conjugate gradient	۱۱۸
شکل ۶-۹۹-۶	- نمودار خطابا الگوریتم Basic gradient descent	۱۱۸
شکل ۶-۱۰۰-۶	- نمودار خطابا الگوریتم Levenberg-Marquardt بازای ۲۰۰۰ تکرار و ۳۰ نرون.	۱۱۹
شکل ۶-۱۰۱-۶	- سرعت موتور	۱۱۹
شکل ۶-۱۰۲-۶	- جریان یک فاز موتور	۱۱۹
شکل ۶-۱۰۳-۶	- جریان محور d استاتور	۱۲۰
شکل ۶-۱۰۴-۶	- جریان محور q استاتور	۱۲۰
شکل ۶-۱۰۵-۶	- ولتاژ محور q استاتور	۱۲۰
شکل ۶-۱۰۶-۶	- ولتاژ محور d استاتور	۱۲۰
شکل ۶-۱۰۷-۶	- گشتاور الکترومغناطیسی	۱۲۰
شکل ۶-۱۰۸-۶	- سرعت موتور	۱۲۱
شکل ۶-۱۰۹-۶	- جریان یک فاز موتور	۱۲۱
شکل ۶-۱۱۰-۶	- جریان محور d استاتور	۱۲۱
شکل ۶-۱۱۱-۶	- جریان مرجع محور d استاتور	۱۲۱
شکل ۶-۱۱۲-۶	- جریان محور q استاتور	۱۲۲
شکل ۶-۱۱۳-۶	- جریان مرجع محور q استاتور	۱۲۲
شکل ۶-۱۱۴-۶	- گشتاور الکترومغناطیسی	۱۲۲
شکل ۶-۱۱۵-۶	- سرعت موتور	۱۲۳
شکل ۶-۱۱۶-۶	- جریان یک فاز موتور	۱۲۳
شکل ۶-۱۱۷-۶	- جریان محور d استاتور	۱۲۳
شکل ۶-۱۱۸-۶	- جریان مرجع محور d استاتور	۱۲۳
شکل ۶-۱۱۹-۶	- جریان محور q استاتور	۱۲۳
شکل ۶-۱۲۰-۶	- جریان مرجع محور q استاتور	۱۲۳
شکل ۶-۱۲۱-۶	- ولتاژ محور d استاتور	۱۲۴
شکل ۶-۱۲۲-۶	- ولتاژ محور q استاتور	۱۲۴
شکل ۶-۱۲۳-۶	- گشتاور الکترومغناطیسی	۱۲۴
شکل ۶-۱۲۴-۶	- بلوك دياگرام کلي موتور القايي بدون سنسور سرعت با استفاده از تخمینگر عصبي.	۱۲۶

..... شکل ۱۲۵-۶ - بلوک دیاگرام محاسبه شار	۱۲۶
..... شکل ۱۲۶-۶ - بلوک دیاگرام محاسبه سرعت روتور	۱۲۸
..... شکل ۱۲۷-۶ - سرعت به ازای زمان نمونه برداری ۱۰ میلی ثانیه در سیستم کنترل برداری موتور القایی با استفاده از شبکه عصبی با آموزش همزمان	۱۲۸
..... شکل ۱۲۸-۶ - سرعت به ازای زمان نمونه برداری ۱ میلی ثانیه در سیستم کنترل برداری موتور القایی با استفاده از شبکه عصبی با آموزش همزمان	۱۲۸
..... شکل ۱۲۹-۶ - سرعت به ازای زمان نمونه برداری ۱،۰ میلی ثانیه در سیستم کنترل برداری موتور القایی با استفاده از شبکه عصبی با آموزش همزمان	۱۲۸
..... شکل ۱۳۰-۶ - سرعت روتور به ازای $Rr = 1/3 * Rr$	۱۲۹
..... شکل ۱۳۱-۶ - گشتاور به ازای $Rr = 1/3 * Rr$	۱۲۹
..... شکل ۱۳۲-۶ - سرعت روتور به ازای $Rr = 1/2 * Rr$	۱۳۰
..... شکل ۱۳۳-۶ - گشتاور به ازای $Rr = 1/2 * Rr$	۱۳۰
..... شکل ۱۳۴-۶ - سرعت روتور به ازای $Rr = 1 * Rr$	۱۳۰
..... شکل ۱۳۵-۶ - گشتاور به ازای $Rr = 1 * Rr$	۱۳۰
..... شکل ۱۳۶-۶ - سرعت روتور به ازای $Rr = 0.8 * Rr$	۱۳۰
..... شکل ۱۳۷-۶ - گشتاور به ازای $Rr = 0.8 * Rr$	۱۳۰
..... شکل ۱۳۸-۶ - سرعت موتور	۱۳۱
..... شکل ۱۳۹-۶ - جریان یک فاز موتور	۱۳۱
..... شکل ۱۴۰-۶ - جریان محور d استاتور	۱۳۱
..... شکل ۱۴۱-۶ - جریان مرجع محور d استاتور	۱۳۱
..... شکل ۱۴۲-۶ - جریان محور q استاتور	۱۳۲
..... شکل ۱۴۳-۶ - جریان مرجع محور q استاتور	۱۳۲
..... شکل ۱۴۴-۶ - ولتاژ محور q استاتور	۱۳۲
..... شکل ۱۴۵-۶ - ولتاژ محور d استاتور	۱۳۲
..... شکل ۱۴۶-۶ - گشتاور الکترومغناطیسی	۱۳۲
..... شکل ۱۴۷-۶ - گشتاور الکترومغناطیسی مرجع	۱۳۲
..... شکل ۱۴۸-۶ - سرعت موتور	۱۳۳
..... شکل ۱۴۹-۶ - جریان یک فاز موتور	۱۳۳
..... شکل ۱۵۰-۶ - جریان محور d استاتور	۱۳۳

شكل ١٥١-٦ - جريان مرجع محور d استاتور	١٣٣
شكل ١٥٢-٦ - جريان محور q استاتور.....	١٣٤
شكل ١٥٣-٦ - جريان مرجع محور q استاتور	١٣٤
شكل ١٥٤-٦ - ولتاژ محور q استاتور.....	١٣٤
شكل ١٥٥-٦ - ولتاژ محور d استاتور.....	١٣٤
شكل ١٥٦-٦ - گشتاور الکترومغناطیسی	١٣٤
شكل ١٥٧-٦ - گشتاور الکترومغناطیسی مرجع	١٣٤
شكل ١٥٨-٦ - سرعت موتور.....	١٣٥
شكل ١٥٩-٦ - جريان يك فاز موتور	١٣٥
شكل ١٦٠-٦ - جريان محور d استاتور	١٣٥
شكل ١٦١-٦ - جريان مرجع محور d استاتور	١٣٥
شكل ١٦٢-٦ - جريان محور q استاتور	١٣٦
شكل ١٦٣-٦ - جريان مرجع محور q استاتور.....	١٣٦
شكل ١٦٤-٦ - ولتاژ محور q استاتور.....	١٣٦
شكل ١٦٥-٦ - ولتاژ محور d استاتور.....	١٣٦
شكل ١٦٦-٦ - گشتاور الکترومغناطیسی	١٣٦
شكل ١٦٧-٦ - گشتاور الکترومغناطیسی مرجع.....	١٣٦

فهرست جداول

جدول ۱-۵ - مقایسه بعضی از روش‌های کنترل بدون حسگر سرعت	۸۲
جدول ۱-۶ - مشخصات موتور	۸۵

فصل اول:

مقدمه

امروزه نقش محرکه های الکتریکی با دور متغیر در صنعت انکارنپذیر است. از صنایع بسیار ظریف و سبک گرفته تا صنایع سنگین نیازمند استفاده از محرکه های الکتریکی می باشند. در گذشته بخش عظیمی از محرکه های الکتریکی با دور متغیر با استفاده از موتورهای الکتریکی DC ساخته می شدند و در حال حاضر نیز در برخی از فرآیندها هنوز از موتورهای DC استفاده می گردد. از دلایل استفاده گسترده از موتورهای DC، می توان به سادگی روش کنترل و عدم توانایی ادوات الکترونیک قدرت و ریزپردازندگان در پیاده سازی روش های پیچیده کنترل اشاره کرد. با پیشرفت علم الکترونیک قدرت و تولید ریزپردازندگان با سرعت بالا، تمایل به استفاده از موتورهای AC نظیر موتورهای القایی در محرکه های الکتریکی نیز افزایش یافت. از دلایل برتری موتورهای جریان متناوب القایی نسبت به موتورهای DC می توان به سادگی ساختار، استحکام و قابلیت استفاده در محیط های با شرایط نامناسب نظیر محیط های با گرد و خاک و یا گاز های اشتعال زا اشاره کرد.

با وجود اینکه موتورهای القایی از لحاظ ساختار فیزیکی ساده تر از موتورهای DC می باشند، لیکن از لحاظ مدل سازی ریاضی، دارای مدلی به مراتب پیچیده تر از موتور DC هستند. در موتورهای DC تنظیم شار و گشتاور موتور بصورت جداگانه از طریق جریانهای میدان انجام می گیرد و استفاده از دو مسیر کنترلی بدون انجام تبدیلات پیچیده کارساز خواهد بود. برخلاف موتور DC در موتورهای القایی تنظیم شار و گشتاور دارای تداخل بوده و نمی توان بدون استفاده از یک روش کنترلی مناسب بطور جداگانه شار و گشتاور را کنترل نمود.

در دهه ۶۰ بلاشکه روش کنترل برداری را برای کنترل دور موتورهای AC معرفی نمود [۱]. ایده اصلی روش کنترل برداری بر اساس استفاده از روند کنترل سرعت موتورهای DC استوار می باشد. در این

روش سیستم سه فاز متقارن با انجام یک سری تبدیلات که بعضاً با نام تبدیلات بلاشکه نیز شناخته می‌شوند، بر روی سیستم مختصات چرخان دو محوری ($y-x$) انتقال داده می‌شوند. از معادلات مربوط به محور حقیقی مختصات چرخان برای تنظیم شار و از معادلات محور موهومی برای تنظیم گشتاور و سرعت استفاده می‌گردد.

علاوه بر روش کنترل برداری، روش‌های دیگری نظیر روش ولت بر هرتز و روش اسکالار برای کنترل سرعت موتور القایی مورد استفاده قرار گرفته شده است [۲]. مزیت عمدۀ روش کنترل برداری نسبت به این روش‌ها، کنترل مستقیم شار و رفتار مناسب سیستم کنترل در حالت گذرا می‌باشد. همچنین روش مذکور در سرعتهای پائین موتور نیز به دلیل وابستگی شار موتور به مقاومت استاتور دچار مشکل می‌شوند.

همانطور که اشاره شد یکی از دلایل اصلی استفاده از موتورهای القایی در محرکه‌های الکتریکی استحکام بالای آنها می‌باشد. با توجه به اینکه روش کنترل سرعت نیازمند پس خور سرعت هستند، استفاده از عناصری نظیر تاکومتر و انکدر(حسگر سرعت) جهت اندازه‌گیری سرعت می‌تواند موجب افزایش قیمت، کاهش قابلیت اطمینان سیستم و عاملی برای ورود اغتشاش و نویز به سیستم گردد. به همین دلیل تلاش زیادی برای حذف حسگر سرعت از سیستم کنترل برداری شده است و روش‌های متعددی جهت تخمین سرعت روتور با استفاده از متغیرهای ماشین پیشنهاد شده است. از آن جمله می‌توان به فیلتر کالمون، تطبیق پارامترها با مدل مبنا، استفاده از معادلات حالت و استفاده از شبکه عصبی نام برد که هر کدام دارای مزایا و معایبی می‌باشند [۳].

شبکه‌های عصبی در تخمین سرعت موتور القایی هم در روش‌های کنترل اسکالار [۴] و هم در روش‌های برداری [۵، ۶] مورد استفاده قرار می‌گیرند.

در این پایان نامه از کنترل کننده‌های عصبی برای تخمین سرعت موتور القایی استفاده شده است. در فصل دوم این پایان نامه، مدل دینامیکی و روابط موتور القایی در دستگاه ABC و دستگاه dqo و همچنین تحلیل حالت دائم موتور القایی مورد بررسی قرار گرفته شده است. در فصل سوم روش‌های

کنترل سرعت موتور مورد بررسی قرار گرفته شده است و سپس کنترل اسکالار و کنترل برداری و انواع روش‌های آنها، بطور کامل مورد بررسی قرار گرفته‌اند. در فصل چهارم ساختار شبکه عصبی را مورد بررسی قرار گرفته است. در فصل پنجم انواع روش‌های تخمین سرعت موتور القایی بدون استفاده از حسگر سرعت مورد بررسی قرار گرفته است.. در فصل ششم، در ابتدا با استفاده از روابط فصول دوم و سوم، یک موتور القایی با کنترل برداری غیر مستقیم شبیه سازی شده و عملکرد سیستم در شرایط مختلف مورد بررسی قرار گرفته است. سپس تخمین سرعت با روش MRAS شبیه سازی شده و در انتها دو تخمینگر عصبی با آموزش‌های همزمان و غیرهمzman طراحی شده و در مدل موتور شبیه سازی شده در ابتدای فصل بکار گرفته شده است و چگونگی عملکرد این تخمینگرها (همzman، غیرهمzman و MRAS) در حالات مختلف مورد بررسی قرار گرفته است.

فصل دوم:

مدل دینامیکی

موتور القابی

۱-۲ مقدمه

ماشین القایی سه فاز ماشین‌هایی با سرعت آسنکرون هستند که در حالت موتوری زیر سرعت سنکرون و در حالت ژنراتوری بالای سرعت سنکرون کار می‌کند. این ماشین‌ها در مقایسه با انواع سنکرون و DC ارزانتر می‌باشند و در اندازه چند وات تا چند مگا وات ساخته شده و بکار گرفته می‌شوند. این موتورها محکم هستند و به سرویس و نگهداری کمی نیاز دارند. با این وجود سرعت آنها به آسانی سرعت موتورهای DC قابل کنترل نیست و جریان راه اندازی زیادی نیاز دارند که تقریباً ۶ تا ۸ برابر جریان بار کامل آنهاست. ضریب قدرت این موتورها پایین می‌باشد.

۲-۲ ساختار ماشین‌های القایی سه فاز

اغلب ماشین‌های القایی، موتور با استاتور ثابت و رotor متحرک هستند. استاتور دارای یک هسته مغناطیسی القاگر استوانه‌ای شکل است که در یک بدنه فلزی که شامل بستر^۱، سرپوش محافظ^۲ و جعبه ترمینال^۳ می‌باشد قرار گرفته است. در مرکز سرپوشها یاتاقانهایی برای نگهداری محور رotor قرار دارد. هسته مغناطیسی استاتور از ورقه‌های فلزی نازکی که روی هم قرار گرفته‌اند تشکیل شده و در محیط دایروی استاتور شکافهایی با فاصله یکسان از هم برای جای دادن سیم پیچ‌های سه گانه تعییه شده است. برای ماشین‌های ۶۰ Hz این ورقه‌ها ضخامتی حدود ۵ mm دارند. سیم پیچ‌های استاتور از کوپلهای متصل بهم مسی یا آلومینیومی تشکیل شده است که از بدنه شکافها عایق شده

Bed pole^۱

End shield^۲

Box Terminal^۳

است. بردارهای سیم پیچ‌های استاتور یک ماشین سه فاز با p قطب، با فاصله مکانیکی $\frac{2}{p} * \frac{2\pi}{3}$ را

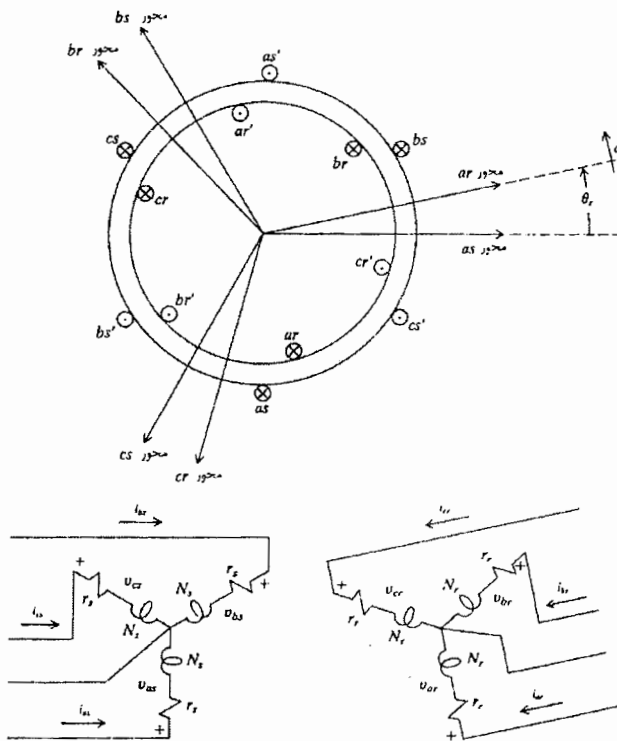
میان از هم قرار گرفته‌اند و هر فاز تعداد مساوی شیار را در بر دارد. ترمینالهای سیم پیچ‌های یک استاتور سه فاز می‌تواند بصورت ستاره یا مثلث به یکدیگر وصل شوند.^[۸]

روتور از ورقه‌های استوانه‌ای آهنی تشکیل شده و سیم پیچی آن با فاصله یکسان انجام می‌شود. دو نوع سیم پیچی معمولی و قفس سنجابی برای روتور وجود دارد. ترمینالهای سیم پیچ‌های روتور توسط جاروبکها و حلقه‌های لغزندۀ خارج می‌شوند. این حلقه‌های لغزندۀ از یکدیگر و همچنین از محور موتور عایق شده‌اند. با استفاده از این حلقه‌های لغزندۀ مقادیر متفاوتی از مقاومت می‌توانند به سیم پیچی روتور وصل شوند که این کار برای ایجاد گشتاور راه انداز بیشتر و تا حدودی کنترل سرعت زیر سرعت سنکرون ماشین انجام می‌شود. در محرکه‌های بزرگ و گران قیمت ترمینالهای سیم پیچ‌های روتور به یک منبع فرکانس متغیر وصل است که انتقال قدرت در مدار روتور را بهبود می‌بخشد.^[۸]

در موتور القایی از نوع سیم پیچی قفسه سنجابی، قفسه از میله‌های فلزی با فاصله یکسان که از دو طرف به حلقه‌های انتهایی وصل شده‌اند تشکیل شده است. پس از اینکه ورقه‌های هسته روتور روی هم قرار گرفتند، قالب با آلومینیوم مذاب پر شده و میله‌های روتور، حلقه‌ها و پره‌های فن ساخته شده و در شیارهای با فاصله یکسان در محیط روتور قرار گرفته و میله‌ها از دو انتهای به حلقه‌ها وصل شده‌اند. هیچ عایقی بین میله‌ها و بدنه شیارهای روتور وجود ندارد.

ترکیب گشتاور راه اندازی و کارایی بالا با استفاده از روتور دو قفسه قابل دسترسی است. قفسه بیرونی دارای راکتانس کمتری نسبت به قفسه درونی می‌باشد و معمولاً از مواد با مقاومت الکتریکی بالا مانند برنج و برنز ساخته می‌شود تا گشتاور راه اندازی بالاتری ایجاد کند. قفسه داخلی دارای راکتانس بیشتری بوده و معمولاً از مواد با مقاومت کمتر، مانند مس ساخته می‌شود تا کارایی مناسب در لغزش‌های پایین را ایجاد کند.^[۸]

اگرچه فاصله هوایی کمتر موجب القای الکترومغناطیس بهتر بین سیم پیچ‌های استاتور و روتور می‌گردد. اما به هر حال کم شدن فاصله هوایی با مقدار ترانس در نظر گرفته شده توسط کارخانه



شکل ۲-۱-۲- ماشین القایی متقارن ۲ قطب، ۳ فاز با اتصال ستاره [۷]

و نیز قیمت و همچنین با مقدار تلفات هسته ناشی از اشباع محلی، اطراف شیار محدود می‌گردد.

۲-۳ معادله های ولتاژ در متغیرهای ماشین القایی

ترتیب سیم پیچی یک ماشین القایی متقارن ۲ قطب، سه فاز با اتصال ستاره در شکل ۲-۱-۲ نشان داده شده است. سیم پیچهای استاتور مشابه می‌باشند و با توزیع سینوسی، فاصله مکانی ۱۲۰ درجه، تعداد دور معادل N_s و مقاومت r_s هستند. برای اهداف مورد نظر، سیم پیچهای روتور نیز سه سیم پیچی مشابه با توزیع سینوسی، با فاصله مکانی ۱۲۰ درجه، تعداد دور N_r و مقاومت r_r فرض می‌شود [۷]. توجه به این نکته مهم است که جهت مثبت محورهای مغناطیسی سیم پیچهای استاتور

منطبق با جهت f_{as} , f_{bs} و f_{cs} به صورت مشخص شده با معادلهای تبدیل است و معادلهای ولتاژ در متغیرهای ماشین می‌توانند به صورت زیر بیان شوند:

$$v_{abcs} = r_s i_{abcs} + P \lambda_{abcs} \quad (1-2)$$

$$v_{abcr} = r_r i_{abcr} + P \lambda_{abcr} \quad (2-2)$$

که

$$(f_{abcs})^T = [f_{as} \ f_{bs} \ f_{cs}] \quad (3-2)$$

$$(f_{abcr})^T = [f_{ar} \ f_{br} \ f_{cr}] \quad (4-2)$$

در معادله های بالا اندیس پایین s نشانگر متغیرها و پارامترهای مرتبط با مدارهای استاتور و اندیس r نشانگر متغیرها و پارامترهای مرتبط با مدارهای رotor می‌باشد. L_s و L_r ماتریس‌های قطری هستند که در هر ماتریس عناصر غیرصفر مساوی‌اند. برای یک سیستم مغناطیسی خطی، شارهای پیوندی می‌تواند به صورت زیر بیان گردد:

$$\begin{bmatrix} \lambda_{abcs} \\ \lambda_{abcr} \end{bmatrix} = \begin{bmatrix} L_s & L_{sr} \\ (L_{sr})^T & L_r \end{bmatrix} \begin{bmatrix} i_{abcs} \\ i_{abcr} \end{bmatrix} \quad (5-2)$$

و داریم:

$$L_s = \begin{bmatrix} L_{ls} + L_{ms} & -\frac{1}{2}L_{ms} & -\frac{1}{2}L_{ms} \\ -\frac{1}{2}L_{ms} & L_{ls} + L_{ms} & -\frac{1}{2}L_{ms} \\ -\frac{1}{2}L_{ms} & -\frac{1}{2}L_{ms} & L_{ls} + L_{ms} \end{bmatrix} \quad (6-2)$$

$$L_r = \begin{bmatrix} L_{lr} + L_{mr} & -\frac{1}{2}L_{mr} & -\frac{1}{2}L_{mr} \\ -\frac{1}{2}L_{mr} & L_{lr} + L_{mr} & -\frac{1}{2}L_{mr} \\ -\frac{1}{2}L_{mr} & -\frac{1}{2}L_{mr} & L_{lr} + L_{mr} \end{bmatrix} \quad (7-2)$$

$$L_{sr} = L_{sr} \begin{bmatrix} \cos\theta_r & \cos(\theta_r + \frac{2\pi}{3}) & \cos(\theta_r - \frac{2\pi}{3}) \\ \cos(\theta_r - \frac{2\pi}{3}) & \cos\theta_r & \cos(\theta_r + \frac{2\pi}{3}) \\ \cos(\theta_r + \frac{2\pi}{3}) & \cos(\theta_r - \frac{2\pi}{3}) & \cos\theta_r \end{bmatrix} \quad (8-2)$$

در معادلات بالا، L_{ls} و L_{ms} به ترتیب اندوکتانس‌های پراکنده‌گی و مغناطیس‌کننده‌گی استاتور و L_{lr} و L_{mr} نیز اندوکتانس‌های پراکنده‌گی و مغناطیس‌کننده‌گی سیم پیچیهای رotor می‌باشند. L_{sr} اندوکتانس متقابل بین سیم پیچیهای استاتور و رotor می‌باشد.

موقعی که معادله‌های ولتاژ را به شکل متغیرهای ماشین نشان می‌دهیم مرسم است که همه متغیرهای رotor با نسبتهای دور مناسب به طرف استاتور منتقل شوند. این نسبتها برای جریان، ولتاژ و شار بصورت زیر می‌باشند.

$$\dot{i}_{abcr} = \frac{N_r}{N_s} \dot{i}_{abcr} , \quad v_{abcr} = \frac{N_s}{N_r} v_{abcr} , \quad \lambda_{abcr} = \frac{N_s}{N_r} \lambda_{abcr} \quad (9-2)$$

و \dot{L}_{sr} ، \dot{L}_r از روابط زیر محاسبه می‌گردند:

$$\dot{L}_{sr} = L_{ms} \begin{bmatrix} \cos\theta_r & \cos(\theta_r + \frac{2\pi}{3}) & \cos(\theta_r - \frac{2\pi}{3}) \\ \cos(\theta_r - \frac{2\pi}{3}) & \cos\theta_r & \cos(\theta_r + \frac{2\pi}{3}) \\ \cos(\theta_r + \frac{2\pi}{3}) & \cos(\theta_r - \frac{2\pi}{3}) & \cos\theta_r \end{bmatrix} \quad (10-2)$$

$$\dot{L}_r = \begin{bmatrix} \dot{L}_{lr} + L_{ms} & -\frac{1}{2}L_{ms} & -\frac{1}{2}L_{ms} \\ -\frac{1}{2}L_{ms} & \dot{L}_{lr} + L_{ms} & -\frac{1}{2}L_{ms} \\ -\frac{1}{2}L_{ms} & -\frac{1}{2}L_{ms} & \dot{L}_{lr} + L_{ms} \end{bmatrix} \quad (11-2)$$

اکنون شارهای پیوندی را می‌توان به صورت زیر بیان نمود:

$$\begin{bmatrix} \lambda_{abcs} \\ \lambda'_{abcr} \end{bmatrix} = \begin{bmatrix} L_s & L'_{sr} \\ (L'_{sr})^T & L'_r \end{bmatrix} \begin{bmatrix} i_{abcs} \\ i'_{abcr} \end{bmatrix} \quad (12-2)$$

معادله‌های ولتاژ ماشین بر حسب متغیرهای ماشین در طرف استاتور را می‌توان بصورت زیر بیان نمود.

$$\begin{bmatrix} v_{abcs} \\ v'_{abcr} \end{bmatrix} = \begin{bmatrix} r_s + pL_s & pL'_{sr} \\ p(L'_{sr})^T & r'_r + pL'_r \end{bmatrix} \begin{bmatrix} i_{abcs} \\ i'_{abcr} \end{bmatrix} \quad (13-2)$$

که

$$r'_r = \left(\frac{N_s}{N_r} \right)^2 r_r \quad (14-2)$$

۴-۲ معادله گشتاور در متغیرهای ماشین

به طور کلی، انرژی ذخیره شده برابر مجموع اندوکتانس خودی هریک از سیم پیچیها ضرب در نصف مجذور جریان آنها به علاوه اندوکتانس‌های متقابل ضربدر جریانهای دو سیم پیچی تزویج شده توسط اندوکتانس متقابل است. واضح است که انرژی ذخیره شده در اندوکتانس‌های پراکندگی جزو انرژی ذخیره شده در میدان محسوب نمی‌شود [۷]. بنابراین، انرژی ذخیره شده در میدان تزویج می‌تواند چنین بیان گردد:

$$w_f = \frac{1}{2} (i_{abcs})^T (L_s - L_{ls} I) i_{abcs} + (i_{abcs})^T L'_{sr} i'_{abcr} + \frac{1}{2} (i'_{abcr})^T (L'_r - L'_{lr} I) i'_{abcr} \quad (15-2)$$

که I ماتریس همانی است. از آنجایی که ماشین از لحاظ مغناطیسی خطی فرض می‌شود انرژی میدان با کوانرژی W_f برابر است.

تغییر انرژی مکانیکی در یک سیستم گردان با یک ورودی مکانیکی را می‌توان به صورت زیر بیان کرد:

$$dW_m = -T_e d\theta_{rm} \quad (16-2)$$

که T_e گشتاور الکترومغناطیسی مثبت برای کار موتوری است و θ_{rm} موقعیت زاویه ای واقعی روتور است. شارهای پیوندی، جریانها، W_c ، W_f همگی توابعی از موقعیت زاویه‌ای الکتریکی θ_r هستند.

چون :

$$\theta_r = \left(\frac{p}{2} \right) \theta_{rm} \quad (17-2)$$

که p تعداد قطبهای ماشین است، آنگاه:

$$dW_m = -T_e \left(\frac{2}{p} \right) d\theta_r \quad (18-2)$$

گشتاور الکترومغناطیسی را می‌توان بصورت زیر محاسبه نمود:

$$T_e(i_j, \theta_r) = \left(\frac{p}{2} \right) \frac{\partial W_c(i_j, \theta_r)}{\partial \theta_r} \quad (19-2)$$

چون L_s و L_r تابع θ_r نیستند، با قرار دادن W_f از رابطه (15-2) در (19-2) گشتاور الکترومغناطیسی در واحد نیوتن متر (N.m) بدست می‌آید:

$$T_e = \left(\frac{p}{2} \right) (i_{abcs})^r \frac{\partial}{\partial \theta_r} [L_{sr}]_{abcr} \quad (20-2)$$

گشتاور و سرعت به شکل زیر بهم مربوط می‌باشند.

$$T_e = J \left(\frac{2}{p} \right) P w_r + T_L \quad (21-2)$$

که J ممان اینرسی روتور و در برخی موارد بار متصل شده است. جمله اول سمت راست، گشتاور اینرسی است، واحد J کیلوگرم در مترمربع (kg.m^2) یا ژول در مجذور ثانیه (J.s^2) می‌باشد. گشتاور بار T_L برای گشتاور بار روی محور ماشین القایی مثبت است.

۵-۲ معادله‌های تبدیل برای مدارهای روتور

مدل ماشینهای القایی سه فاز می‌تواند با معادلات دیفرانسیلی کوپل شده با ضرایب متغیر با زمان بیان شود، اما حل این معادلات سخت و وقت‌گیر می‌باشد. با استفاده از تبدیل پارک

می‌توان مدل موتور القایی در دستگاه مرجع سه فاز (abc) را به مدل دو فاز در دستگاه مرجع دوار (dq) منتقل کرد ، در شکل ۲-۲ این انتقال مرجع نشان داده شده است. این انتقال، ضرایب متغیر با زمان را حذف کرده و معادلات موتور القایی را به معادلات دیفرانسیلی با ضرایب ثابت تبدیل می‌کند [۷]. تغییر متغیری که تبدیل متغیرهای سه فاز مدارهای روتور را به دستگاه مرجع اختیاری فرمولبندی می‌کند، عبارت است از:

$$f'_{q dor} = K_r f'_{abcr} \quad (22-2)$$

که:

$$(f'_{q dor})^T = \begin{bmatrix} f'_{qr} & f'_{dr} & f'_{or} \end{bmatrix} \quad (23-2)$$

$$(f'_{abcr})^T = \begin{bmatrix} f'_{ar} & f'_{br} & f'_{cr} \end{bmatrix} \quad (24-2)$$

$$K_r = \frac{2}{3} \begin{bmatrix} \cos \beta & \cos(\beta - \frac{2\pi}{3}) & \cos(\beta + \frac{2\pi}{3}) \\ \sin \beta & \sin(\beta - \frac{2\pi}{3}) & \sin(\beta + \frac{2\pi}{3}) \\ \frac{1}{2} & \frac{1}{2} & \frac{1}{2} \end{bmatrix} \quad (25-2)$$

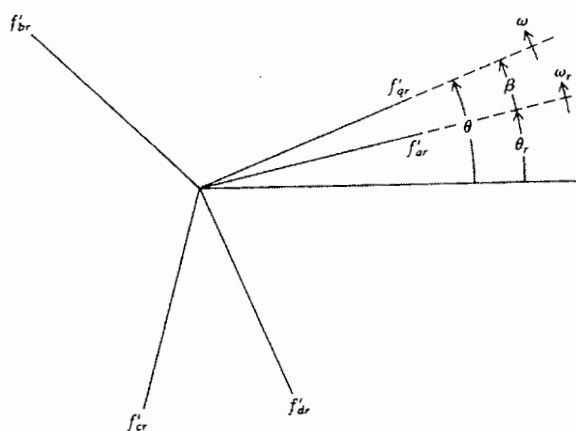
$$\beta = \theta - \theta_r \quad (26-2)$$

و موقعیت زاویه ای θ_r از رابطه زیر محاسبه می‌گردد:

$$\theta_r = \int_0^r w_r(\xi) d\xi + \theta_r(0) \quad (27-2)$$

که θ_r متغیر کمکی انتگرالگیری می‌باشد. معکوس ماتریس عبارت است از:

$$(K_r)^{-1} = \begin{bmatrix} \cos \beta & \sin \beta & 1 \\ \cos(\beta - \frac{2\pi}{3}) & \sin(\beta - \frac{2\pi}{3}) & 1 \\ \cos(\beta + \frac{2\pi}{3}) & \sin(\beta + \frac{2\pi}{3}) & 1 \end{bmatrix} \quad (28-2)$$



شکل ۲-۲- دستگاه مرجع ساکن (abc) و دوفاز (dq)

اندیس پائین r نشانگر متغیرها، پارامترها و تبدیل با مدارهای روتور می‌باشد. کلیه روابط مربوط به استاتور نیز، مشابه روتور می‌باشد، تنها با این تفاوت که بجای r در روابط فوق اندیس s استفاده نمود

۲-۶ معادله‌های ولتاژ در متغیرهای دستگاه مرجع اختیاری

اکنون با استفاده از تبدیلهای پارک، می‌توان معادله‌های ولتاژ را در دستگاه مرجع اختیاری را محاسبه نمود [۷]. داریم:

$$v_{qdos} = r_s i_{qdos} + P \lambda_{qdos} \quad (29-2)$$

$$v_{qdor} = r_r i_{qdor} + (w - w_r) \lambda_{qdor} + P \lambda_{qdor} \quad (30-2)$$

که:

$$(\lambda_{dqs})^T = [\lambda_{ds} \quad \lambda_{qs} \quad 0] \quad (31-2)$$

$$(\lambda_{dqr})^T = [\lambda_{dr} \quad -\lambda_{qr} \quad 0] \quad (32-2)$$

مجموعه معادله‌ها موقعی کامل می‌شود که عبارتهای شارهای پیوندی سیم پیچیها تعیین شوند. معادله‌های شار پیوندی برای سیستم خطی مغناطیسی نتیجه می‌شود:

$$\begin{bmatrix} \lambda_{qdos} \\ \dot{\lambda}_{qdor} \end{bmatrix} = \begin{bmatrix} K_s L_s (K_s)^{-1} & K_s L_{sr} (K_r)^{-1} \\ K_r (L_{sr})^T (K_s)^{-1} & K_r L_r (K_r)^{-1} \end{bmatrix} \begin{bmatrix} i_{qdos} \\ i_{qdor} \end{bmatrix} \quad (33-2)$$

که L_s با رابطه (۶-۲)، L_{sr} با رابطه (۱۰-۲) و L_r با رابطه (۱۱-۲) تعریف می‌گردد.

طبق روابط ماشین داریم:

$$K_s L_s (K_s)^{-1} = \begin{bmatrix} L_{ls} + M & 0 & 0 \\ 0 & L_{ls} + M & 0 \\ 0 & 0 & L_{ls} \end{bmatrix}, \quad M = \frac{3}{2} L_{ms} \quad (34-2)$$

$$K_r L_r (K_r)^{-1} = \begin{bmatrix} L_{lr} + M & 0 & 0 \\ 0 & L_{lr} + M & 0 \\ 0 & 0 & L_{lr} \end{bmatrix}$$

و از روابط فوق می‌توان نشان داد که:

$$K_s L_{sr} (K_r)^{-1} = K_r (L_{sr})^T (K_s)^{-1} = \begin{bmatrix} M & 0 & 0 \\ 0 & M & 0 \\ 0 & 0 & M \end{bmatrix} \quad (35-2)$$

پس از جایگذاری روابط (۳۳-۲)، (۳۴-۲) و (۳۵-۲) و (۲۹-۲) و (۳۰-۲)، معادله‌های ولتاژ در دستگاه مرجع اختیاری اغلب به شکل گسترده بصورت زیر بیان می‌گردد:

$$v_{qs} = r_s i_{qs} + \omega \lambda_{ds} + P \lambda_{qs} \quad (36-2)$$

$$v_{ds} = r_s i_{ds} - \omega \lambda_{qs} + P \lambda_{ds} \quad (37-2)$$

$$v_{os} = r_s i_{os} + p \lambda_{os} \quad (38-2)$$

$$v_{qr} = r_r i_{qr} + (\omega - \omega_r) \lambda_{dr} + p \lambda_{qr} \quad (39-2)$$

$$v_{dr} = r_r i_{dr} - (\omega - \omega_r) \lambda_{qr} + p \lambda_{dr} \quad (40-2)$$

$$v_{or} = r_r i_{or} + p \lambda_{or} \quad (41-2)$$

که در معادلات بالا:

i_{qs} ، i_{ds} و v_{qs} ، v_{ds} ولتاژها و جریانهای استاتور

i_{qr} ، i_{dr} و v_{qr} ، v_{dr} ولتاژها و جریانهای رотор

$\lambda_{qs}^s, \lambda_{ds}^s, \lambda_{qr}^s, \lambda_{dr}^s$: شارهای استاتور و رتور

r_r, r_s : مقاومتهای رتور و استاتور ، ω_r : سرعت مکانیکی رتور بر حسب (rad/s) و ω_s سرعت روتور می‌باشد.

شارهای استاتور و رتور در دستگاه مرجع اختیاری بصورت زیر بیان می‌گردد:

$$\lambda_{qs} = l_{ls} i_{qs} + M(i_{qs} + i_{qr}^s) \quad (42-2)$$

$$\lambda_{ds} = l_{ls} i_{ds} + M(i_{ds} + i_{dr}^s) \quad (43-2)$$

$$\lambda_{os} = L_{ls} i_{os} \quad (44-2)$$

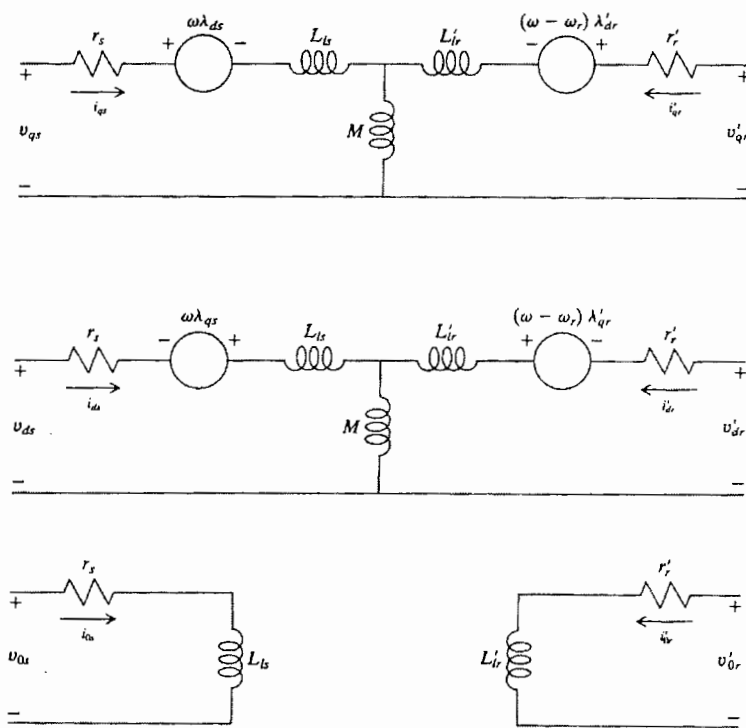
$$\lambda_{qr}^s = l_{lr}^s i_{qr}^s + M(i_{qs} + i_{qr}^s) \quad (45-2)$$

$$\lambda_{dr}^s = l_{lr}^s i_{dr}^s + M(i_{ds} + i_{dr}^s) \quad (46-2)$$

$$\lambda_{or}^s = L_{lr}^s i_{or}^s \quad (47-2)$$

در این معادلات L_{ls} و L_{lr}^s اندوکتانس‌های خودی رotor و استاتور ، M اندوکتانس مغناطیس کنندگی می‌باشند.

معادله‌های ولتاژ و شار پیوندی مدارهای معادلی را که در شکل ۳-۲ نشان داده شده پیشنهاد می‌کنند. معادله‌های ولتاژ و شار اشاره شده فوق، در دستگاه مرجع اختیاری می‌باشند. با انتخاب مناسب ω می‌توان معادلات فوق را در دستگاه‌های ساکن، رotor و گردان سنکرون بدست آورد. یعنی به ازای $\omega = 0$ برای دستگاه مرجع ساکن، $\omega_r = \omega_s$ برای دستگاه مرجع رotor و $\omega_s = \omega$ برای دستگاه مرجع گردان سنکرون می‌باشد.



شکل ۲-۳-۳- مدارهای معادل یک ماشین القایی متقارن سه فاز در دستگاه مرجع اختیاری [۷]

۷-۲ معادله گشتاور در متغیرهای دستگاه مرجع اختیاری

گشتاور الکترومغناطیسی بر حسب متغیرهای دستگاه مرجع اختیاری را می‌توان بصورت زیر بیان کرد:

$$T_e = \left(\frac{P}{2} \right) \left[(K_s)^{-1} i_{qdqs} \right]^T \frac{\partial}{\partial \theta_r} \left[L_{sr} \right] (K_r)^{-1} i_{qdor} \quad (48-2)$$

این گشتاور را می‌توان بصورتهای متفاوت زیر محاسبه نمود:

$$T_e = \left(\frac{3}{2} \right) \left(\frac{P}{2} \right) M (i_{dr}^* i_{qs} - i_{qr}^* i_{ds}) \quad (49-2)$$

$$T_e = \left(\frac{3}{2} \right) \left(\frac{P}{2} \right) (\lambda_{qr}^* i_{dr}^* - \lambda_{dr}^* \lambda_{qr}^*) \quad (50-2)$$

$$T_e = \left(\frac{3}{2} \right) \left(\frac{P}{2} \right) (\lambda_{ds}^* i_{qs} - \lambda_{qs}^* \lambda_{ds}^*) \quad (51-2)$$

$$T_e = \left(\frac{3}{2}\right) \left(\frac{p}{2}\right) \left(\frac{1}{w_b}\right) (\psi_{qr} \dot{\psi}_{dr} - \psi_{dr} \dot{\psi}_{qr}) \quad (52-2)$$

$$T_e = \left(\frac{3}{2}\right) \left(\frac{p}{2}\right) \left(\frac{X_M}{Dw_b}\right) (\psi_{qs} \dot{\psi}_{dr} - \psi_{qr} \dot{\psi}_{ds}) \quad (53-2)$$

که D از روابط زیر محاسبه می‌گردد:

$$\begin{aligned} D &= X_{ss} X_{rr} - X_M^2 \\ X_{ss} &= X_{ls} + X_M \\ X_{rr} &= X_{lr} + X_M \end{aligned} \quad (54-2)$$

۸-۲ معادلات فضای حالت

می‌توان معادلات ماشین القایی را در فضای حالت بصورت زیر بیان نمود:

$$\frac{d\omega_r}{dt} = \mu(\lambda_{dr}^s i_{qs}^s - \lambda_{qr}^s i_{ds}^s) - \frac{B}{J} \omega_r - \frac{T_l}{J} \quad (55-2)$$

$$\frac{d\lambda_{qr}^s}{dt} = p\omega_r \lambda_{dr}^s - \eta \lambda_{qr}^s + \eta L_m i_{qr}^s \quad (56-2)$$

$$\frac{d\lambda_{dr}^s}{dt} = -p\omega_r \lambda_{qr}^s - \eta \lambda_{dr}^s + \eta L_m i_{dr}^s \quad (57-2)$$

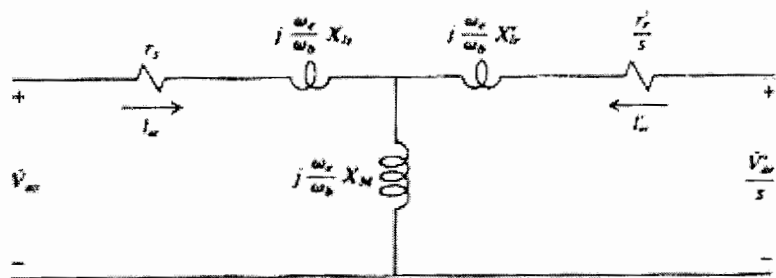
$$\frac{di_{qs}^s}{dt} = -\beta n_p \omega_r \lambda_{dr}^s + \eta \beta \lambda_{qr}^s - \gamma i_{qs}^s + \frac{1}{\sigma L_s} v_{qs}^s \quad (58-2)$$

$$\frac{di_{ds}^s}{dt} = \beta p \omega_r \lambda_{qr}^s + \eta \beta \lambda_{dr}^s - \gamma i_{ds}^s + \frac{1}{\sigma L_s} v_{ds}^s \quad (59-2)$$

که در این معادلات، J : ثابت اینرسی رتور ($kg.m^2$) ، B : ضریب تضعیف (N.m.s) و T_l گشتاور بار

و p تعداد قطب می‌باشد . پارامترهای ثابت بکار رفته در معادلات بالابه صورت زیر تعریف

می‌شوند :



شکل ۲-۵- مدار معادل حالت دائمی یک ماشین القایی متقارن

$$\begin{aligned} \eta &= \frac{1}{T_r} = \frac{R_r}{L_r} & , \quad \sigma &= 1 - \frac{L_m^2}{L_r L_s} & , \quad \beta &= \frac{L_m}{\sigma L_s L_r} \\ \gamma &= \frac{L_m}{\sigma L_s L_r^2} + \frac{R_s}{\sigma L_s} & , \quad \mu &= p \frac{L_m}{J L_r} \end{aligned} \quad (60-2)$$

T_r ثابت زمانی رتور می‌باشد.

گشتاور الکترومغناطیسی برحسب متغیرهای حالت عبارت است از :

$$T_e = \mu J (\lambda_{dr}^s i_{qs}^s - \lambda_{qr}^s i_{ds}^s) \quad (61-2)$$

۹-۲ تحلیل حالت دائمی

معادله‌های شناخته شده ولتاژ فیزوری حالت دائمی که در همه دستگاههای مرجع گردان غیرسنکرون

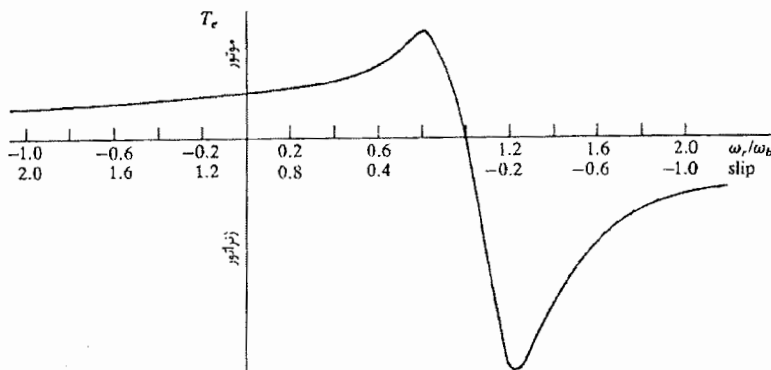
معتبرند، به صورت زیر می‌باشند:

$$\tilde{v}_{as} = \left(r_s + j \frac{\omega_e}{\omega_b} X_{ls} \right) \tilde{I}_{as} + j \frac{\omega_e}{\omega_b} X_M \left(\tilde{I}_{as} + \tilde{I}_{ar} \right) \quad (62-2)$$

$$\frac{\tilde{v}_{ar}}{s} = \left(\frac{r_s}{s} + j \frac{\omega_e}{\omega_b} X_{lr} \right) \tilde{I}_{ar} + j \frac{\omega_e}{\omega_b} X_M \left(\tilde{I}_{as} + \tilde{I}_{ar} \right) \quad (63-2)$$

که لغتش s بصورت زیر تعریف می‌گردد:

$$s = \frac{\omega_e - \omega_r}{\omega_e} \quad (64-2)$$



شکل ۲-۶- مدار معادل حالت دائمی یک ماشین القایی متقارن [۷]

عبارت گشتاور الکترومغناطیسی حالت دائمی می‌تواند بر حسب جریانهای فیزوری بصورت زیر بیان گردد:

$$T_e = 3 \left(\frac{p}{2} \right) \left(\frac{X_M}{w_b} \right) R_e \left[j \tilde{I}_{as}^* \tilde{I}_{ar}' \right] \quad (65-2)$$

اکثریت قریب به اتفاق ماشینهای القایی در کاربردهای امروزی از نوع تک تغذیه‌ای هستند که در آنها توان الکتریکی از طریق مدارهای استاتور با روتور اتصال کوتاه به ماشین القایی وارد و با از آن خارج می‌شود. به علاوه، اکثریت ماشینهای القایی تک تغذیه‌ای از نوع قفسه سنجابی‌اند. برای ماشینهای تک تغذیه‌ای \tilde{v}_{ar}' برابر صفر است که در این صورت:

$$\tilde{I}_{ar}' = - \frac{j \left(\frac{w_e}{w_b} \right) X_M}{\frac{r_s'}{s} + j \left(\frac{w_e}{w_b} \right) X_{rr}'} \tilde{I}_{as} \quad (66-2)$$

که X_{rr}' با (۵۴-۲) تعریف می‌شود. با قرار دادن (۶۶-۲) در (۶۵-۲) نتیجه می‌شود:

$$T_e = \frac{3 \left(\frac{p}{2} \right) \left(\frac{\omega_e}{\omega_b} \right) \left(\frac{X_M^2}{\omega_b} \right) \left(\frac{r_s'}{s} \right) |\tilde{I}_{as}|^2}{\left(\frac{r_s'}{s} \right)^2 + \left(\frac{\omega_e}{\omega_b} \right)^2 X_{rr}'^2} \quad (67-2)$$

اکنون، امپدانس ورودی مدار معادل که در شکل ۵-۲ نشان داده شده است با \tilde{v}_{ar} برابر با صفر، عبارت است از:

$$Z = \frac{\frac{r_s r_r'}{s} + \left(\frac{\omega_e}{\omega_b}\right)^2 \left(X_M^2 - X_{ss} X_{rr}'\right) + j \frac{\omega_e}{\omega_b} \left(\frac{r_r'}{s} X_{ss} + r_s X_{rr}'\right)}{\frac{r_r'}{s} + j \frac{\omega_e}{\omega_b} X_{rr}'} \quad (68-2)$$

که X_{ss} با (۵۴-۲) تعریف می‌شود. چون

$$\left| \tilde{I}_{as} \right| = \frac{\left| \tilde{V}_{as} \right|}{|Z|} \quad (69-2)$$

گشتاور یک ماشین القایی تک تغذیه‌ای در حالت دائمی می‌تواند چنین بیان شود.

$$T_e = \frac{3 \left(\frac{p}{2} \right) \frac{\omega_e}{\omega_b} \left(\frac{X_M^2}{\omega_b} \right) r_r' s \left| \tilde{V}_{as} \right|^2}{\left[r_s r_r' + s \left(\frac{\omega_e}{\omega_b} \right)^2 \left(X_M^2 - X_{ss} X_{rr}' \right) \right]^2 + \left(\frac{\omega_e}{\omega_b} \right)^2 \left(r_r' X_{ss} + s r_s X_{rr}' \right)^2} \quad (70-2)$$

مشخصه‌های گشتاور - سرعت یا لغزش - سرعت نمونهوار بسیاری از ماشینهای القایی چند فاز تک محركه در شکل ۶-۲ نشان داده شده است. که در آن، $w_b = w_e$. عموماً، پارامترهای ماشین به گونه‌ای انتخاب می‌شوند که ماکزیمم گشتاور در نزدیکی سرعت سنکرون رخ داده و گشتاور ماکزیمم خروجی (کار موتوری) دو یا سه برابر گشتاور نامی ماشین باشد.

۱۰-۲ خلاصه:

در این فصل مدل دینامیکی موتور القایی و معادلات مربوط به آن در دستگاههای abc و dqr بیان شدند. و در ادامه، معادلات حالت و تحلیل حالت دائمی موتور القایی مورد بررسی قرار گرفت.

فصل سوم:

روشهای کنترل
موتور الکایی

۱-۳ مقدمه

اولین قدم در طراحی هر سیستم کنترل، بدست آوردن مدل ریاضی اجزای آن سیستم می‌باشد. روش‌های کنترل موتور القایی را می‌توان به دو دسته اصلی، کنترل اسکالر و کنترل برداری تقسیم بندی نمود. هریک از این روشها دارای مزایا و معایبی می‌باشد. در این فصل این الگوریتم‌ها مورد بررسی قرار می‌گیرند.

۲-۳ روش‌های کنترل موتور القایی

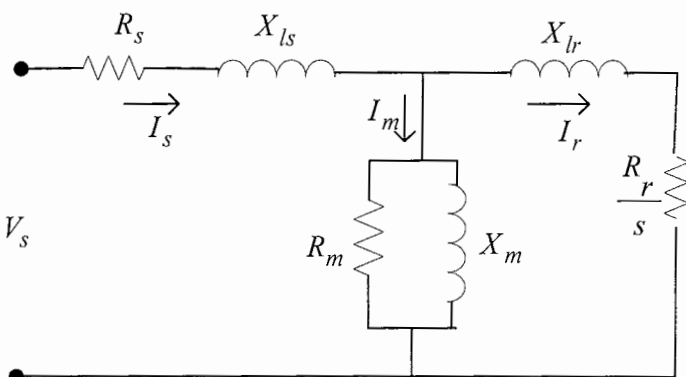
روش‌های کنترل موتور القایی را می‌توان به دو دسته اصلی تقسیم بندی کرد، کنترل اسکالر که از طریق کنترل اندازه متغیرها انجام می‌گیرد و کنترل برداری که در آن اندازه و فاز متغیرها کنترل می‌شوند. در کنترل اسکالر، ولتاژ یا جریان همراه با فرکانس به عنوان متغیرهای کنترل کننده موتور القایی می‌باشند. در این حالت گشتاور و شار هر دو تابعی از ولتاژ (یا جریان) و فرکانس هستند. بنابراین این دو متغیر اثر متقابل بر یکدیگر داشته و این باعث کندی پاسخ موتور القایی نسبت به تغییر سیگنال مرجع ورودی می‌گردد.

امروزه به خاطر وجود این مشکلات در کنترل اسکالر از روش‌های کنترل برداری به خاطر عملکرد مطلوب آنها در صنایع در سطح گستره‌های استفاده می‌شود. با کنترل برداری می‌توان موتور القایی را مشابه با یک موتور DC تحریک مستقل کنترل کرد.

در کاربردهایی با سرعت متغیر، موتورهای القایی به کنترل فرکانس، ولتاژ و جریان نیاز دارند. مبدل‌های قدرت، اینورترها و کنترل کننده‌های ولتاژ ac قادر هستند که فرکانس، ولتاژ و یا جریان را برای برا آورده کردن نیازهای محرک کنترل کنند [۲].

۳-۳ کنترل اسکالر و انواع روش‌های آن

مدل مداری ساده شده یک موتور القایی برای یک فاز در شکل ۱-۳ نشان داده است، که در آن R_s و X_{ls} بترتیب مقاومت و راکتانس نشتی هر فاز سیم پیچ استاتور، R_m مقاومت تلفات تحریک، X_m راکتانس مغناطیس کننده، R_r و X_{lr} بترتیب مقاومت و راکتانس نشتی هر فاز سیم پیچ رتور می‌باشند.



شکل ۱-۳- مدل مداری موتور القایی

گشتاور و شار در موتور القایی با توجه به این مدار معادل عبارتند از [۲]:

$$T_e = \frac{3R_s V_s^2}{s\omega_e [(R_s + \frac{R_r}{s})^2 + (X_{ls} + X_{lr})^2]} \quad (1-3)$$

$$\phi \propto \frac{V_s}{f} \quad (2-3)$$

که V_s ولتاژ هر فاز استاتور، ω_e سرعت سنکرون، s لغزش، T_e گشتاور، ϕ شار هر قطب ماشین و f فرکانس استاتور می‌باشد. کنترل اسکالر از طریق کنترل اندازه متغیرها صورت می‌گیرد و دارای انواع مختلفی می‌باشد. در روش‌های کنترل اسکالر، به علت نادیده گرفته شدن معادلات دینامیکی موتور ووابستگی شار و گشتاور به یکدیگر پاسخ دینامیکی سیستم خیلی مطلوب نمی‌باشد. ولی به علت عدم وابستگی و حساسیت زیاد این روش به پارامترهای موتور و شرایط محیطی تحقق و پیاده سازی این روش آسانتر می‌باشد.

سرعت و گشتاور موتورهای القایی را می‌توان با استفاده از روش‌های زیر کنترل کرد [۲]:

- کنترل ولتاژ استاتور
- کنترل ولتاژ رتور
- کنترل فرکانس استاتور
- کنترل فرکانس و ولتاژ استاتور
- کنترل حلقه بسته

۱-۳-۳ کنترل ولتاژ استاتور

در این روش ولتاژ استاتور به عنوان پارامتر کنترلی مورد استفاده قرار می‌گیرد. معادله ۱-۳ نشان می‌دهد که گشتاور با مربع ولتاژ تغذیه استاتور متناسب است و کاهش ولتاژ استاتور موجب کاهش سرعت می‌گردد. این نوع کنترل ولتاژ، برای بارهای با گشتاور ثابت مناسب نیست و معمولاً در مواردی بکار می‌رود که در ابتدای حرکت گشتاور کم و تغییر سرعت محدود لازم است. ولتاژ استاتور را می‌توان با استفاده از یکی روش‌های زیر تغییر داد:

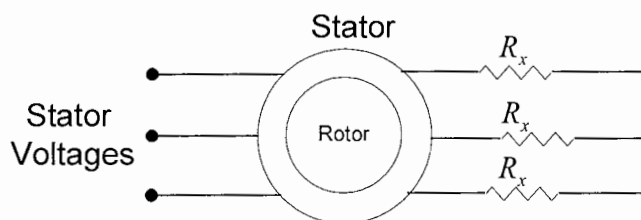
- .۱ کنترل کننده‌های ولتاژ ac سه فاز (سیکلوکانورترها)
- .۲ اینورترهای اتصال dc متغیر تغذیه شونده با ولتاژ سه فاز

۳. اینورترهای PWM سه فاز

به خاطر وجود محدودیت در محدوده سرعت مورد نیاز، معمولاً از کنترل کننده‌های ولتاژ ac استفاده می‌گردد. این مدارها ساختمان ساده‌ای دارند، ولی مولفه‌های هارمونیک بزرگ و ضریب توان ورودی آنها پائین می‌باشد. همچنین برای محدود کردن جریان در راه اندازی موتورهای القایی توان بالا از آنها استفاده می‌شود.

۲-۳-۳ کنترل ولتاژ رتور

این روش فقط در مورد موتورهایی با رتور سیم پیچی شده قابل اجرا است. در یک موتور با رتور سیم پیچی شده می‌توان یک مقاومت سه فاز خارجی مطابق شکل ۲-۳ به حلقه‌های هادی لغزان آن وصل کرد، گشتاور بوجود آمده طبق معادله ۱-۳ با تغییر این مقاومت تغییر می‌کند. در این روش اگر مقاومتهای مدار رتور برابر نباشند، باعث عدم تعادل در ولتاژها و جریانها می‌شود.



شکل ۲-۳-۳-کنترل سرعت با مقاومت رتور

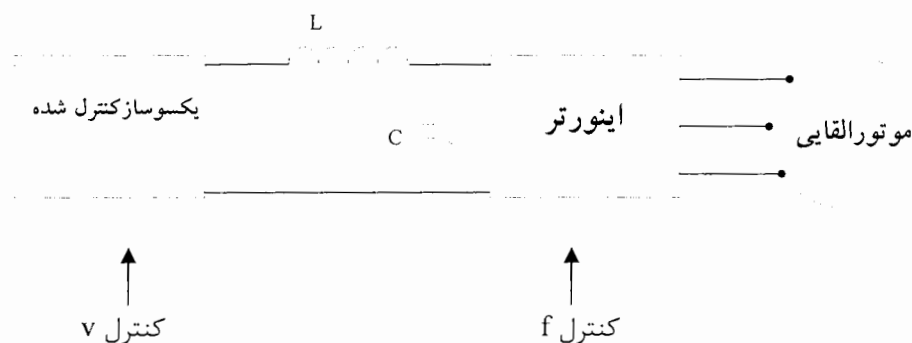
۲-۳-۴ کنترل فرکانس استاتور

گشتاور و سرعت موتورهای القایی را با تغییر فرکانس منبع می‌توان کنترل کرد. طبق رابطه ۲-۳ در ولتاژ و فرکانس نامی، شار فاصله هوایی مقدار نامی خود را دارد. اگر ولتاژ استاتور در مقدار نامی خود ثابت نگاه داشته شود و فرکانس به مقدار کمتر از مقدار نامی خود کاهش یابد، شار فاصله هوایی افزایش می‌یابد. این حالت باعث اشباع شدن شار فاصله هوایی می‌شود و در نتیجه پارامترهای موتور

دیگر برای تعیین مشخصه سرعت – گشتاور قابل استفاده نخواهد بود. در فرکانس‌های کم، راکتانس کاهش می‌یابد و جریان استاتور افزایش می‌یابد و در فرکانس‌های بیشتر از مقدار نامی شار و گشتاور هر دو کاهش می‌یابند. در این حالت حداقل گشتاور با عکس مجذور فرکانس مناسب می‌باشد که این خاصیت مشابه رفتار موتورهای DC سری می‌باشد. این نوع کنترل فرکانسی معمولاً مورد استفاده قرار نمی‌گیرد.

۴-۳-۳ کنترل فرکانس و ولتاژ استاتور

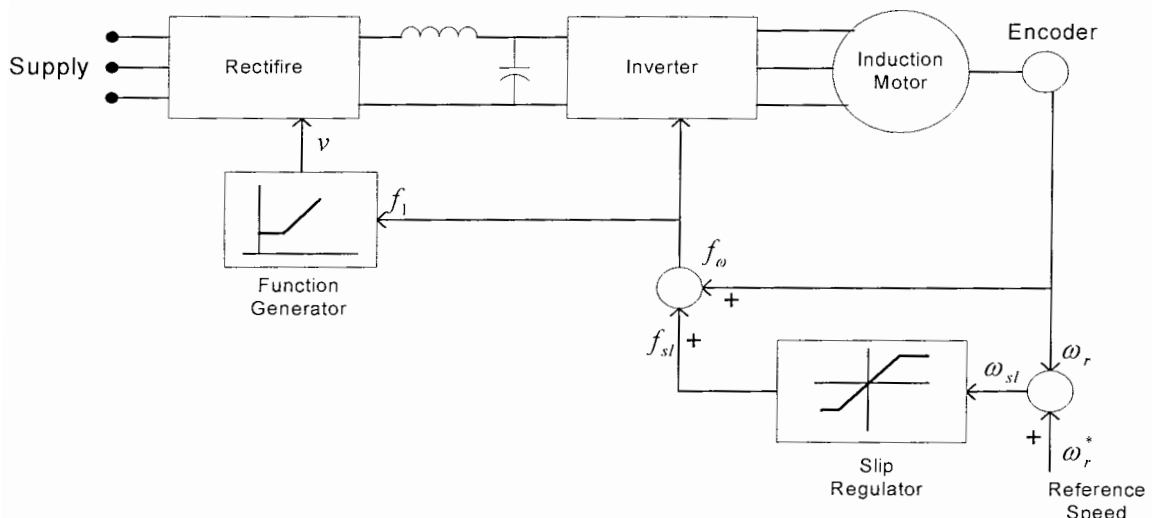
در این روش در هنگام تغییر فرکانس، نسبت ولتاژ به فرکانس ثابت نگهداشته می‌شود. بنابراین شار فاصله هوایی طبق رابطه ۲-۳ در مقدار نامی خود ثابت خواهد ماند. در فرکانس‌های پایین به علت افت ولتاژ بر روی امپدانس استاتور، شار فاصله هوایی کاهش یافته و لذا برای حفظ گشتاور، ولتاژ استاتور باید افزایش یابد. این نوع کنترل با عنوان کنترل ولت بر هرتز شناخته می‌شود. مدار شکل ۳-۳ برای تولید ولتاژ متغیر و فرکانس متغیر استفاده می‌شود.



شکل ۳-۳- مدار تولید کننده فرکانس و ولتاژ متغیر

۵-۳-۳ کنترل حلقه بسته

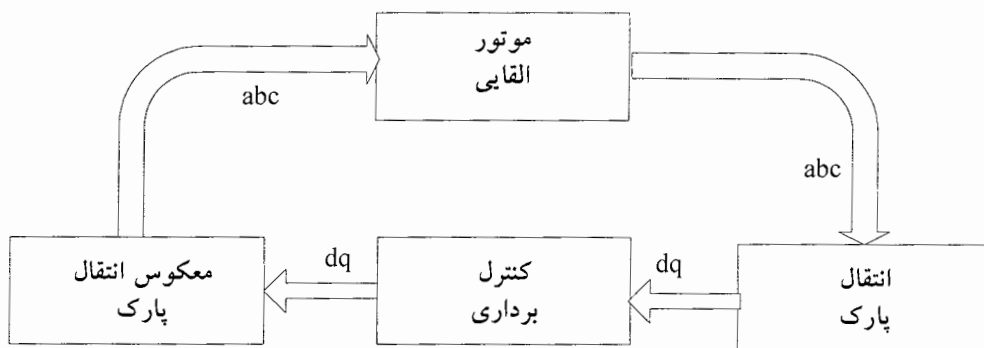
در بسیاری از کاربردهای صنعتی از سیستمهای کنترل حلقه بسته برای کنترل سرعت موتور استفاده می‌شود. شکل ۴-۳ سیستم کنترل سرعتی را نشان می‌دهد که در آن تنظیم فرکانس لغزش و عملکرد موتور تحت شرایط $\frac{v}{f}$ ثابت مورد نظر می‌باشد. در ابتدا تفاوت بین سرعت مرجع (ω_r^*) و سرعت موتور (ω_r ، سرعت لغزش (ω_{sl}) را ایجاد می‌نماید و لذا فرکانس لغزش (f_{sl}) تولید می‌شود. توسط یک تنظیم کننده لغزش، فرکانس لغزش را مجبور می‌سازیم که کمتر از فرکانس شکست گردد و با استفاده از ژنراتور تابع ولتاژی را تولید کرده که برای عملکرد موتور با $\frac{v}{f}$ ثابت مناسب باشد. ورودی ژنراتور تابع فرکانس استاتور و خروجی آن سیگنال اعمالی به یکسوساز می‌باشد.



شکل ۴-۳- سیستم کنترل حلقه بسته ، جهت عملکرد موتور با $\frac{v}{f}$ ثابت [۲]

۴-۳ کنترل برداری

ولتاژها و جریانهای محورهای d و q در معادلات موتور القایی دو فاز به یکدیگر کوپل ووابسته هستند. این کوپل کنترل سیستم را در کاربردهایی با عملکرد سطح بالا مختل می‌کند. با استفاده از کنترل برداری می‌توان موتورهای القایی را مشابه با موتورهای DC تحریک مستقل کنترل نمود. در کنترل برداری از مدل موتور القایی دو فاز استفاده می‌شود. شکل ۵-۳ تبدیل متغیرها را برای کنترل برداری موتورهای القایی نشان می‌دهد. این انتقال متغیرها بدون استفاده از میکروپروسسورهای قوی یا DSP‌ها ممکن نیست.



شکل ۵-۳- تبدیل متغیرها برای کنترل برداری موتورهای القایی

۴-۱ شباهتهای موتور DC و موتور القایی در حالت کنترل برداری

در موتورهای DC با صرف نظر از تأثیر اشباع شار، گشتاور برابر است با :

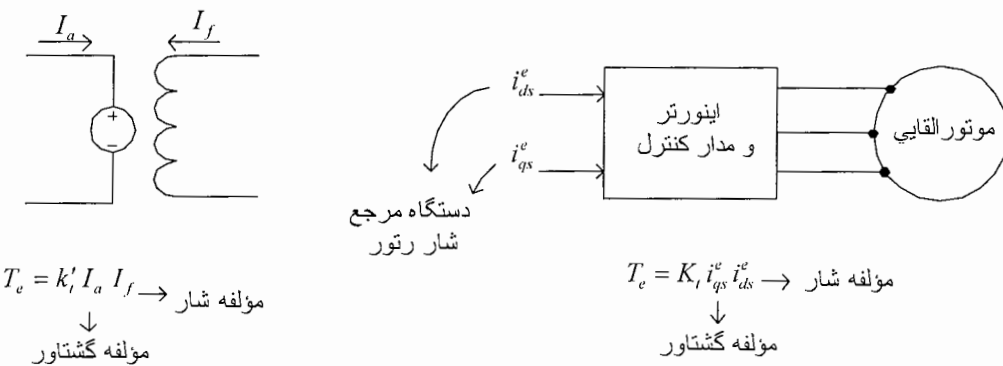
$$T_e = K_t I_a I_f \quad (3-3)$$

که در این معادله k_t ضریب ثابت گشتاور، I_a جریان آرمیچر (مؤلفه گشتاور) و I_f جریان تحریک (مؤلفه شار) می‌باشند. بنابراین متغیرهای کنترل کننده موتور DC عبارت خواهند بود از جریان I_a و جریان I_f که این دو متغیر را می‌توان مستقل از یکدیگر دانست زیرا تغییر یکی بر دیگری اثری ندارد.

و هریک مستقلًا قابل کنترل می‌باشند [۱۰، ۱۱]. در عمل برای کنترل موتورهای DC ابتدا میزان شار در حد نامی تنظیم می‌شود و سپس گشتاور تولیدی با جریان I_a تنظیم می‌گردد. به خاطر مجزا بودن جریان تحریک I_f از جریان آرمیچر I_a در حالت پایدار و در حالت گذرا، مقدار گشتاور توسط جریان آرمیچر مطابق شکل ۶-۳ قابل کنترل می‌باشد.

این حالت از کنترل را برای موتور القایی، با انتقال متغیرهای موتور به دستگاه مرجع دوار در امتداد شار رتور می‌توان بدست آورد. شکل ۷-۳ موتور القایی همراه با بلوک دیاگرام اینورتر با دو ورودی i_{ds}^e, i_{qs}^e که جریانهای استاتور در دستگاه مرجع شار رتور می‌باشند را نشان می‌دهد. در کنترل برداری جریان i_{ds}^e مشابه I_f و به عنوان مؤلفه شار و جریان i_{qs}^e مشابه I_a و به عنوان مؤلفه گشتاور عمل می‌کند. گشتاور در موتور القایی توسط معادله ۴-۳ بیان می‌شود.

$$T_e = K_t i_{qs}^e i_{ds}^e \quad (4-3)$$



شکل ۶-۳ - مدار معادل موتور DC

شکل ۶-۳ - موتور القایی با بلوک کنترل

مؤلفه‌های جریان i_{ds}^e, i_{qs}^e با توجه به اینکه مؤلفه‌های جریان استاتور بر روی دستگاه مرجع شار رتور می‌باشند، می‌توانند به عنوان ابزار کنترل کننده موتور القایی مورد استفاده قرار گیرند.

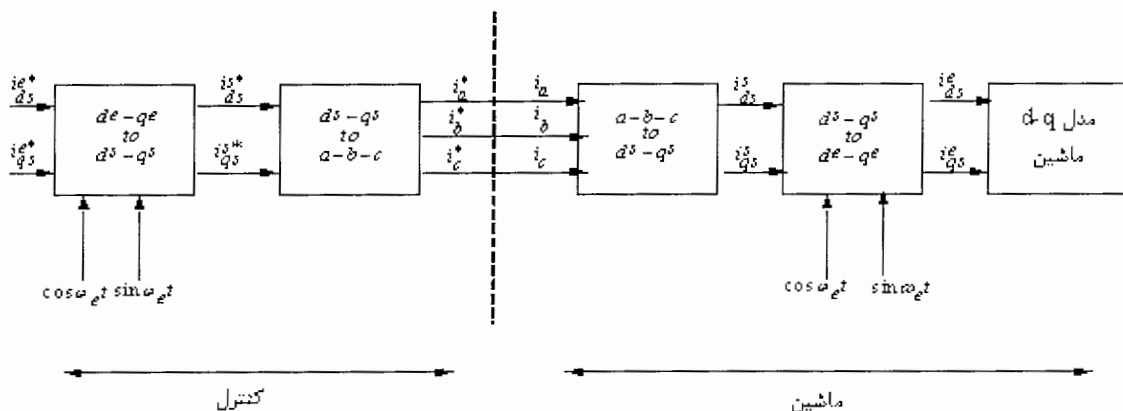
۳-۴-۳ نحوه اجرای کنترل برداری موتور القایی

در شکل ۳-۸ اساس کنترل برداری همراه با مدل ماشین در حالت ساده بیان شده است. ابتدا با استفاده از معادلات ۳-۵، جریانهای استاتور در مرجع سه فاز (i_a, i_b, i_c)، به مؤلفه‌های دو فاز i_{qs}^s, i_{ds}^s در دستگاه مرجع ساکن بر روی استاتور انتقال می‌یابند.

$$i_{qs}^s = i_{as} \quad , \quad i_{ds}^s = -\frac{1}{\sqrt{3}} i_{bs} + \frac{1}{\sqrt{3}} i_{cs} \quad (3-3)$$

سپس با استفاده از بردارهای یکه $\sin\theta_e, \cos\theta_e$ و معادلات ۳-۶ مؤلفه‌های جریان استاتور از دستگاه مرجع ساکن استاتور به دستگاه مرجع دوار انتقال می‌یابند.

$$\begin{aligned} i_{qs}^e &= i_{qs}^s \cos\omega_e t - i_{ds}^s \sin\omega_e t \\ i_{ds}^e &= i_{qs}^s \sin\omega_e t + i_{ds}^s \cos\omega_e t \end{aligned} \quad (3-3)$$



شکل ۳-۸-۳ نحوه اجرای کنترل برداری

جهت اجرای کنترل برداری مؤلفه‌های جریان i_{ds}^{e*}, i_{qs}^{e*} بر روی دستگاه مرجع دوار بعنوان مقادیر مرجع خواهند بود. این دو سیگنال توسط بلوکهای کنترل کننده شار و گشتاور تولید

می‌شوند. سپس این دو مؤلفه را از دستگاه مرجع دوار با استفاده از بردارهای یکه که منطبق بر بردار شار هستند، با توجه به معادلات ۷-۳ به دستگاه مرجع ساکن استاتور انتقال می‌دهیم.

$$\begin{aligned} i_{qs}^{s*} &= i_{qs}^{e*} \sin \omega_e t + i_{qs}^{e*} \cos \omega_e t \\ i_{ds}^{s*} &= i_{ds}^{e*} \cos \omega_e t - i_{qs}^{e*} \sin \omega_e t \end{aligned} \quad (7-3)$$

در مرحله بعد با استفاده از معادلات ۸-۳ این دو سیگنال از مرجع دو فاز به مرجع سه فاز انتقال می‌یابند.

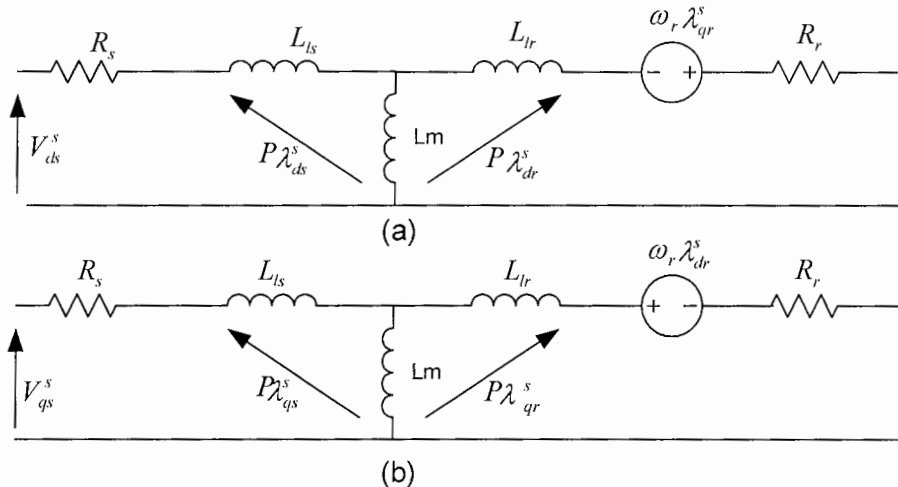
$$\begin{aligned} i_a^* &= i_{qs}^{s*} \\ i_b^* &= -\frac{\sqrt{3}}{2} i_{ds}^{s*} - \frac{1}{2} i_{qs}^{s*} \\ i_c^* &= \frac{\sqrt{3}}{2} i_{ds}^{s*} - \frac{1}{2} i_{qs}^{s*} \end{aligned} \quad (8-3)$$

سیگنالهای i_a^*, i_b^*, i_c^* بعنوان سیگنال مرجع به اینورتر داده شده تا جریانهای مطلوب جهت تغذیه موتور فراهم گردند. استفاده از بردارهای یکه که مبین محل بردار شار هستند باعث می‌گردد i_{ds}^{e*} منطبق بر بردار شار بوده و i_{qs}^{e*} عمود بر آن باشد

۳-۴-۳ جهت یابی شار

دو روش اصلی کنترل برداری عبارتند از روش مستقیم و روش غیر مستقیم و هر یک از این دو روش در سه حالت جهت یابی شار که عبارتند از جهت یابی شار رتور، شار استاتور و شار فاصله هوایی قابل اجرا هستند، بطوریکه بردارهای یکه می‌توانند در یکی از این سه راستا باشند. در شکل ۳-۹ که بیانگر مدار معادل $q - d$ موتور القایی در دستگاه مرجع ساکن استاتورمی باشد، λ_m شار استاتور، λ_r شار فاصله هوایی و λ_q شار رتور نشان داده شده‌اند.

جهت یابی با استفاده از شار فاصله هوایی λ_{ss} معمولاً به خاطر نیاز به تعییه سنسور بر روی استاتور در کاربردهای عملی مورد استفاده قرار نمی‌گیرد، و چون در این حالت از اندوکتانس پراکندگی رotor صرف نظر می‌شود می‌تواند باعث بروز مشکلات پایداری سیستم گردد.



شکل ۳-۹- مدار معادل موتور القایی در دستگاه مرجع ساکن (الف) محور d (ب) محور q

استفاده از جهت یابی شار rotor در کنترل برداری بسیار مرسوم است زیرا شار rotor مستقیماً در تولید گشتاور دخالت دارد. لذا عملکرد سیستم کنترل در این حالت بسیار خوب و در عین حال اجرای این روش آسان است. استفاده از جهت یابی شار استاتور در مواردی از جمله کاربرد در وسایل نقلیه به خاطر دلایلی ترجیح داده می‌شود. از جمله این دلایل اینکه جهت تولید سیگنالهای بردار یکه به سرعت نیاز نیست و تخمین‌های انجام گرفته نسبت به تغییرات پارامترهای ماشین مقاوم و غیرحساس می‌باشند. با توجه به اینکه محاسبات در فرکانس فریم منطبق بر شار استاتور انجام می‌گیرد و میزان شار استاتور در سرعتهای پایین نسبت به شارهای دیگر دارای مقدار بیشتری است پس دقت عمل بیشتر خواهد بود. البته باید توجه داشت که در روش جهت یابی شار استاتور این مشکل وجود دارد که شار بر روی دو محور کاملاً از یکدیگر مجزا نبوده و اثر متقابلی ما بین این دو وجود دارد که جهت جبران آن لازم است از یک بلوك اضافی دکوپله کننده استفاده شود.

۴-۴-۳ کنترل برداری مستقیم

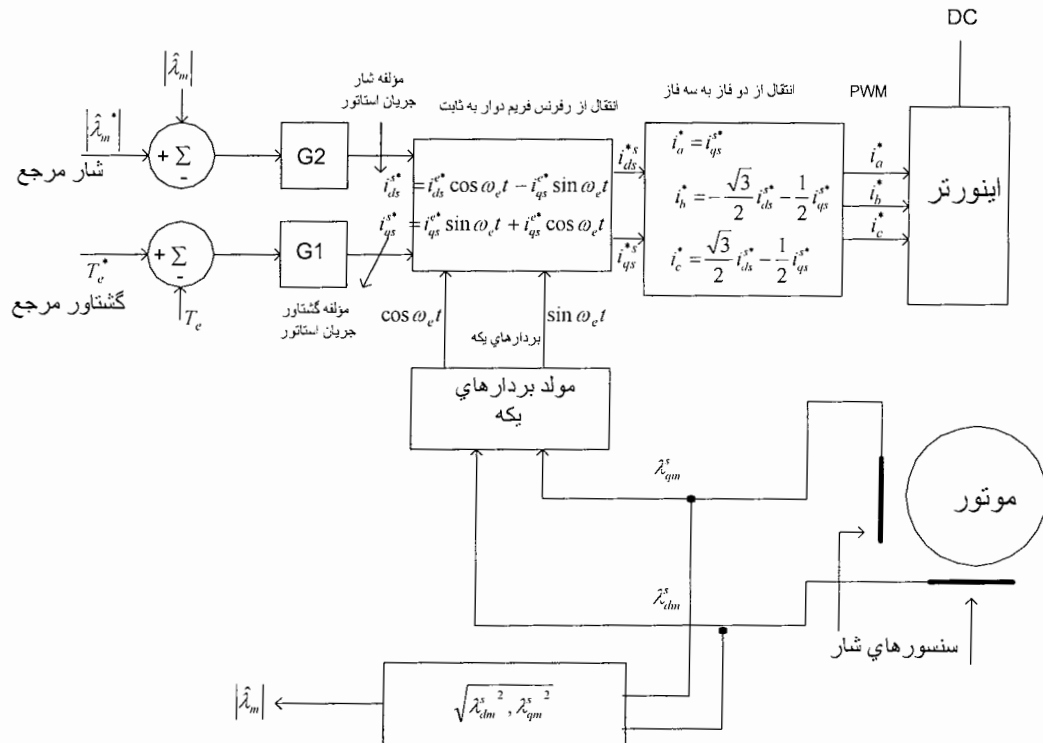
در کنترل برداری مستقیم که توسط Blaschke مطرح شد، مقادیر بردارهای یکه مستقیماً از روی سیگنالهای شار تولید می‌شوند. شکل ۳-۱۰ بلوک دیاگرام کنترل برداری مستقیم را نشان می‌دهد. در این بلوک دیاگرام کنترل شار و گشتاور توسط حلقه بسته انجام می‌شود [۱].

ابتدا شار مرجع با شار موتور مقایسه و خطای حاصله از یک کنترلر PI (G۲) عبور داده می‌شود، خروجی این کنترلر مؤلفه شار جریان استاتور خواهد بود. همچنین پس از مقایسه گشتاور مرجع با گشتاور موتور، مقدار خطای حاصله از یک کنترلر PI (G۱) عبور داده می‌شود که خروجی این کنترلر مؤلفه گشتاور جریان استاتور می‌باشد. این دو مؤلفه جریان، به صورت dc و منطبق بر دستگاه مرجع دوار می‌باشند.

در مرحله بعد با استفاده از مقادیر بردارهای یکه $(\sin \omega_e t, \cos \omega_e t)$ و معادلات نشان داده شده در بلوک دیاگرام، مؤلفه‌های جریان را از دستگاه مرجع دوار به دستگاه مرجع ساکن شده استاتور منتقل می‌کنیم. سنسورهای شار که بر روی استاتور تعییه شده‌اند سیگنالهای شار $\lambda_{dm}^s, \lambda_{qm}^s$ را تولید می‌کنند. مقادیر شار فاصله هوایی و بردارهای یکه با توجه به معادلات زیر محاسبه می‌شوند.

$$\lambda_m = \sqrt{(\lambda_{dm}^s)^2 + (\lambda_{qm}^s)^2} \quad , \quad \cos \omega_e t = \frac{\lambda_{dm}^s}{|\lambda_m|} \quad , \quad \sin \omega_e t = \frac{\lambda_{qm}^s}{|\lambda_m|} \quad (9-3)$$

سپس مقادیر مرجع را از سیستم دو فاز به سیستم سه فاز انتقال می‌دهیم. همچنین می‌توان حلقه کنترل سرعت هم به سیستم اضافه کرد که این حلقه قبل از حلقه کنترل گشتاور قرار می‌گیرد.



شکل ۳-۱۰-۱- بلوک دیاگرام کنترل برداری مستقیم

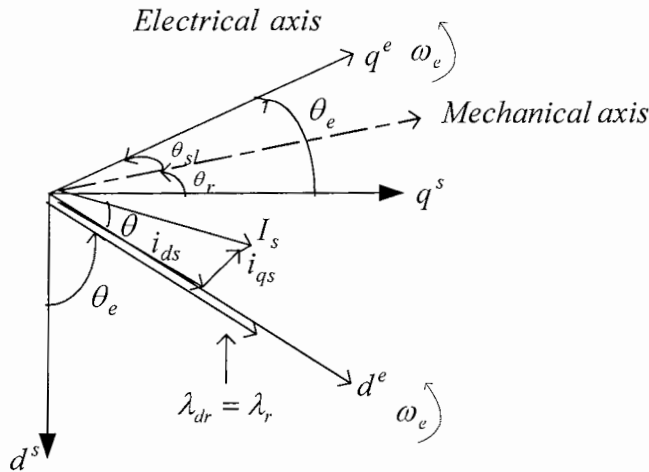
در کنترل برداری مستقیم مقدار ω_e به صورت مستقیم کنترل نمی‌شود و کنترل آن به صورت غیرمستقیم و از طریق بردارهای یکه می‌باشد. بردارهای یکه با استفاده از مقادیر شار محاسبه می‌شوند و دقیق در محاسبه شار در سرعتهای پایین کم می‌باشد، زیرا در سرعتهای پایین میزان افت ولتاژ بواسطه مقاومت استاتور قابل توجه می‌باشد. عدم دسترسی به مقدار واقعی مقاومت استاتور باعث می‌گردد که در سرعتهای زیر ۱۰٪ نامی عملکرد کنترل برداری مستقیم مختل شود، لذا استفاده از روش‌های جهت جبران اثر تغییر مقاومت استاتور در سرعتهای پایین ضروری می‌باشد.

۱-۴-۳ معايب کنترل برداری مستقيم

- سنسورهای شار در هنگام ساخت موتور باید در آنها جاسازی شود و این امر باعث عدم امکان کاربرد این روش در موتورهای استاندارد می‌گردد.
- سنسورهای اثر هال ظریف بوده و نسبت به تنشهای لرزشی مکانیکی و حرارتی مقاوم نمی‌باشند.
- سیم پیچهای جستجوگر مشکلات سنسور اثر هال را ندارند و با استفاده از چند سیم پیچ جستجوگر در قطبهای استاتور می‌توان مقدار و موقعیت بردار شار را اندازه گیری نمود ولی این روش در فرکانس‌های پایین (کمتر از $5/0$ هرتز) قادر به تعیین دقیق موقعیت بردار شار نمی‌باشد.
- استفاده از سیم پیچهای استاتور به عنوان سیم پیچهای جستجوگر باعث می‌شود که بتوان از این روش در مورد موتورهای استاندارد نیز استفاده نمود ولی این روش در فرکانس‌های کم علاوه بر مشکل بالا دارای مسئله عدم صرف نظر از افت ولتاژ اهمی استاتور، همچنین حساست به پارامترهای موتور و شرایط محیطی را داشته و در فرکانس‌های کم کارآیی ندارد.

۵-۴-۳ کنترل برداری غير مستقيم

اختلاف اصلی بین دو روش کنترل برداری مستقيم و کنترل برداری غير مستقيم در نحوه تولید بردارهای یکه ($\sin \omega_e t, \cos \omega_e t$) می‌باشد. در کنترل برداری غير مستقيم بردارهای یکه با استفاده از سیگنال سرعت و فرکانس لغزش (ω_s) محاسبه می‌شوند.



شکل ۱۱-۳- دیاگرام برداری متغیرها در کنترل برداری غیر مستقیم

شکل ۱۱-۳ دیاگرام برداری متغیرها در حالت کنترل برداری غیر مستقیم را نشان می‌دهد. محورهای d^s, q^s در دستگاه مرجع ساکن استاتور و محورهای d^e, q^e در دستگاه مرجع دوار می‌باشند. زاویه θ_e از جمع دو زاویه رتور θ_r و زاویه لغزش θ_{sl} بدست می‌آید. که $\theta_e = \omega_e t$ و $\theta_{sl} = \omega_{sl} t$ می‌باشد. زاویه محور دوار q^e نسبت به محور ثابت q^s همواره توسط θ_e بیان می‌شوند. با تعریف λ_r بعنوان دامنه شار رتور و θ_e بعنوان زاویه شار رتور:

$$|\lambda_r| = \sqrt{\lambda_{qr}^s + \lambda_{dr}^s} \quad , \quad \theta_e = \arctg \frac{\lambda_{qr}^s}{\lambda_{dr}^s} \quad (10-3)$$

انتقال متغیرها به دستگاه مرجع شار رتور با استفاده از ماتریس انتقال زیر صورت می‌پذیرد:

$$\begin{bmatrix} f_d^e \\ f_q^e \end{bmatrix} = \begin{bmatrix} \cos \theta_e & \sin \theta_e \\ -\sin \theta_e & \cos \theta_e \end{bmatrix} \begin{bmatrix} f_d^s \\ f_q^s \end{bmatrix} = \frac{1}{|\lambda_r|} \begin{bmatrix} \lambda_{dr}^s & \lambda_{qr}^s \\ -\lambda_{qr}^s & \lambda_{dr}^s \end{bmatrix} \begin{bmatrix} f_d^s \\ f_q^s \end{bmatrix} \quad (11-3)$$

بطوریکه f_d^e, f_q^e مؤلفه‌های محورهای d و q در دستگاه مرجع ساکن استاتور و f_d^s, f_q^s مؤلفه‌های محورهای d و q در دستگاه مرجع دوار می‌باشند.

با استفاده از تعریف ۱۰-۳ و استفاده از ماتریس انتقال ۱۱-۳ برای شارهای رتور داریم:

$$\lambda_{dr}^e = \sqrt{\lambda_{qr}^{s2} + \lambda_{ds}^{s2}} = |\lambda_r| = \lambda_r^e \quad (12-3)$$

$$\lambda_{qr}^e = 0 \quad (13-3)$$

با بکاربردن این ماتریس انتقال برای جریانهای استاتور و در نظر گرفتن متغیرهای i_{ds}^e, θ_e, w_r با عنوان متغیرهای حالت، معادلات فضای حالت زیر برای موتور القایی بدست می‌آیند

$$\frac{d\omega_r}{dt} = \mu \lambda_r^e i_{qs}^e - \frac{B}{J} \omega_r - \frac{T_l}{J} \quad (14-3)$$

$$\frac{d\lambda_r^e}{dt} = -\eta \lambda_r^e + \eta L_m i_{ds}^e \quad (15-3)$$

$$\frac{di_{qs}^e}{dt} = -\gamma i_{qs}^e - \beta n_p \omega_r \lambda_r^e - n_p \omega_r i_{ds}^e - \eta L_m \frac{i_{qs}^e i_{ds}^e}{\lambda_{dr}^e} + \frac{1}{\sigma L_s} v_{qs}^e \quad (16-3)$$

$$\frac{di_{ds}^e}{dt} = -\gamma i_{ds}^e + \eta \beta \lambda_r^e + n_p \omega_r i_{qs}^e + \eta L_m \frac{i_{qs}^e}{\lambda_{dr}^e} + \frac{1}{\sigma L_s} v_{ds}^e \quad (17-3)$$

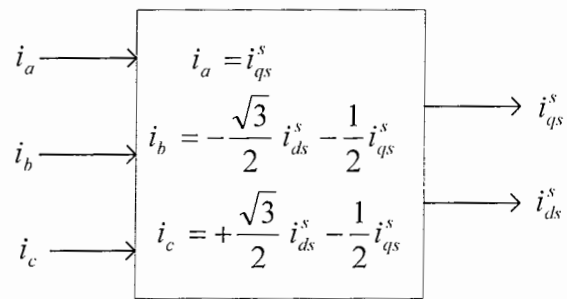
$$\frac{d\theta_e}{dt} = n_p \omega_r + \eta L_m \frac{i_{qs}^e}{\lambda_r^e} \quad (18-3)$$

و برای گشتاور الکترومغناطیسی خواهیم داشت:

$$T_e = \frac{3}{2} \left(\frac{p}{2} \right) \frac{L_m}{L_r} \lambda_r^e i_{qs}^e \quad (19-3)$$

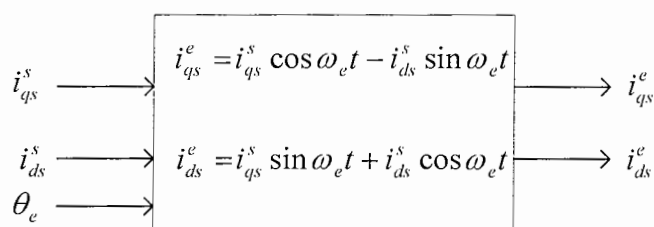
از معادله ۱۵-۳ دیده می‌شود شار رتور فقط به جریان محور d استاتور وابسته است. با توجه به معادله ۱۴-۳ اگر شار رتور ثابت نگه داشته شود، دینامیک سرعت رتور با جریان محور q استاتور عنوان ورودی سیستمی خطی می‌شود. با توجه به معادله ۱۹-۳ گشتاور الکترومغناطیسی با مؤلفه محور q جریان استاتور متناسب می‌باشد. برای اینکه شار رتور و سرعت موتور مقادیر مرجع را دنبال کنند می‌توان از کنترلرهای PI استفاده کرد.

در کنترل برداری غیر مستقیم، با توجه به بلوک دیاگرام شکل ۱۲-۳ جریانهای استاتور i_{ds}^s, i_{qs}^s در مرجع ساکن از جریانهای سه فاز موتور بدست می‌آیند.



شکل ۳-۱۲- تبدیل از مرجع سه فاز به مرجع دو فاز

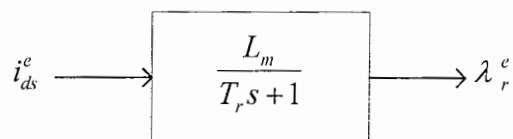
سپس با توجه به بلوک دیاگرام شکل ۳-۱۳ جریانها از مرجع ساکن به مرجع دوار انتقال می‌یابند.



شکل ۳-۱۳- تبدیل از مرجع ساکن به مرجع دوار

شار رتور با توجه به معادله ۱۵-۳ و استفاده از جریان محور d استاتور در دستگاه مرجع دوار، مطابق بلوک شکل ۱۴-۳ بدست می‌آید:

$$\lambda_r^e = \frac{L_m}{T_r s + 1} i_{ds}^e \quad (۲۰-۳)$$



شکل ۳-۱۴- بلوک تولید کننده شار رتور

در کنترل برداری غیرمستقیم بردارهای واحد $(\sin(\theta_e), \cos(\theta_e))$ با محاسبه زاویه شارترور (θ_e) از معادله ۱۸-۳ بدست می‌آیند. با تعریف فرکانس سنکرون به صورت:

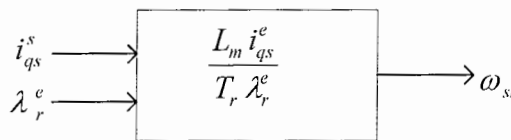
$$\omega_e = \frac{d\theta_e}{dt} \quad (21-3)$$

فرکانس لغزش از معادله ۲۰-۳ و با توجه به بلوک دیاگرام شکل ۱۵-۳ بدست می‌آید:

$$\omega_{sl} = \omega_e - n_p \omega_r = \eta L_m \frac{\dot{i}_{qs}^e}{\lambda_r^e} = \frac{L_m}{T_r} \cdot \frac{\dot{i}_{qs}^e}{\lambda_r^e} \quad (22-3)$$

بطوریکه θ_e برابر است با:

$$\theta_e = \int \omega_e dt = \int (n_p \omega_r + \omega_{sl}) dt \quad (23-3)$$

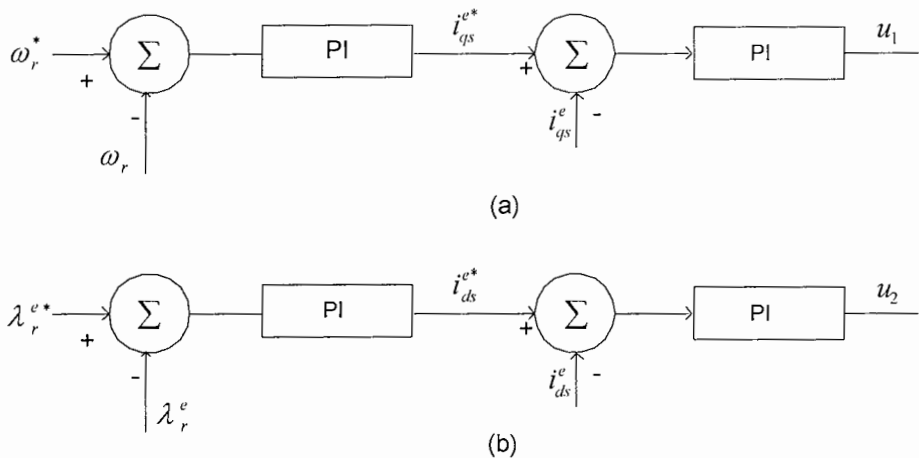


شکل ۱۵-۳- بلوک تولید کننده فرکانس لغزش

پس از مقایسه سرعت موتور با سرعت مرجع و شار رتور با شار مرجع مطابق با شکل ۱۶-۳ و استفاده از کنترل کننده‌های PI، جریانهای مرجع محورهای q و d در دستگاه مرجع دوار تولید می‌شوند. از مقایسه این جریانها با جریانهای محورهای q و d در دستگاه مرجع دوار و استفاده از کنترل کننده‌های PI، ولتاژهای محورهای q و d استاتور در دستگاه مرجع دوار (u_1 و u_2) حاصل می‌شوند.

$$u_1 = k_{p1} (i_{qs}^{e*} - i_{qs}^e) + k_{i1} \int (i_{qs}^{e*} - i_{qs}^e) dt \quad (24-3)$$

$$u_2 = k_{p2} (i_{ds}^{e*} - i_{ds}^e) + k_{i2} \int (i_{ds}^{e*} - i_{ds}^e) dt \quad (25-3)$$



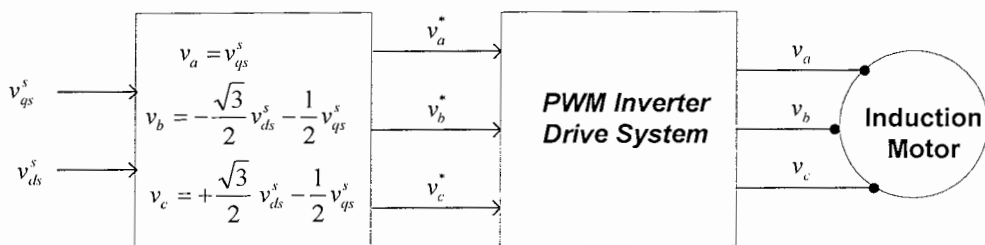
شکل ۳-۱۶-۳- بلوک کنترل کننده های سرعت ، شار و جریانهای استاتور

با استفاده از بلوک شکل ۳-۱۷-۳ ولتاژها را از دستگاه مرجع دوار به دستگاه مرجع ساکن استاتور انتقال می‌دهیم.

$$\begin{array}{ccc}
 v_{qs}^e & \xrightarrow{\quad} & v_{qs}^s = v_{qs}^e \cos \omega_e t + v_{ds}^e \sin \omega_e t \\
 v_{ds}^e & \xrightarrow{\quad} & v_{ds}^s = -v_{qs}^e \sin \omega_e t + v_{ds}^e \cos \omega_e t \\
 \theta_e & \xrightarrow{\quad} &
 \end{array}$$

شکل ۳-۱۷-۳- تبدیل از مرجع دوار به مرجع ساکن

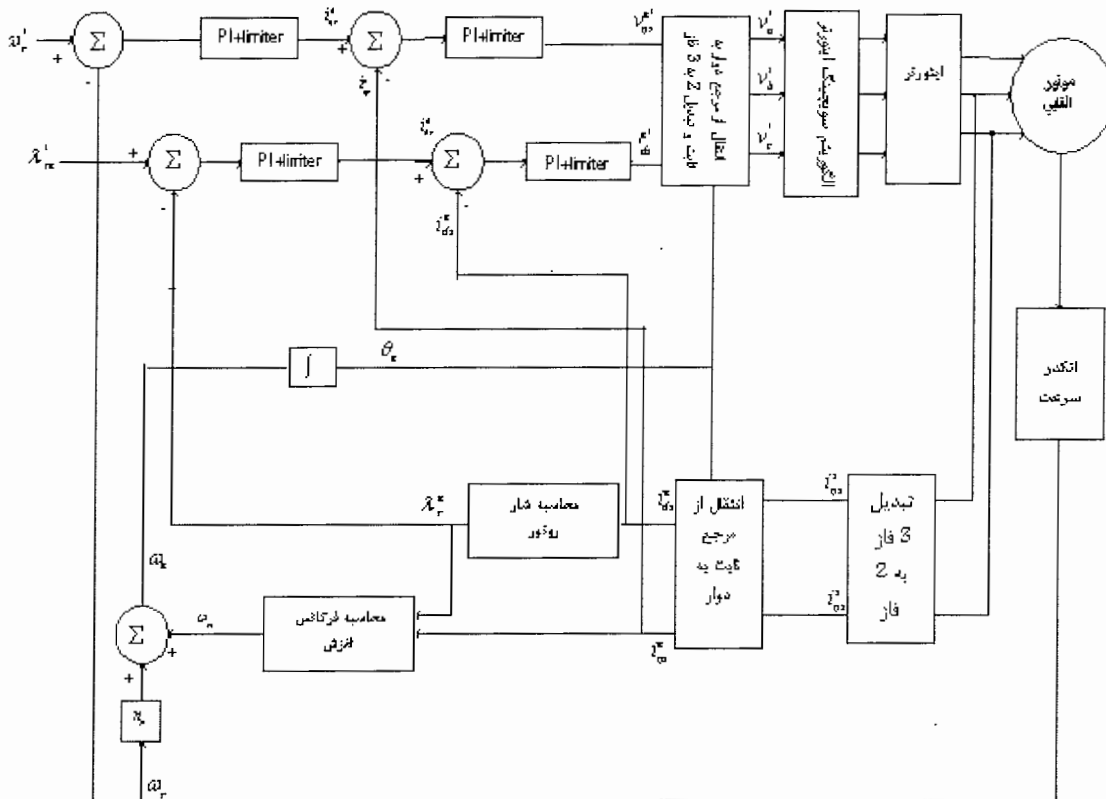
در نهایت با استفاده از تبدیل مرجع دو فاز به مرجع سه فاز، مطابق شکل ۳-۱۸-۳ و استفاده از روش PWM، سیگنالهای لازم را برای گیتهای اینورتر تولید کرده و سپس ولتاژهای مناسب را به موتور اعمال می‌نماییم.



شکل ۳-۱۸- تبدیل دو فاز به سه فاز

شکل ۱۹-۳ بلوک دیاگرام کاملی از کنترل برداری غیر مستقیم را نشان می‌دهد. در این شکل از دو کنترلر PI همراه با محدوده کننده‌ها برای کنترل سرعت و شار رتور استفاده شده است. خروجی این دو کنترلر فرمانهای مؤلفه‌های محور q و d جریانهای استاتور را تولید می‌کنند. برای کنترل جریان‌های استاتور نیز از دو کنترلر PI استفاده شده است.

کنترل برداری غیر مستقیم می‌تواند در چهار ناحیه گشتاور-سرعت به خوبی کار کند. این روش در سرعتهای پایین و نزدیک به صفر به خوبی کار می‌کند. در این روش مشکل وجود هارمونیک در سیگنالها که باعث ایجاد اختلال در کنترل برداری مستقیم می‌شد وجود ندارد. مشکل اصلی در این روش تغییر پارامترهای ماشین است، که باعث اختلال در تخمین لغزش مرجع می‌شود که در نهایت منجر به دکوپله شدن متغیرها گشته و در نتیجه سیستم از حالت کنترل برداری خارج می‌گردد. تاکنون روش‌های متعددی جهت جبران اثر تغییر پارامترها مطرح شده است.



شکل ۳-۱۹-۳- بلوک دیاگرام کامل کنترل برداری غیر مستقیم

۳- خلاصه:

در این فصل روش‌های کنترل سرعت موتور مورد بررسی قرار گرفته و سپس کنترل اسکالار و انواع روش‌های آن ارائه شدند. در ادامه کنترل برداری، نحوه اجرا و انواع روش‌های آن مورد بررسی قرار گرفته و بلوک دیاگرامی از کنترل برداری مستقیم ارائه شد. در انتهای نیز روش کنترل برداری غیر مستقیم همراه با معادلات و بلوک دیاگرامهای آن بطور کامل مورد بررسی قرار گرفتند.

فصل چهارم:

شبکه‌های عصبی

۱-۴ مقدمه

در مغز انسان تعداد زیادی سلول عصبی با تعداد بیشماری ارتباط عصبی وجود دارد که بشر را قادر می‌سازد تا مسائل بسیار دشوار را حل کند و با استفاده از تجربیات پیشین در مقابل شرایط جدید، واکنش نشان دهد.

این عناصر در کنار یکدیگر شبکه‌ها را تشکیل می‌دهند که قادرند با یادگیری از داده‌های ورودی، محاسبات دشواری را انجام داده و به کل مسئله بسط داده شوند و در نتیجه در مقابل داده‌های مغشوش مقاوم بوده و بر روی داده‌های ورودی ناشناخته عملکرد قابل قبولی داشته باشند.

شبکه‌های عصبی مصنوعی مدلی از سیستم عصبی موجودات زنده است. در مقایسه با کامپیوترهای خیلی سریع نیز مغز انسان قابلیت‌های ویژه‌ای دارد. این ویژگی‌ها به طور خلاصه به شرح زیرند:

- ۱- قدرت تعمیم: مغز انسان اگر برای چند نقطه از یک منحنی آموزش ببیند مقدار تابع را در سایر نقاط به خوبی تخمین می‌زند. این قدرت را تعمیم می‌نامند.
- ۲- مقاوم بودن در مقابل خطا: هر روز تعدادی از سلولهای مغز انسان می‌میرند ولی عملکرد مغز تغییر چندانی نمی‌کند.
- ۳- پردازش موازی: مغز انسان به صورت همزمان و موازی روی ورودی‌های مختلف پردازش انجام می‌دهد و سرعت بالایی دارد.
- ۴- کارخوب در محیط نامطمئن و نویزی: مغز انسان می‌تواند الگوهای مشابه با درصد زیاد نویز را از هم تشخیص دهد. مثلاً حروف نوشته شده دستی را، هرچند باهم تفاوت زیادی دارند، به خوبی تشخیص می‌دهد.

سوپر کامپیوترها از عهدۀ محاسبات سنگین به خوبی بر می‌آیند. مثلاً دو ماتریس ۱۰۰ در ۱۰۰ را خیلی سریع ضرب یا محاسبات دیگر را انجام می‌دهند. در صورتی که مغز انسان چنین توانایی بالایی ندارد. شبکه‌های عصبی مصنوعی با شبیه سازی شبکه‌های عصبی مغز انسان سعی می‌کنند هم توان محاسباتی سوپر کامپیوترها و هم ویژگی‌های مغز انسان را داشته باشند.

شبکه عصبی مصنوعی نیز مثل شبکه‌های عصبی طبیعی از تعداد زیادی نرون^۱، که با وزنه‌هایی به هم متصل هستند، تشکیل شده‌اند. این نرون‌ها به صورت موازی در هر لایه قرار دارند. سری لایه‌ها به دنبال هم قرار گرفته‌اند. عملکرد یک نرون که واحد ساختمانی یک شبکه است بسیار ساده است؛ مجموع وزنی چند ورودی را محاسبه می‌کند سپس آن را از یک تابع غیرخطی عبور می‌دهد و خروجی حاصل می‌گردد.

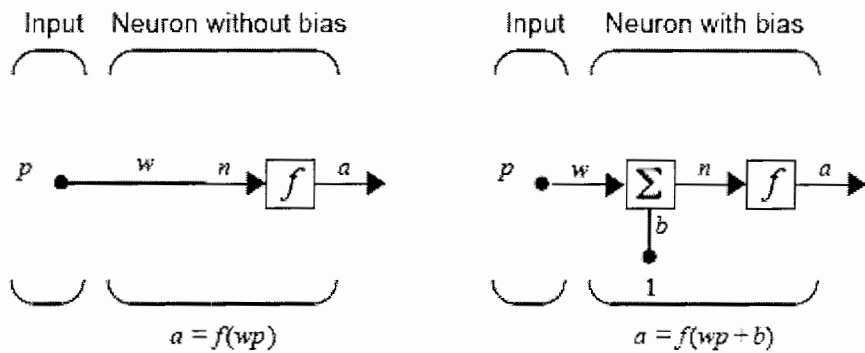
۲-۴ مدل نرون

ساختار یک نرون با ورودی اسکالر در شکل ۱-۴ نشان داده شده است. ورودی اسکالر P از طریق یک اتصال که بردار ورودی را در وزنه اسکالر w ضرب می‌کند، انتقال می‌یابد تا حاصل ضرب wp که دوباره اسکالر است، بدست آید. در اینجا ورودی وزن دارشده از تابع f عبور می‌کند و خروجی اسکالر a تولید می‌شود. ($a=f(wp)$) نرون سمت راست یک سطح آستانه اسکالر b دارد. ممکن است این سطح آستانه b را به سادگی مقدار ثابتی که با wp جمع شده بدانید و یا اینکه تصور کنید تابع f به مقدار b به سمت چپ منتقل شده است. اما این سطح آستانه همانند یک وزنه است که در ورودی یک اثر کرده است. [۹]

ورودی تابع انتقال مجموع حاصلضرب ورودی در وزنه شبکه w و سطح آستانه b می‌باشد. تابع خروجی، پله یا سیگموید می‌باشد که آرگومان n را می‌گیرد و خروجی a را تولید می‌کند. توجه کنید که مقادیر w, b مقادیر قابل تنظیمی هستند و ایده اصلی یک شبکه آن است که چنین

^۱ Neuron

پارامترهایی می‌توانند به گونه‌ای تنظیم شوند تا رفتار جالب و مطلوب مورد انتظار، قابل دستیابی باشد.



شکل ۴-۱-۴- ساختار یک نرون

۴-۲-۴ توابع انتقال

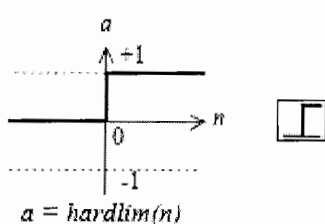
توابع انتقال بسیاری در شبکه‌های عصبی مورد استفاده قرار می‌گیرد و سه نوع معمول آنها بصورت زیر

بیان می‌گرند:

Hard-Limit Transfer Function

- تابع انتقال محدود کننده سخت

شکل تابع آن مطابق شکل ۲-۴ می‌باشد. خروجی این تابع نرونها را به دو مقدار صفر و یک محدود می‌کند. اگر ورودی کمتر از صفر باشد مقدار خروجی تابع صفر و اگر ورودی بیشتر از صفر باشد، برابر یک می‌گردد. این تابع در شبکه‌هایی مرسوم به پرسپترون که در دسته بندی اطلاعات بکار می‌رود، استفاده می‌شود.

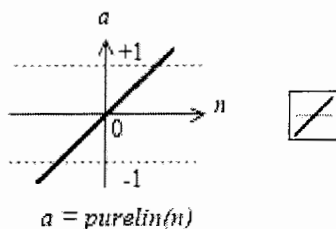


شکل ۴-۲-۴- تابع انتقال hard-limit

Linear Transfer Function

• تابع انتقال خطی

تابع انتقال خطی نوع دیگر این توابع می‌باشد. این تابع در فیلترهای خطی ورقی بکار می‌رود و به عنوان تقریب زنددهای خطی عمل می‌کنند و دارای منحنی شکل ۳-۴ می‌باشد. معمولاً خروجی شبکه‌هایی که بصورت صفر و یک نیستند، دارای چنین تابع انتقالی می‌باشند.

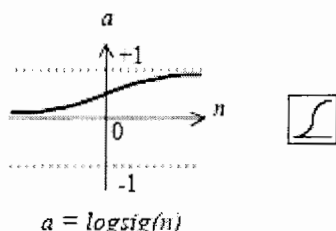


شکل ۳-۴- تابع انتقال خطی

Sigmoid Transfer Function

• تابع انتقال سیگموید

یکی از پر کاربردترین توابع مورد استفاده در شبکه‌های عصبی تابع انتقال سیگموید می‌باشد که در شکل ۴-۴ نمایش داده شده است. این تابع قابلیت‌های خاصی را به شبکه عصبی می‌دهد و هر مقداری را در رنج مثبت و منهای بینهایت در رنج ۰ تا ۱ محدود می‌کند.



شکل ۴-۴- تابع انتقال Log-Sigmoid

تابع انتقال خطی و سیگموید معمولاً در شبکه‌های پس انتشار خطا بکار می‌روند.

۲-۴ نرون با ورودی برداری

یک نرون با یک بردار ورودی R عنصری در شکل ۴-۵ نشان داده شده است. در این نرونها، ورودی‌ها وزن‌های شبکه و سطوح آستانه بصورت بردار هستند. این بردارها بگونه‌ای هستند که حاصل ضرب و جمع آنها اسکالر است و تابع فعالیت روی یک مقدار اسکالر اعمال شده و خروجی آنها بدست می‌آید. خروجی نرون از رابطه زیر حاصل می‌شود:

$$a = f(\mathbf{w}\mathbf{p} + b) \quad (1-4)$$

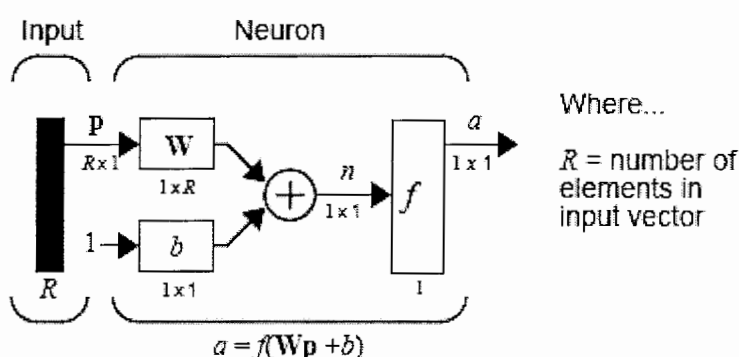
نرون سطح آستانه b را نیز دارد که با ورودی وزن داده شده، جمع می‌شود.

$$n = w_{1,1}p_1 + w_{1,2}p_2 + \dots + w_{1,R}p_R + b \quad (2-4)$$

برای راحتی محاسبات، عبارت فوق بصورت زیر نوشته می‌شود:

$$n = \mathbf{w}\mathbf{p} + b \quad (3-4)$$

یک لایه از شبکه بصورت شکل فوق تعریف می‌شود. یک لایه از وزنه‌ها، عملیات ضرب و جمع و آستانه بایاس b و تابع انتقال f است. بردارهای ورودی f به عنوان یک لایه یا جزئی از آن به حساب نمی‌آیند [۹].



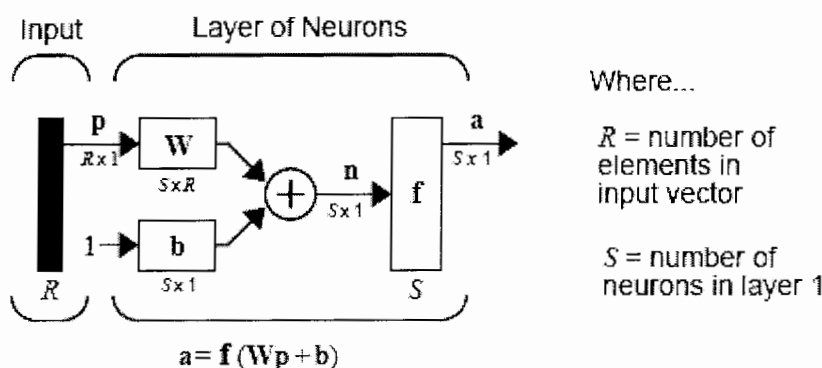
شکل ۴-۵ - نرون با یک بردار ورودی

۴-۳ ساختمان شبکه عصبی

دو یا چند نرون، از نرونهايی که در بالا نشان داده شده اند با هم ترکيب می‌شود و لايه‌اي را تشکيل می‌دهند. يك شبکه واقعی از ترکيب اين لايه‌ها بوجود می‌آيد و ممکن است شامل چند لايه باشد. ابتدا يك شبکه تک لايه را مورد توجه قرار می‌دهيم.

۱-۳-۴ يك لايه از نرونها

شكل ۴-۶ يك شبکه تک لايه با R المان ورودی و S نرون را نشان می‌دهد. توجه کنيد که بطور معمول تعداد ورودی های يك لايه با تعداد نرونها متفاوت است. بردار ورودی p به شبکه در ماتریس وزنه‌های w ضرب می‌شود.



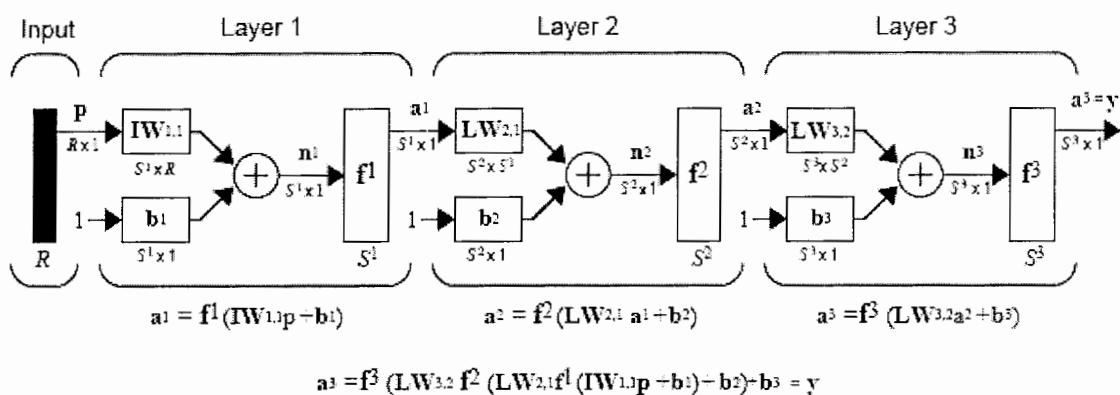
شكل ۴-۶- ساختمان يك شبکه تک لايه

هر يك از لايه های می‌تواند دارای تابع انتقال متفاوتی باشد. ماتریس وزن w را می‌توان بصورت زیر نمایش داد. سطر نشان دهنده نرون و ستون، نشان دهنده ورودی است. بنابراین $w_{1,2}$ نشان دهنده مقدار وزنه دومین ورودی به اولین نرون است.

$$W = \begin{bmatrix} w_{1,1} & w_{1,2} & \dots & w_{1,R} \\ w_{2,1} & w_{2,2} & \dots & w_{2,R} \\ \vdots & \vdots & \ddots & \vdots \\ w_{S,1} & w_{S,2} & \dots & w_{S,R} \end{bmatrix} \quad (4-4)$$

۲-۳-۴ لایه‌های چندگانه از نرون‌ها

یک شبکه می‌تواند متشکل از چند لایه باشد. هر لایه، ماتریس وزن W ، بردار b و خروجی a مخصوص بخود را دارا می‌باشد. معمولاً در یک شبکه سه لایه مثل شبکه نشان داده شده در شکل ۷-۴، لایه نهایی که خروجی شبکه را محاسبه می‌کند، لایه خروجی و لایه‌های دیگر، لایه‌های مخفی نامیده می‌شوند. (لایه‌های ۱ و ۲) بعضی نویسنده‌گان به چنین شبکه‌هایی ۴ لایه می‌گویند و لایه اول را جزو لایه به حساب می‌آورند. [۱۰]



شکل ۷-۴- ساختمان یک شبکه چند لایه

شبکه نشان داده شده دارای R ورودی، S^1 نرون در لایه اول، S^2 نرون در لایه دوم و S^3 نرون در لایه سوم می‌باشد. می‌توان لایه دوم را بصورت یک شبکه تک لایه با S^1 ورودی و S^3 نرون در نظر گرفت. شبکه‌های چند لایه بسیار قدرتمند هستند. برای مثال در یک شبکه دو لایه، لایه اول سیگموید و لایه دوم دارای تابع انتقال خطی باشد، می‌تواند هر تابعی را تقریب بزند. چنین ساختاری به شبکه‌های پس انتشار خطی یا^۱ MLP معروف هستند.

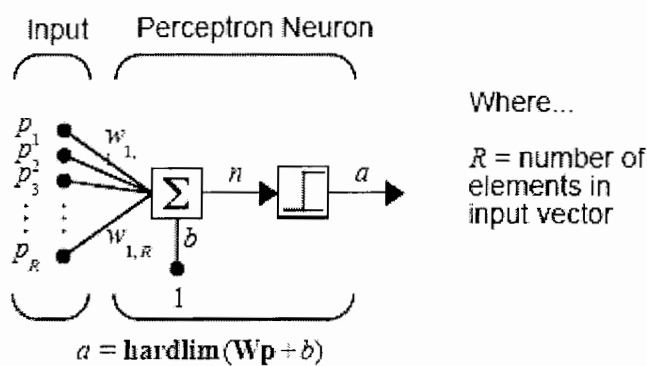
توپولوژی‌های مختلف شبکه‌ها و چگونگی ارتباط آنها باهم شبکه‌های مختلفی را ایجاد کرده است. در ادامه بحث، ما دو نوع از شبکه‌های معمول را بیان می‌کنیم. البته شبکه‌های بسیاری وجود دارند و هر

^۱ Multi layer Perseptron

کدام دارای مزایایی هستند، اما بخاطر مرسوم بودن استفاده از این روشها در کنترل دور موتورها فقط این دو نوع را بیان می‌کنیم.

۴-۴ شبکه پرسپترون^۱

همانطور که قبلاً بیان شد پرسپترون شبکه‌ای است که نرون آن دارای Hard-limit است. شبکه‌های پرسپترون پایه معمولاً یک لایه هستند و می‌توانند آموزش دیده و خروجی صحیحی را براساس ورودی آن ارائه دهند. روش آموزشی که استفاده می‌شود، قانون یادگیری پرسپترون نامیده می‌شود. پرسپترون مخصوصاً برای مسائل ساده‌ای از جمله دسته بندی الگو مناسب است و معمولاً شبکه‌های سریع و مناسبی در مسائلی اند که می‌توانند حل کنند. به علاوه اینکه فهم درست از این روش به فهم شبکه‌های پیچیده کمک می‌کند. این شبکه‌ها فقط به توابعی محدود هستند که دارای خروجی صفر و یک هستند و در مورد توابع دیگر توانایی لازم را ندارند. [۹],[۱۰]



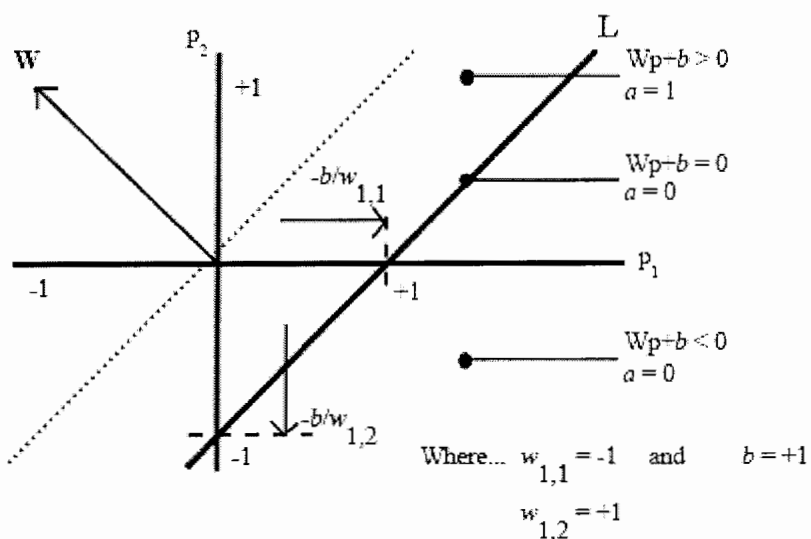
شکل ۴-۸-۴- مدل نرون یک شبکه پرسپترون

^۱ Perceptrons

۱-۴-۴ مدل نرون پرسپترون

یک نرون پرسپترون که از یک تابع انتقال Hard-limit استفاده می‌کند، در شکل ۸-۴ نشان داده شده است. ورودی خارجی در وزنه مناسب خود w_{ij} ضرب می‌شود و سپس این ورودی‌ها به تابع انتقال داده می‌شود. اگر مجموع ورودی‌ها در وزن آنها مثبت باشد یک نرون پرسپترون یک تولید می‌کند و اگر حاصل ضرب ورودی‌ها در وزن‌ها منفی باشد خروجی شبکه صفر خواهد بود. این به معنی تبدیل فضای ورودی به دو قسمت خواهد بود. در شکل ۹-۴ این مطلب با $w_{11} = -1$ و $w_{12} = +1$ و $b = +1$ نشان داده شده است.

نواحی دسته بندی با استفاده از خط مرزی تصمیم گیری L در $wp+b=0$ بوجود می‌آیند. این خط بر بردار وزنه w عمود است و به اندازه b انتقال یافته است. در نواحی هاشورخورده خروجی نرون ۱ و بقیه جاهای صفر است. این خط تقسیم بندی می‌تواند با تغییر w و b به هرجایی از صفحه انتقال یابد.



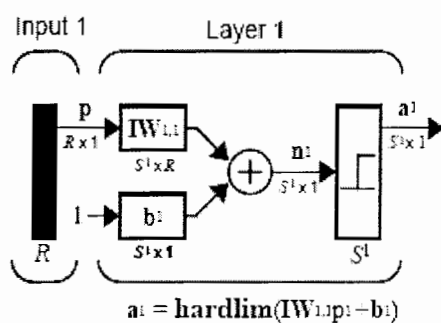
شکل ۹-۴- مرز تصمیم گیری یک شبکه پرسپترون

این بدین معنی است که یک شبکه پرسپترون می‌تواند تابع $y = wx + b$ را با هر شیب با سطح آستانه‌ای جهت دسته بندی اطلاعات تخمین بزند.

شبکه پرسپترون شامل یک لایه با S نرون پرسپترون است که به R ورودی وصل شده است. چنین شبکه‌ای در شکل ۱۰-۴ نشان داده شده است. قانون یادگیری پرسپترون که در ادامه در مورد آن بحث خواهیم کرد قادر است که فقط یک تک لایه را آموزش دهد.

۲-۴-۴ قوانین یادگیری

قانون یادگیری را به عنوان روشی برای تنظیم وزنه‌ها و بایاس‌های شبکه معرفی می‌کنیم. این روش به عنوان الگوریتم آموزش نیز معرفی شده است. قانون یادگیری جهت آموزش شبکه برای انجام کار مشخصی استفاده می‌شود.



Where...

R = number of elements in Input

S^1 = number of neurons in layer 1

شکل ۱۰-۴- ساختار یک شبکه پرسپترون

قوانين یادگیری به دو دسته عمومی تقسیم می‌شوند. یادگیری Supervised و یادگیری Unsupervised. در روش supervised آموزش از طریق مجموعه‌ای از ورودی و خروجی‌های شبکه انجام می‌گیرد که P ورودی به شبکه و t خروجی مناسب آن می‌باشد.

$$\{P_1, t_1\}, \{P_2, t_2\}, \dots, \{P_Q, t_Q\} \quad (5-4)$$

در روش unsupervised وزنه‌ها و بایاس‌ها از طریق پاسخ شبکه به ورودی‌های آن تنظیم می‌شوند و هیچ خروجی مشخصی وجود ندارد. اگر این الگوریتم‌ها کارهای دسته بندی را انجام می‌دهند، آنها الگوی ورودی را به تعداد محدودی دسته بندی می‌کنند.^[۱۰]. روش پرسپترون از نوع اول می‌باشد^[۹]

۳-۴-۴ یادگیری پرسپترون

شبکه‌های پرسپترون براساس مثالهایی از رفتار مطلوب آموزش می‌بینند. رفتار مطلوب توسط مجموعه‌ای از ورودی خروجی بیان می‌شود.

$$P_1 t_1, p_2 t_2, \dots, p_Q t_Q \quad (6-4)$$

که P ورودی و t خروجی می‌باشد.

هدف کاهش خطای نسبی پاسخ شبکه و خروجی مطلوب است.

$$e = t - a \quad (7-4)$$

که a پاسخ شبکه می‌باشد.

۴-۴-۴ مزايا و محدوديتها

شبکه‌های پرسپترون با روش آموزش وفقی کار می‌کنند بطوریکه بردار ورودی را یک بار، اعمال می‌کنند و تصحیح‌های لازم را براساس نتایج حاصل شده انجام می‌دهند. بنابراین، این اطمینان حاصل می‌شود که این شبکه‌ها در حوزه‌های کاری خود هر تابعی را با تکرار محدود می‌تواند تخمین بزنند. اما شبکه‌های پرسپترون محدوديتهایی هم دارند، اول اینکه پرسپترون فقط قادر به جداسازی مجموعه‌های برداری که بصورت خطی قابل جداسازی‌اند، می‌باشد. شکل ۴-۱۰ یک نرون با R ورودی را نشان می‌دهد. ورودی با وزنه w به جمع کننده می‌رسد. مجموع ورودی‌های وزن دیده شده

و بایاس، ورودی تابع انتقال را فراهم می‌آورند. نرون ممکن است تابع انتقالهای متفاوتی استفاده کند اما در شبکه‌های چند لایه معمولاً از تابع log-sig استفاده می‌شود. این تابع خروجی نرون را بین ۰ تا ۱ قرار می‌دهد. البته در بعضی شبکه‌ها نیز بسته به کاربرد آن، ممکن است از تابع Tan-sigmoid استفاده گردد.

در مواردی که نیاز به مقادیر بالاتر از ۱ و -۱- می‌باشد، از تابع purelin استفاده می‌شود. اگر در لایه خروجی یک نرون تابع سیگموید استفاده شود، خروجی در رنج کوچکی محدود می‌شود. اما اگر تابع لایه خروجی purelin باشد خروجی شبکه می‌تواند هر مقداری را داشته باشد. یک شبکه تک لایه با S نرون و R ورودی در شکل ۱۰-۴ نشان داده شده است. اما شبکه‌های مستقیم معمولاً دارای یک یا چند لایه مخفی هستند که به دنبال آنها لایه خروجی می‌آید و معمولاً تابع انتقال در لایه‌های مخفی از نوع سیگموید و در لایه خروجی از نوع pureline می‌باشد.

Backpropagation

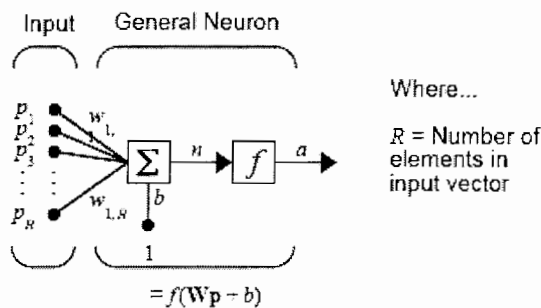
۴-۵ شبکه پس‌انتشار

در این بخش ساختار شبکه‌ای که معمولاً بیشتر با الگوریتم پس-انتشاربکار می‌رود را مورد بررسی قرار می‌دهیم. (پیش خورد^۱ چند لایه)

۱-۵-۴ مدل نرون

یک نرون ابتدایی با R ورودی در شکل ۱۱-۴ نشان داده شده است. هر ورودی با یک w مناسب وزن می‌گردد. مجموع ورودیهای وزن شده و بایاس‌ها با یکدیگر جمع می‌شوند و به تابع انتقال f وارد می‌شوند. ممکن است نرونها از تابع انتقالهای متفاوت f برای تولید خروجی، استفاده کنند.

^۱ Feedforward

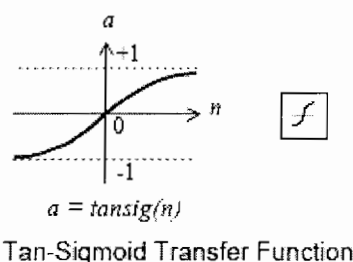


شکل ۱۱-۴- مدل نرون ساده

شبکه چند لایه معمولاً از تابع انتقال log-sigmoid استفاده می‌کند. این تابع، خروجی‌هایی بین صفر و

یک تولید می‌کند، بصورتیکه ساختار نرونها ورودی بصورت نامشخص از منفی به مثبت رود.

معمولاً شبکه چند لایه از تابع انتقال tan-sigmoid و بندرت از تابع خطی purelin استفاده می‌کند.



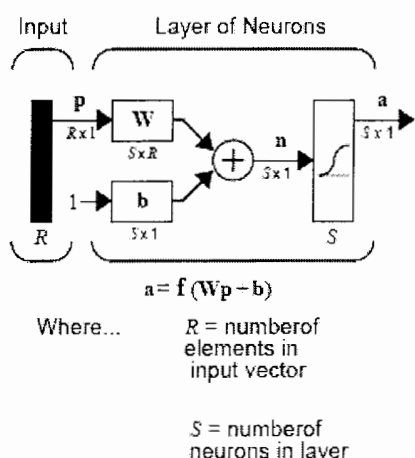
شکل ۱۲-۴- تابع انتقال tan-sigmoid

اگر لایه آخر شبکه چند لایه دارای نرونها sigmoid باشد در آنصورت خروجی شبکه به رنج کوچکی محدود می‌گردد و اگر نرونها خروجی خطی باشند، خروجی شبکه می‌تواند هر مقداری را داشته باشد.

معمولاً سه تابع انتقال tan-sigmoid، purelin، tan-sigmoid در شبکه پس انتشار بکار می‌روند.

۲-۵-۴ شبکه پیش خورد

یک شبکه تک لایه با S نرون logsig و R ورودی در شکل ۱۲-۴ نشان داده شده است. شبکه‌های پیش خورد معمولاً دارای یک یا چند لایه مخفی با نرونها sigmoid می‌باشند که بوسیله نرونها خطی در لایه خروجی آن دنبال می‌شود. لایه‌های نرونها با توابع انتقال غیرخطی، اجزاء یادگیری روابط خطی و غیرخطی بین بردارهای ورودی و خروجی را می‌دهد. لایه خطی خروجی اجزاء تولید مقادیر خروجی بین رنج ۱ تا ۱ را می‌دهد.



شکل ۱۲-۴- یک شبکه تک لایه با تابع انتقال logsig در خروجی

به عبارت دیگر اگر بخواهیم خروجی‌های شبکه را محدود کنیم (مثلاً بین ۰ و ۱) در آنصورت از تابع انتقال sigmoid (مثلا logsig) در لایه خروجی استفاده می‌کنیم.

۸-۴ خلاصه:

در این فصل ساختار شبکه عصبی مورد بررسی قرار گرفته است و شبکه‌های پرسپترون و پس انتشار بصورت مشروح مورد بررسی قرار گرفتند.

فصل پنجم:
روشهای تخمین
سرعت موتور القایی
بدون استفاده از
حسگر سرعت

۱-۵ مقدمه

محركه‌های الکتریکی موتور القایی در روند عملیات کنترل خود به سرعت موتور القایی در هر لحظه نیازمندند. این سرعت بمنظور تبدیل متغیرهای مختلف (عموماً جریان و ولتاژ استاتاتور) از قالب مرجع استاتاتور به سنکرون و بلعکس بکار برده می‌شوند. همچنین در صورتیکه محرکه الکتریکی بمنظور کنترل سرعت بکار رود، سرعت موتور به عنوان فیدبک در حلقه کنترل سرعت بکار گمارده می‌شوند. بنابراین محاسبه سرعت روتور در محرکه‌های الکتریکی الزامی است. ساده‌ترین روش اندازه‌گیری سرعت بوسیله حسگر سرعت (انکدر یا تاکومتر) از روی محور موتور می‌باشد. اما بکارگیری حسگر سرعت در محرکه الکتریکی مشکلاتی از قبیل نصب حسگر سرعت، پائین آمدن قابلیت اطمینان سیستم، اضافه شدن هزینه بدلیل استفاده از حسگر سرعت و ناتوانی عملکرد محرکه الکتریکی در محیط‌های کاری نامساعد را ایجاد می‌کند. بنابراین سعی می‌شود که با حذف حسگر سرعت و جایگزینی آن با یک تخمینگر سرعت از مواجه شدن با مشکلات فوق اجتناب گردد. برای این منظور تخمینگرهای سرعت متنوعی تاکنون بکار گرفته شده است که هرکدام دارای مزایا و معایب منحصر به خویش است. در اینجا روش‌های مختلف تخمین سرعت را بیان می‌کنیم.

۲-۵ روش‌های کنترل سرعت موتور القایی بدون استفاده از انکدر

رووش‌های مختلف کنترل سرعت موتور القایی بدون استفاده از انکودر سرعت به دو دسته تقسیم بندی می‌شوند

۱-۲-۵ کنترل حلقه باز سرعت

این روش، روش ساده‌ای می‌باشد و از ساختار و معادلات موتور برای تخمین سرعت استفاده می‌کند. فرکانس لغش تخمین زده شده فقط برای جبران تغییرات بار بکار می‌رود و در این حالت فرکانس سنکرون ثابت است. معايب آن وابستگی به پaramترها و وضعیت عملکرد نقطه کار می‌باشد. سادگی و ارزان قیمت بودن از محسن این روش می‌باشد و به دو دسته زیر تقسیم می‌گردد.

۱-۲-۵-۱ کنترل حلقه باز بر مبنای استفاده از معادلات موتور

این گروه از تخمینگرها عموماً از جریانها و ولتاژهای موتور جهت تعیین سرعت موتور استفاده می‌نماید. برای اندازه‌گیری ولتاژهای استاتور از حسگر های ولتاژ، ولتاژ باس dc و حالت سوییچها یا ولتاژهای کنترلی استفاده می‌کند. هرگاه از ولتاژهای کنترلی استفاده گردد، باید بهره و تاخیر اینورتر در نظر گرفته شود.

۱-۲-۵-۲ کنترل حلقه باز بر مبنای ساختار فیزیکی موتور

این روش، روش ساده‌ای می‌باشد و در محركه های ارزان قیمت صنعتی مورد استفاده قرار می‌گیرد. با استفاده از ساختار فیزیکی می‌توان از پدیده اشباع دندانه‌ها و هسته موتور و نیز هارمونیک شیارهای روتور استفاده کرد. مقاومت در مقابل تغییر پaramترها و محاسبات نسبتاً کم از مزايا و نیاز به اندازه‌گیری دقیق برخی از کمیات موتور و حساسیت زیاد نسبت به نویز از معايب این روش می‌باشد.

۲-۲-۵ کنترل حلقه بسته با تخمین سرعت

در این روش سرعت موتور تخمین زده می‌شود و سیگنال فیدبک برای تنظیم سرعت حلقه بسته بکار می‌رود و به انواع: روش MRAS، رویتگر لیونبرگر، اساس هارمونیک‌های ناشی از شیار روتور، فیلتر کالمون و شبکه عصبی تقسیم بندی می‌گردد. هر یک از این روشها دارای مزایا و معایبی می‌باشد [۳].

۳-۵ انواع روش‌های تخمین سرعت موتور القایی

حال به بررسی کاملتر هریک از روش‌های مختلف تخمین سرعت می‌پردازیم:

Conventional Speed Estimator

۱-۳-۵ تخمینگر معمولی سرعت

در این روش از روی جریان اندازه گیری شده موتور و شار روتور یا استاتور، سرعت محاسبه می‌گردد. در این روش مقدار شار را می‌توان بصورت مستقیم، بوسیله یک حسگر اثر هال اندازه گیری نمود (روش مستقیم) و یا می‌توان با استفاده از معادلات موتور (روش غیر مستقیم) بدست آورد. شکل ۱-۵ بلوک دیاگرام این روش را نشان می‌دهد [۳].

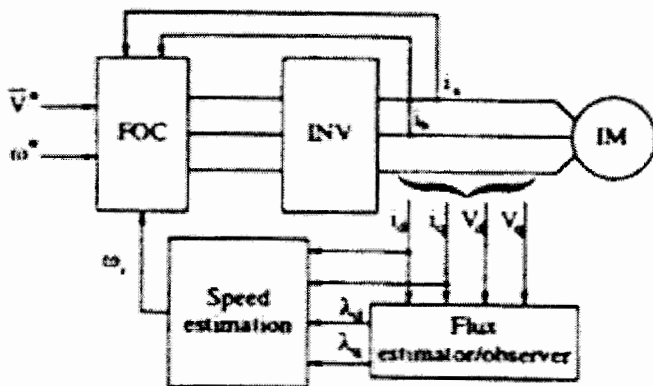
به دو روش استفاده از روابط شار و ولتاژ پیاده سازی می‌گردد.

در روش اول، سرعت روتور w_r از تفاضل سرعت سنکرون w_e و لغزش w_{sl} محاسبه می‌گردد. سرعت سنکرون و لغزش در دستگاه ساکن از روابط زیر محاسبه می‌گردد.

$$w_e = \frac{\lambda_{qs}^* \lambda_{ds} - \lambda_{ds}^* \lambda_{qs}}{\lambda_{ds}^2 + \lambda_{qs}^2} \quad (1-5)$$

$$w_{sl} = \frac{L_m}{\tau_r} \frac{\lambda_{ds} i_{qs} - \lambda_{qs} i_{ds}}{\lambda_{ds}^2 + \lambda_{qs}^2} \quad (2-5)$$

ترکیبات محور d, q شار استاتور، i_{ds}, i_{qs} ترکیبات محور d, q جریان استاتور، L_m اندوکتانس خودی و τ_r ثابت زمانی روتور می‌باشند. (۲-۵) در رابطه $(\lambda_{ds}i_{qs} - \lambda_{qs}i_{ds})$ متناسب با گشتاور ماشین می‌باشد و می‌توان بجای آن از ترکیبات شار روتور و جریان استاتور یا ترکیبات شار روتور و شار استاتور استفاده نمود.



شکل ۱-۵- بلوک تخمینگر معمولی سرعت [۳]

روش دیگر بر اساس روابط ولتاژ و شار موتور القایی در دستگاه مرجع ساکن می‌باشد. سرعت بصورت مستقیم از روابط زیر بدست می‌آید.

$$v_{ds} = R_s i_{ds} + \frac{d}{dt} \lambda_{ds} \quad (3-5)$$

$$v_{qs} = R_s i_{qs} + \frac{d}{dt} \lambda_{qs} \quad (4-5)$$

$$0 = R_r i_{dr} + \frac{d}{dt} \lambda_{dr} + w_r \lambda_{qr} \quad (5-5)$$

$$0 = R_r i_{qr} + \frac{d}{dt} \lambda_{qr} - w_r \lambda_{dr} \quad (6-5)$$

$$\lambda_{ds} = L_s i_{ds} + L_m i_{dr} \quad (7-5)$$

$$\lambda_{qs} = L_s i_{qs} + L_m i_{qr} \quad (8-5)$$

$$\lambda_{dr} = L_s i_{ds} + L_m i_{dr} \quad (9-5)$$

$$\lambda_{qr} = L_s i_{qs} + L_m i_{qr} \quad (10-\Delta)$$

ترکیبات محور d,q و لتاژ استاتور، λ_{dr} , λ_{qr} ترکیبات محور d,q شار روتور، i_{dr} , i_{qr} ترکیبات محور d,q جریان روتور، L_r , L_s , R_r , R_s بترتیب مقاومت استاتور، مقاومت روتور، اندوکتانس استاتور و اندوکتانس روتور می‌باشد.

ترکیبات جریان روتور، بصورت تابعی از شار استاتور بیان می‌گردد.

$$i_{dr} = \frac{1}{pL_m} (v_{ds} - R_s i_{ds}) - \frac{L_s}{L_m} i_{ds} = \frac{1}{L_m} (\lambda_{ds} - L_s i_{ds}) \quad (11-\Delta)$$

$$i_{qr} = \frac{1}{pL_m} (v_{qs} - R_s i_{qs}) - \frac{L_s}{L_m} i_{qs} = \frac{1}{L_m} (\lambda_{qs} - L_s i_{qs}) \quad (12-\Delta)$$

با حذف مقاومت روتور از روابط ۱۱-۵ و ۱۲-۵ سرعت روتور بصورت زیر محاسبه می‌گردد.

$$w_r = \frac{\bar{i}_r \wedge \bar{\lambda}_r^\bullet}{\bar{i}_r \bullet \bar{\lambda}_r} \quad (13-\Delta)$$

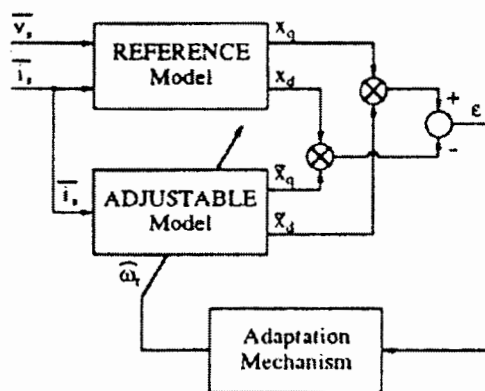
با جایگذاری روابط ۱۱-۵ و ۱۲-۵ در ۱۳-۵، سرعت روتور بصورت زیر محاسبه می‌گردد.

$$w_r = \frac{(\lambda_{ds} - L_s i_{ds}) \lambda_{qr}^\bullet - (\lambda_{qs} - L_s i_{qs}) \lambda_{dr}^\bullet}{(\lambda_{ds} - L_s i_{ds}) \lambda_{qr} - (\lambda_{qs} - L_s i_{qs}) \lambda_{dr}} \quad (14-\Delta)$$

۲-۳-۵ سیستم تطبیقی با مدل مرجع Model Reference Adaptive System (MRAS)

در این سیستم تخمین سرعت بر اساس مقایسه‌ای میان خروجی دو تخمینگر انجام می‌گیرد. تخمینگرهای کمیت مورد تخمین (سرعت روتور) را بکار نمی‌گیرند. خطای بین مقادیر خروجی دو تخمینگر به عنوان ورودی یک سیستم تطبیقی مناسب که سرعت روتور را تخمین می‌زنند، بکار گرفته می‌شود. شکل ۲-۵ سیستم کنترل تطبیق پذیر را نشان می‌دهد. موتور القایی در مدل مرجع نشان داده شده است و مدل تنظیم پذیر می‌تواند یک مدل ایده‌آل باشد که سرعت روتور را به عنوان یک پارامتر در نظر می‌گیرد. در حالی که سرعت روتور تخمین زده شده در مدل تنظیم پذیر تغییر می‌کند

و در صورتیکه تفاوت بین خروجی مدل مرجع و مدل تنظیم پذیر صفر باشد، در این صورت سرعت روتور تخمین زده شده برابر سرعت طبیعی روتور خواهد بود. سیگنال خطأ، الگوریتم شناسایی سرعت روتور را که باعث صفر شدن خطأ می‌گردد، بکار می‌اندازد. الگوریتم شناسایی سرعت بگونه‌ای طراحی شده است که پاسخ سریع و پایدار بدست آید [۳].



شکل ۲-۵- سیستم کنترل قابل تنظیم با مدل مرجع بصورت موازی

روش فوق با مقایسه پارامترهای مختلف مثل: شار روتور، بردار emf بازگشتی و توان راکتیو می‌باشد. حالت مقایسه شار معمولاً در کنترل برداری موتور القایی بکار می‌رود، بصورتی که مدل موتور القایی به عنوان مدل مرجع و کنترل برداری ایده آل به عنوان مدل قابل تنظیم در نظر گرفته شده است. بلوک سیستم فوق در شکل ۳-۵ نشان داده شده است. معادلات شار در موتور القایی از دو رابطه زیر بدست می‌آیند که رابطه ۱۵-۵ را رابطه ولتاژی و رابطه ۱۶-۵ را رابطه جریانی شار می‌نامند.

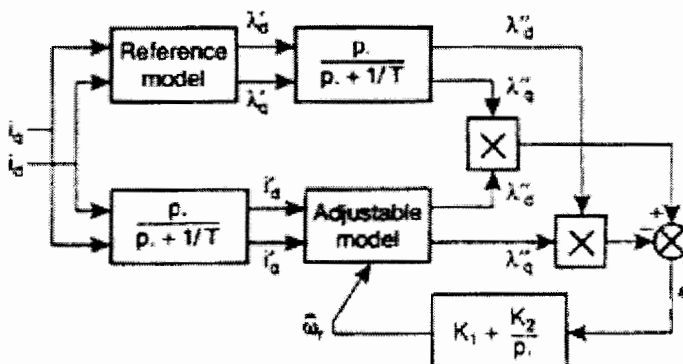
$$\bar{\lambda}_r^s = \int \frac{L_r}{L_m} \left(\bar{V}_s^s - R_s \bar{i}_s^s \right) dt + -\sigma L_s \bar{i}_s^s, \quad (15-5)$$

$$\bar{\lambda}_r^s = - \int \left(\frac{1}{T_r} I + w_r J \right) \bar{\lambda}_r^s dt + \frac{L_m}{T_r} \bar{i}_s^s \quad (16-5)$$

که در آن:

$$\sigma = 1 - \frac{L_m^2}{L_r L_s} \quad \text{ثابت زمانی موتور} \quad T_r = \frac{L_r}{R_r} \quad \bar{v}_s^s = \begin{bmatrix} v_{ds}^s \\ v_{qs}^s \end{bmatrix}, \bar{\lambda}_r^s = \begin{bmatrix} \lambda_{dr}^s \\ \lambda_{qr}^s \end{bmatrix}, \bar{i}_s^s = \begin{bmatrix} i_{ds}^s \\ i_{qs}^s \end{bmatrix}, J = \begin{bmatrix} 0 & -1 \\ 1 & 0 \end{bmatrix}, I = \begin{bmatrix} 1 & 0 \\ 0 & 1 \end{bmatrix}$$

ضریب کمبود می‌باشد و λ^s نشان دهنده شار روتور، L_m, L_r, L_s بترتیب: اندوکتانس‌های استاتور، روتور و مغناطیس شوندگی می‌باشند. معادله ۱۵-۵ مستقل از سرعت روتور می‌باشد و بعنوان مدل مرجع نامیده می‌شود. معادله ۱۶-۵ وابسته به سرعت روتور می‌باشد و بعنوان مدل قابل تنظیم در نظر گرفته می‌شود. برای حل مشکلات انتگرالگیر و شرایط اولیه، از یک فیلتر پایین گذر مطابق شکل ۳-۵ استفاده می‌گردد. کارایی این سیستم در سرعتهای نزدیک صفر مطلوب نمی‌باشد [۳].



شکل ۳-۵ - روش تخمین سرعت MRAS در سیستم کنترل برداری با مقایسه بردارهای شار [۳]

روش دیگر برای شناسایی سرعت روتور بر اساس روش MRAS استفاده از بردار emf بجای بردار شار می‌باشد. در این روش از انتگرالگیر در دو مدل مرجع و قابل تنظیم استفاده نمی‌شود. بنابراین پنهانی باند بیشتری برای سرعت بدست می‌آید [۱۳].

سیگنالهای emf از روابط زیر محاسبه می‌گردند.

$$e_m = \bar{v}_s - R_s \bar{i}_s - \sigma L_s \frac{d}{dt}(\bar{i}_s) \quad (17-5)$$

$$\hat{e}_m = \frac{L_m^2}{L_r} \left(j\omega_r \left(\bar{i}_s + \frac{L_r}{L_m} \bar{i}_r \right) - \frac{R_r}{L_m} \bar{i}_r \right) \quad (18-5)$$

سرعت از رابطه زیر بدست می‌آید:

$$\hat{W}_r = (K_p + \frac{K_1}{p})(\hat{e}_m \wedge e_m) \quad (19-5)$$

$p = \frac{d}{dt}$ و \wedge معرف ضرب برداری است.

روش دیگر برای تخمین سرعت، روشی بر پایه محاسبه توان راکتیو^۱ می‌باشد. این روش به مقاومت استاتور وابسته نمی‌باشد و به تغییرات آن مقاوم می‌باشد. روابط آن بصورت زیر می‌باشد [۱۴، ۲۲].

$$Q_m = \bar{i}_s \wedge e_m \quad (20-5)$$

$$\hat{Q}_m = \bar{i}_s \wedge \hat{e}_m \quad (21-5)$$

چون $0 = \bar{i}_s \wedge \bar{i}_s$ می‌باشد. پس داریم :

$$Q_m = \bar{i}_s \wedge \bar{v}_s - \bar{i}_s \wedge \sigma L_s \frac{d}{dt}(\bar{i}_s) \quad (22-5)$$

$$\hat{Q}_m = \bar{i}_s \wedge \frac{L_m^2}{L_r} \left(j w_r \left(\bar{i}_s + \frac{L_r}{L_m} \bar{i}_r \right) - \frac{R_r}{L_m} \bar{i}_r \right) \quad (23-5)$$

این روش معمولاً برای سیستم کنترل برداری بکار می‌رود و در سرعتهای پایین دارای دقت بالایی می‌باشد.

در حالت کلی در روش MRAS سرعت از رابطه زیر بدست می‌آید:

$$\hat{W}_r = K_p (\tilde{x}_q \tilde{x}_d - x_d \tilde{x}_q) + K_1 \int_0^T (\tilde{x}_q \tilde{x}_d - x_d \tilde{x}_q) dt \quad (24-5)$$

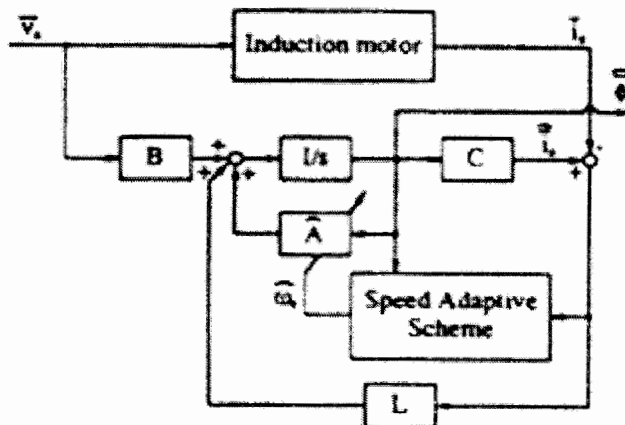
K_1 ، K_p گینهای قابل تنظیم می‌باشند و x_d ، \tilde{x}_d خروجی مدل مرجع و x_q ، \tilde{x}_q خروجی مدل تنظیم پذیر می‌باشد. بجای متغیرهای فوق می‌توان بردار شار، emf بازگشتی و توان راکتیو قرار داد.

^۱ Reactive Power

Luenberger Speed Observers

۳-۳-۵ رویتگر لیونبرگر

در این روش شار از طریق رویتگر تخمین زده می‌شود و سرعت از خطای بین جریان استاتور و شار روتور تخمین زده می‌شود. می‌توان روش تخمین سرعت با استفاده از رویتگر را جزیی از روش MRAS نام برد. به این ترتیب که موتور به عنوان مدل مرجع و رویتگر به عنوان مدل قابل تنظیم در نظر گرفته شود. شکل ۴-۵ بلوک دیاگرام این روش را نشان می‌دهد [۳].



شکل ۴-۵ - رویتگر سرعت لیونبرگر [۳]

معادلات حالت موتور القایی در دستگاه مرجع ساکن بصورت زیر می‌باشد.

$$\frac{d}{dt} \begin{bmatrix} \bar{i}_s \\ \bar{\lambda}_r \end{bmatrix} = \begin{bmatrix} A_{11} & A_{12} \\ A_{21} & A_{22} \end{bmatrix} \begin{bmatrix} \bar{i}_s \\ \bar{\lambda}_r \end{bmatrix} + \begin{bmatrix} B_1 \\ 0 \end{bmatrix} v_s = A \begin{bmatrix} \bar{i}_s \\ \bar{\lambda}_r \end{bmatrix} + B \bar{v}_s \quad (25-5)$$

$$\bar{i}_s = [C] \begin{bmatrix} \bar{i}_s \\ \bar{\lambda}_r \end{bmatrix} \quad (26-5)$$

که A ماتریس پارامترهای موتور، B ماتریس ورودی، C ماتریس خروجی و $\begin{bmatrix} \bar{i}_s & \bar{\lambda}_r \end{bmatrix}$ بردار متغیرهای حالت می‌باشد.

جریان استاتور و شار روتور از طریق یک رویتگر لیونبرگر بدست می‌آید.

$$\frac{d}{dt} \begin{bmatrix} \hat{i}_s \\ \hat{\lambda}_r \end{bmatrix} = \hat{A} \begin{bmatrix} \hat{i}_s \\ \hat{\lambda}_r \end{bmatrix} + B \bar{v}_s + L(\hat{i}_s - \bar{i}_s) \quad (27-5)$$

که L ماتریس بهره رویتگر و از طریق قطب‌های رویتگر که متناسب با قطب‌های موتور می‌باشند، محاسبه می‌گردد. می‌توان سرعت موتور را از رابطه زیر تخمین زد:

$$\hat{w}_r = K_p (\varepsilon i_{ds} \hat{\lambda}_{qr} - \varepsilon i_{qs} \hat{\lambda}_{dr}) + K_I \int_0^T (\varepsilon i_{ds} \hat{\lambda}_{qr} - \varepsilon i_{qs} \hat{\lambda}_{dr}) dt = \hat{w}_{rp} + \hat{w}_{rl} \quad (28-5)$$

که $\hat{w}_r = i_{ds} - \hat{i}_{ds}$ ، $\varepsilon i_{qs} = i_{qs} - \hat{i}_{qs}$ خطا جریان محاسبه شده از اختلاف بین جریان تخمینی و جریان اندازه گیری شده می‌باشد.

روش دیگر استفاده از رویتگر لیونبرگر تعمیم یافته می‌باشد که در این روش سرعت روتور و گشتاور بار به عنوان متغیرهای حالت در نظر گرفته می‌شوند. در این روش تغییر زمانی سیستم، پاسخ غیر خطی، سرعت روتور و گشتاور بار را خطی و یا با تغییرات کم در نظر می‌گیریم. در این روش سرعت روتور بدون هیچ گونه وابستگی به گشتاور بار تخمین زده می‌شود [۱۵، ۳].

Kalman Filter Techniques (KFT)

۴-۳-۵ روش فیلتر کالمن

فیلتر کالمن بر اساس اندازه گیری مقادیر جریان استاتور و ولتاژ کمکی DC ، مقادیر سرعت و شار روتور موتور القایی را تعیین می‌کند. اساس این روش کاملاً بر پایه مدل ریاضی موتور القایی می‌باشد. فیلتر کالمن مشاهده بهینه از سیگنال نویز تهیه می‌کند و سیگنال نویز تصادفی^۱ را پردازش می‌کند. فرض کنیم که نویز اندازه گیری شده و نویز آشوب^۲ ناهمبسته^۳ باشند. فیلتر کالمن شرایط موثر و بادوام را برای محاسبه تخمینگر سرعت و موقعیت روتور فراهم می‌کند. سرعت روتور می‌تواند بر اساس

^۱ Random

^۲ Disturbance

^۳ Uncorrelated

اندازه‌گیری ولتاژها و جریانها تعیین گردد. در این روش ولتاژها و جریانهای اندازه‌گیری شده به

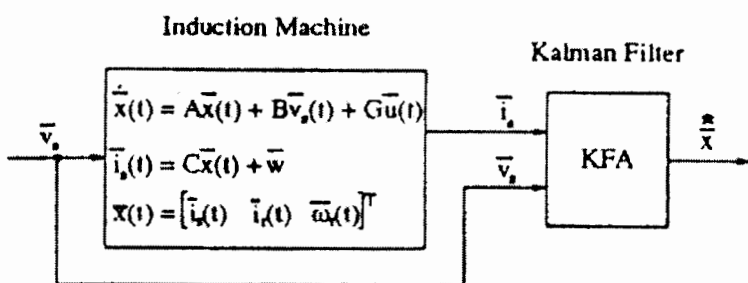
[۳، ۱۶، ۱۷] مولفه‌های دستگاه مرجع ساکن تبدیل می‌شوند.

روش تخمین سرعت با استفاده از فیلتر کالمن بر اساس رویتگر سیستم خطی می‌باشد و با انتخاب مناسب ماتریس گین در زمان اعمال نویز به ورودی و خروجی سیستم، می‌توان بهترین فیلترینگ را انجام داد. می‌توان اثر نویز به سیستم را در روابط زیر مشاهده کرد.

$$\frac{d}{dt} \bar{x}(t) = A(t)x(k) + B(t)v(t) + G(t)u(t) \quad (29-5)$$

$$y(t) = C(t)x(t) + w(t) \quad (30-5)$$

که $y(t)$, $x(t)$, $v(t)$, $w(t)$ بترتیب، متغیرهای حالت (جریانهای رotor و استاتور)، متغیرهای ورودی (ولتاژ استاتور)، متغیرهای خروجی (ترکیبات جریان استاتور) می‌باشند. همچنین $u(t)$ بترتیب نویز ورودی و نویز خروجی سیستم می‌باشند. شکل ۵-۵ بلوک دیاگرام این سیستم را نشان می‌دهد.



شکل ۵-۵ - بلوک دیاگرام فیلتر کالمن

فیلتر کالمن می‌تواند در دو حالت پیوسته و گسسته مورد استفاده قرار گیرد. حالت گسسته به علت استفاده آن در کنترل دیجیتال بیشتر مورد استفاده قرار می‌گیرد. روابط گسسته سیستم بصورت زیر می‌باشند.

$$x(k+1) = A_d x(k) + B_d v(k) + G_d u(k) \quad (31-5)$$

$$y(k) = C_d x(k) + w(k) \quad (32-5)$$

که A_d , B_d , C_d , G_d ماتریس‌های گستته معادل ماتریس‌های A , B , C , G می‌باشند. در سیستم‌های غیر خطی مانند موتور القایی که سرعت روتور وابسته به پارامترهای ماشین می‌باشد، به جای فیلتر کالمن از فیلتر کالمن تعمیم یافته استفاده می‌گردد و پارامتر قابل تخمین (سرعت روتور) به عنوان متغیر حالت جدید در نظر گرفته می‌شود. با ثابت نگهداشتن سرعت در مدت زمان نمونه برداری، خطی سازی سیستم انجام می‌گیرد [۳].

روابط فیلتر کالمن برای تخمین جریانهای استاتور و روتور و سرعت روتور در موتور القایی بصورت زیر می‌باشند.

$$\begin{bmatrix} x(k+1) \\ w_r(k+1) \end{bmatrix} = A_{de}(k) \begin{bmatrix} x(k) \\ w_r(k) \end{bmatrix} + B_{de}(k)v(k+1) + K(k)(y(k+1) - Cx(k)) \quad (33-5)$$

که:

$$A_{de}(k) = \begin{bmatrix} A_d(k) & 0 \\ 0 & 1 \end{bmatrix} \quad (34-5)$$

$$B_{de}(k) = \begin{bmatrix} B_d(k) \\ 0 \end{bmatrix} \quad (35-5)$$

ماتریس گین $K(k)$ در هر گام بر اساس ماتریس کوواریانس نویز محاسبه می‌گردد. این الگوریتم نیاز به مقادیر اولیه متغیرهای حالت $(\cdot)_0$ دارد. همچنین مقادیر اولیه مابقی متغیرها برای محاسبه ماتریس بهره در لحظه اولیه مورد نیاز می‌باشد.

۵-۳-۵ تخمین سرعت با استفاده از شبکه‌های عصبی

تکنیک شبکه عصبی بر پایه فرآیند یادگیری می‌باشد. از مزایای شبکه عصبی محاسبات سریع و همزمان و مشخصه تحمل خطا به سبب آگاهی شبکه می‌باشد. تعدادی رشته عصبی متصل بهم، تشکیل شبکه عصبی می‌دهند. معمول ترین شبکه عصبی، شبکه نوع پیش خورد^۱ چند لایه می‌باشد

^۱ Feedforward

که هیچ اطلاعاتی بصورت فیدبک در مدت زمان آموزش^۱ به آن اعمال نمی‌گردد. همچنین هیچ اطلاعاتی در مورد آموزش شبکه نداریم. معمولاً از روش پس انتشار^۲ برای تنظیم وزنهای شبکه عصبی استفاده می‌شود. این روش معمولاً خیلی وقتگیر می‌باشد. برای تخمین سرعت در موتور القایی معمولاً از یک شبکه دو لایه با روش پس انتشار استفاده می‌گردد.

معادلات شار در موتور القایی از دو رابطه زیر بدست می‌آیند که رابطه ۳۶-۵ را رابطه ولتاژی و رابطه ۳۷-۵ را رابطه جریانی شار می‌نامیم.

$$\frac{d\overline{\lambda_r^s}}{dt} = \frac{L_r}{L_m} \left(\overline{V_s^s} - R_s \overline{i_s^s} - \sigma L_s \frac{di_s^s}{dt} \right) \quad (36-5)$$

$$\frac{d\overline{\lambda_r^s}}{dt} = - \left(\frac{1}{T_r} I + w_r J \right) \overline{\lambda_r^s} + \frac{L_m}{T_r} \overline{i_s^s} \quad (37-5)$$

که در آن:

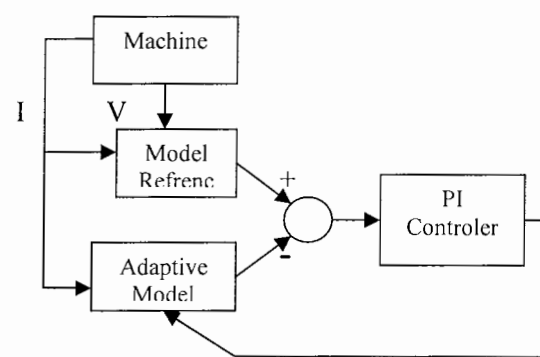
$$\sigma = 1 - \frac{L_m^2}{L_r L_s}, \quad T_r = \frac{L_r}{R_r}, \quad \overline{v_s^s} = \begin{bmatrix} v_{ds}^s \\ v_{qs}^s \end{bmatrix}, \quad \overline{\lambda} = \begin{bmatrix} \lambda_{dr}^s \\ \lambda_{qr}^s \end{bmatrix}, \quad \overline{i_s^s} = \begin{bmatrix} i_{ds}^s \\ i_{qs}^s \end{bmatrix}, \quad J = \begin{bmatrix} 0 & -1 \\ 1 & 0 \end{bmatrix}, \quad I = \begin{bmatrix} 1 & 0 \\ 0 & 1 \end{bmatrix}$$

ضریب کمبود می‌باشد و λ_r^s شار روتور، L_m, L_r, L_s بترتیب: اندوکتانس‌های استاتور، روتور و مغناطیس شوندگی می‌باشند. معادله ۳۶-۵ وابسته به سرعت روتور نمی‌باشد و شار واقعی روتور را تولید می‌کند. معادله ۳۷-۵ وابسته به سرعت روتور می‌باشد.

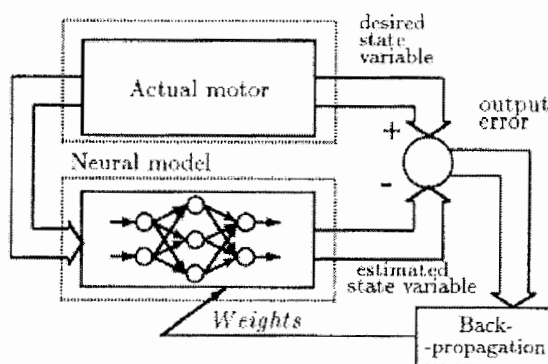
از مقایسه دو مدل شار مرجع و شار تنظیم پذیر و اعمال خطأ به یک جبرانساز سیستم (PI)، مقدار سرعت روتور بدست می‌آید (شکل ۵-۶). شبکه عصبی را می‌توان در این مدار قرار داد.

تخمین سرعت با استفاده از شبکه‌های عصبی عموماً به دو روش اجرا می‌گردد. در روش اول شبکه عصبی به عنوان جایگزین جبرانساز (PI) و مدل جریانی شار [۳، ۱۸] و در روش دوم به عنوان جایگزین جبرانساز سیستم (PI) استفاده می‌گردد [۱۲، ۵، ۶]. شکل‌های ۷-۵ و ۸-۵ چگونگی قرار گرفتن شبکه عصبی را نشان می‌دهد.

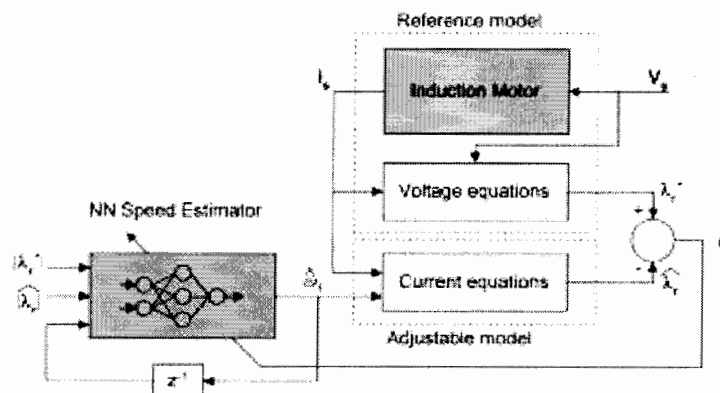
^۱ Training
^۲ Backpropagation



شکل ۵-۶- تخمین سرعت با مقایسه معادلات جریانی و ولتاژی شار



شکل ۵-۷- تخمین سرعت با استفاده از شبکه عصبی به عنوان جایگزین جبرانساز(PI) و مدل جریانی شار



شکل ۵-۸- تخمین سرعت با استفاده از شبکه عصبی به عنوان جایگزین جبرانساز سیستم(PI)

همانطور که در شکل ۵-۷ مشاهده می‌شود، خروجی مدل شبکه عصبی با خروجی واقعی موتور مقایسه می‌شود و خطابه به بخش backpropagation اعمال می‌گردد. با تعیین مقدار وزنهای شبکه، سرعت تخمین زده شده، سرعت واقعی موتور را تعقیب می‌کند.

در روش دیگر مطابق شکل ۵-۸، ابتدا دو مدل شار واقعی موتور و مدل شار تنظیم پذیر مقایسه می‌گردند و خطا به شبکه عصبی اعمال می‌گردد. خروجی این شبکه سرعت روتور می‌باشد و با تغییر وزنهای شبکه عصبی باعث می‌شود که سرعت تخمین زده شده بتواند سرعت واقعی موتور را تعقیب کند.

آموزش شبکه عصبی می‌تواند به دو روش آموزش همزمان^۱ و غیرهمzman^۲ مورد بررسی قرار گیرد.

۱-۵-۳-۵ شبکه عصبی با آموزش همزمان

در بخش‌های قبل تخمینگرهای سرعت بر مبنای استفاده از MRAS مورد بررسی قرار گرفتند. در این نوع تخمینگرهای می‌توان از یک سیستم غیر خطی هوشمند به عنوان مدل تطبیقی استفاده نمود. در اینصورت نیاز به استفاده از کنترل کننده PI نیز منتفی می‌گردد. زیرا که روش‌های هوشمند دارای مکانیزم تطبیقی خوبی می‌باشند.

یک مدل غیر خطی هوشمند می‌تواند حالات مختلفی داشته باشد. به عنوان نمونه می‌توان یک شبکه عصبی مصنوعی (ANN) را به عنوان مدل هوشمند تطبیقی انتخاب کرد. در اینصورت استفاده از ANN به عنوان مدل تطبیقی، قانون پس انتشار خطا را نیز می‌توان به عنوان مکانیزم تطبیق بکار برد. در این روش از یک شبکه عصبی دو لایه برای تخمین سرعت روتور استفاده شده است و سرعت روتور به عنوان خروجی شبکه درنظر گرفته می‌شود. وزن نرونها در طول کار درایو مقادیر ثابتی ندارند و بصورت لحظه‌ای تغییر می‌کنند. به جای معادله ۳۷-۵ می‌توان شبکه عصبی با وزنهای قابل تنظیم قرار داد. هرگونه اختلاف میان سرعت تخمینی و سرعت واقعی روتور، باعث ایجاد خطا میان خروجی شارها می‌گردد. از این خطا برای تنظیم لحظه‌ای وزن نرونها شبکه عصبی استفاده می‌شود. باحداقل نمودن

^۱ Online
^۲ Offline

خطای تعلیم، خروجی شبکه عصبی سرعت واقعی موتور را دنبال می‌نماید. معادله ۳۷-۵ را می‌توان

بصورت زیر تخمین زد:

$$\hat{\lambda}_r(k) = w_1 x_1 + w_2 x_2 + w_3 x_3 \quad (38-5)$$

$$w_1 = 1 - \frac{T}{T_r} \quad (39-5)$$

$$w_2 = w_r(k-1)T$$

$$w_3 = \frac{L_m}{T_r} T$$

$$x_1 = I\lambda_r(k-1)$$

$$x_2 = J\lambda_r(k-1) \quad (40-5)$$

$$x_3 = Ii_s(k-1)$$

و T زمان نمونه برداری می‌باشد.

معادله ۳۸-۵ را می‌توان به عنوان یک مدل شبکه عصبی با دو لایه و وزنهای w_1, w_2, w_3 جایگزین نمود. خطای بین شار تخمینی و شار مدل مرجع بصورت زیر می‌باشد.

$$\varepsilon(k) = \hat{\lambda}_r^*(k) - \hat{\lambda}_r(k) \quad (41-5)$$

مقدار وزنها زمانی بدست می‌آید کهتابع انرژی زیر مینیمم گردد.

$$E = \frac{1}{2} \varepsilon^2(k) \quad (42-5)$$

همانطور که ملاحظه می‌کنید فقط وزن w_2 منغییر می‌باشد و تغییرات آن از رابطه زیر بدست می‌آید.

$$\Delta w_2(k) \propto -\frac{\partial E}{\partial w_2} = -\frac{\partial E}{\partial \hat{\lambda}_r(k)} \cdot \frac{\partial \hat{\lambda}_r(k)}{\partial w_2} = -\delta(k)x_2 \quad (43-5)$$

که در آن:

$$\delta(k) = \frac{\partial E}{\partial \hat{\lambda}_r(k)} = \left(\hat{\lambda}_r(k) - \hat{\lambda}_r^*(k) \right)^T \quad (44-5)$$

$$\Delta w_2(k) = \left(\hat{\lambda}_r(k) - \hat{\lambda}_r^*(k) \right)^T J \hat{\lambda}_r(k-1) \quad (45-5)$$

$$w_2(k) = w_2(k-1) + \eta \Delta w_2(k) \quad (46-5)$$

$$\hat{w}_2(k) = \hat{w}_r(k-1) + \eta \Delta w_2(k) \quad (47-5)$$

که در آن η مقدار ضریب آموزش^۱ می‌باشد. برای بهبود کیفیت سرعت تخمینی روتور و بدست آوردن نرخ یادگیری بهتر^۲ می‌توان بجای معادله فوق از رابطه زیر استفاده نمود.

$$\hat{w}_2(k) = \hat{w}_r(k-1) + \eta \Delta w_2(k) + \alpha \Delta w_2(k-1) \quad (48-5)$$

همگرایی دینامیکی شبکه عصبی وابسته به دو مقدار ضریب یادگیری^۳، η و α می‌باشد.

۲-۵-۳-۵ شبکه عصبی با آموزش غیرهمzman

برخلاف تخمینگرهای عصبی با آموزش همزمان، تخمینگر عصبی با آموزش غیر همزمان نیازمند به اطلاعات و آموزش اولیه می‌باشند. ساختار این نوع تخمینگر مفصل بوده و تعداد نرونهای آن چشمگیر است. شبکه‌ای عصبی مذکور عموماً از نوع تغذیه پیش خورد^۴ بوده و دارای لایه‌های مخفی می‌باشد. در این روش ابتدا شبکه عصبی براساس داده‌های نمونه برداری شده از سیستم تعلیم داده می‌شود و سرعت روتور به عنوان خروجی شبکه می‌باشد. شبکه با ورودی‌های آموزش شبکه باید به صورتی باشند که مهمترین حالات مختلف کارکرد موتور را تحت پوشش قرار دهند. معمولاً در حالت اول (شکل ۵-۷) جریان استاتور و شار روتور در همان لحظه ولحظه قبل به عنوان ورودی شبکه در نظر گرفته می‌شود و در حالت دوم (شکل ۵-۸) شار واقعی و تخمینی روتور و سرعت روتور در لحظه قبل به عنوان ورودی شبکه در نظر گرفته می‌شود.

^۱Training coefficient

^۲Learning rate

^۳Learning coefficient

^۴Feedforward

از مزایای این روش سرعت بالا و حذف ریپل هارمونیکها و مشخصه تحمل خطأ^۱ می‌باشد. تکنولوژی شبکه عصبی یک روش ایده‌آل برای تخمین سرعت موتور القایی می‌باشد.

۶-۳-۵ تخمین سرعت بر اساس هارمونیک‌های ناشی از شیار روتور Rotor Slot Ripple

شیارهای روتور و استاتور در موتور القایی سبب بوجود آمدن هارمونیک‌هایی در شار شکاف هوایی می‌شوند که آنها را اصطلاحاً هارمونیک‌های شیار می‌نامند. این هارمونیک‌ها به نوبه خود هنگام چرخش روتور، هارمونیک‌های ولتاژی در سیم پیچی استاتور القایی کنند و در نتیجه هم در شکل موج ولتاژ استاتور تعیین می‌گردند. هارمونیک‌های دندانهای روتور در فاصله هوایی میدان، شار پیوندی استاتور را با فرکانسی متناسب سرعت روتور، مدوله می‌کنند. ساختار فاصله هوایی و توزیع شار موتور القایی در شکل ۹-۵ نشان داده شده است. سرعت روتور را می‌توان هم از اندازه‌گیری دامنه هارمونیک دندانهای و هم اندازه‌گیری فرکانس این هارمونیک‌های دندانهای بدست آید. معمولاً فاز ولتاژ استاتور درصد کمی از هارمونیک‌های دندانهای را تحریک می‌کنند. لازم است که ترکیبات اصلی فاز ولتاژ حذف گردد. عیب بزرگ این روش آن است که دامنه و فرکانس هارمونیک‌های شیار به پارامترهای خاصی از ماشین مانند تعداد شیارهای روتور نیز وابسته است و در نتیجه الگوریتم تخمین بسته به نوع ماشین تغییر می‌کند.

علاوه بر این برخی پارامترهای ناشناخته نیز در هارمونیک‌ها موثر هستند [۲۰، ۱۹، ۳۰].

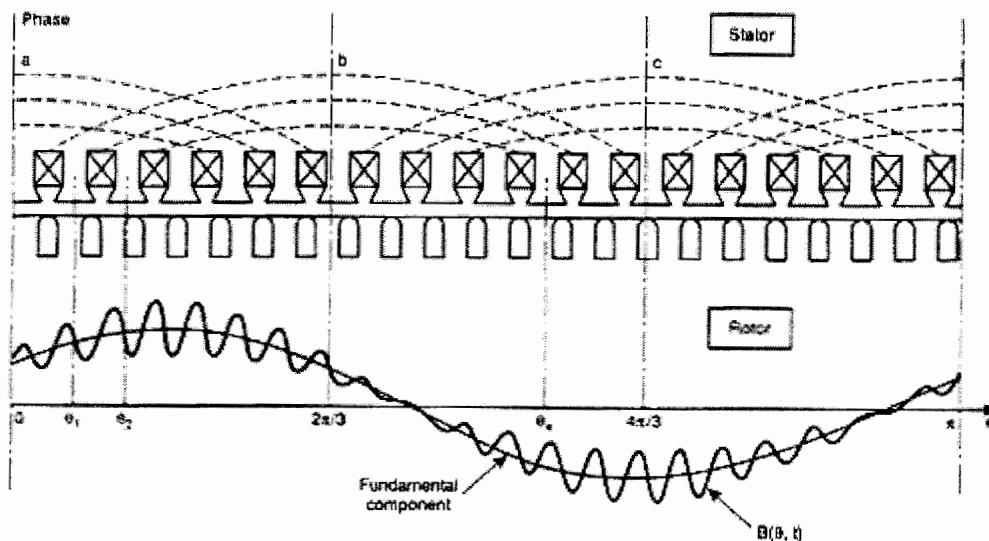
می‌توان ثابت کرد فرکانس هارمونیک موجود در مجموع ولتاژهای استاتور که ناشی از دندانهای روتور می‌باشد بصورت زیر خواهد بود.

$$f_{rs} = N_r f_r \pm f_s = 3N f_s - N_r f_{sl} \quad (49-5)$$

$$N_r = 3N \mp 1 \quad (50-5)$$

که f_r فرکانس روتور، f_s فرکانس استاتور و f_{sl} فرکانس لغزش روتور می‌باشد.

^۱ Fault-tolerant-characteristic



شکل ۹-۵- شکل فاصله هوازی و توزیع شار موتور القایی

$$f_r = f_s - f_{sl} = (1-s)f_s \quad (51-5)$$

تعداد شیارها در هر جفت قطب از رابطه زیر بدست می‌آید.

$$N_r = \frac{Z_r}{p_p} \quad (52-5)$$

که Z_r تعداد شیارهای روتور و p_p تعداد جفت قطبها می‌باشد.

$$f_{sr} = \left[\frac{Z_r(1-s)}{p_p} \pm 1 \right] f_s \quad (53-5)$$

با اندازه گیری دقیق f_{sr} می‌توان لغزش موتور القایی و سرعت روتور را محاسبه نمود.

سرعت با تجزیه سیگنال جریان استاتور به ترکیبات آن برای تعیین سرعت وابسته به فرکانس

هارمونیک دندانه‌ای f_{sh} و فرکانس موج اصلی موتور f_0 تخمین زده می‌شود.

سرعت روتور بر حسب rpm از رابطه زیر بدست می‌آید.

$$n = \frac{60}{Z} (f_{sh} - f_0) \quad (54-5)$$

که Z تعداد شکافهای رotor است. دامنه و فرکانس موج دندانه‌ای به تعداد شکافهای رotor وابسته است. اشباع دندانه‌های Rotor و استاتور باعث تولید ترکیبات هارمونیک سوم ولتاژ استاتور می‌گردد.

۴-۵ ارزیابی و مقایسه روش‌های مختلف کنترل برداری بدون حسگر

در این بخش ضمن معرفی یکسری معیارهای ارزشیابی مقایسه کیفی را بین روش‌های مختلف انجام می‌دهیم. این مقایسه با فرض این است که هریک از این معیارهای از ارزش یکسانی برخوردار باشند. در کاربرد خاص ممکن است این معیارها دارای ارزش‌های مختلفی باشند و لذا در تابع ارزشیابی کل مجموع امتیازات با یکسری ضرایب وزنی خاص ظاهر می‌گردد. [۲۱]

۴-۱ عملکرد حالت گذرا (عملکرد دینامیکی)

در اغلب روش‌های شرح داده شده ضرایب کنترل PI نقش مهمی در عملکرد حالت گذرا پاسخ خروجی بازی می‌کنند. مساله مهم این است که ضرایب وابسته به مقدار سرعت هستند و اغلب نمی‌توان پاسخ گذراخوبی را در محدوده وسیعی از تغییرات سرعت، با ضرایب ثابت داشت. روش تقریب سرعت بر اساس هارمونیک‌های ناشی از شیار Rotor تنها روشی است که می‌تواند با ضرایب PI ثابت پاسخ قابل قبولی را در محدوده وسیعی از سرعت داشته باشد.

۴-۲ عملکرد حالت دائم (میزان خطأ در حالت دائم)

چون در حلقه کنترل سرعت از کنترل PI استفاده می‌شود، لذا خطای حالت دائم بین مقدار مرجع سرعت و سرعت واقعی صفر است و لذا میزان خطأ در تفاوت بین سرعت تخمین شده و سرعت واقعی است. این خطأ عموماً در سرعتهای پایین و یا با اعمال گشتاور بار به موتور وضعیت بدتری را پیدا

می‌کند. روش‌های معادلات حالت و مدل تطبیقی مرجع (MRAS) در وضعیت بی‌باری خطای حالت دائم ندارند ولی تحت بار خطای حالت دائم پیدا می‌کنند. فیلتر کالمن تعمیم یافته حتی در شرایط بدون بار نیز خطای حالت دائم دارد که تقریباً مستقل از سرعت است در نتیجه در سرعتهای بالا مقدار آن ناچیز ولی در سرعتهای کم مقدار آن قابل توجه می‌شود. روش استفاده از هارمونیکهای ناشی از شیار رتور خطای حالت دائم دارد که مستقل از مقدار سرعت و شرایط بار است.

۳-۴-۵ حساسیت به تغییر پارامترها

حساسیت نسبت به تغییر پارامترها از مهمترین عوامل در تخمین اندازه و زاویه شار می‌باشد. در حقیقت تفاوت مقدار تخمین زده از مقدار واقعی در اثر تغییر پارامترها می‌تواند وضعیت ایده آل مستقل (دکوپله) بودن مولفه‌ها را برهم بزند.

۴-۴-۵ حساسیت نسبت به نویز

در این مورد از بین روش‌های مطرح شده، روش فیلتر کالمن بدلیل اینکه روش اپتیمم جداسازی سیگنالهای مخلوط شده با نویز است، مسلماً وضعیت بهتری را دارد. هرچند که این امر مستلزم آن است که ماتریس کوواریانس فیلتر بدرستی انتخاب شده باشد.

۵-۴-۵ جنبه اقتصادی طرح

در این مسئله خاص روشی اقتصادی تر است که اولاً نیاز به تعداد حسگرهایی الکتریکی کمتری داشته باشد و ثانیاً مدارهای جانبی شامل فیلترها، انترالگیرها و مشتقگیرهای آنالوگ و...، پیچیدگی مدار و نیازمندیهای لازم جهت پیاده سازی آنها (نیازمندیهای سخت افزاری و نرم افزاری) کمتر باشند. در

کلیه روش‌های مشروطه در بخش‌های قبل باستثناء روش استفاده از هارمونیکهای ناشی از شیار رتور، اندازه‌گیری ولتاژها و جریانهای استاتور الزامی است. بنابراین به ۴ سنسور الکتریکی احتیاج است. در روش استفاده از هارمونیکهای ناشی از شیار رتور از ولتاژ و یا جریان استاتور استفاده می‌گردد. بنابراین احتیاج به ۲ سنسور الکتریکی دارد ولی در عوض احتیاج به فیلتر مخصوص و یا حلقه PLL جهت جداسازی هارمونیک مورد نظر دارد.

۶-۴-۵ پیچیدگی طراحی

نکته بسیار مهم دیگر در نحوه طراحی یک تخمین زننده سرعت برای یک موتور خاص با استفاده از هر کدام از روش‌های ذکر شده می‌باشد. در روش فیلتر کالمن تعمیم یافته انتخاب ماتریس کواریانس نویز و مقادیر اولیه برای الگوریتم عمل بسیار مشکلی است. از طرف دیگر انتخاب نامناسب مقادیر می‌تواند سبب ناپایداری سیستم گردد. در روش استفاده از مدل تطبیقی مرجع مسئله مهم انتخاب مکانیزم تطبیقی است. در روش استفاده از هارمونیکهای ناشی از شیار رتور طراحی مدار الکترونیکی که هارمونیکها را آشکار کند بر پیچیدگی طرح افزوده است.

۷-۴-۵ جدول مقایسه

براساس مطالب مطرح شده می‌توان جدول مقایسه‌ای ۱-۵ را تشکیل داد. در این جدول نمره ارزشیابی هر روش یکی از چهار سطح بد (ب)، متوسط (م)، خوب (خ) و عالی (ع) انتخاب شده است.

فصل پنجم: روش‌های تخمین سرعت موتور القایی بدون استفاده از حسگر سرعت

پیچیدگی طراحی	جنبه اقتصادی	حساسیت به نویز	حساسیت به پارامترها	عملکرد دائم	عملکرد دینامیکی	روشهای طراحی
ع	خ	ب	م	م	ب	محاسبه فرکانس لغزش
م	ب	م	خ	خ	م	استفاده از هارمونیک شیار
م	خ	م	ب	خ	م	مدل تطبیقی مرجع
ب	ب	ع	خ	خ	خ	فیلتر کالمن
م	خ	ب	ع	م	خ	رویتگر حالت
م	م	خ	خ	خ	خ	شبکه های عصبی

جدول ۵-۱- مقایسه بعضی از روش‌های کنترل بدون حسگر سرعت [۲۱]

از جدول فوق مشخص می‌گردد که دو روش رویتگر حالت و شبکه های عصبی، بهترین عملکرد را نسبت به سایر روش‌ها دارند.

۶- خلاصه:

در این فصل روش‌های تخمین سرعت موتور القایی بدون استفاده از حسگر سرعت مورد بررسی قرار گرفته و سپس هریک از این روش‌ها بطور کامل ارائه شدند. سپس در انتهای این فصل ضمن معرفی یکسری معیارهای ارزشیابی، مقایسه کیفی را بین روش‌های مختلف صورت پذیرفت.

فصل ششم:

شبیه سازی

۱-۶ مقدمه

امروزه با پیشرفت کامپیوترها و نرم افزارهای شبیه ساز، شبیه سازی مدارات الکترونیک و کنترل به سادگی امکان پذیر گشته است. مزیت اینگونه شبیه سازی در این است که می توان به سرعت و سادگی پارامترهای مختلف مدار را تغییر داده، و اثرات آنرا بر خروجیهای سیستم مشاهده کرد. زیرا در عمل تغییر برخی پارامترها یا کلّاً غیر ممکن بوده و یا دشوار و وقتگیر است، در ضمن با تغییر پارامترهای مدار خارج از محدوده مجاز امکان بروز اشکال و آسیب دیدن مدار نیز وجود دارد. با توجه به استفاده از کنترل کننده‌های دیجیتال در عمل، در شبیه سازی نیز روش کنترل دیجیتال مورد استفاده قرار گرفته است. موتور القایی سه فاز و روش کنترل برداری غیر مستقیم استفاده شده در این پژوهه توسط نرم افزار MATLAB SIMULINK ۶.۵ شبیه سازی شده و رفتار موتور تحت شرایط مختلف بررسی شده است.

۲-۶ شبیه سازی موتور القایی با کنترل برداری غیر مستقیم

در این قسمت یک موتور القایی سه فاز با کنترل برداری غیر مستقیم مورد شبیه سازی قرار گرفته است. در قسمتهای آینده به شرح کامل این مدار می‌پردازیم.

۱-۲-۶ مشخصات موتور

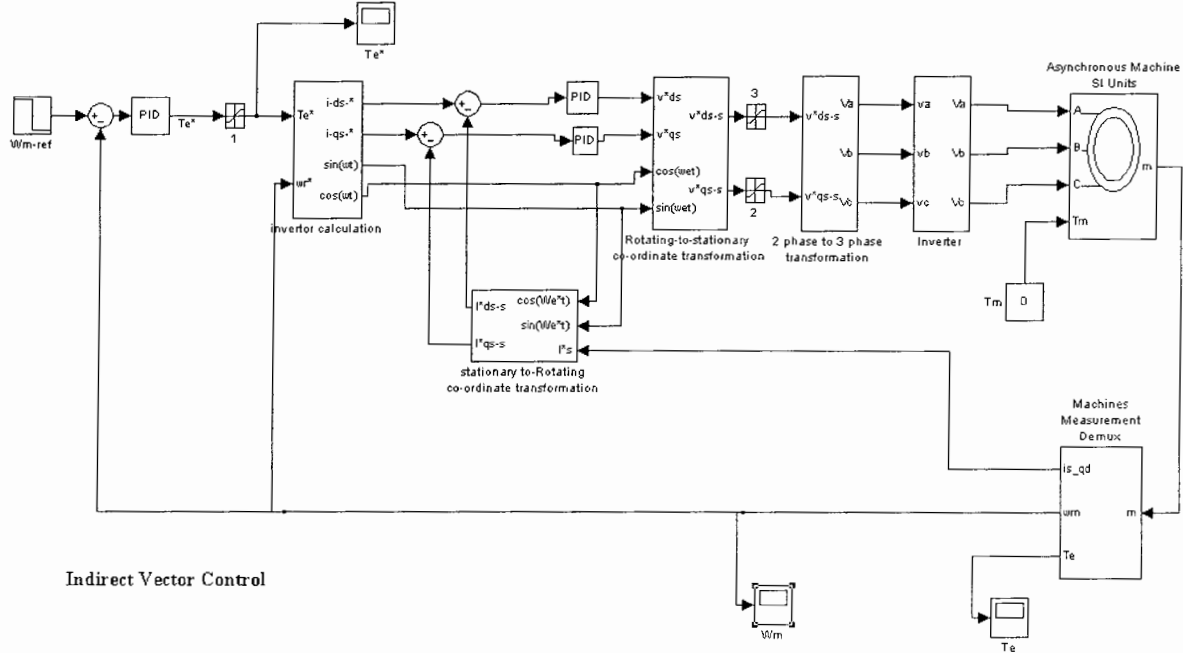
مотор بکار رفته در این شبیه سازی، یک موتور ۲ اسب بخار می باشد. سایر مشخصات این موتور در جدول ۱-۶ نشان داده شده است. به علت اینکه در ادامه کار قصد پیاده سازی واقعی سیستم را داشتیم، از پارامترهای یک موتور واقعی برای شبیه سازی استفاده گردید.

$r_s = ۳/۸$	Ω	Power = ۱/۵ (kw)
$r'_r = ۶/۹۳$	Ω	$f = ۵۰$ (Hz)
$I'_r = I_s = ۰/۰۶۳۵$		Vline = ۴۸۰ (v)
p=۲		$w_{r-nominal} = ۲۸۰۰$ (rpm)
		J = ۰,۰۰۵

جدول ۱-۶-مشخصات موتور

۲-۲-۶ بلوک دیاگرام کلی موتور و کنترل برداری غیر مستقیم

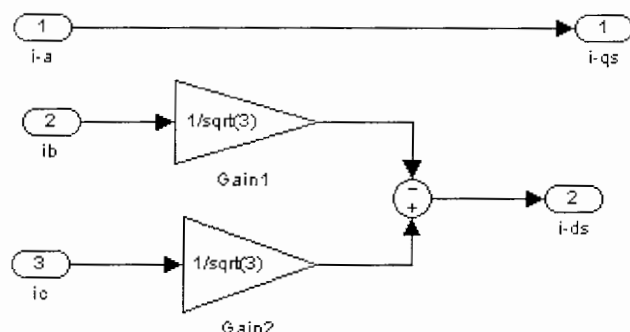
بلوک دیاگرام کلی موتور و کنترل برداری غیر مستقیم استفاده شده در شبیه سازی در شکل ۱-۶ نشان داده شده است. با استفاده از فیدبکهای گرفته شده از سرعت و جریان و بکار بردن تبدیل پارک، جریانهای استاتور و شار در دستگاه مرجع دوار تولید می شوند. مقدار سرعت با سرعت مرجع مقایسه شده و خطای حاصل پس از اعمال به کنترل کننده های تناسبی - انتگرالگیر جریانهای استاتور مرجع در دستگاه مختصات دوار را تولید می کنند. این جریانها نیز با جریانهای استاتور بدست آمده با استفاده از فیدبکهای سرعت و جریان مقایسه شده و خطای حاصل پس از اعمال به کنترل کننده های تناسبی - انتگرالگیر ولتاژهای استاتور در دستگاه مرجع دوار را تولید می کنند. این ولتاژها پس از تبدیل به دستگاه مرجع ثابت بر روی استاتور، به بلوک اینورتر و سپس به موتور اعمال می گردند. مقادیر ممان اینرسی و گشتاور بار در بلوک موتور قابل تنظیم می باشند.



شکل ۶-۱- شمای کلی مدار کنترل برداری غیر مستقیم

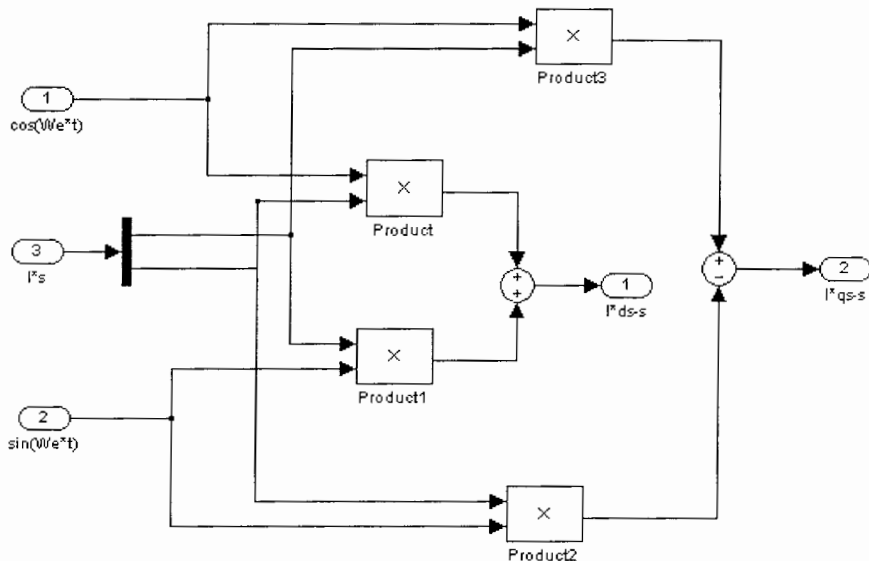
۳-۲-۶ بلوکهای تبدیل مختصات از مرجع ثابت به دوار

بلوک شکل ۲-۶ تبدیل جریانهای استاتور از مرجع سه فاز به دو فاز را نشان می‌دهد.



شکل ۶-۲-۶- تبدیل مختصات از سه فاز به دو فاز

سپس جریانهای دو فاز با استفاده از تبدیل پارک و مطابق شکل ۳-۶ از دستگاه مرجع ثابت بر روی استاتور به دستگاه مرجع دوار انتقال می‌یابند.

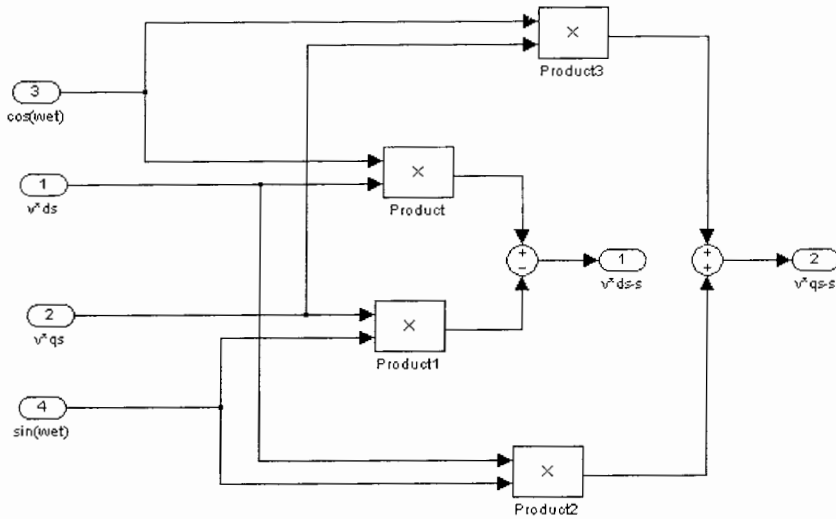


شکل ۳-۶- تبدیل جریانها از دستگاه مرجع ثابت بر روی استاتور به دستگاه مرجع دوار

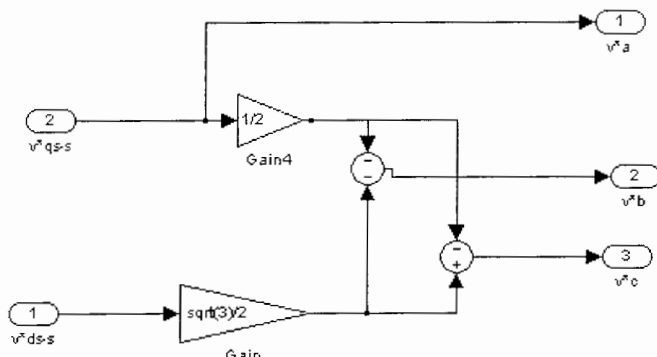
۴-۲-۶ بلوکهای تبدیل مختصات از مرجع دوار به ثابت

شکل ۴-۶ تبدیل ولتاژهای دو فاز با استفاده از تبدیل پارک از دستگاه مرجع دوار بر روی استاتور به دستگاه مرجع ثابت را نشان می‌دهد.

سپس بلوک شکل ۵-۶ تبدیل ولتاژهای استاتور از مرجع دو فاز به سه فاز را نشان می‌دهد.



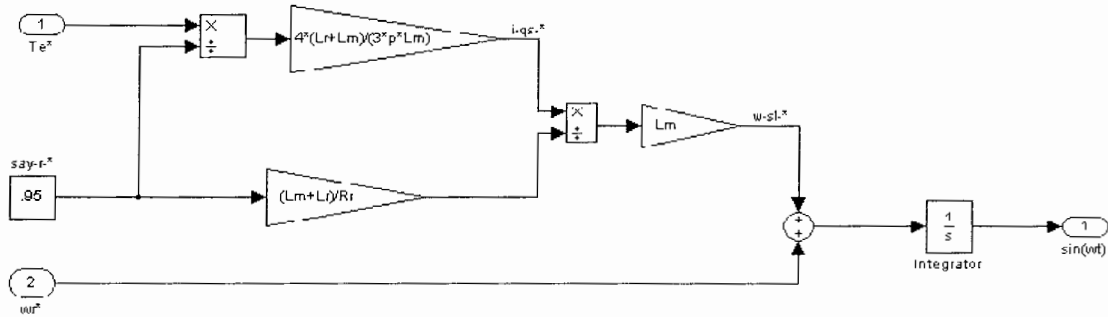
شکل ۶-۶- تبدیل ولتاژها از دستگاه مرجع دوار بر روی استاتور به دستگاه مرجع ثابت



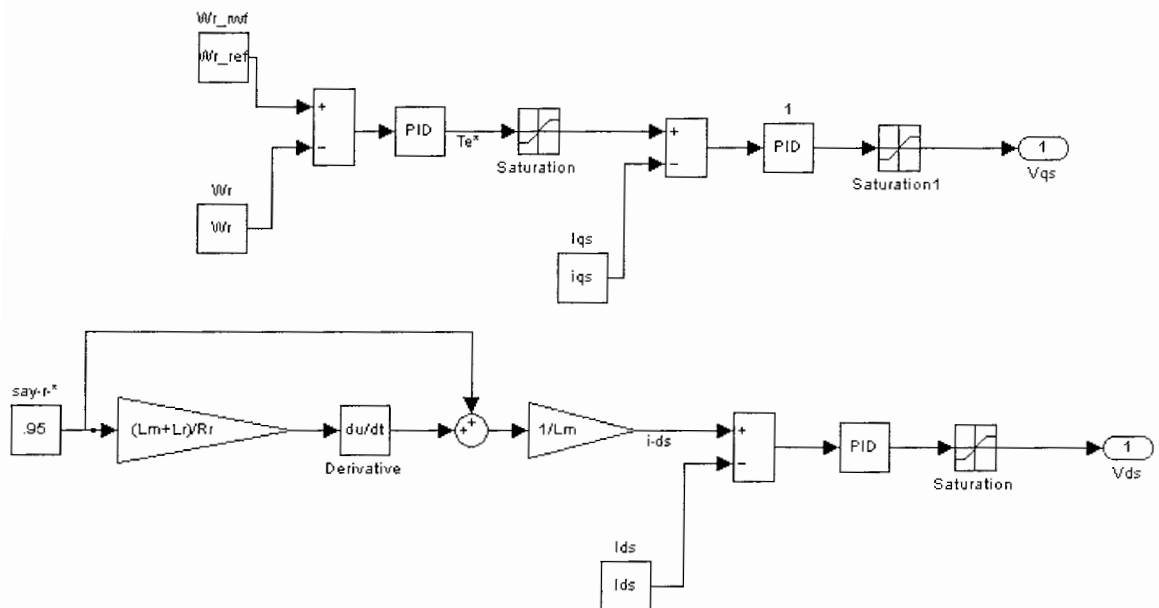
شکل ۶-۵- تبدیل مختصات از دو فاز به سه فاز

۶-۲-۵- بلوکهای تولیدکننده فرکانس لغزش و شار رتور

همانطور که از شکل ۶-۶ دیده می‌شود با استفاده از گشتاور و شار رotor، جریان محور q استاتور در دستگاه مرجع دوار بدست می‌آید. سپس با استفاده از شار رتور و جریان محور q استاتور در دستگاه مرجع دوار، فرکانس لغزش رتور بدست می‌آید.



شکل ۶-۶- بلوکهای تولیدکننده فرکانس لغزش و شار رتور



شکل ۷-۶- بلوکهای کنترل سرعت ، شار و جریانهای استاتور

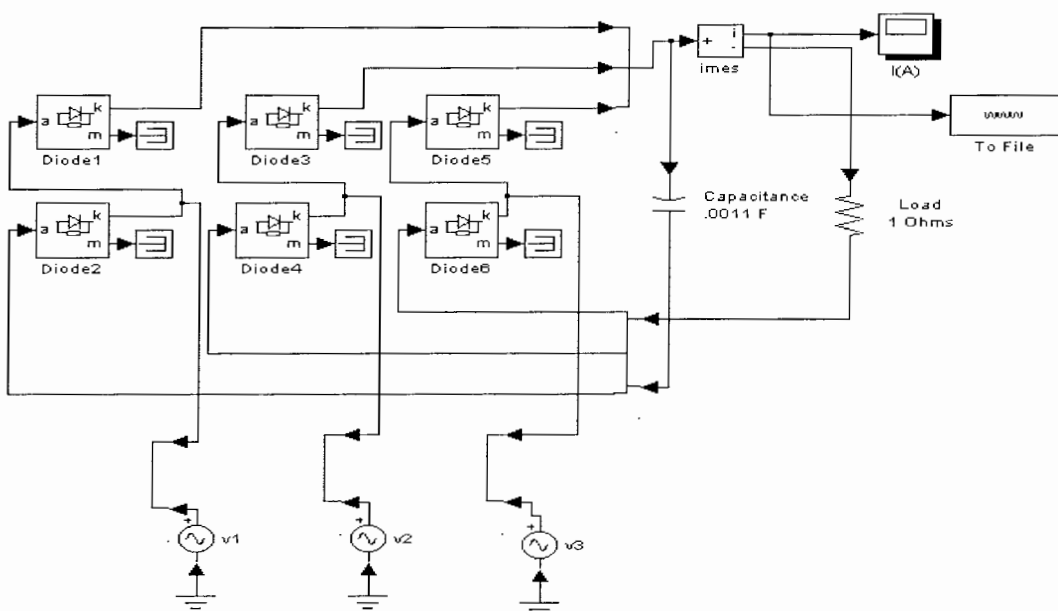
۶-۲-۶ بلوکهای کنترل سرعت و جریانهای استاتور

شمای کلی این بلوک در شکل ۶-۷ نشان داده شده است. در این بلوک سرعت موتور با سرعت مرجع مقایسه شده و خطای حاصل از طریق یک کنترل کننده سرعت PI جریان استاتور در محور q و در مرجع دوار را تولید می‌کند. همچنین از روی معادلات شار، جریان استاتور در محور d و در مرجع دوار را

تولید می کند. سپس جریانهای مرجع بدست آمده با جریانهای استاتور موتور در مرجع دوار مقایسه شده و با استفاده از کنترل کننده های PI ولتاژهای استاتور در مرجع دوار (u_1 و u_2) تولید می شوند.

۶-۲-۶ بلوک یکسوساز قدرت

برای تولید ولتاژ DC برای اینورتر از یکسو کننده تمام موج استفاده شده است. بلوک مدار یکسو ساز قدرت در شکل ۸-۶ نشان داده شده است.

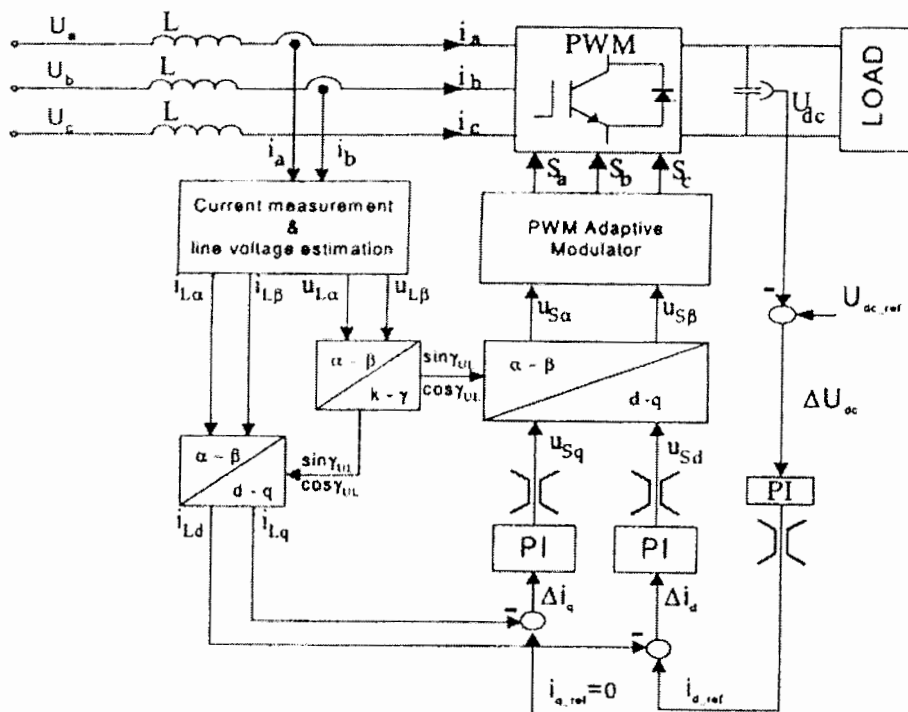


شکل ۸-۶- مدار یکسو ساز قدرت

خازن خروجی این بلوک به عنوان فیلتر عمل می کند و باعث کاهش نوسانات ولتاژ DC می گردد. دامنه ولتاژ ورودی یکسو ساز و ریپل آن قابل تنظیم می باشند. [۲۳، ۲۴]

شکل بلوک کنترلی این یکسو کننده به صورت شکل ۹-۶ می باشد [۱۲]. این بلوک با توجه به فیدبکی که از مقدار ولتاژ بس dc می گیرد، در هر لحظه موجب به حداقل رسیدن این خطای می گردد. در مواردی

مانند نقاط تغییر علائمت سرعت و افزایش ناگهانی آن باعث کاهش بس dc می‌گردد که این مدار کنترلی این تغییرات را کنترل کرده و مقدار بس dc را روی مقدار مرجع آن ثابت می‌کند.



شکل ۹-۶- بلوك مدار کنترلی بس dc

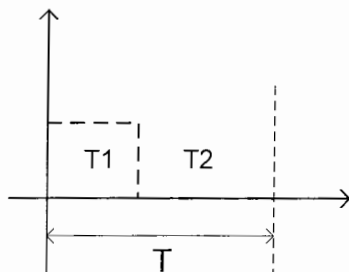
۸-۲- بلوك اينورتر

برای اعمال ولتاژهای سه فاز به موتور از بلوك اينورتر که کنترل آن به روش PWM می‌باشد استفاده شده است. برای تولید سیگنالهای PWM برای اعمال به گیتهای IGBT ها، مطابق شکل ۱۰-۶ پس از محاسبه ولتاژهای ($v_{as}^*, v_{bs}^*, v_{cs}^*$) و با استفاده از روابط ۱-۶ و ۲-۶، ثابت زمانی T_1 تعیین شده و به بلوك تایمروال و سه سیگنال PWM تولید می‌شوند. در هر لحظه مقدار بس DC اینورتر توسط بلوك یکسو کننده تعیین می‌گردد و به آن اعمال می‌شود.

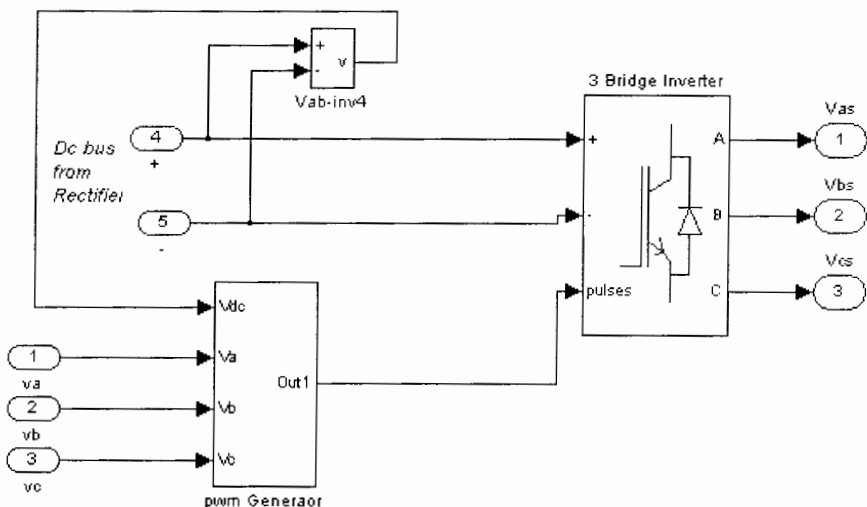
تایمراها سه سیگنال PWM لازم را شکل ۱۱-۶ تولید می کنند. که در این شکل T فرکانس کلیدزنی IGBT ها و m ضریبی ثابت می باشد. سپس این سه سیگنال را به بلوک تولید زمان سکون اعمال کرده و شش سیگنال برای گیتهای IGBT ها تولید می شوند. و با اعمال این سیگنالها به بلوک اینورتر ولتاژهای فازهای استاتور v_{as} , v_{bs} , v_{cs} تولید می شوند.

$$m = \frac{V_{as}^*}{.61 V_{dc-bus}} \quad (1-6)$$

$$T_1 = \frac{T}{2}(1+m), \quad T_2 = \frac{T}{2}(1-m) \quad (2-6)$$



شکل ۱۰-۶ - ثابت زمانیهای PWM



شکل ۱۱-۶ - بلوک اینورتر همراه با PWM

۹-۲-۶ تعیین ضرایب کنترل کننده ها

جهت تعیین ضرایب کنترل کننده های سرعت و جریانهای استاتور از روش سعی و خطا استفاده شده است. با توجه به وجود سه کنترل کننده و وابستگی آنها به یکدیگر و همچنین وجود بلوک اینورتر در سیستم که باعث بروز نوسانات شدید فرکانس بالا می‌گردد، ترتیب و روش این تنظیم ها بسیار مهم می‌باشد.

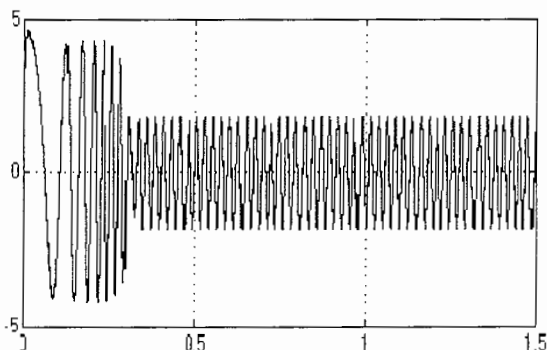
ابتدا ضرایب کنترل کننده سرعت را با توجه به مقادیر سرعت مرجع و سرعت موتور، به گونه‌ای انتخاب می‌کنیم تا سیگنال مرجع جریان محور q استاتور دارای زمان خیز مناسب حدود میلی ثانیه و نوسانات کم گردد. سپس ضرایب کنترل کننده جریان محور q استاتور را به گونه‌ای انتخاب می‌کنیم تا خروجی آن دارای زمان خیز حداکثر حدود چند میلی ثانیه و نوسانات کمتر از 3% درصد باشد. سپس این تنظیم ها را چندین بار تکرار می‌نماییم تا زمان خیز کنترل کننده های سرعت و جریان محور q استاتور به کمتر از یک میلی ثانیه و نوسانات آنها کمتر از 5% گردد. طبق روش فوق ضرایب تناسی و انتگرالگیر کنترل کننده سرعت به ترتیب برابر 0.41 و 0.10 ضرایب تناسی و ضرایب تناسی و انتگرالگیر کنترل جریان محور d و q استاتور به ترتیب برابر 40 و 6373 می‌باشد.

۱۰-۲-۶ نتایج حاصل از شبیه سازی

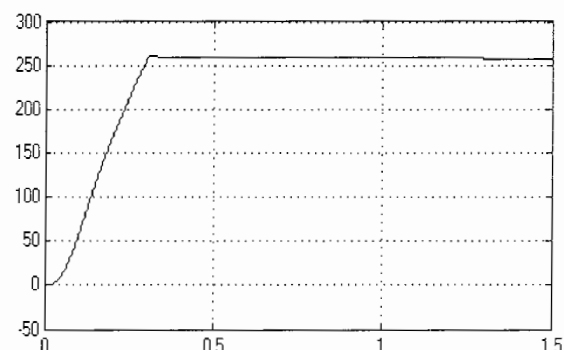
شبیه سازی کنترل برداری غیر مستقیم بر روی موتور القایی سه فاز، با استفاده از معادلات دینامیکی غیر خطی موتور که در فصل دوم و سوم ارائه شد صورت گرفته است. چندین آزمایش برای صحت اجرای کنترل برداری غیر مستقیم اجرا شده است، که چند نمونه از این آزمایشات آن تحت شرایط مختلف در این بخش ارائه شده‌اند.

۱-۱۰-۲-۶ پاسخ موتور در سرعت نامی

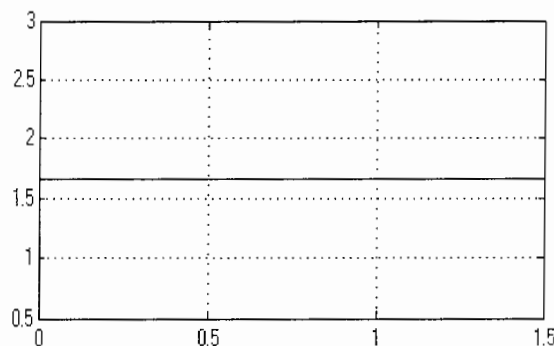
در این آزمایش بدون اینکه هیچگونه باری بر روی موتور قرار داشته باشد، سرعت مرجع را برابر سرعت نامی 260 rad/s قرار داده و شبیه سازی را انجام می‌دهیم. نتایج حاصل از شبیه سازی در شکل‌های ۱۲-۶ الی ۲۱-۶ نشان داده شده است.



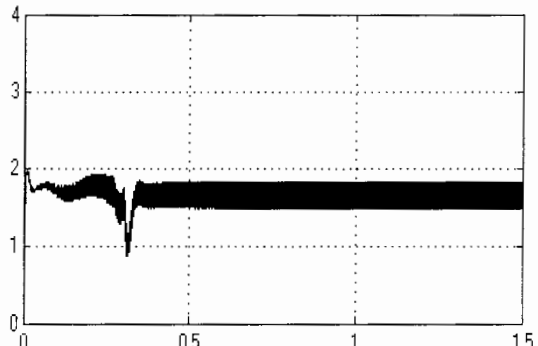
شکل ۱۳-۶- جریان یک فاز موتور



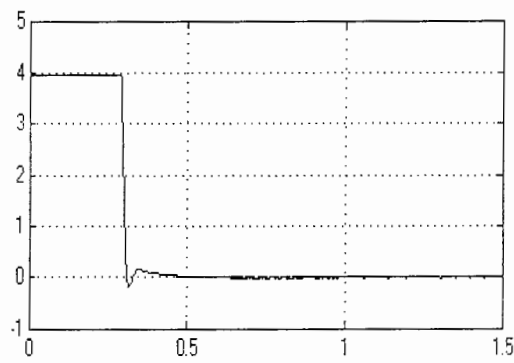
شکل ۱۲-۶- سرعت موتور



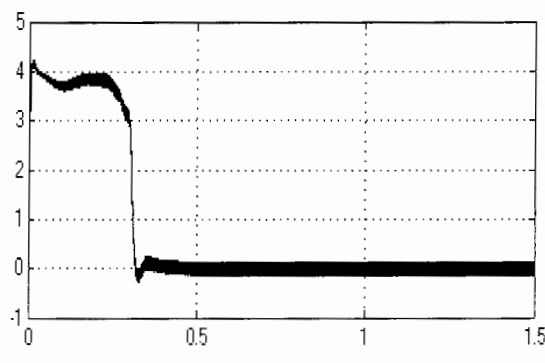
شکل ۱۵-۶- جریان مرجع محور d استاتاتور



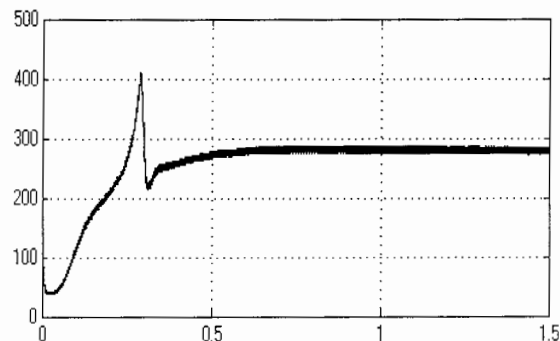
شکل ۱۴-۶- جریان محور d استاتاتور



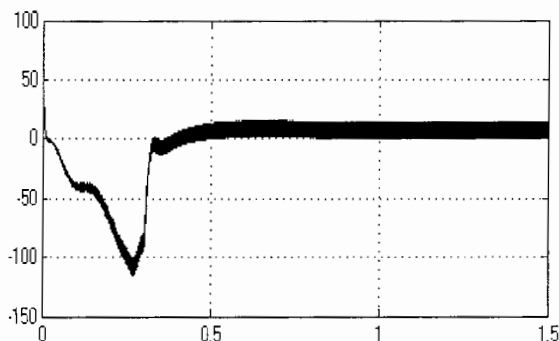
شكل ١٧-٦ - جریان مرجع محور q استاتور



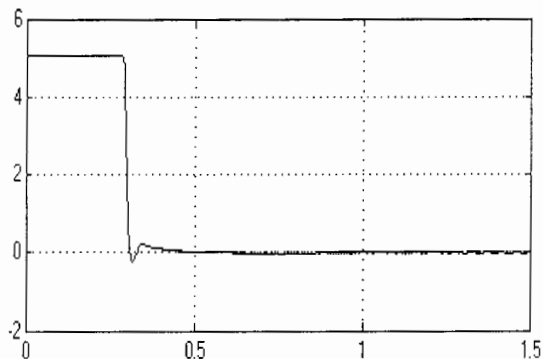
شكل ١٦-٦ - جریان محور q استاتور



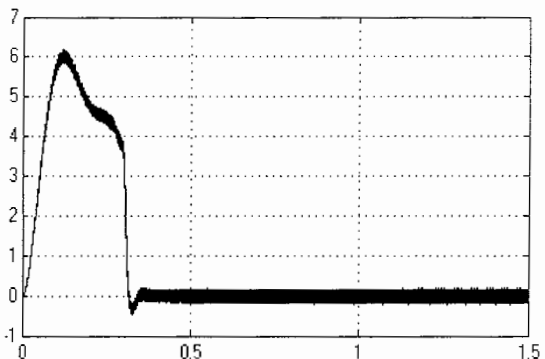
شكل ١٩-٦ - ولتاژ محور d استاتور



شكل ١٨-٦ - ولتاژ محور q استاتور



شكل ٢١-٦ - گشتاور الکترومغناطیسی مرجع

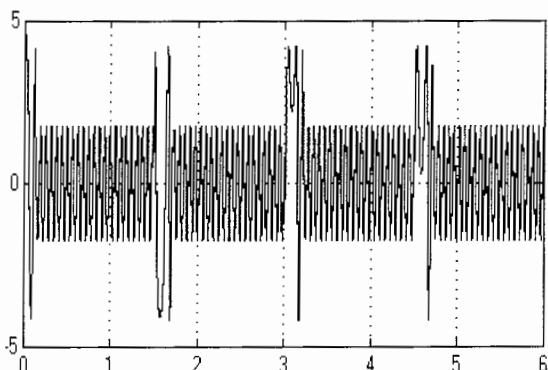


شكل ٢٠-٦ - گشتاور الکترومغناطیسی

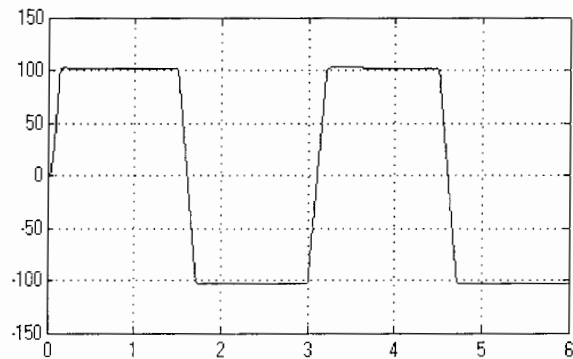
از شکلهای بالا به خوبی دیده می شود که روش کنترل برداری غیر مستقیم به درستی اجرا شده است زیرا در شکل ۱۲-۶ سرعت به خوبی سرعت مرجع را دنبال کرده و در حالت ماندگار خطای سرعت قابل صرف نظر کردن می باشد. در شکلهای ۱۴-۶ و ۱۶-۶ جریان محور d استاتور و جریان محور q استاتور مقادیر مرجع را به خوبی دنبال می کنند و همانطور که از شکلهای ۲۰-۶ و ۲۰-۶ دیده می شود گشتاور الکتریکی بطور خطی با جریان محور q استاتور متناسب است.

۲-۱۰-۲-۶ پاسخ موتور به تغییر پله ای در سرعت مرجع

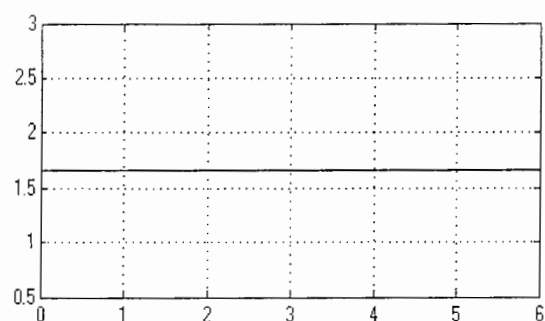
در شکلهای ۲۲-۶ الی ۳۱-۶ پاسخ موتور به تغییر در سرعت مرجع از صفر تا 100 rad/s و 100 rad/s به -100 rad/s نشان داده شده است.



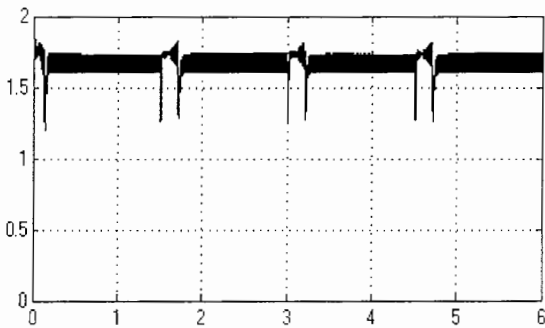
شکل ۲۳-۶- جریان یک فاز موتور



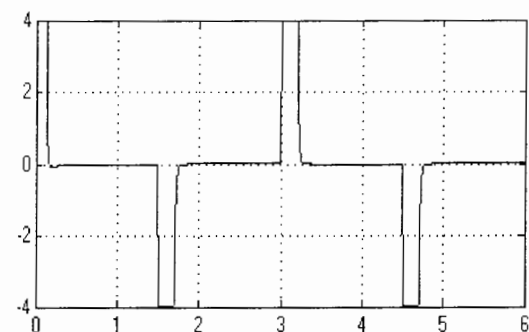
شکل ۲۲-۶- سرعت موتور



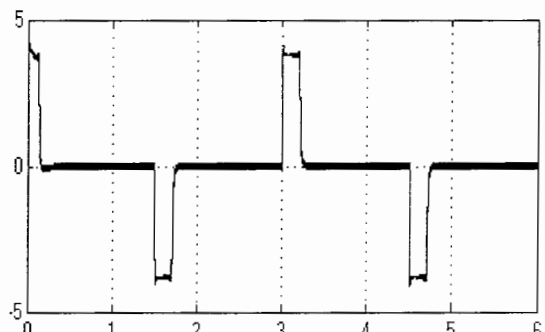
شكل ٢٥-٦- جریان مرجع محور d استاتور



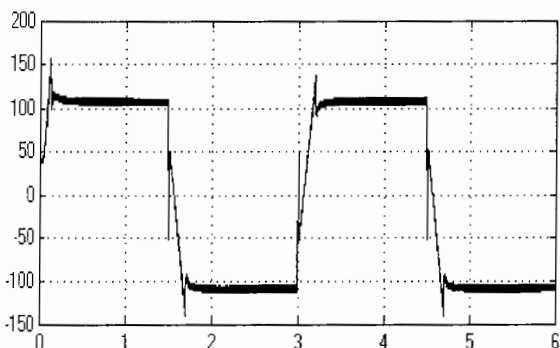
شكل ٢٤-٦- جریان محور d استاتور



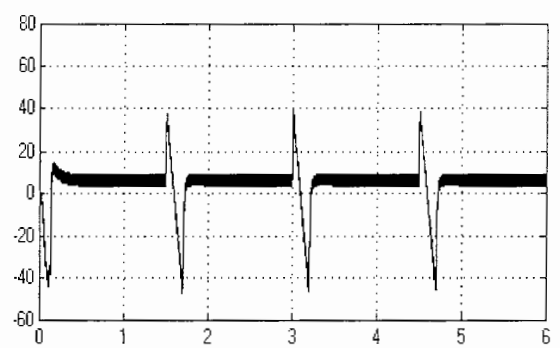
شكل ٢٧-٦- جریان مرجع محور q استاتور



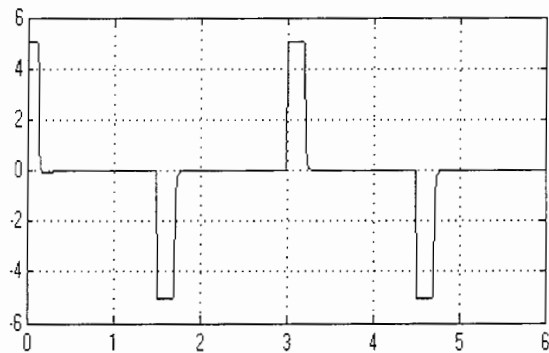
شكل ٢٦-٦- جریان محور q استاتور



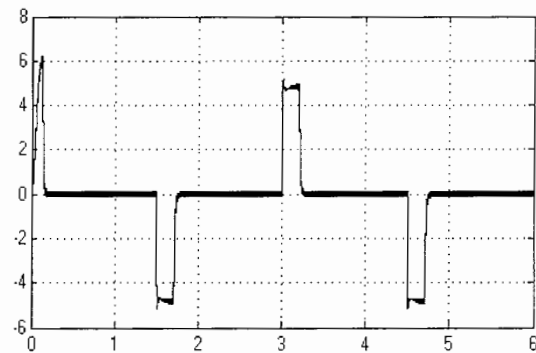
شكل ٢٩-٦- ولتاژ محور d استاتور



شكل ٢٨-٦- ولتاژ محور q استاتور



شکل ۳۱-۶- گشتاور الکترومغناطیسی مرجع

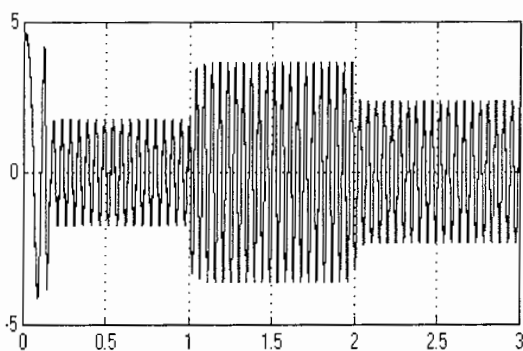


شکل ۳۰-۶- گشتاور الکترومغناطیسی

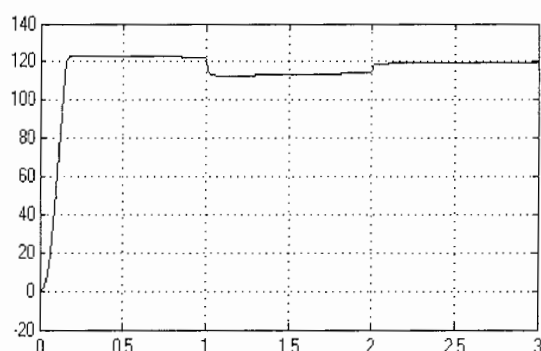
از شکلهای فوق مشاهده می‌گردد که روش کنترل برداری نسبت به تغییرات سرعت، عملکرد خوبی دارد.

۳-۱۰-۳- پاسخ موتور به تغییر پله ای در بار

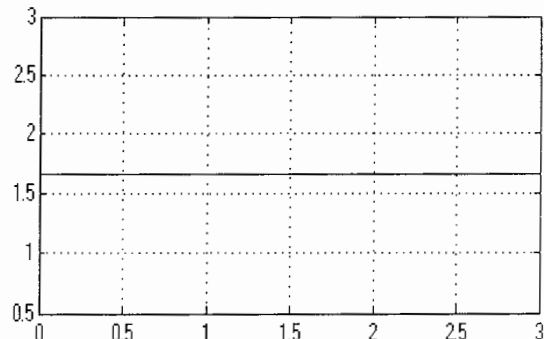
در این حالت موتور در حالت بی باری با سرعت 120 rad/s مشغول به کار می باشد. در لحظه $t=1 \text{ s}$ گشتاور بار 4 نیوتن متر به موتور اعمال می گردد سپس در لحظه $t=2 \text{ s}$ این گشتاور به 2 نیوتن متر کاهش می یابد. در شکلهای ۳۲-۶ الی ۴۱-۶ پاسخ موتور به این تغییرات بار نشان داده شده است.



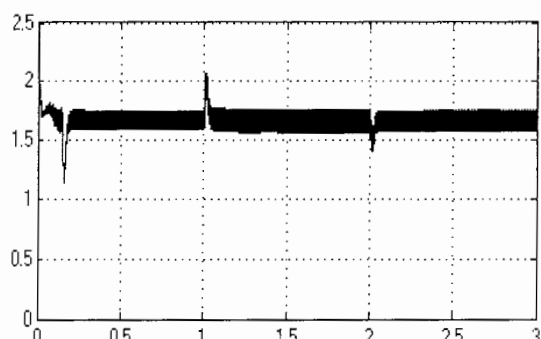
شکل ۳۳-۶- جریان یک فاز موتور



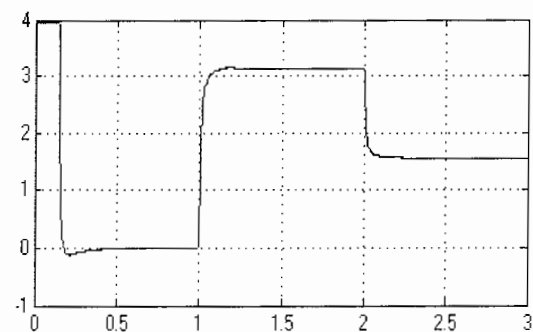
شکل ۳۲-۶- سرعت موتور



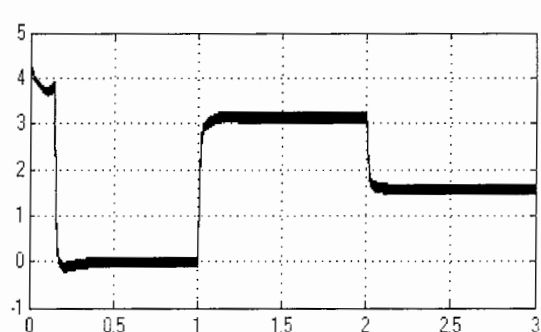
شکل ۳۵-۶- جریان مرجع محور d استاتور



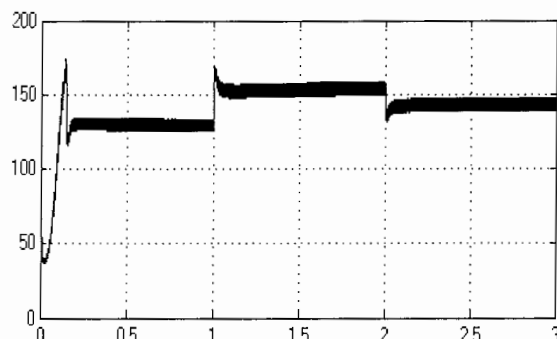
شکل ۳۴-۶- جریان محور d استاتور



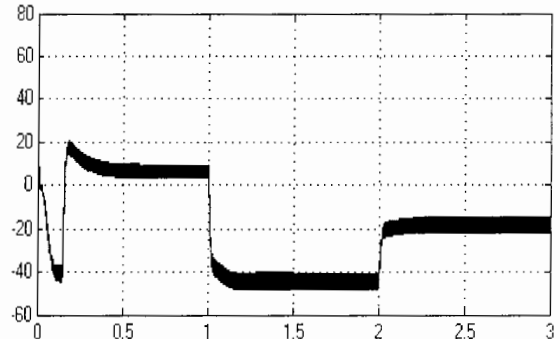
شکل ۳۷-۶- جریان مرجع محور q استاتور



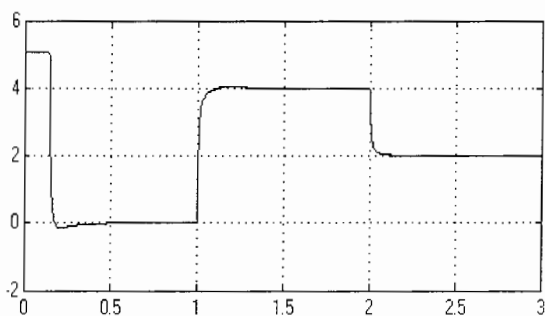
شکل ۳۶-۶- جریان محور q استاتور



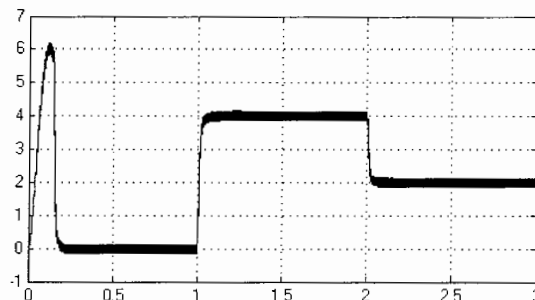
شکل ۳۹-۶- ولتاژ محور d استاتور



شکل ۳۸-۶- ولتاژ محور q استاتور



شکل ۴۱-۶- گشتاور الکترومغناطیسی مرجع

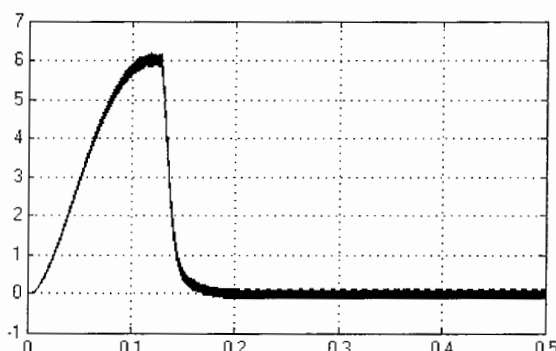
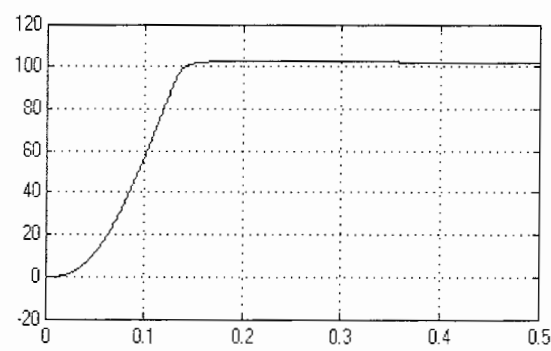


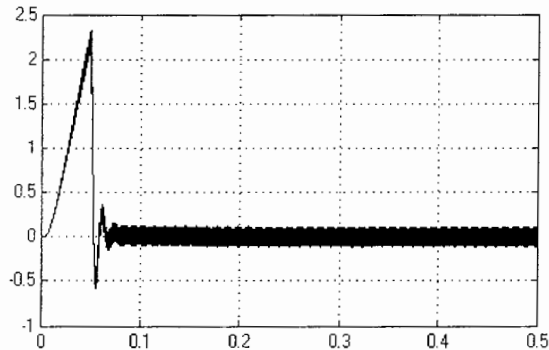
شکل ۴۰-۶- گشتاور الکترومغناطیسی

از شکلهای بالا به خوبی دیده می شود که روش کنترل برداری غیر مستقیم به درستی اجرا شده است. در شکل ۳۲-۶ سرعت به خوبی سرعت مرجع را دنبال کرده و در حالت ماندگار خطای سرعت قابل صرف نظر کردن می باشد. در شکلهای ۳۴-۶ و ۳۶-۶ جریان محور d استاتور و جریان محور q استاتور مقادیر مرجع را به خوبی دنبال می کنند و همانطور که از شکلهای ۴۰-۶ و ۳۶-۶ دیده می شود گشتاور الکتریکی بطور خطی با جریان محور q استاتور متناسب است.

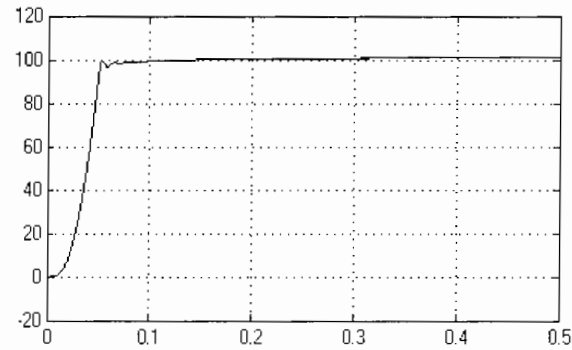
۴-۱۰-۲- تغییرات اینرسی موتور

در این آزمایش چگونگی عملکرد تختینگر با تغییر اینرسی موتور را بررسی نمودیم. در این حالت موتور را با سرعت 100 rad/s راه اندازی نمودیم و تغییرات آنرا در شکلهای ۴۲-۶ الی ۵۱-۶ نشان داده شده است.

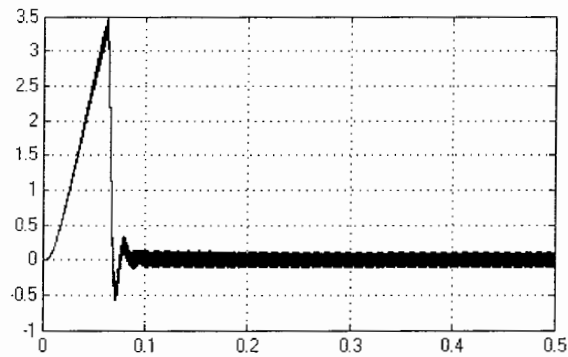
شکل ۴۳-۶- گشتاور به ازای $J = J_{\text{nom}}$ شکل ۴۲-۶- سرعت به ازای $J = J_{\text{nom}}$



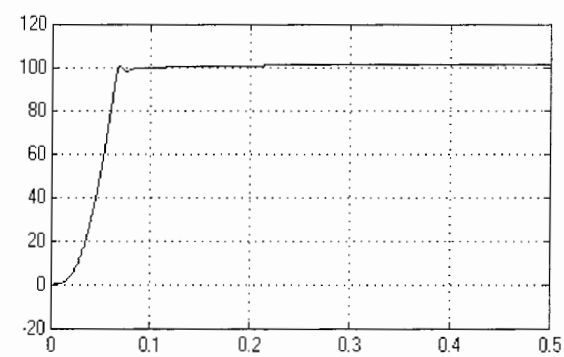
شکل ۶-۴۵-۶- گشتاور به ازای J_{nom}



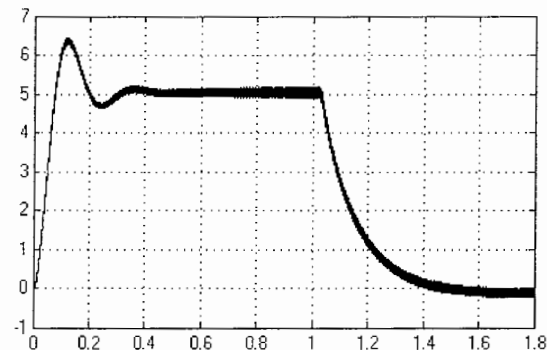
شکل ۶-۴۴-۶- سرعت به ازای J_{nom}



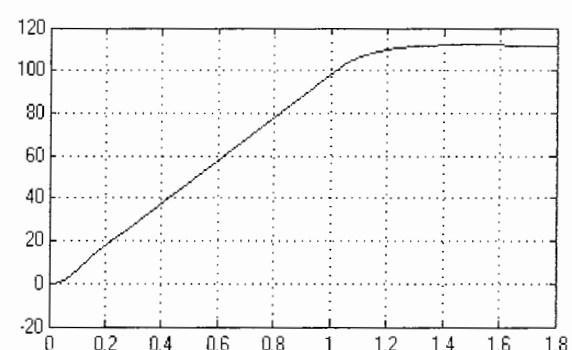
شکل ۶-۴۷-۶- گشتاور به ازای J_{nom}



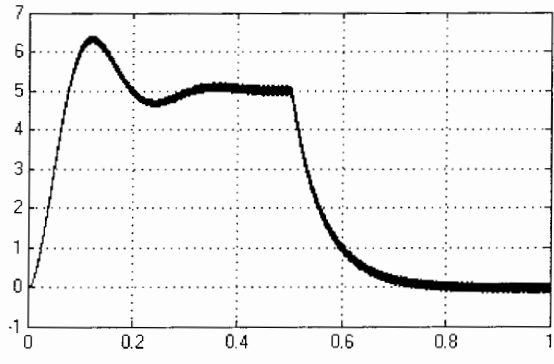
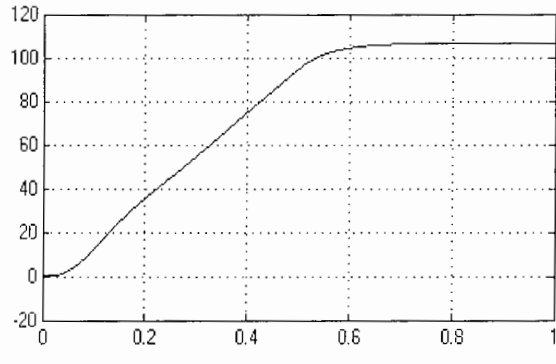
شکل ۶-۴۶-۶- سرعت به ازای J_{nom}



شکل ۶-۴۹-۶- گشتاور به ازای J_{nom}



شکل ۶-۴۸-۶- سرعت به ازای J_{nom}

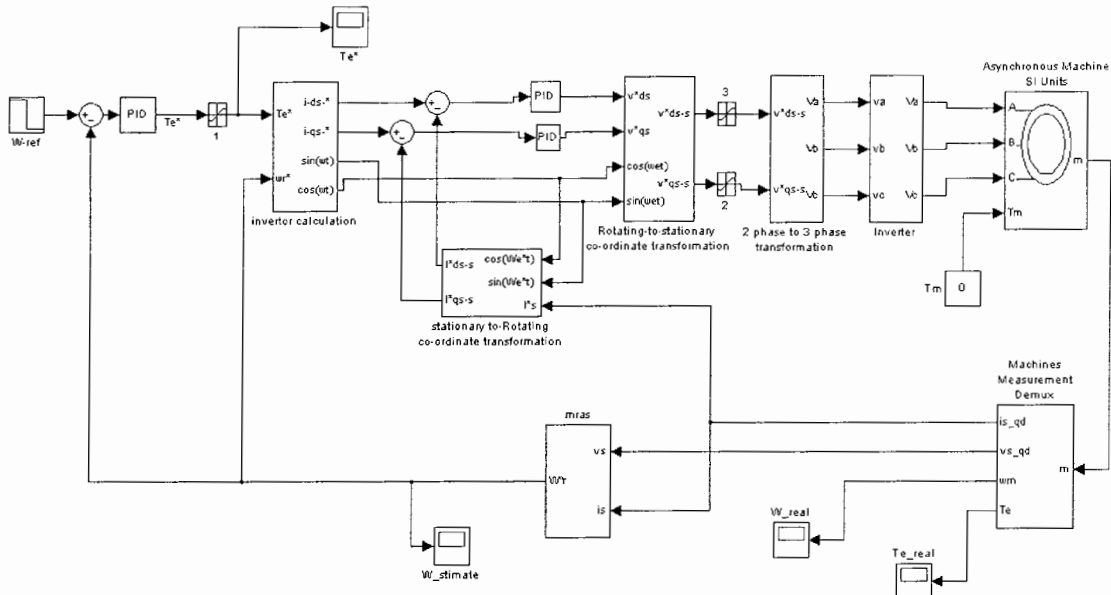
شکل ۶-۵۱-۶- گشتاور به ازای $J=5*J_{nom}$ شکل ۶-۵۰-۶- سرعت به ازای $J=5*J_{nom}$

اشکال ۶-۴۲ تا ۶-۵۱ نشان‌گر این مطلب می‌باشد که به ازای افزایش اینرسی موتور مقدار زمان رسیدن به سرعت مرجع طولانی می‌شود و با کوچک کردن اینرسی موتور این زمان کاهش می‌یابد. در این بخش در ابتدا شبیه سازی کنترل برداری غیر مستقیم بر روی موتور القایی همراه با بلوک دیاگرامهای قسمتهای مختلف ارائه شد. سپس عملکرد سیستم در شرایط مختلف مورد بررسی قرار گرفت. نتایج حاصله، نشان دهنده عملکرد قابل اطمینان این روش کنترلی بر روی موتور القایی می‌باشد.

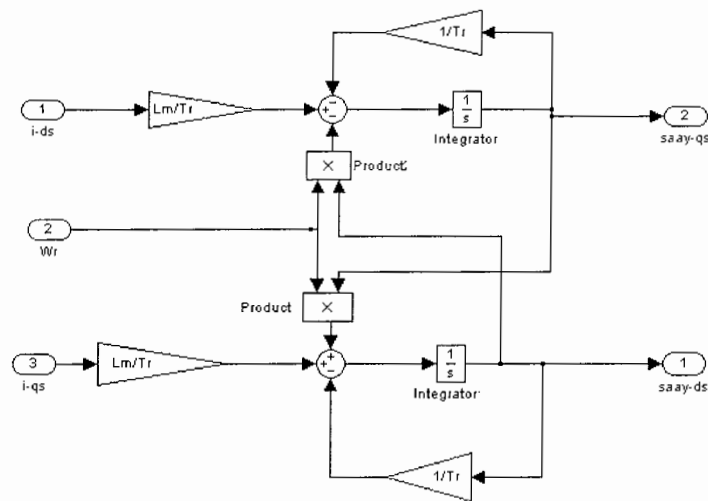
۳-۶ شبیه سازی تخمین سرعت موتورالقایی بدون سنسور سرعت با استفاده از تخمینگر تطبیقی با مدل مرجع (MRAS)

در این روش، همانطور که در بخش ۲-۳-۵ بیان گردید، مقدار واقعی و تخمینی شار با یکدیگر مقایسه شده و از روی خطای حاصل از آن و با استفاده از یک کنترلر PID، مقدار سرعت رotor تخمین زده می شود.

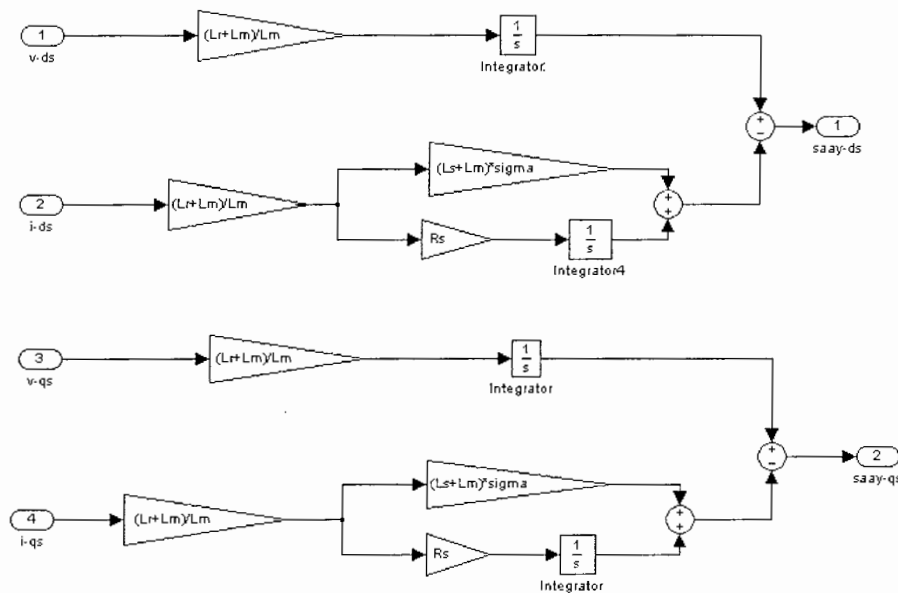
بلوک دیاگرامهای کلی سیستم، محاسبه شار واقعی و شار تخمینی و همچنین بلوک محاسبه سرعت در اشکال ۵۲-۶ الی ۵۵-۶ نمایش داده شده است.



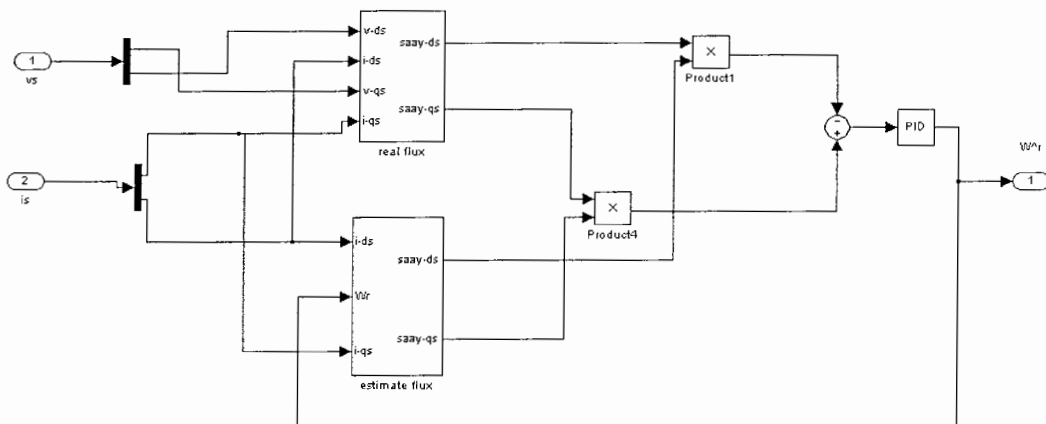
شکل ۶-۵۲-۶- بلوک دیاگرام سیستم کنترل برداری بهمراه تخمینگر سرعت MRAS



شکل ۵-۶- بلوک محاسبه شار تخمینی



شکل ۵-۶- بلوک محاسبه شار واقعی

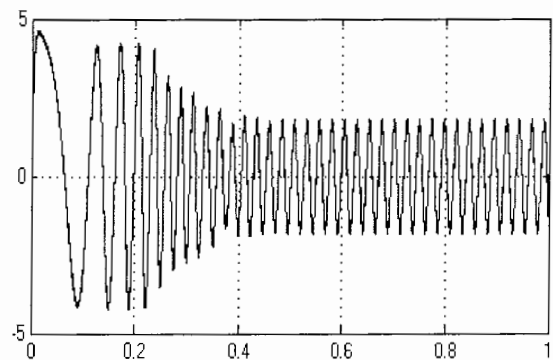


شکل ۶-۵۵- بلوک محاسبه سرعت تخمینی روتور با استفاده از روش MRAS

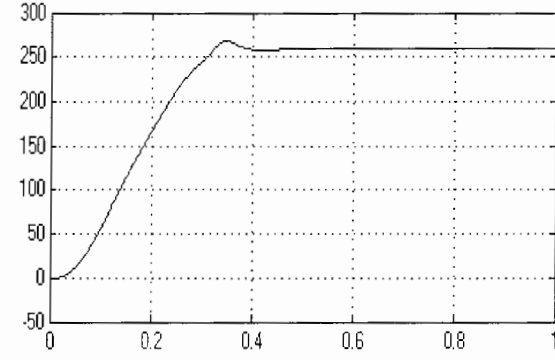
در این قسمت شبیه سازی کنترل برداری غیر مستقیم بر روی موتور القایی سه فاز با تخمینگر سرعت صورت گرفته است. چندین آزمایش برای صحت عملکرد تخمینگر اجرا شده است، که چند نمونه از این آزمایشات آن تحت شرایط مختلف در این بخش ارائه شده‌اند.

۶-۳-۱ پاسخ موتور در سرعت نامی

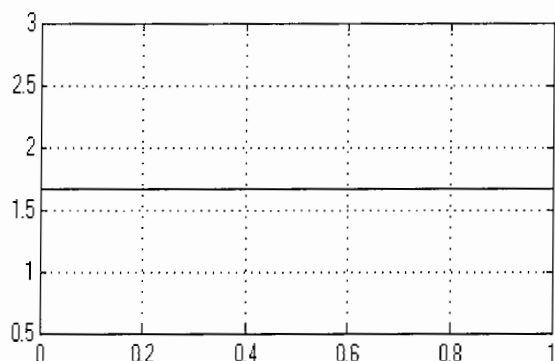
در این آزمایش بدون اینکه هیچگونه باری بر روی موتور قرار داشته باشد، سرعت مرجع را برابر سرعت نامی 260 rad/s قرار داده و شبیه سازی را انجام می‌دهیم. نتایج حاصل از شبیه سازی در شکل‌های ۶-۵۶ الی ۶-۶۵ نشان داده شده است.



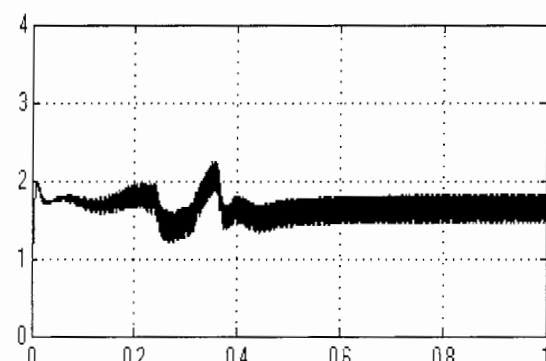
شکل ۶-۵۷- جریان یک فاز موتور



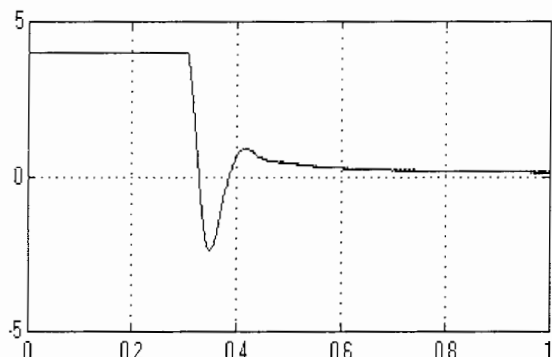
شکل ۶-۵۶- سرعت موتور



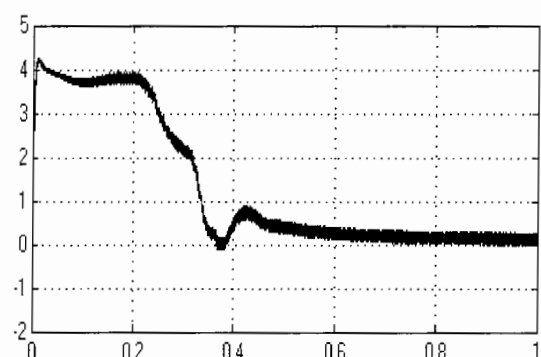
شکل ۶-۵۹- جریان مرجع محور d استاتور



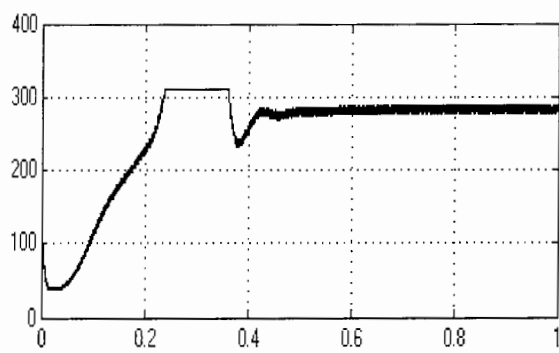
شکل ۶-۵۸- جریان محور d استاتور



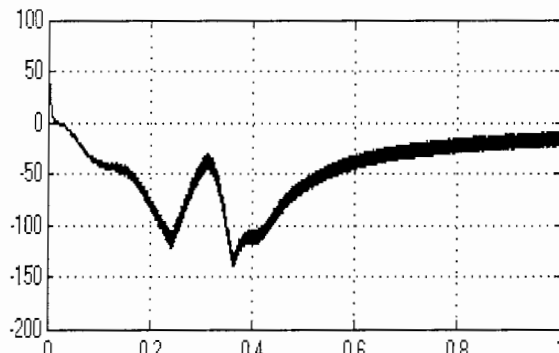
شکل ۶-۶۱- جریان مرجع محور q استاتور



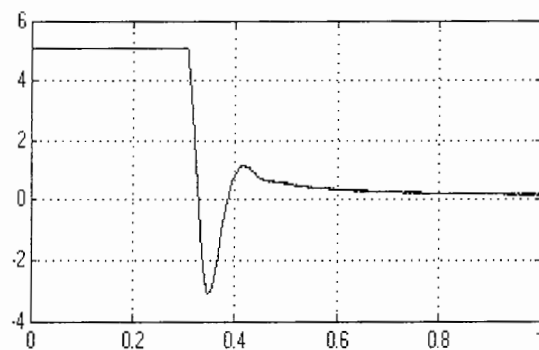
شکل ۶-۶۰- جریان محور q استاتور



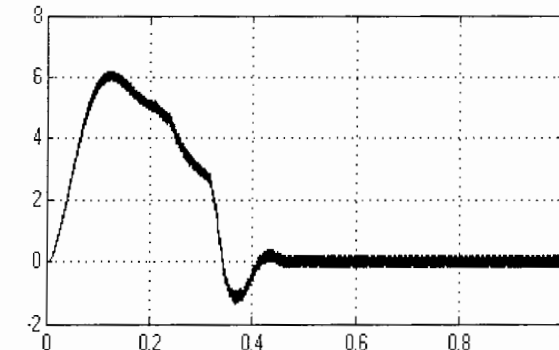
شکل ۶-۶۳- ولتاژ محور d استاتور



شکل ۶-۶۴- ولتاژ محور q استاتور



شکل ۶-۶۵- گشتاور الکترومغناطیسی مرجع

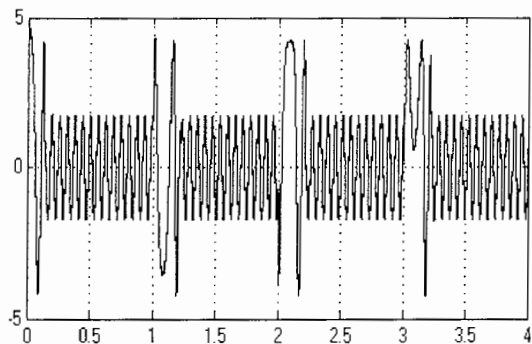


شکل ۶-۶۶- گشتاور الکترومغناطیسی مرجع

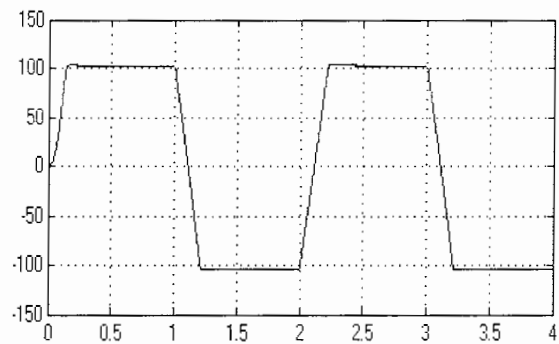
از شکل‌های بالا به خوبی دیده می‌شود که عملکرد تخمینگر MRAS مطلوب می‌باشد در شکل ۶-۶۵ و شکل ۶-۶۶ سرعت به خوبی سرعت مرجع را دنبال می‌کند.

۶-۳-۲- پاسخ موتور به تغییر پله‌ای در سرعت مرجع

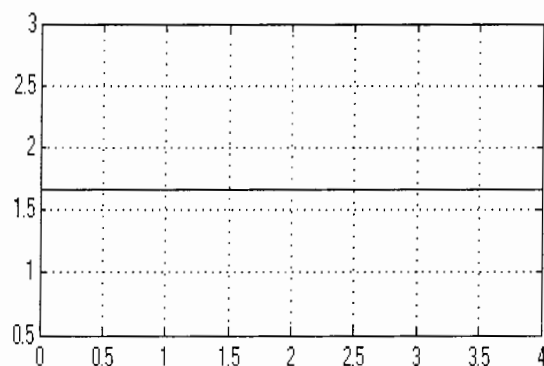
در شکل‌های ۶-۶۶ الی ۶-۷۵ پاسخ موتور به تغییر در سرعت مرجع از صفر تا 100 rad/s و به 100 rad/s نشان داده شده است.



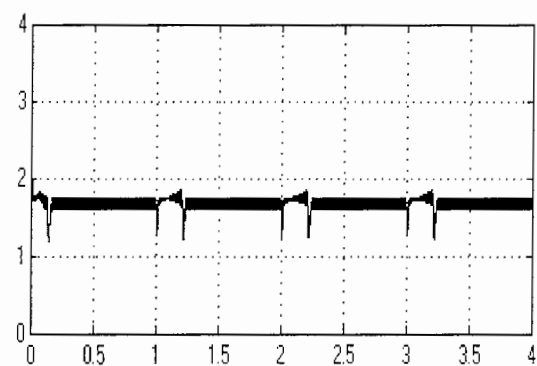
شکل ۶-۶۷- جریان یک فاز موتور



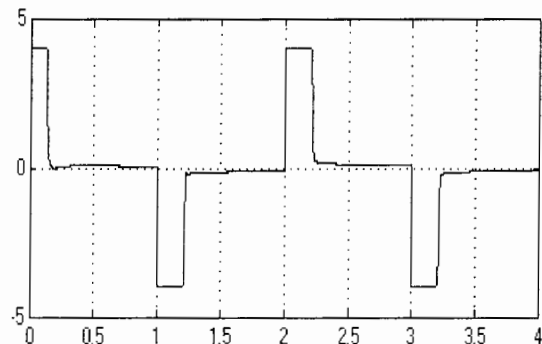
شکل ۶-۶۸- سرعت موتور



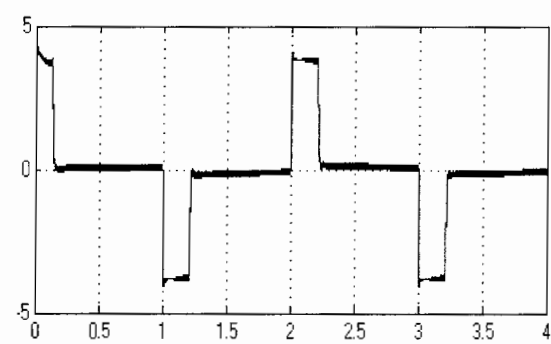
شکل ۶-۶۹- جریان مرجع محور d استاتور



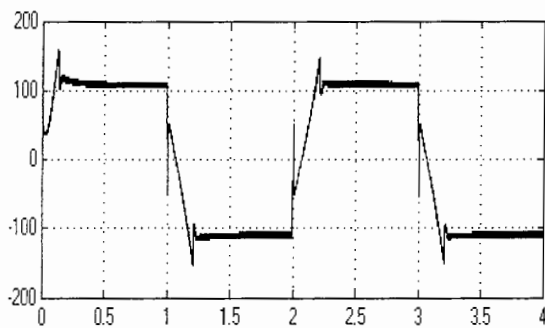
شکل ۶-۷۰- جریان مرجع محور q استاتور



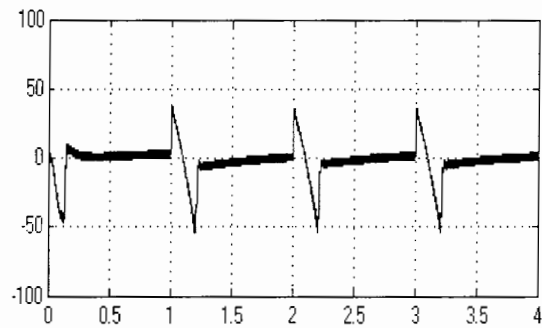
شکل ۶-۷۱- جریان مرجع محور d استاتور



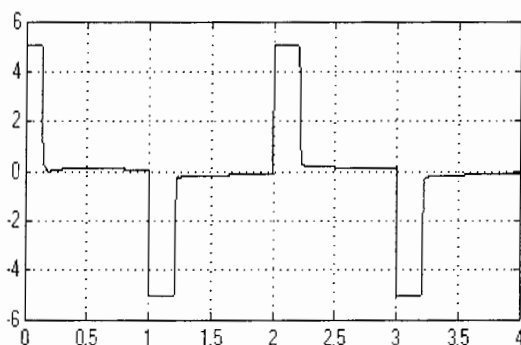
شکل ۶-۷۲- جریان مرجع محور q استاتور



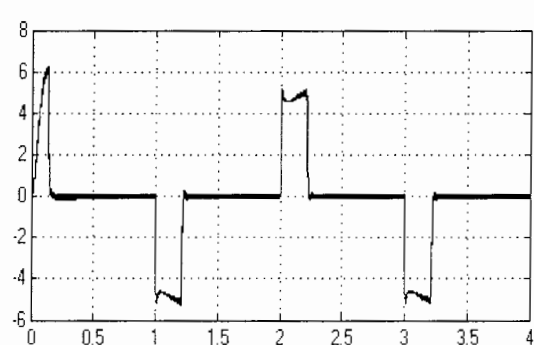
شکل ۶-۷۳- ولتاژ محور d استاتور



شکل ۶-۷۲- ولتاژ محور q استاتور



شکل ۶-۷۵- گشتاور الکترومغناطیسی مرجع

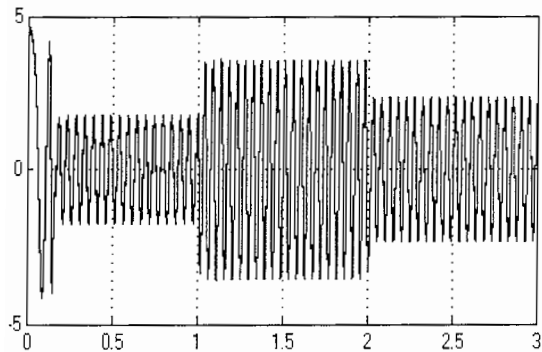


شکل ۶-۷۴- گشتاور الکترومغناطیسی

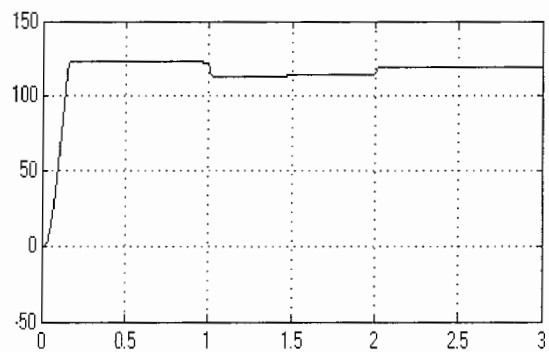
از شکلهای فوق مشاهده می‌گردد که عملکرد تخمینگر MRAS نسبت به تغییرات سرعت، مطلوب می‌باشد.

۶-۳-۶ پاسخ موتور به تغییر پله‌ای در بار

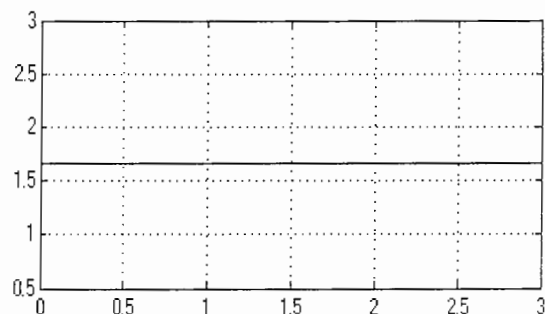
در این حالت موتور در حالت بی باری با سرعت 120 rad/s مشغول به کار می‌باشد. در لحظه $t=1 \text{ s}$ گشتاور بار 4 نیوتن متر به موتور اعمال می‌گردد. سپس در لحظه $t=2 \text{ s}$ این گشتاور به 2 نیوتن متر کاهش می‌یابد. شکلهای ۶-۷۶ الی ۶-۸۵ پاسخ موتور به این تغییرات بار نشان داده شده است.



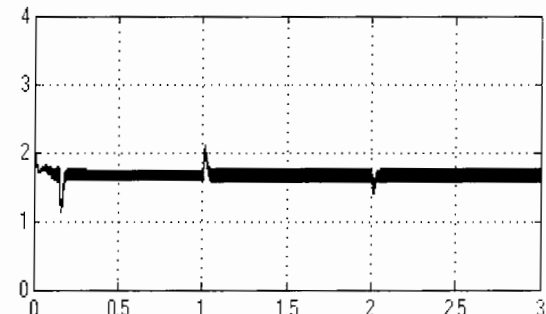
شکل ۶-۷۷- جریان یک فاز موتور



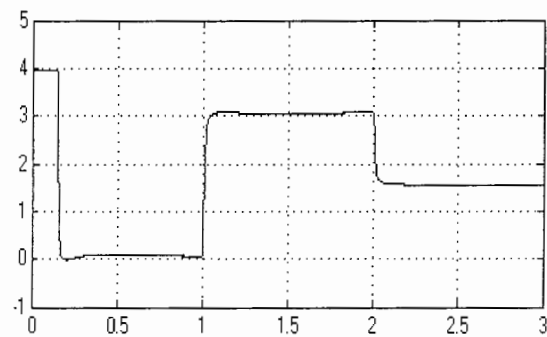
شکل ۶-۷۶- سرعت موتور



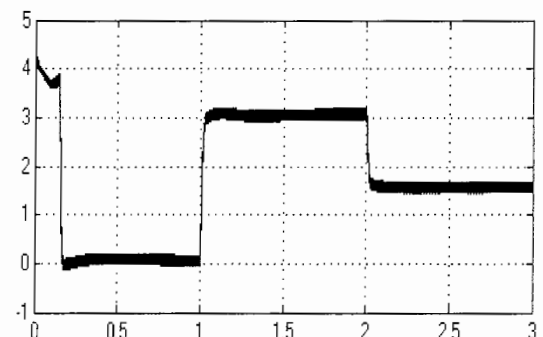
شکل ۶-۷۹- جریان مرجع محور d استاتور



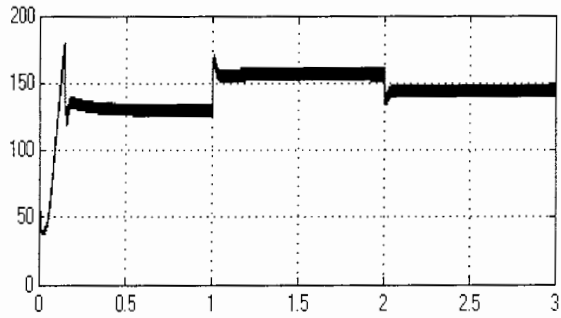
شکل ۶-۷۸- جریان محور d استاتور



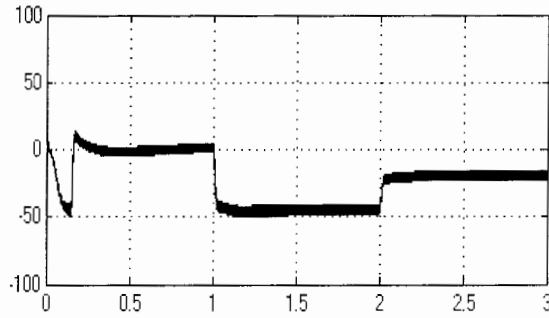
شکل ۶-۸۱- جریان مرجع محور q استاتور



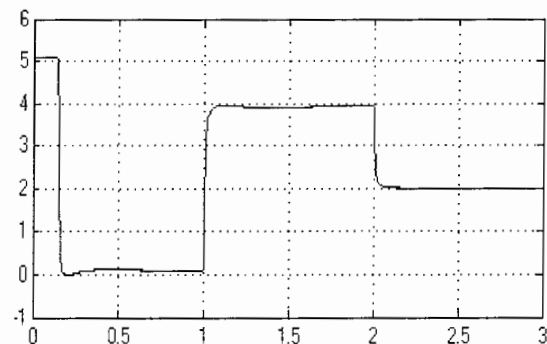
شکل ۶-۸۰- جریان محور q استاتور



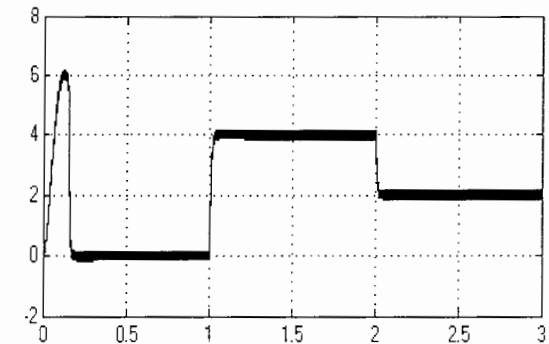
شکل ۶-۸۳-۶ - ولتاژ محور d استاتور



شکل ۶-۸۲-۶ - ولتاژ محور q استاتور



شکل ۶-۸۵-۶ - گشتاور الکترومغناطیسی مرجع

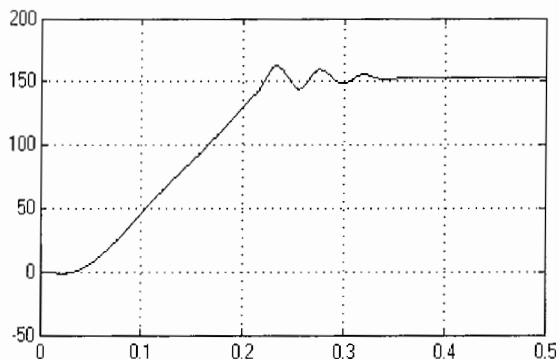


شکل ۶-۸۴-۶ - گشتاور الکترومغناطیسی

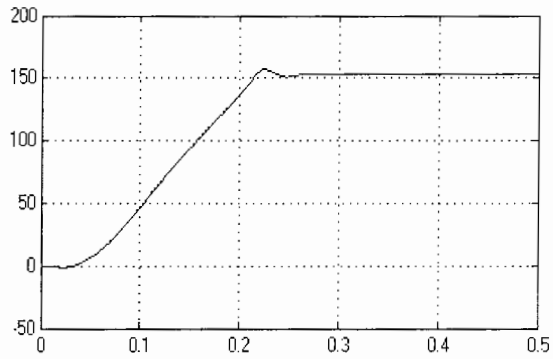
از شکل‌های فوق مشاهده می‌گردد که عملکرد تخمینگر MRAS نسبت به تغییرات بار، مطلوب می‌باشد.

۶-۳-۶ تغییرات مقاومت روتور

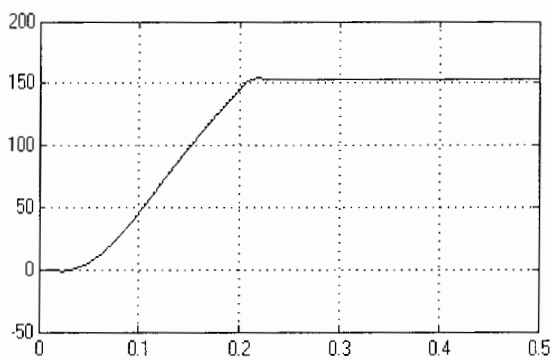
در این آزمایش چگونگی عملکرد تخمینگر با تغییر مقاومت روتور را بررسی نمودیم. در این حالت موتور را با سرعت 150 rad/s راه اندازی نمودیم و تغییرات آنرا در شکل‌های ۶-۸۶ الی ۶-۸۹ نشان داده شده است.



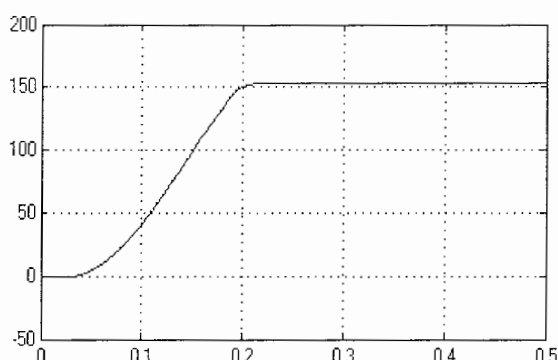
شکل ۶-۸۷-۶- سرعت روتور به ازای $Rr = 1/3 * Rr$



شکل ۶-۸۶-۶- سرعت روتور به ازای $Rr = 1/15 * Rr$



شکل ۶-۸۹-۶- سرعت روتور به ازای $Rr = 1 * Rr$

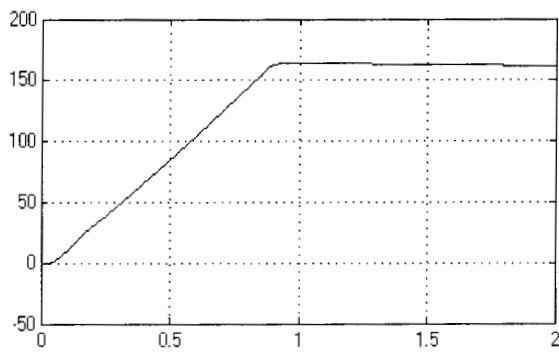


شکل ۶-۸۸-۶- سرعت روتور به ازای $Rr = +8 * Rr$

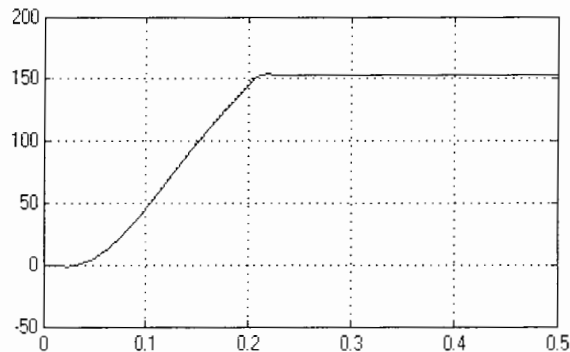
همانطور که در شکل‌های ۶-۸۶ تا ۶-۸۹ نشان داده شده است، افزایش مقاومت روتور باعث بوجود آمدن نوساناتی در سیستم می‌گردد. این نوسانات با افزایش مقاومت روتور تا حدود ۳۰ درصد قابل چشم پوشی می‌باشد.

۶-۳-۵ تغییرات اینرسی موتور

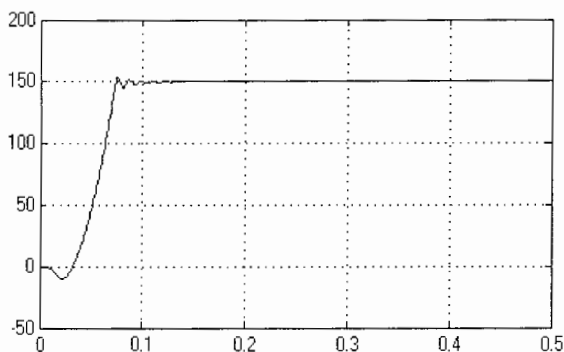
در این آزمایش چگونگی عملکرد تختنگر با تغییر اینرسی موتور را بررسی نمودیم. در این حالت موتور را با سرعت 150 rad/s راه اندازی نمودیم و تغییرات آنرا در شکل‌های ۹۰-۶ الی ۹۳-۶ نشان داده شده است.



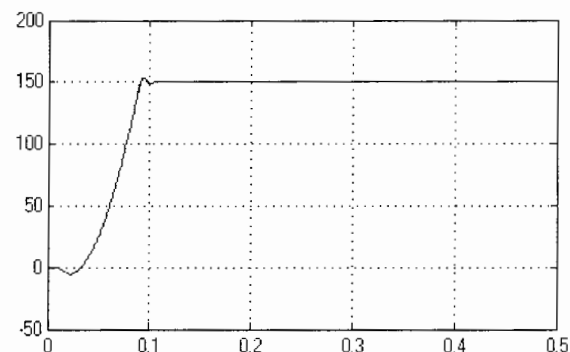
شکل ۶-۹۱-۶- سرعت به ازای $J=5*J_{\text{nom}}$



شکل ۶-۹۰-۶- سرعت به ازای $J=J_{\text{nom}}$



شکل ۶-۹۳-۶- سرعت به ازای $J=+1/10*J_{\text{nom}}$



شکل ۶-۹۲-۶- سرعت به ازای $J=+1/2*J_{\text{nom}}$

همانطور که در شکل‌های ۹۰-۶ الی ۹۳-۶ نشان داده است، افزایش اینرسی موتور باعث طولانی‌تر شدن زمان رسیدن به سرعت مرجع می‌گردد (افزایش زمان حالت گذرا) و کاهش اینرسی موتور باعث کاهش زمان رسیدن به سرعت مرجع می‌گردد.

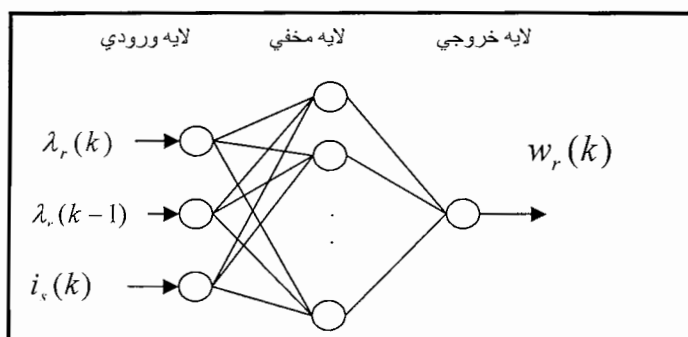
در این بخش روش تخمین سرعت MRAS بر روی موتور القایی کنترل برداری غیر مستقیم شبیه سازی شده وسپس عملکرد سیستم در شرایط مختلف مورد بررسی قرار گرفت. نتایج حاصله، نشان دهنده عملکرد قابل اطمینان این روش تخمین سرعت بر روی موتور القایی می باشد.

همانطور که در نتایج حالات مختلف شبیه سازی نشان داده شده است، این نوع تخمینگر دارای نتایج مطلوبی نسبت به حالت کنترل برداری موتور القایی با سنسور سرعت می باشد.

۶-۴ شبیه سازی تخمین سرعت موتورالقایی بدون سنسور سرعت با استفاده از شبکه عصبی با آموزش غیر همزمان^۱

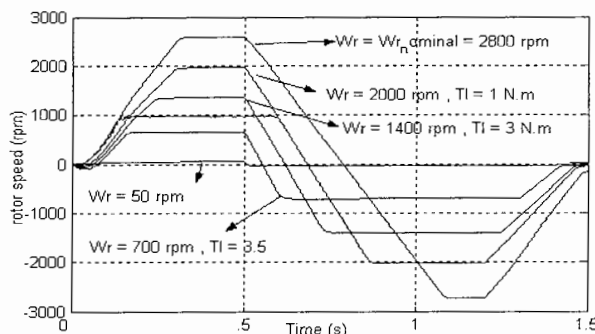
در این روش ابتدا شبکه عصبی با آموزش غیر همزمان براساس داده های نمونه برداری شده از سیستم تعلیم داده می شود. از یک شبکه عصبی پرسپترون سه لایه با الگوریتم آموزش پس- انتشار^۲ استفاده شده است. سرعت روتور به عنوان خروجی شبکه می باشد. بررسی رابطه ۳۷-۵ نشان می دهد که ورودی های مورد نیاز شبکه جریان استاتور و شار روتور در همان لحظه و لحظه قبل برای تخمین سرعت روتور می باشد، بعلت عدم وجود رابطه ریاضی بین سرعت روتور و گشتاور بار و گشتاور الکترومغناطیسی، از این دو پارامتر بعنوان ورودی شبکه عصبی استفاده نمی گردد.[۶]

شکل ۶-۹ ساختار داخلی این شبکه عصبی را نشان می دهد. برای نمونه برداری از جریانها و شارها از مدار کنترل برداری موتور القایی بدون حسگر سرعت استفاده شده است. سپس شبکه فوق با مجموعه ورودی های مختلف تعلیم داده شد. ورودی های آموزش شبکه باید به صورتی باشند که مهمترین حالات مختلف کار کرد موتور را تحت پوشش قرار دهند(شکل ۶-۹). این شبکه یک شبکه MLP سه لایه با یک لایه مخفی می باشد. از تابع خطی در لایه خروجی و تابع سیگموید در لایه مخفی استفاده شده است.



شکل ۶-۹- ساختار داخلی شبکه عصبی

^۱ Off line
^۲ Back propagation



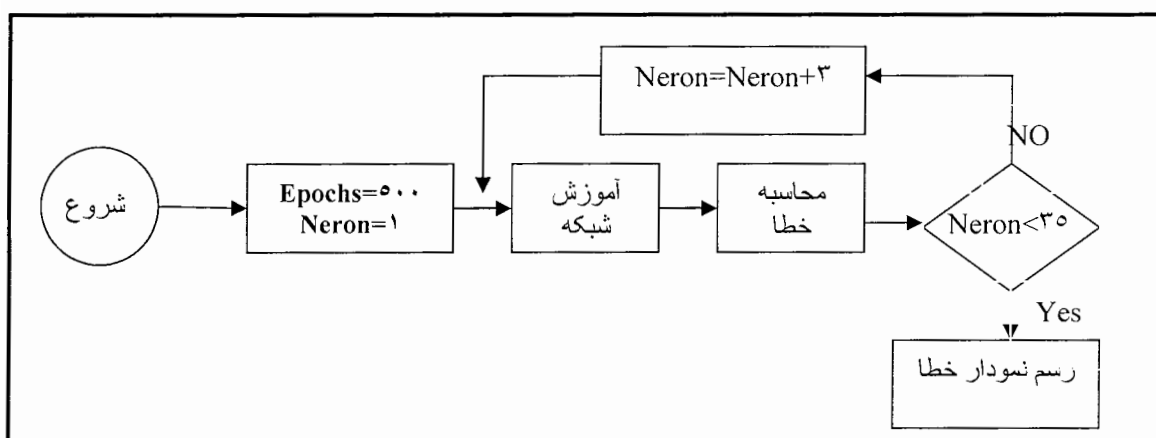
شکل ۶-۹۵- ورودی های مختلف برای آموزش شبکه عصبی

۶-۴-۱ طراحی شبکه عصبی غیر همزمان

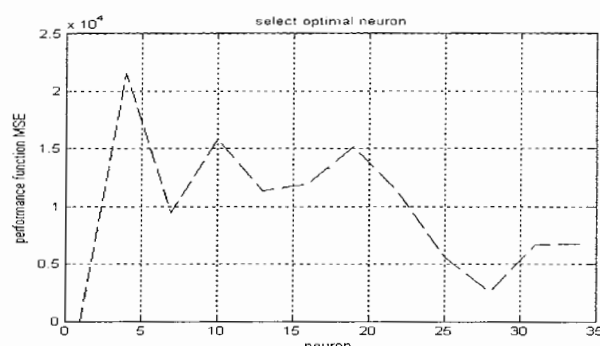
روش های پس انتشار متفاوتی برای آموزش عصبی خارج از خط وجود دارد. این روشها دارای نحوه محاسبات، سرعت و حافظه مورد نیاز متفاوتی می باشد. استفاده از هر کدام از این روشها بستگی به شرایط و سیستم مورد استفاده دارد. برای انتخاب بهترین روش آموزش و طراحی بهینه ساختار شبکه عصبی یک برنامه کامپیوتر طراحی گردیده است. این برنامه کامپیوتری بطور اتوماتیک کمترین تعداد نرون مورد نیاز و بهترین روش آموزش را تعیین می کند. این انتخاب بر اساس کمترین خطای شبکه عصبی صورت پذیرفته است. نحوه عملکرد این برنامه در فلوچارت شکل ۶-۹۶ نمایش داده شده است. در این فلوچارت تعداد تکرار ۵۰۰ انتخاب گردیده است. سپس به ازاء تعداد نرونهای مختلف شبکه عصبی آموزش داده شده است و خطای نهایی ذخیره گردیده است. در هر مرحله^۳ این فلوچارت تعداد نرونها به اندازه ۳ اضافه می گردد و این عمل تا ماکریتم ۳۵ ادامه پیدا می نماید. در پایان میزان خطای تعداد نرونهای متفاوت در یک شکل رسم می گردد. این الگوریتم برای روشهای مختلف پس انتشار شامل پس انتشار ارجاعی^۴، مارکوارت-لیونبرگ^۵، گرادین فلچر درهم^۶، گرادین درهم^۷ انجام پذیرفته است. نتایج این مقایسه در شکلهای ۶-۹۷ الی ۶-۹۹ نشان داده شده است.

^۱ iteration^۲ Resilient backpropagation^۳ Levenberg-Marquardt

در ابتدا نمودار خطای هر روش را با تعداد تکرار ۵۰۰ بدست آوردیم. با استفاده از نمودار فوق تعداد نرون به ازای حداقل خطای را بدست آوردیم. در مرحله بعد، تعداد تکرار آموزش را به ازای تعداد نرون بدست آمده، به ۲۰۰ افزایش دادیم و الگوریتم با حداقل خطای را بدست آوردیم. نتایج شبیه سازی نشان می‌دهد که الگوریتم لیونبرگ-مارکوارت دارای دقت بالاتری نسبت به سایر الگوریتمها می‌باشد. از آنجاییکه شرایط اولیه آموزش بصورت تصادفی^۸ انتخاب گردیده است. مراحل فوق به ازاء شرایط اولیه مختلفی تکرار گردیده است که نتایج آن موید انتخاب روش فوق می‌باشد. شکل ۶-۱۰۰ نمودار خطای روش فوق با ۲۰۰۰ تکرار و ۳۰ نرون را نشان می‌دهد. مقدار خطای در حدود ۲،۰ می‌باشد.

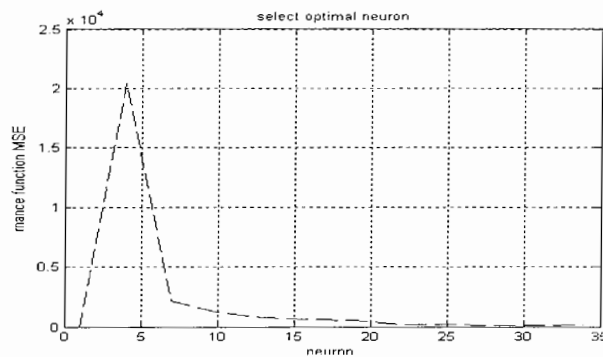


شکل ۶-۹۵- فلوچارت محاسبه بهترین الگوریتم

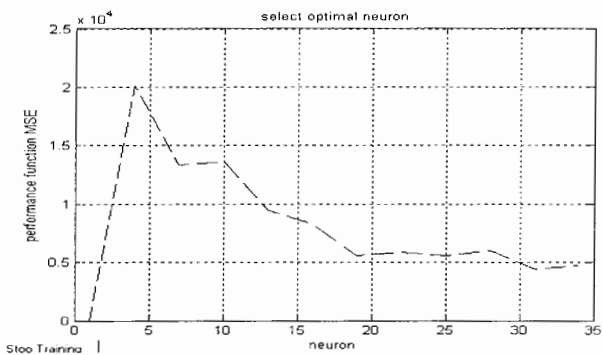


شکل ۶-۹۶- نمودار خطای با الگوریتم Levenberg-Marquardt

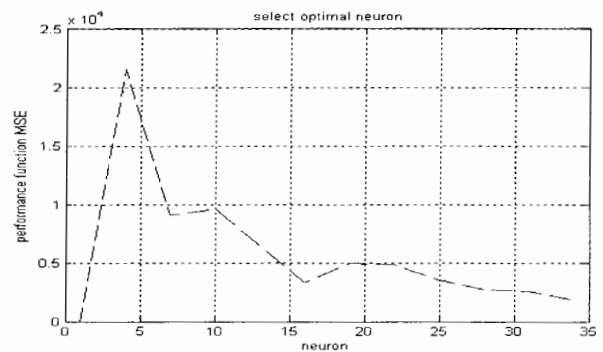
^۱ Fletcher- Reeves conjugate gradient^۲ Basic gradient descent^۳ random



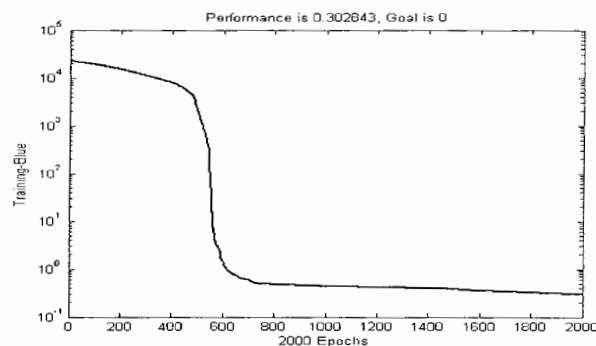
شكل ٦-٩٧- نمودار خطأ بالgoritم Resilient backpropagation



شكل ٦-٩٨- نمودار خطأ بالgoritم Fletcher-Reeves conjugate gradient



شكل ٦-٩٩- نمودار خطأ بالgoritم Basic gradient descent



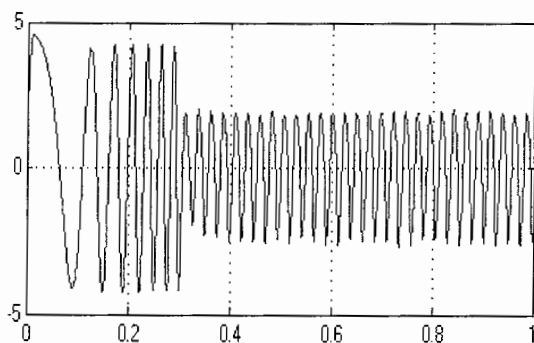
شکل ۶-۱۰۰- نمودار خطای الگوریتم Levenberg-Marquardt به ازای ۲۰۰۰ تکرار و ۳۰ نرون

۶-۴-۶ نتایج حاصل از شبیه سازی موتور القایی با تخمینگر عصبی با آموزش غیرهمzman

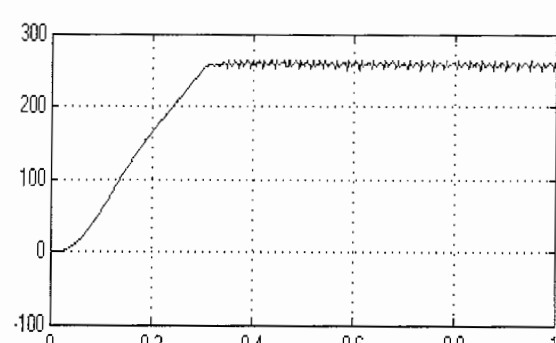
در این قسمت شبیه سازی کنترل برداری غیر مستقیم بر روی موتور القایی سه فاز با تخمینگر عصبی سرعت با آموزش غیرهمzman صورت گرفته است. چندین آزمایش برای صحت عملکرد تخمینگر اجرا شده است، که چند نمونه از این آزمایشات آن تحت شرایط مختلف در این بخش ارائه شده‌اند.

۶-۴-۲-۱ پاسخ موتور در سرعت نامی

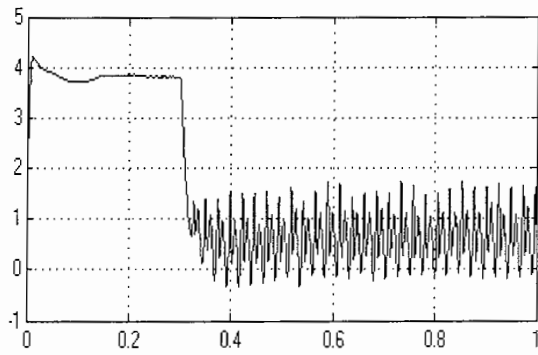
در این آزمایش بدون اینکه هیچگونه باری بر روی موتور قرار داشته باشد، سرعت مرجع را برابر سرعت نامی 260 rad/s قرار داده و شبیه سازی را انجام می‌دهیم. نتایج حاصل از شبیه سازی در شکلهای ۱۰۱-۶ الی ۱۰۷-۶ نشان داده شده است.



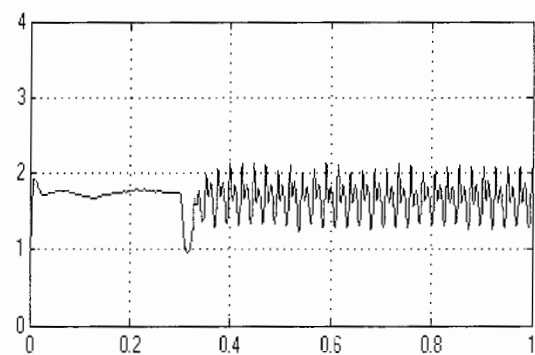
شکل ۶-۱۰۲- جریان یک فاز موتور



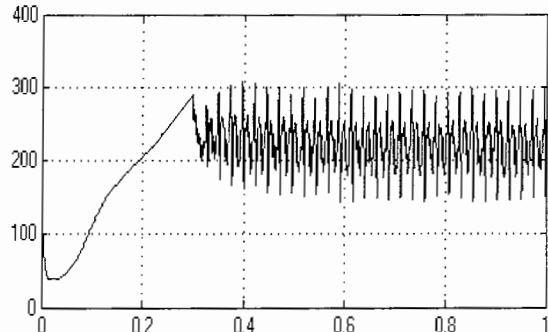
شکل ۶-۱۰۱- سرعت موتور



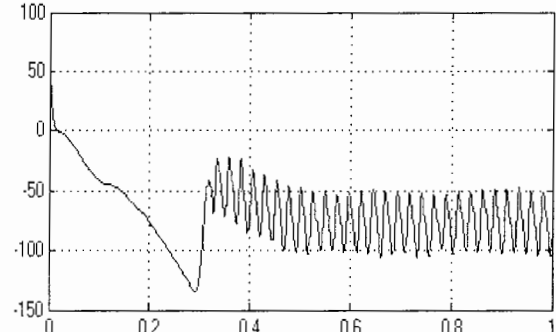
شكل ٦-١٠٤- جریان محور d استاتور



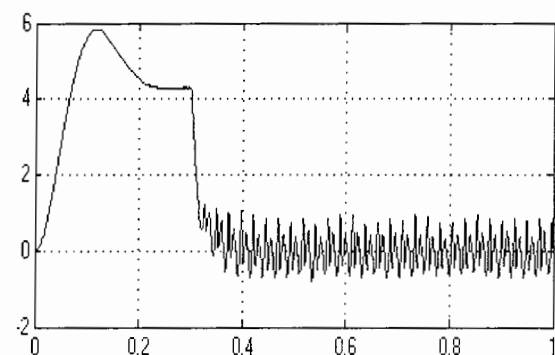
شكل ٦-١٠٣- جریان محور q استاتور



شكل ٦-١٠٦- ولتاژ محور d استاتور



شكل ٦-١٠٥- ولتاژ محور q استاتور

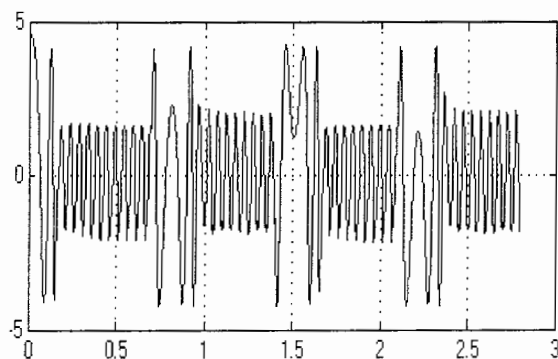


شكل ٦-١٠٧- گشتاور الکترومغناطیسی

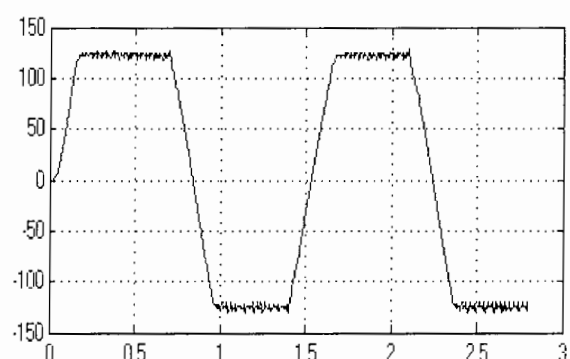
از شکلهای فوق مشاهده می‌گردد که عملکرد تخمینگر شبکه عصبی با آموزش غیرهمزمان در سرعت نامی موتور، نسبتاً مطابق می‌باشد. البته دارای تخمینگر فوق در موقعیت مانا دارای اعوجاجاتی می‌باشد.

۲-۲-۴-۶ پاسخ موتور به تغییر پله‌ای در سرعت مرجع

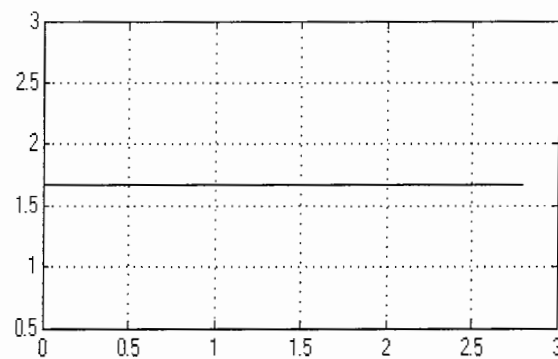
در شکلهای ۱۰۸-۶ الی ۱۱۴-۶ پاسخ موتور به تغییر در سرعت مرجع از صفر تا 120 rad/s و به 120 rad/s - نشان داده شده است.



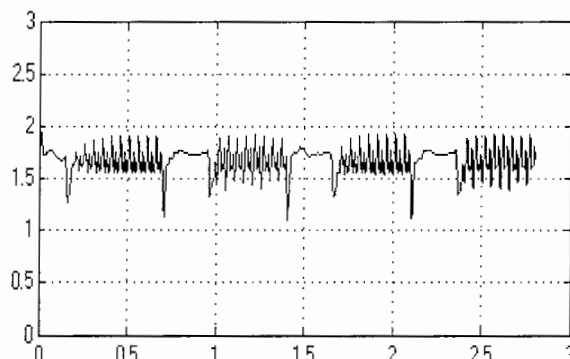
شکل ۱۰۹-۶- جریان یک فاز موتور



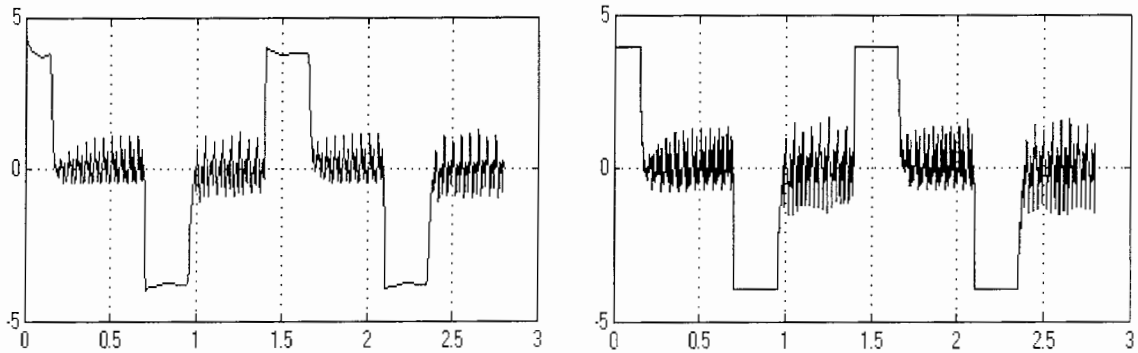
شکل ۱۰۸-۶- سرعت موتور



شکل ۱۱۱-۶- جریان مرجع محور d استاتاتور

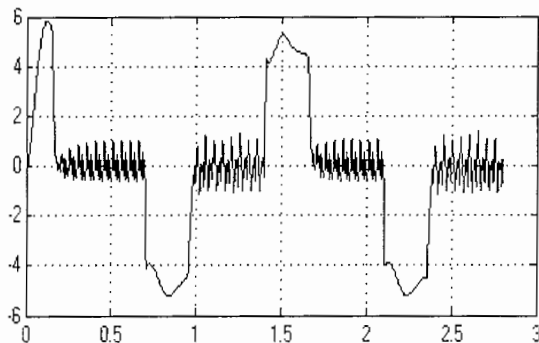


شکل ۱۱۰-۶- جریان محور d استاتاتور



شکل ۶-۱۱۳-۶- جریان محور مرجع محور q استاتور

شکل ۶-۱۱۲-۶- جریان محور q استاتور

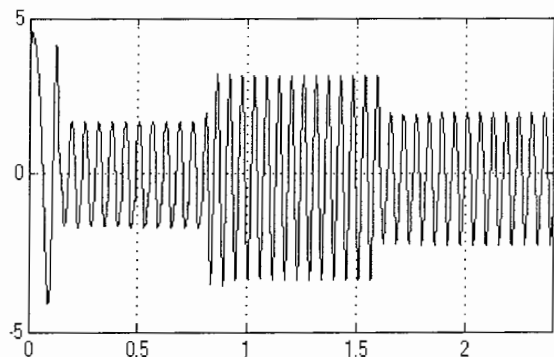


شکل ۶-۱۱۴-۶- گشتاور الکترومغناطیسی

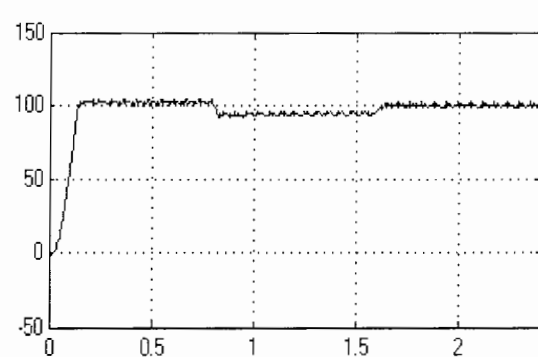
از شکلهای فوق مشاهده می‌گردد که عملکرد تخمینگر شبکه عصبی با آموزش غیرهمزمان، نسبت به تغییرات سرعت، نسبتاً مطابق می‌باشد.

۳-۴-۲-۳ پاسخ موتور به تغییر پله‌ای در بار

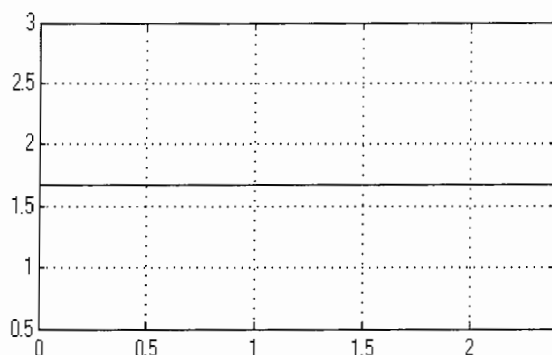
در این حالت موتور در حالت بی باری با سرعت 120 rad/s مشغول به کار می‌باشد. در لحظه $t=1 \text{ s}$ گشتاور بار 4 نیوتن متر به موتور اعمال می‌گردد سپس در لحظه $t=2 \text{ s}$ این گشتاور به 2 نیوتن متر کاهش می‌یابد. در شکلهای ۱۱۵-۶ الی ۱۲۳-۶ پاسخ موتور به این تغییرات بار نشان داده شده است.



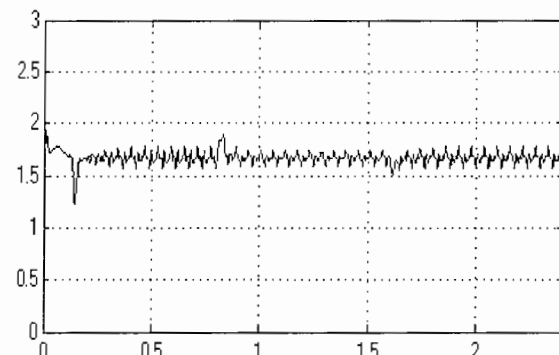
شكل ٦-١١٦- جریان بک فاز موتور



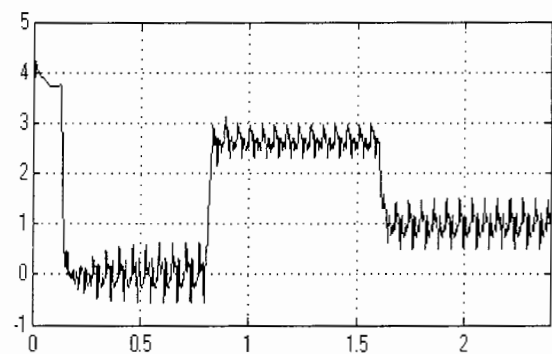
شكل ٦-١١٥- سرعت موتور



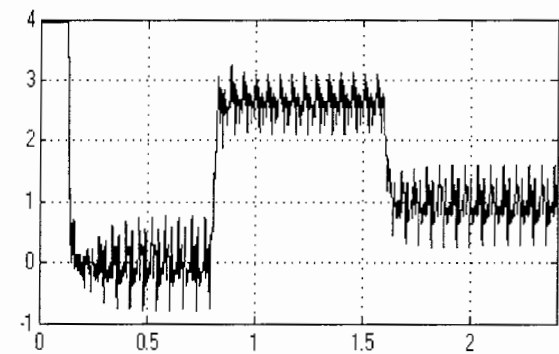
شكل ٦-١١٨- جریان مرجع محور d استاتور



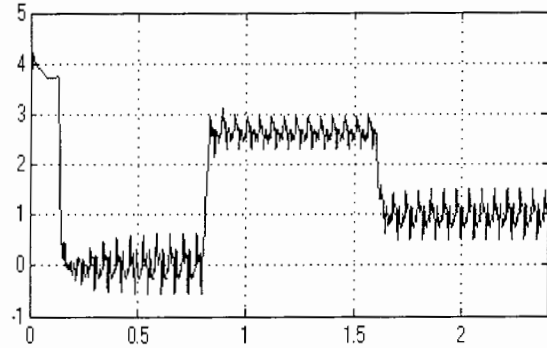
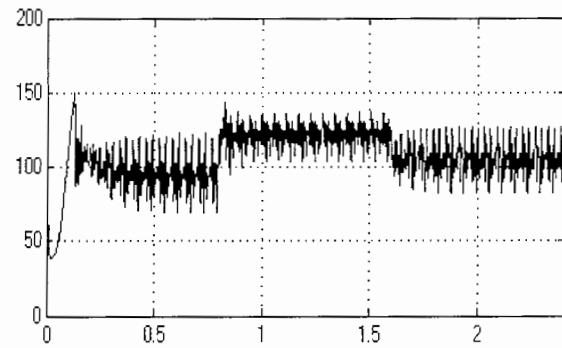
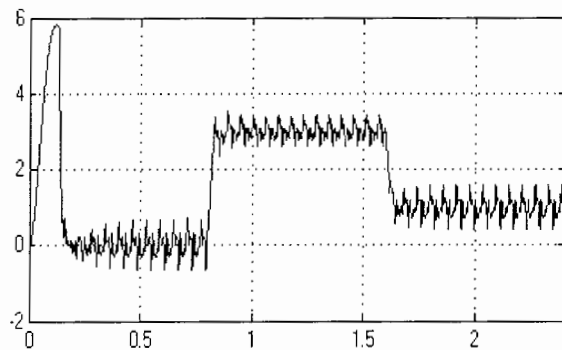
شكل ٦-١١٧- جریان محور d استاتور



شكل ٦-١٢٠- جریان مرجع محور q استاتور



شكل ٦-١١٩- جریان محور q استاتور

شکل ۱۲۱-۶- ولتاژ محور d استاتورشکل ۱۲۲-۶- ولتاژ محور q استاتور

شکل ۱۲۳-۶- گشتاور الکترومغناطیسی

در این بخش از تخمینگر شبکه عصبی با آموزش غیرهمزان برای تخمین سرعت موتور القایی بدون استفاده از حسگر سرعت مورد استفاده قرار گرفت. سپس عملکرد سیستم در شرایط مختلف مورد بررسی قرار گرفت. نتایج شبیه سازی نشان دهنده عملکرد نسبتاً مطلوب این تخمینگر می‌باشد. قابل ذکر است که تخمینگر فوق الذکر در موقعیت مانا دارای اعوجاجاتی می‌باشد و این اعوجاجات دارای ۳ درصد خطای در وضعیت مانا می‌باشد.

۶-۵ شبیه سازی موتور القایی کنترل برداری غیر مستقیم با استفاده از تخمینگر

عصبی سرعت با آموزش همزمان^۹

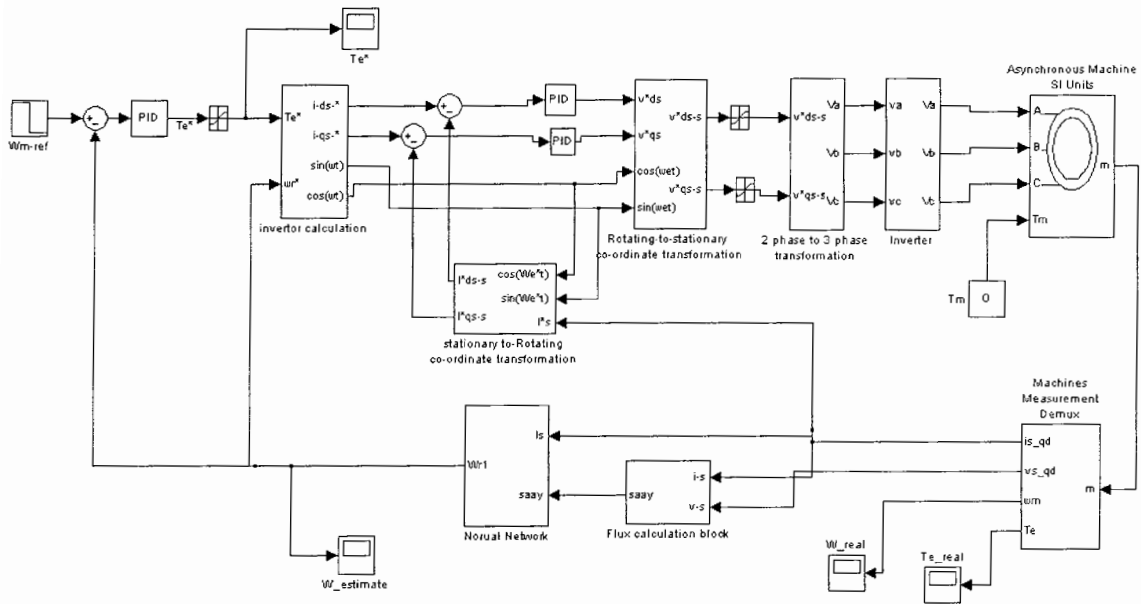
در این حالت از یک شبکه عصبی دو لایه برای تخمین سرعت روتور استفاده شده است و سرعت روتور به عنوان خروجی شبکه درنظر گرفته می‌شود. وزن نرون‌ها در طول کار درایو مقادیر ثابتی ندارند و بصورت لحظه‌ای تغییر می‌کنند. چگونگی عملکرد این تخمینگر در بخش ۳-۵-۱ بصورت کامل بیان گردیده است.

در این قسمت از سیستم شرح داده شده در ابتدای فصل استفاده گردیده است و از یک تخمینگر عصبی با آموزش همزمان برای تخمین سرعت آن استفاده شده است. حال به توضیح بلوک دیاگرام قسمتهای مختلف این مدار می‌پردازیم.

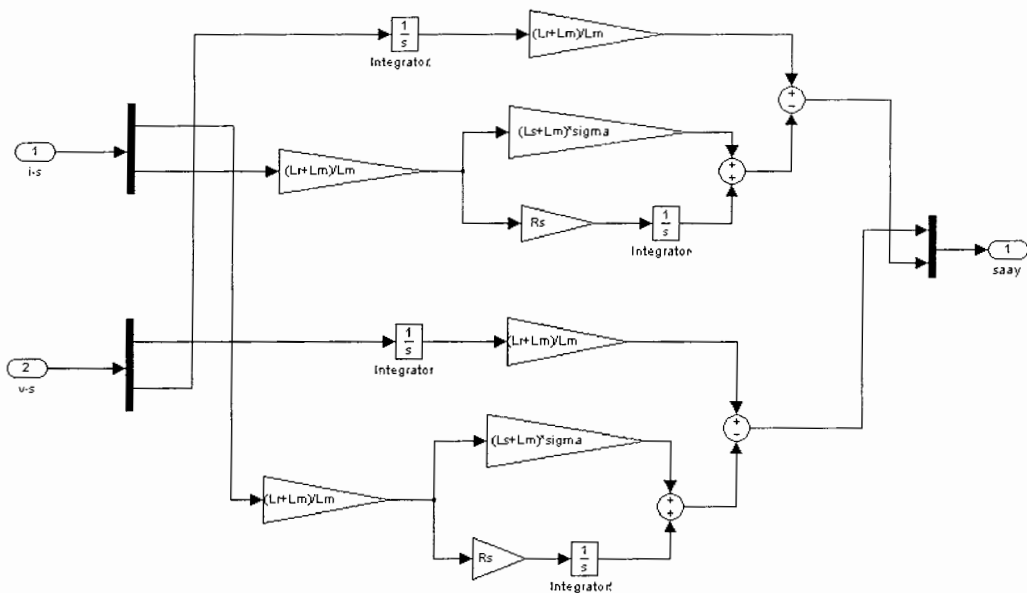
شکل ۱۲۴-۶ بلوک دیاگرام کلی موتور بهمراه تخمینگر عصبی با آموزش همزمان را نمایش می‌دهد. با استفاده از مقادیر جریان و ولتاژ، مقدار شار روتور تعیین می‌گردد و به عنوان ورودی شبکه عصبی اعمال می‌گردد. بلوک محاسبه شار روتور مطابق شکل ۱۲۵-۶ می‌باشد.

بالاستفاده از رابطه ۴۸-۵ سرعت روتور محاسبه می‌گردد. بلوک دیاگرام این تخمین سرعت در شکل ۱۲۶ نمایش داده شده است.

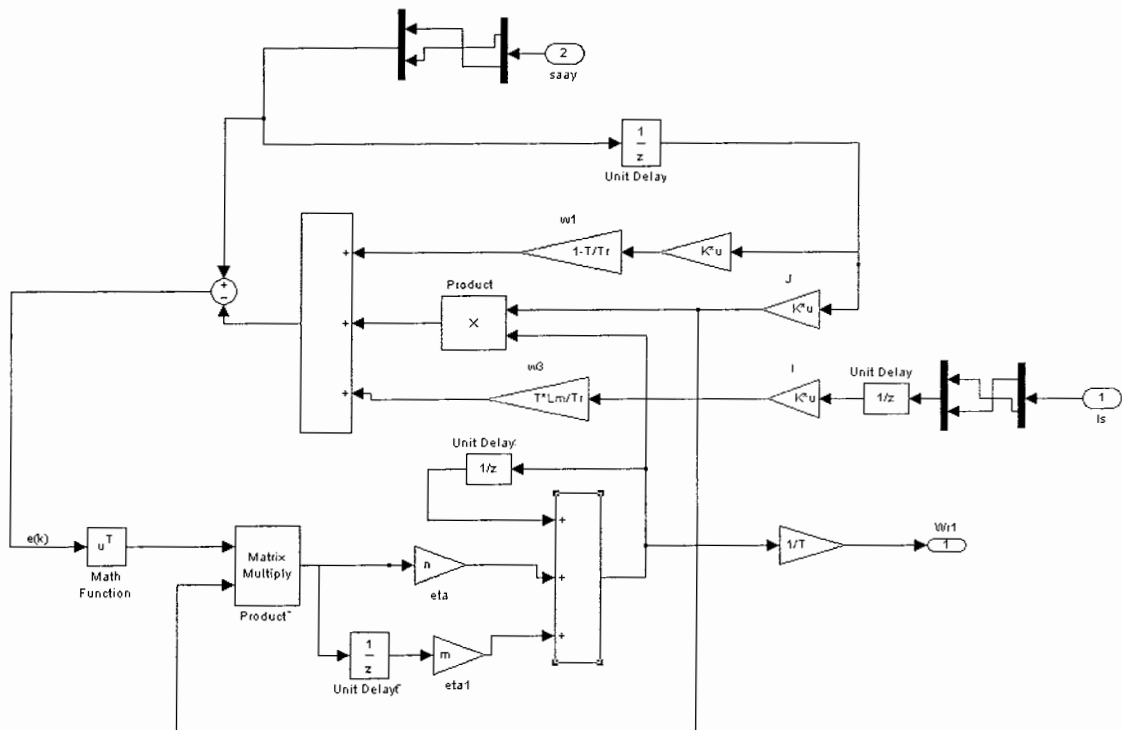
^۹ On line



شکل ۶-۱۲۴-۶- بلوک دیاگرام کلی موتور القایی بدون سنسور سرعت با استفاده از تخمینگر عصبی



شکل ۶-۱۲۵-۶- بلوک دیاگرام محاسبه شار



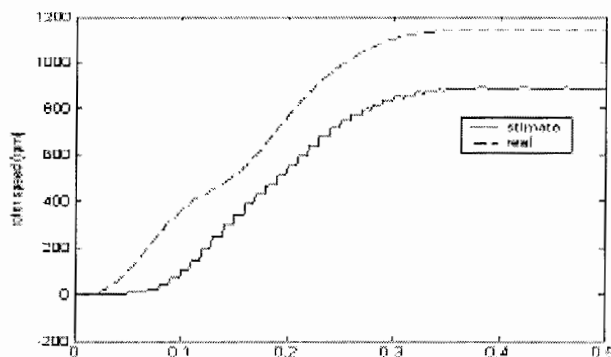
شکل ۶-۱۲۶-بلوک دیاگرام محاسبه سرعت روتور

۶-۵-۱ انتخاب زمان نمونه برداری مناسب

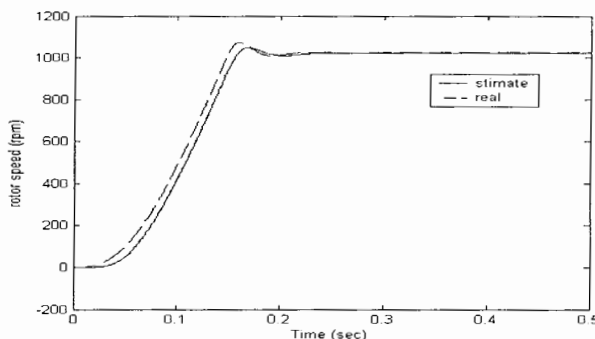
از آنجا که شبیه سازی سیستم و در نهایت اجرای عملی آن بصورت دیجیتال^{۱۰} صورت می‌پذیرد، بررسی اثر زمان نمونه برداری در کیفیت پاسخ از اهمیت بالائی برخوردار می‌باشد. اهمیت این مساله در وابستگی رابطه ۳۷-۵ به زمان نمونه برداری نیز مشخص می‌گردد.

در این قسمت تاثیر تغییر زمان نمونه برداری بر کیفیت سرعت تخمین زده شده بوسیله شبکه عصبی با آموزش همزمان نشان داده می‌شود. شکل‌های ۱۲۷-۶ تا ۱۲۹-۶ بترتیب تخمین سرعت با زمان‌های نمونه برداری ۱۰، ۱، و ۰/۱ میلی ثانیه را نشان می‌دهد.

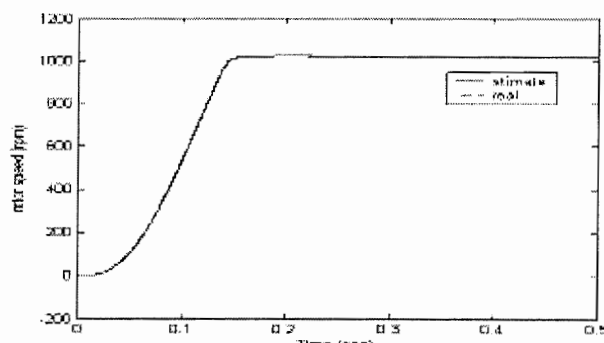
^{۱۰} discrete



شکل ۶-۱۲۷- سرعت به ازای زمان نمونه برداری ۱۰ میلی ثانیه در سیستم کنترل برداری موتور القایی با استفاده از شبکه عصبی با آموزش همزمان



شکل ۶-۱۲۸- سرعت به ازای زمان نمونه برداری ۱ میلی ثانیه در سیستم کنترل برداری موتور القایی با استفاده از شبکه عصبی با آموزش همزمان



شکل ۶-۱۲۹- سرعت به ازای زمان نمونه برداری ۰/۱ میلی ثانیه در سیستم کنترل برداری موتور القایی با استفاده از شبکه عصبی با آموزش همزمان

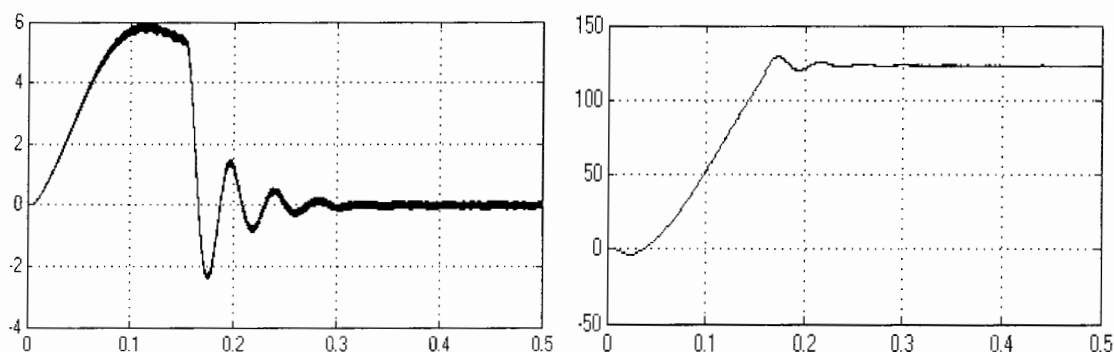
همانطور که از اشکال ۱۲۷-۶ تا ۱۲۹-۶ مشاهده می‌کنید با کاهش زمان نمونه برداری دقت تخمینگر بالاتر می‌رود و شکل شماره ۱۲۹-۶ با زمان نمونه برداری $1/0$ میلی ثانیه دارای کیفیت تخمین سرعت مطلوبی می‌باشد. بنابراین زمان $1/0$ میلی ثانیه را به عنوان زمان نمونه برداری در نظر گرفتیم.

۶-۵-۶ نتایج حاصل از شبیه سازی

در این قسمت شبیه سازی کنترل برداری غیر مستقیم بر روی موتور القایی سه فاز با تخمینگر عصبی سرعت با آموزش همزمان صورت گرفته است. چندین آزمایش برای صحت عملکرد تخمینگر اجرا شده است، که چند نمونه از این آزمایشات آن تحت شرایط مختلف در این بخش ارائه شده‌اند.

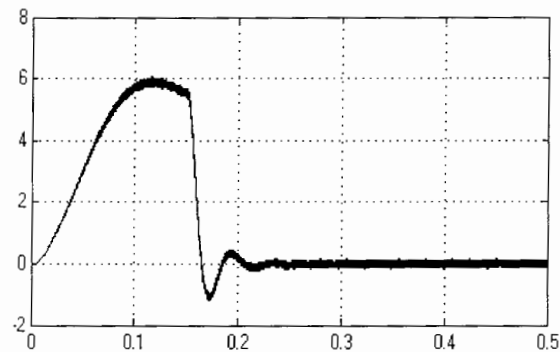
۶-۵-۱ تغییرات مقاومت روتور

در این آزمایش با تغییر مقاومت روتور در حالات مختلف، موتور را با سرعتهای مختلف راه اندازی نمودیم و تغییرات آنرا در شکلهای ۱۳۰-۶ الی ۱۳۷-۶ نشان داده شده است.

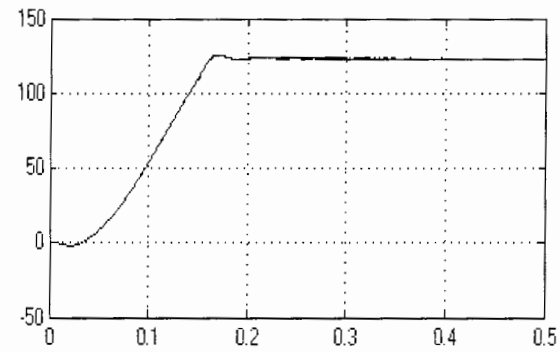


شکل ۶-۱۳۱-۶- گشتاور به ازای $Rr = 1/3 * Rr$

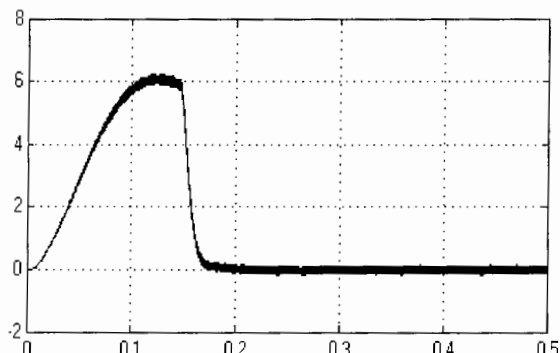
شکل ۶-۱۳۰-۶- سرعت روتور به ازای $Rr = 1/3 * Rr$



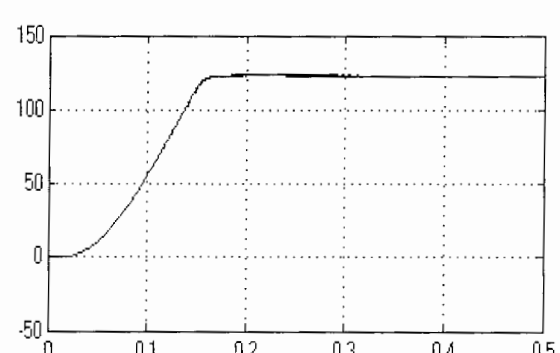
شکل ۶-۱۳۳- گشتاور به ازای $Rr = 1/2 * Rr$



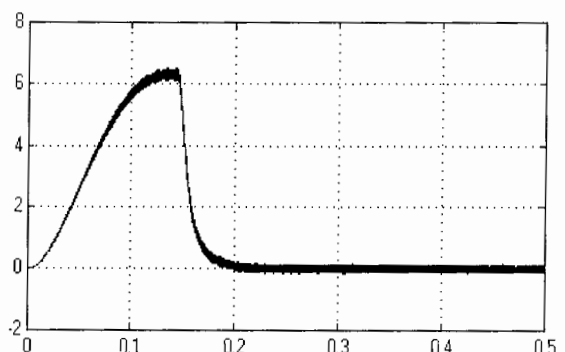
شکل ۶-۱۳۲- سرعت روتور به ازای $Rr = 1/2 * Rr$



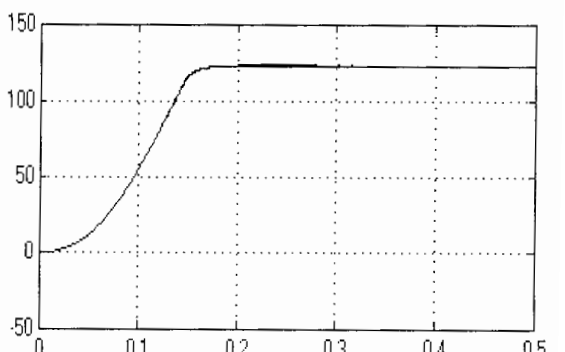
شکل ۶-۱۳۵- گشتاور به ازای $Rr = 1 * Rr$



شکل ۶-۱۳۴- سرعت روتور به ازای $Rr = 1 * Rr$



شکل ۶-۱۳۷- گشتاور به ازای $Rr = 1/\Lambda * Rr$

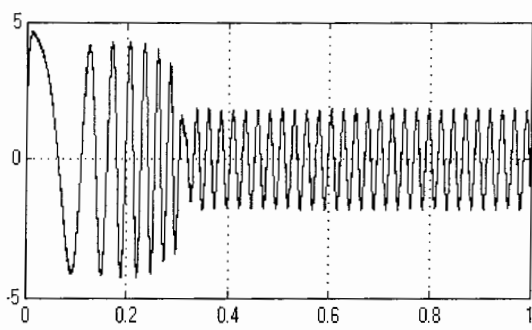


شکل ۶-۱۳۶- سرعت روتور به ازای $Rr = 1/\Lambda * Rr$

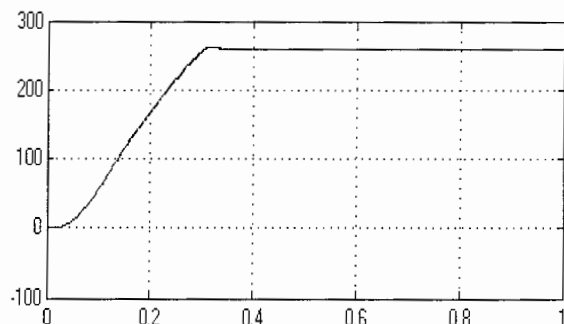
همانطور که در شکل‌های ۱۳۰-۶ الی ۱۳۷-۶ نشان داده شده است، افزایش مقاومت روتور باعث بوجود آمدن نوساناتی در سیستم می‌گردد. این نوسانات با افزایش مقاومت روتور تا حدود ۳۰ درصد قابل چشم پوشی می‌باشد.

۲-۲-۵-۶ پاسخ موتور در سرعت نامی

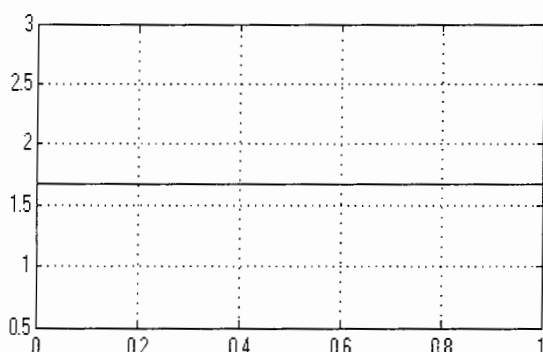
در این آزمایش بدون اینکه هیچگونه باری بر روی موتور قرار داشته باشد، سرعت مرجع را برابر سرعت نامی 260 rad/s قرار داده و شبیه سازی را انجام می‌دهیم. نتایج حاصل از شبیه سازی در شکل‌های ۱۴۷-۶ الی ۱۴۸-۶ نشان داده شده است.



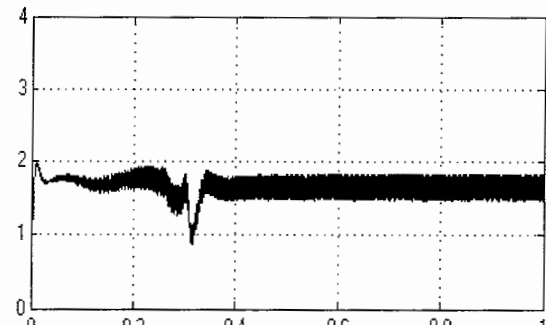
شکل ۶-۱۳۹-۶- جریان یک فاز موتور



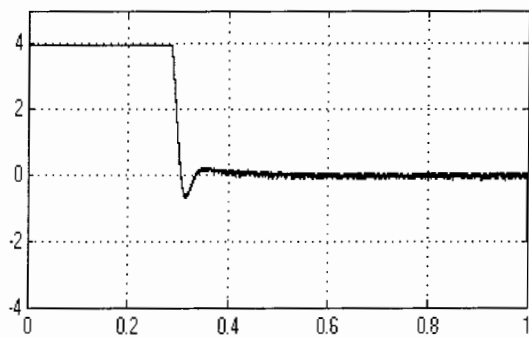
شکل ۶-۱۳۸-۶- سرعت موتور



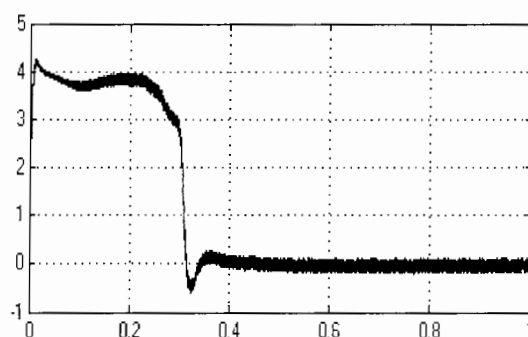
شکل ۶-۱۴۱-۶- جریان مرجع محور d استاتور



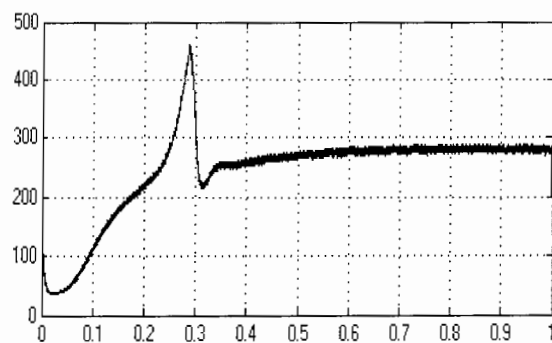
شکل ۶-۱۴۰-۶- جریان محور d استاتور



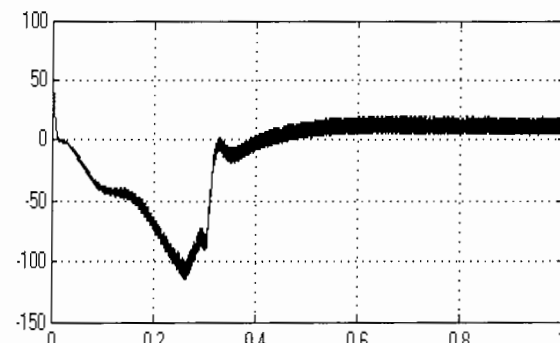
شكل ١٤٣-٦- جریان مرجع محور q استاتور



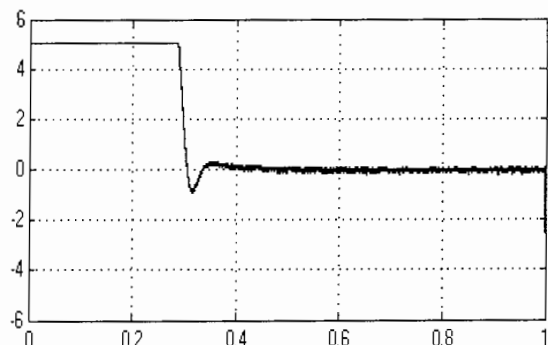
شكل ١٤٢-٦- جریان محور q استاتور



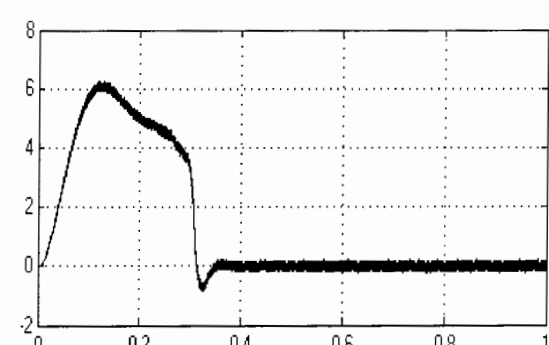
شكل ١٤٥-٦- ولتاژ محور d استاتور



شكل ١٤٤-٦- ولتاژ محور q استاتور



شكل ١٤٧-٦- گشتاور الکترومغناطیسی مرجع

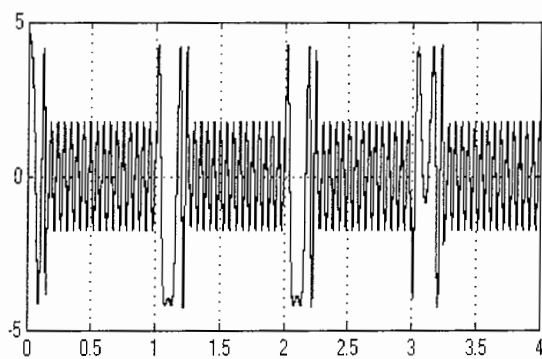


شكل ١٤٦-٦- گشتاور الکترومغناطیسی

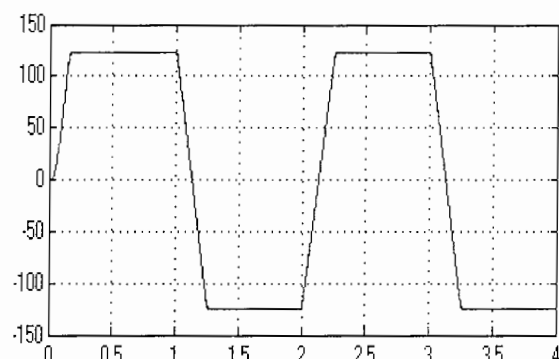
از شکل‌های فوق مشاهده می‌گردد که عملکرد تخمینگر شبکه عصبی با آموزش همزمان در سرعت نامی موتور، مطابق می‌باشد.

۳-۲-۵-۶ پاسخ موتور به تغییر پله‌ای در سرعت مرجع

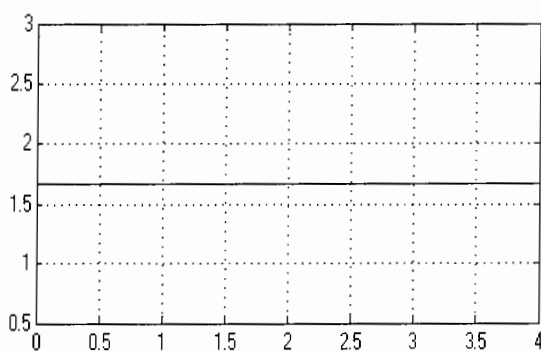
در شکل‌های ۱۴۸-۶ الی ۱۵۷-۶ پاسخ موتور به تغییر در سرعت مرجع از صفر تا 120 rad/s و به نشان داده شده است.



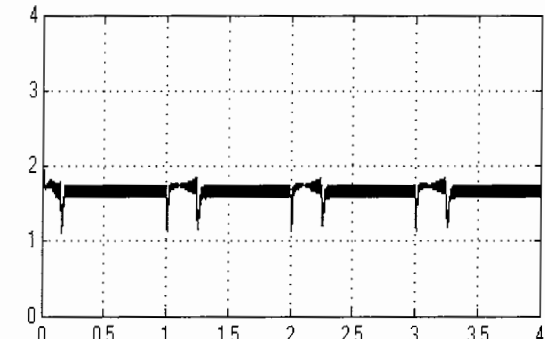
شکل ۱۴۹-۶- جریان یک فاز موتور



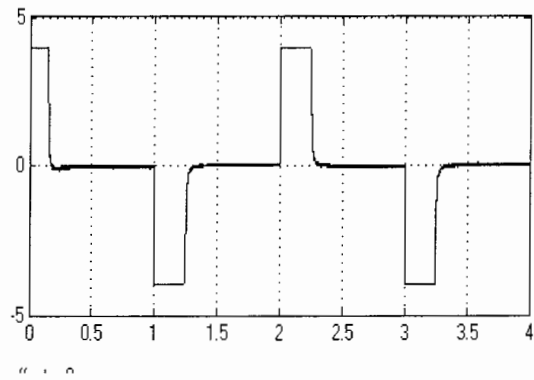
شکل ۱۴۸-۶- سرعت موتور



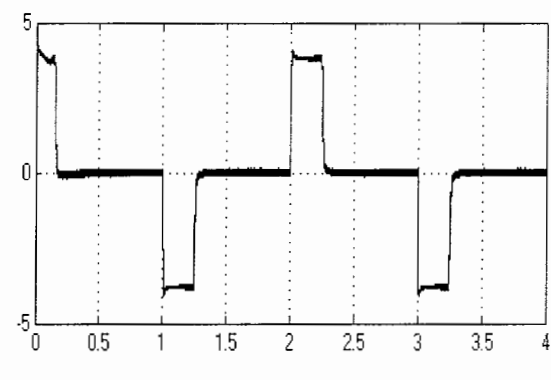
شکل ۱۵۱-۶- جریان مرجع محور d استاتور



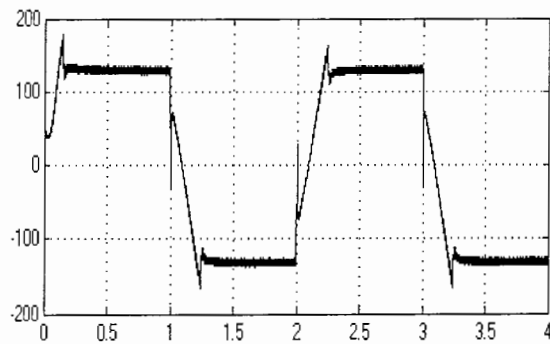
شکل ۱۵۰-۶- جریان مرجع محور q استاتور



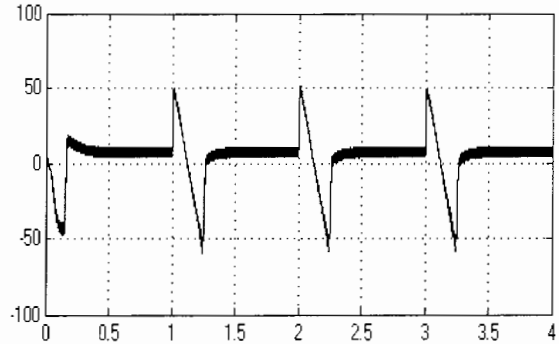
شكل ٦-١٥٣-٦- جریان مرجع محور q استاتور



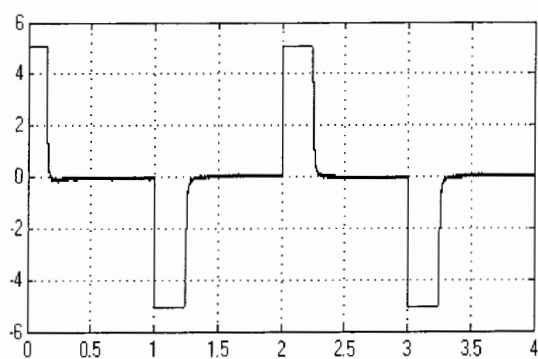
شكل ٦-١٥٢-٦- جریان محور q استاتور



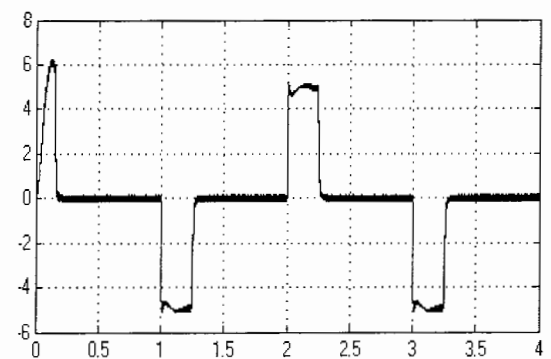
شكل ٦-١٥٥-٦- ولتاژ محور d استاتور



شكل ٦-١٥٤-٦- ولتاژ محور q استاتور



شكل ٦-١٥٧-٦- گشتاور الکترومغناطیسی مرجع

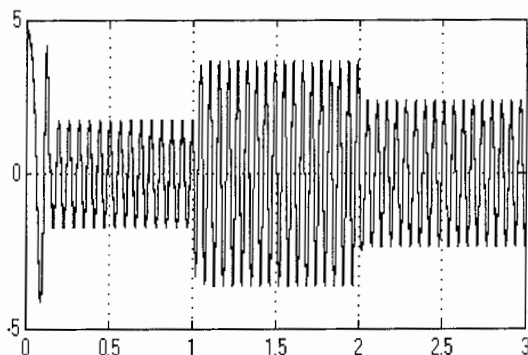


شكل ٦-١٥٦-٦- گشتاور الکترومغناطیسی

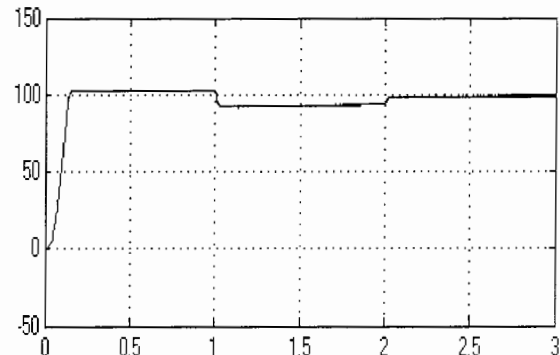
از شکل‌های فوق مشاهده می‌گردد که عملکرد تخمینگر شبکه عصبی با آموزش همزمان در نسبت به تغییرات سرعت، مطابق می‌باشد..

۶-۵-۴ پاسخ موتور به تغییر پله‌ای در بار

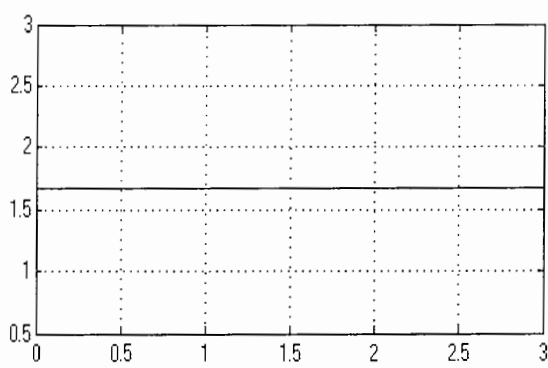
در این حالت موتور در حالت بی باری با سرعت 100 rad/s مشغول به کار می‌باشد. در لحظه $t=1 \text{ s}$ گشتاور بار 4 نیوتن متر به موتور اعمال می‌گردد سپس در لحظه $t=2 \text{ s}$ این گشتاور به 2 نیوتن متر کاهش می‌یابد. در شکل‌های ۱۵۷-۶ الی ۱۵۸-۶ پاسخ موتور به این تغییرات بار نشان داده شده است.



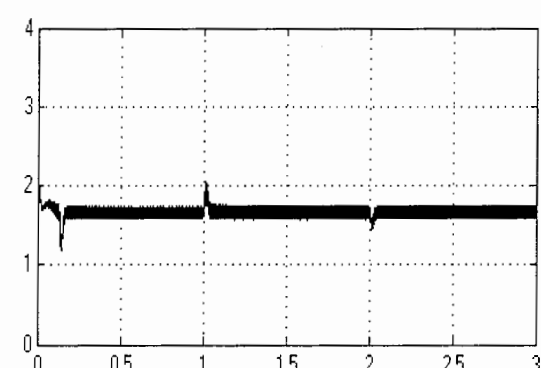
شکل ۱۵۹-۶- جریان یک فاز موتور



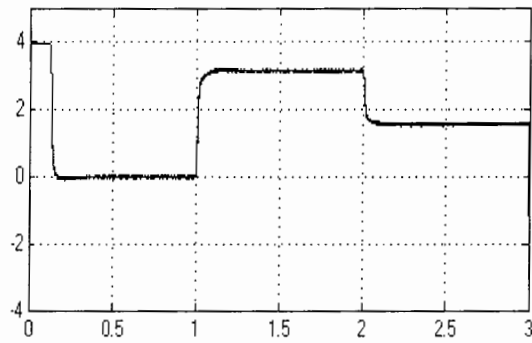
شکل ۱۵۸-۶- سرعت موتور



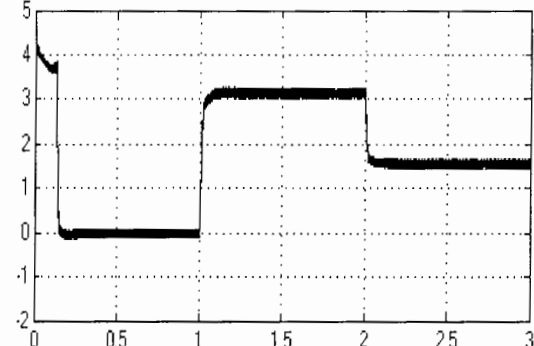
شکل ۱۶۱-۶- جریان مرجع محور d استاتور



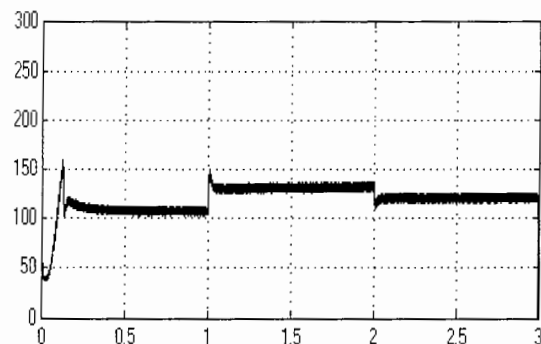
شکل ۱۶۰-۶- جریان محور d استاتور



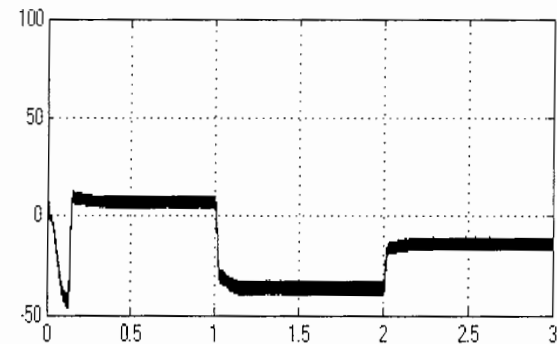
شكل ٦-١٦٣-٦- جریان مرجع محور q استاتور



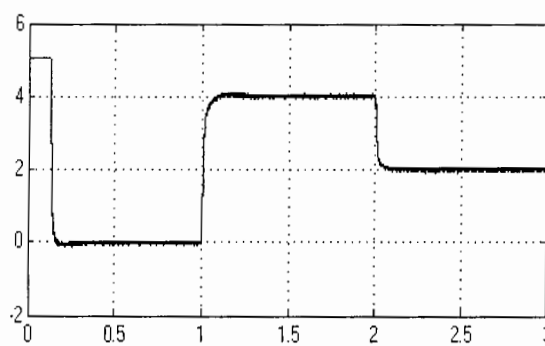
شكل ٦-١٦٢-٦- جریان مرجع محور q استاتور



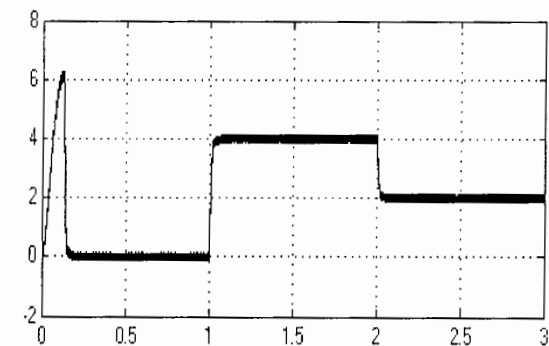
شكل ٦-١٦٥-٦- ولتاژ محور d استاتور



شكل ٦-١٦٤-٦- ولتاژ محور q استاتور



شكل ٦-١٦٧-٦- گشتاور الکترومغناطیسی مرجع



شكل ٦-١٦٦-٦- گشتاور الکترومغناطیسی

در این بخش از تخمینگر شبکه عصبی با آموزش همزمان برای تخمین سرعت موتور القایی بدون استفاده از حسگر سرعت مورد استفاده قرار گرفت. سپس عملکرد سیستم در شرایط مختلف مورد بررسی قرار گرفت. نتایج شبیه سازی نشان دهنده عملکرد مطلوب این تخمینگر می‌باشد. عملکرد این تخمینگر نسبت به حالت غیرهمzman مطلوبتر می‌باشد.

۶- خلاصه:

در این فصل در ابتدا شبیه سازی کنترل برداری غیر مستقیم بر روی موتور القایی همراه با بلوك دیاگرامهای قسمتهای مختلف ارائه شد. سپس عملکرد سیستم در شرایط مختلف مورد بررسی قرار گرفت. نتایج حاصله، عملکرد قابل اطمینان این روش کنترلی بر روی موتور القایی را نشان می‌دهند.

در ادامه از روشهای تخمین سرعت برای تعیین مقدار سرعت موتور القایی بدون استفاده از حسگر سرعت استفاده نمودیم و روشهای تخمین سرعت MRAS و استفاده از شبکه عصبی با آموزش همزمان و غیرهمzman مورد استفاده قرار گرفت. سپس عملکرد سیستم در شرایط مختلف مورد بررسی قرار گرفت. نتایج حاصله، عملکرد قابل اطمینان این روشهای تخمین سرعت موتور القایی را نشان می‌دهند. قبل ذکر است که تخمینگر سیستم با روش آموزش غیر همزمان در موقعیت مانا دارای اعوجاجاتی می‌باشد و این اعوجاجات دارای ۳ درصد خطا در وضعیت مانا می‌باشد.

فصل هفتم:

نتیجه گیری

در این پایان نامه، ابتدا شبیه سازی کنترل برداری غیر مستقیم بر روی موتورالقایی صورت گرفته است. نتایج حاصل از شبیه سازی با استفاده از نرم افزار Matlab Simulink حاکی از عملکرد مناسب این روش کنترلی در بازه های وسیع سرعت، بار گذاری و نواحی عبور از نقطه صفر می باشد.

در ادامه روشهای تخمین سرعت مورد بررسی قرار گرفتند و از میان آنها روش تخمین سرعت با شبکه عصبی و تخمینگر تطبیقی با مدل مرجع(MRAS) شبیه سازی گردیدند.

بررسی نتایج حاصل از شبیه سازی تخمینگر MRAS نشان دهنده کارکرد مطلوب این تخمینگر در بازه های وسیع سرعت، بار گذاری و نواحی عبور از نقطه صفر می باشد.

شبکه عصبی در دو حالت همزمان و غیرهمzman آموزش داده شد. در شبکه عصبی با آموزش همزمان مقادیر وزنهای شبکه بصورت لحظه‌ای تعیین می گردند در صورتیکه در شبکه با آموزش غیرهمzman، ابتدا شبکه آموزش داده می گردد و پس از آن وزنهای شبکه در مدت زمان کارکرد دارای مقادیر ثابتی می باشند. عملکرد سیستم در شرایط مختلف مورد بررسی قرار گرفته شد. نتایج حاصله، نشان دهنده عملکرد مناسب هر دو تخمینگر در شرایط مختلف کاری می باشد. قابل ذکر است که تخمینگر سیستم با روش آموزش غیر همزمان در موقعیت مانا دارای اعوجاجاتی می باشد و این اعوجاجات دارای ۳ درصد خطأ در وضعیت مانا می باشد.

برای ادامه کار پیشنهاد می‌گردد که در صورت امکان و عملی شدن یک رابطه و قانون کلی برای متغیرهای η و α (ضرایب یادگیری) و زمان نمونه برداری در حالت تخمین سرعت بصورت همزمان تعیین گردد که برای انواع موتورها با رنج های متفاوت قابل تعمیم باشد و نیاز به تعیین آنها با استفاده از روش سعی خطأ نباشد.

مراجع:

- [١] B.K.Bose “*Power Electronics and AC drives*” Prentice Hall ,١٩٨٦
- [٢] M.Rashid “*Power Electronics Circuits, Devices and Applications*”
- [٣] R. Kaushik, K.Atsou, M.Kouki, “*Sensorless Control of AC Motor Drive*”, IEEE Press ١٩٩٦
- [٤] H.K.Seong, S.P.Tae, T.P.Gwi, “*Speed sensorless Vector Control of an Induction Motor Using Neural Network Speed Estimation*”, IEEE Trans On industrial electronics Vol. ٥٨, No. ٣, June ٢٠٠١
- [٥] Ben-Brahim LTadakum S, “*Practical considerations for Sensorless Induction Motor Drive System*”, Proceedings of the ١٤th Annual Conference of Industrial Electronics Society, IECON'٩٨, pp. ١٠٠٢- ١٠٠٧, ١٩٩٨
- [٦] D.Fodor, F.Ionescu, P.Delarue, D.Diana, J.P.G.Griva Six, “*Neural Networks Applied for Induction Motor Speed Sensorless Estimation*”, Proceedings of the IEEE International Symposium on Industrial Electronics ISIE '٩٥, pp. ١٨١- ١٨٦, ١٩٩٥.
- [٧] Paul C.Krause “*Analysis of Electronic Machinery*”
- [٨] Chee-mun ong “*Dynamic Simulation of electrical machinery*” Prentice Hall .١٩٩٨
- [٩] Neural Network toolbox for use with Matlab
- [١٠] Laurence_Englewood cliffy “*Fundemental of Neural Network*”, Architecture Algorithms, Applications, Prective Hall ١٩٩٤
- [١١] H.Tajima, Y.Matsumoto, M.Kawano “*Speed sensorless Vector Control Method for an Induction Drive System*” Proc. Intl. Power Electron. Conf. ,Yokohama , pp .١٠٣٤-١٠٣٩ , ١٩٩٥
- [١٢] M.P.Kazmierkowski, R.Krishnan, F.Blaabjeg “*Control in power electronics*” Academic press, ٢٠٠٢

- [۱۳] Fang-Zheng Peng, Tadashi Faukao “Robust Speed Identification for Speed Sensorless Vector Control of Induction Motors” IEEE ۱۹۹۶, vol.۲۰ , no. ۵ , pp. ۱۲۳۴-۱۲۴۰.
- [۱۴] Colin Schauder “Adaptive Speed Identification for Vector Control of Induction Motors without Rotational Transducers”, IEEE ۱۹۹۲, vol.۲۸ , no.۵ , pp. ۱۰۵۴-۱۰۶۱
- [۱۵] H.Kubota, K.Matsuse and T.Nakano , “DSP-Based Speed Adaptive Flux Observer of Induction Motor” IEEE Transactions on Industry Application s . Vol.۲۹ , No. ۲, pp .۳۴۴-۳۴۹, ۱۹۹۳
- [۱۶] G.Henneberger, B.J.brunsbach, et all., “Field-Oriented Control of Synchronous and Asynchronous Drive Without Mechanical Sensors Using a Kalman Filter” EPE , Firenze , pp۳,۶۶۴-۳,۶۷۱ , ۱۹۹۱
- [۱۷] Y.R.Kim, S.K.Sul, M.H.Park , “Speed Sensorless Vector Control of Induction Motor Using an Extended Kalman Filter” IEEE Trans. On Industry Applications, Vol. ۳۰ , No. ۵ , pp. ۱۲۲۵-۱۲۳۳ , ۱۹۹۴
- [۱۸] مرتضی اسماعیلی، محسن نیاستی ، احمد غلامی ، محمدعلی شرکت معصوم ”کنترل موتور القایی بدون سنسور سرعت با استفاده از شبکه های عصبی“ یازدهمین کنفرانس مهندسی برق ایران ، اردیبهشت ۱۳۸۲
- [۱۹] M.Ishida , K.Iwata , “A New Slip Frequency Detector of an Induction Motor Utilizing Rotor Slot Harmonics” IEEE Trans. On Industry Applications, Vol. IA-۲۰ , No. ۳ pp. ۵۷۵-۵۸۱ , ۱۹۸۴
- [۲۰] A.Ferrah, K.J.Bradley, G.M.Asher, “Sensorless Speed Detection of Inverter Fed Induction Motors Using Rotor Slot Harmonics and Fast Fourier Transform” IEEE Power Electronics Specialists Conference pp.۲۷۹-۲۸۶, ۱۹۹۲
- [۲۱] صادق واعظ زاده، بهار جلالی فراهانیریال ”ارزیابی روش‌های کنترل برداری موتور القایی بدون حسگر مکانیکی با طراحی و مقایسه روش‌های برتر تخمین سرعت بر پایه رویتگر حالت و شبکه‌های عصبی“ هشتمین کنفرانس مهندسی برق ایران، اردیبهشت ماه ۱۳۷۹
- [۲۲] M.Cirrincione, M.Pucci “A New TLS based MRAS speed estimation with adaptive integration machine drives” Trans. On Industry Applications, ۲۰۰۳
- [۲۳] B.Piepenbreier, L.Sack “Regenerative drive converter with line-frequency switched rectifier and without DC link components” IEEE Trans. Trans. On Industry Applications, Germany ۲۰۰۴
- [۲۴] D.Borgonovo, Y.R.D.Noveas “A Three-Phase Three-Switch Two-Level PWM Rectifier” Trans. On Industry Applications, ۲۰۰۳



تخمین سرعت در کنترل برداری موتور القایی بدون حسگر سرعت با استفاده از شبکه عصبی

مصطفی محمدیان

علی دستفان

علی نقی نژاد

دانشکده برق و رباتیک دانشگاه صنعتی

دانشکده برق و رباتیک دانشگاه صنعتی

دانشکده برق و رباتیک دانشگاه صنعتی

پژوهشکده برق سازمان پژوهش‌های

پژوهشکده برق سازمان پژوهش‌های

پژوهشکده برق سازمان پژوهش‌های

علمی و صنعتی ایران

علمی و صنعتی ایران

علمی و صنعتی ایران

mohamadian@irost.comdastfan@shahrood.ac.irali_n_n@yahoo.com

۱- مقدمه

استفاده از موتور القایی امروزه بطور گسترده‌ای در صنعت، خصوصاً در درایرهای سرعت متغیر، توسعه یافته است. علت این امر پایین بودن قیمت و هزینه نگهداری، بالا بودن ضریب اطمینان می‌باشد.

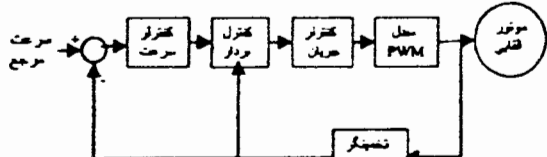
کنترل برداری بعنوان روشی موثر و کارا در کنترل سرعت موتور القایی شناخته شده است. استفاده از جهت یابی شار روتور در کنترل برداری بسیار مرسوم است زیرا شار روتور بطور مستقیم در تولید گشتوار دخالت دارد. در این روش سرعت روتور جهت تولید سیگالهای فرمان مناسب در حلقه کنترل سرعت و یا در تخمین زاویه امتداد یابی شار بکار می‌رود. استفاده از حسگر سرعت جهت اندازه گیری سرعت روتور باعث افزایش قیمت و کامش قابلیت اطمینان سیستم می‌شود و عاملی برای ورود اغتشاش و نویز به سیستم نیز می‌باشد. به همین دلیل تلاش زیادی برای حذف حسگر سرعت از سیستم کنترل برداری شده است و روش‌های متعددی جهت تخمین سرعت روتور با استفاده از متغیرهای ماتریس پیشنهاد شده است. از آن جمله می‌توان به فلتر کالمن، نظریه پارامترها

چکیده: مقدار دقیق سرعت بکی از پارامترهای مهم در کنترل موتور القایی می‌باشد در این مقاله تخمین سرعت با استفاده از شبکه عصبی در کنترل برداری موتور القایی بجای حسگر سرعت ارایه شده است که در آن محاسبه سرعت با اندازه گیری جریان و ولتاژ انجام شده است. شیوه سازی سیستم با استفاده از نرم افزار Matlab Simulink به دو روش آموزش همزمان و غیرهمزمان انجام شده است. نتایج شیوه سازی در آموزش همزمان نشان دهنده عملکرد مطلوب تخمینگر سرعت می‌باشد. در این مقاله اثرات تغییر زمان نمونه برداری در روش آموزش همزمان برای بدست آوردن عملکرد بهینه ارایه شده است. تعداد ورودی‌های شبکه عصبی در مقایسه با تحقیقات قبلی انجام شده در روش آموزش همزمان کاهش داده شده است.

واژه‌های کلیدی: موتور القایی، کنترل برداری بدون حسگر سرعت، شبکه عصبی، تخمینگر سرعت

ورودی بلوك کنترل سرعت که عموماً يک کنترل PI می باشد، وارد می گردد. بلوك کنترل برداری با استفاده از خروجی کنترل سرعت که گشناور مرجع می باشد، میزان جریانهای مرجع مورد نیاز برای عملکرد موتور در وضعیت کنترل برداری را مشخص می نماید. سپس کنترل جریان، مقادیر فوق را به سینکنالهای فرمان ایتتورتر تبدیل کرده و ایتتورتر ولتاژ مورد نیاز به موتور القایی را تامین می نماید. برای تخمینگر سرعت از شبکه های عصبی MLP استفاده شده است.

شکل (۲) بلوك دیاگرام شیه سازی موتور القایی بدون سنور سرعت با استفاده از تخمینگر عصبی را نشان می دهد. بجای تخمینگر موجود در بخش های بعدی دو تخمینگر عصبی با آموزش همزمان و غیر همزمان قرار می گیرد. ضرایب کنترلهای PI مورد استفاده با استفاده از روش سعی و خطای بدست آمده است و دارای مقادیر ثابت در طی شیه سازی می باشد. موتور بکار رفته يک موتور ۲ اسب بخار می باشد که مشخصات آن در جدول شماره (۱) موجود می باشد.



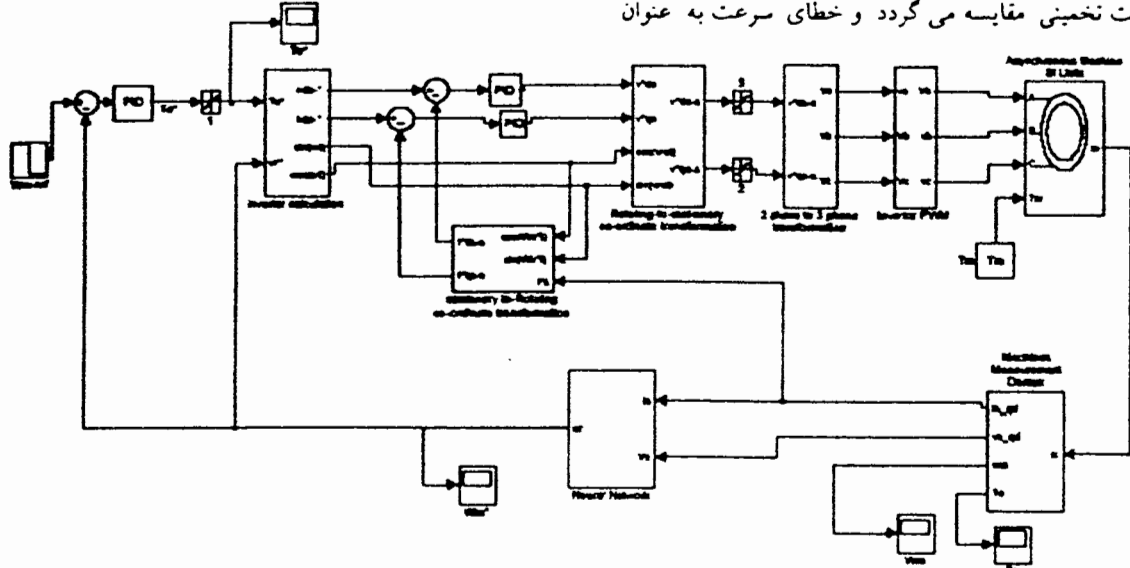
شکل ۱- بلوك دیاگرام سیستم کنترل برداری غیر مستقیم در شکل

با مدل مبنای استفاده از معادلات حالت و استفاده از شبکه عصبی نام برد که هر کدام دارای مزایا و معایبی می باشند [۱]. شبکه های عصبی در تخمین سرعت موتور القایی هم در روش های کنترل اسکالر [۲] و هم در روش های برداری [۳,۴] مورد استفاده قرار می گیرد. همچنین تخمین سرعت با استفاده از شبکه های عصبی عموماً به دو روش اجرا می گردد. در روش اول شبکه عصبی به عنوان جایگزین جبرانساز سیستم [۵] و در روش دوم به عنوان جایگزین جبرانساز و مدل جریانی شار استفاده می گردد [۳-۵].

در این مقاله پس از معرفی بلوك دیاگرام سیستم عملکرد شبکه عصبی به دو روش آموزش همزمان (online) و غیر همزمان (offline) مورد بررسی قرار گرفته و هر دو روش شبیه سازی شده و نتایج آنها ارایه گردیده است. در ادامه در روش آموزش همزمان اثرات تغییر زمان نمونه برداری مورد بررسی قرار گرفته است. همچنین در این مقاله تعداد ورودی های مورد نیاز برای عملکرد شبکه عصبی در روش آموزش غیر همزمان نسبت به مقاله [۴] کاهش داده شده است. بدون اینکه در عملکرد سیستم مشکلی بوجود آید.

۲- معرفی سیستم

بلوك دیاگرام يک سیستم کنترل برداری غیر مستقیم در شکل (۱) نشان داده شده است. در این شکل سرعت مرجع با سرعت تخمینی مقایسه می گردد و خطای سرعت به عنوان



شکل ۲ : بلوك دیاگرام شیه سازی موتور القایی بدون سنور سرعت با استفاده از تخمینگر عصبی

واقعی روتور، باعث ایجاد خطا میان خروجی شارها می‌گردد. از این خطا برای تنظیم لحظه‌ای وزن نرونها شبکه عصبی استفاده می‌شود. باحداقل نمودن خطای تعلیم، خروجی شبکه عصبی سرعت واقعی روتور را دنبال می‌نماید. معادله (۲) را می‌توان بصورت زیر تخمین زد:

$$\hat{\lambda}_r(k) = w_1 x_1 + w_2 x_2 + w_3 x_3 \quad (3)$$

که در آن:

$$w_1 = 1 - \frac{T}{T_r}, \quad w_2 = w_r(k-1)T, \quad w_3 = \frac{L_w}{T_r}T$$

$$x_1 = I\lambda_r(k-1), \quad x_2 = J\lambda_r(k-1), \quad x_3 = i_r(k-1)$$

و T زمان نمونه برداری می‌باشد.

معادله (۳) را می‌توان به عنوان یک مدل شبکه عصبی با دو لایه و وزنهای w_3, w_2, w_1 جایگزین نمود. خطای بین شار تخمینی و شار مدل مرجع بصورت زیر می‌باشد.

$$\varepsilon(k) = \hat{\lambda}_r(k) - \dot{\lambda}_r(k) \quad (4)$$

مقدار وزنهای زمانی بدست می‌آید که تابع انرژی زیر مینیمیز گردد.

$$E = \frac{1}{2} \varepsilon^2(k) \quad (5)$$

همانطور که ملاحظه می‌کنید فقط وزن w_1 متغیر می‌باشد و تغییرات آن از رابطه زیر بدست می‌آید.

$$\Delta w_1(k) \propto -\frac{\partial E}{\partial w_1} = -\frac{\partial E}{\partial \dot{\lambda}_r(k)} \cdot \frac{\partial \dot{\lambda}_r(k)}{\partial w_1} = -\delta(k)x_3 \quad (6)$$

که در آن:

$$\delta(k) = \frac{\partial E}{\partial \dot{\lambda}_r(k)} = \left(\dot{\lambda}_r(k) - \hat{\lambda}_r(k) \right)^T$$

$$\Delta w_1(k) = \left(\dot{\lambda}_r(k) - \hat{\lambda}_r(k) \right)^T J \dot{\lambda}_r(k-1) \quad (7)$$

$$w_1(k) = w_1(k-1) + \eta \Delta w_1(k) \quad (8)$$

$$w_1(k) = \hat{w}_1(k-1) + \eta \Delta w_1(k) \quad (9)$$

که در آن η مقدار ضریب آموزش (training coefficient) می‌باشد. برای بهبود کیفیت سرعت تخمینی روتور و بدست آوردن ترخ بادگیری بهتر (learning rate) می‌توان بجای معادله فوق از رابطه زیر استفاده نمود.

$$w_1(k) = \hat{w}_1(k-1) + \eta \Delta w_1(k) + \alpha \Delta w_1(k) \quad (10)$$

$r_s = 28$	Power = 1.5 (kW)
$r_m = 6.93$	$f = 50$ (Hz)
$I_r = I_s = 0.625$	Vline = 280 (V)
P = 1	Wr nominal = 2800 rpm
J = 0.005	

جدول ۱- مشخصات موتور

۲-۱- معادلات سیستم

معادلات کلی شار، ولتاژ، جریان و گشتاور موتور القایی کترل برداری در [۷] می‌باشد. پس از نمونه برداری جریان و ولتاژ، شار از روابط (۱) و (۲) که در دستگاه مرجع ساکن می‌باشد بدست می‌آید. رابطه (۱) را رابطه ولتاژی و رابطه (۲) را رابطه جریانی شار می‌نامیم.

$$\frac{d \bar{\lambda}_r}{dt} = \frac{L_w}{L_m} \left(\bar{V}_r' - R_r \bar{i}_r' - \sigma L_r \frac{d \bar{i}_r}{dt} \right) \quad (1)$$

$$\frac{d \bar{i}_r}{dt} = -\left(\frac{1}{T_r} I + w_r J \right) \bar{\lambda}_r' + \frac{L_w}{T_r} \bar{i}_r' \quad (2)$$

که در آن:

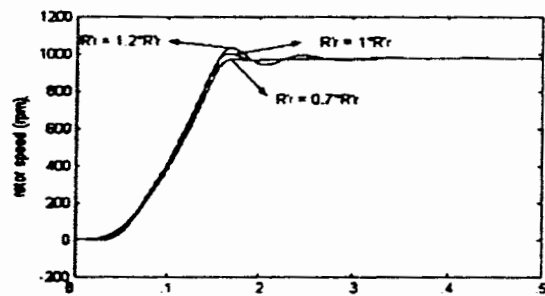
$$\bar{V}_r' = \begin{bmatrix} V_{ds}' \\ V_{qr}' \end{bmatrix}, \quad \bar{\lambda}_r' = \begin{bmatrix} \lambda_{ds}' \\ \lambda_{qr}' \end{bmatrix}, \quad \bar{i}_r' = \begin{bmatrix} i_{ds}' \\ i_{qr}' \end{bmatrix}, \quad J = \begin{bmatrix} 0 & -1 \\ 1 & 0 \end{bmatrix}, \quad I = \begin{bmatrix} 1 & 0 \\ 0 & 1 \end{bmatrix}$$

ثابت زمانی موتورو $T_r = \frac{L_w}{R_r}$ ضریب کمبود می‌باشد. که در آن \bar{V}_r' شار روتور، $\bar{\lambda}_r'$ و \bar{i}_r' بترتیب: اندوکسانهای استاتور، روتور و مغناطیس شوندگی می‌باشد. معادله (۱) وابسته به سرعت روتور نمی‌باشد و شار واقعی روتور را تولید می‌کند. معادله (۲) وابسته به سرعت روتور می‌باشد.

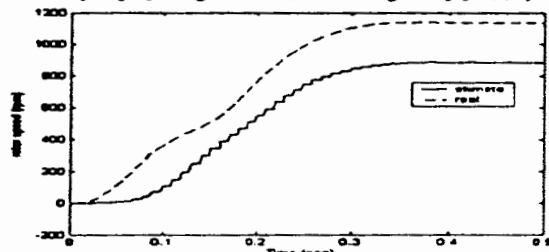
۳- تخمین سرعت با استفاده از شبکه عصبی با آموزش همزمان

در این حالت از یک شبکه عصبی دو لایه برای تخمین سرعت روتور استفاده شده است و سرعت روتور به عنوان خروجی شبکه درنظر گرفته می‌شود. وزن نرونها در طول کار درایبو مقادیر نابین ندارند و بصورت لحظه‌ای تغییر می‌کنند.

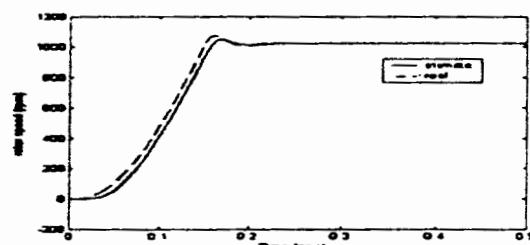
به جای معادله (۲) می‌توان شبکه عصبی با وزنهای قابل تنظیم فرار داد. هرگونه اختلاف میان سرعت تخمینی و سرعت



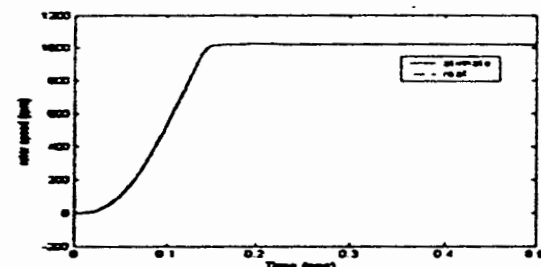
شکل ۵- نمودار سرعت به ازای تغییرات مقاومت استاتور در سیستم کنترل برداری موتور القایی با استفاده از شبکه عصبی با آموزش همزمان



شکل ۶- سرعت به ازای زمان نمونه برداری ۱۰ میلی ثانیه در سیستم کنترل برداری موتور القایی با استفاده از شبکه عصبی با آموزش همزمان



شکل ۷- سرعت به ازای زمان نمونه برداری ۱ میلی ثانیه در سیستم کنترل برداری موتور القایی با استفاده از شبکه عصبی با آموزش همزمان



شکل ۸- سرعت به ازای زمان نمونه برداری ۰.۱ میلی ثانیه در سیستم کنترل برداری موتور القایی با استفاده از شبکه عصبی با آموزش همزمان

۲-۳- انتخاب زمان نمونه برداری مناسب

از آنجا که شبیه سازی سیستم و در نهایت اجرای عملی آن بصورت دیجیتال (discrete) صورت می پذیرد، بررسی لتر زمان نمونه برداری در کیفیت پاسخ از اهمیت بالاتی برخوردار می باشد. اهمیت این مساله در وابستگی رابطه (۲) به زمان نمونه برداری نیز مشخص می گردد.

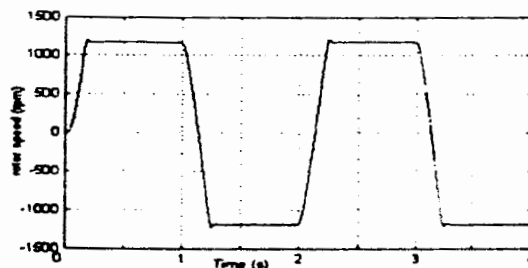
معکاری دینامیکی شبکه عصبی وابسته به دو مقدار ضریب یادگیری (learning coefficient) η و α می باشد.

۱-۴- نتایج شبیه سازی

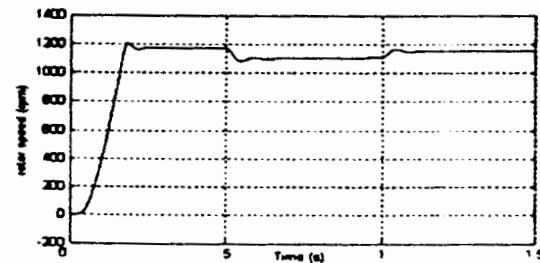
در این بخش با استفاده از برنامه Matlab Simulink شبیه سازی کنترل سرعت یک موتور القایی بدون حسگر سرعت به روش برداری که در قسمت قبلی شرح داده شده، با استفاده از تخمینگر عصبی صورت می گیرد.

شکل (۳) مقدار سرعت تخمینی در تغییر جهت سرعت مرجع به شکل موج مریعی را نشان می دهد. شکل (۴) منحنی سرعت به ازای اعمال گشتاور پله بار از ۰ به ۳ نیوتون متر در لحظه ۰.۵ ثانیه و از ۳ به ۱ نیوتون متر در لحظه ۱ ثانیه را نشان میدهد.

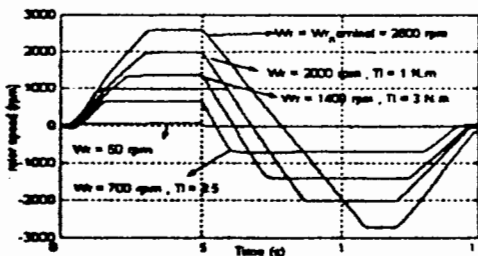
شکل (۵) منحنی سرعت به ازای تغییرات مقاومت روتور را نشان می دهد. همانطور که از شکل های (۳)، (۴) مشاهده می شود، عملکرد تخمینگر سرعت در حالات گذرا و مانا در شرایط بارگذاری و عبور از نقطه صفر بسیار مطلوب می باشد مطابق شکل (۵) عملکرد تخمینگر به ازای تغییرات مقاومت روتور مطلوب می باشد.



شکل ۹- نمودار سرعت به ازای اعمال سرعت مرجع مریعی به سیستم کنترل برداری موتور القایی با استفاده از شبکه عصبی با آموزش همزمان



شکل ۱۰- نمودار سرعت با اعمال گشتاور پله در سیستم کنترل برداری موتور القایی با استفاده از شبکه عصبی با آموزش همزمان



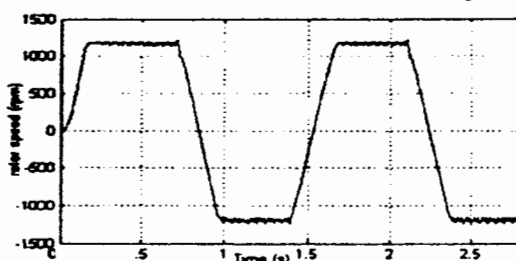
شکل ۱۰- ورودی های مختلف برای آموزش شبکه عصبی

است. سپس شبکه فوق با مجموعه ورودی های مختلف تعلیم داده شد. ورودی های آموزش شبکه باید به صورتی باشند که مهمترین حالات مختلف کارکرد موتوررا تحت پوشش فراز دهد(شکل ۱۰). این شبکه یک شبکه MLP می باشد با یک لایه مخفی می باشد. از تابع خطی در لایه خروجی و تابع سیگمویدال در لایه مخفی استفاده شده است.

بررسی مقالات ارائه شده در زمینه شبکه های عصبی نشان می دهد که بررسی پایداری شبکه های عصبی هنوز موضوع تحقیقاتی می باشد که پاسخ مناسبی برای آن یافت نشده است. علیرغم مطلب فوق عموما جهت بررسی عملکرد شبکه های عصبی از نت عملکرد کنترلر به ازای شرایط کاری مختلف که در اطلاعات آموزش گنجانده نشده است، استفاده می گردد

۴-۱- تابع شبیه سازی

شبیه سازی های گوناگونی با شرایط کاری متفاوت برای تصدیق کارایی تخمینگر عصبی سرعت انجام گرفته است. شکل (۱۱) مقدار سرعت تخمینی در تغییر جهت سرعت مرجع به شکل موج مربعی را نشان می دهد. شکل (۱۲) مقدار سرعت به ازای اعمال گشتاور بار از ۰ به ۳ نیوتن متر را نشان می دهد. شکل های (۱۳) و (۱۴) بترتیب مختصات را نشان می دهد. شکل های (۱۵) و (۱۶) مختصات سرعت نامی و سرعت به ازای تغییرات مقاومت روتور را نشان می دهد.

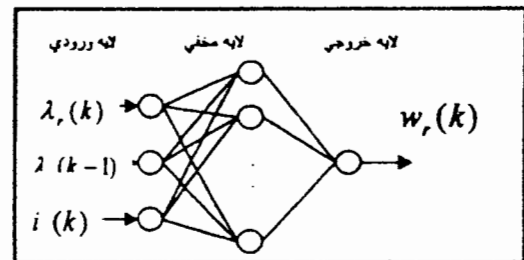


شکل ۱۱- نمودار سرعت به ازای اعمال سرعت مرجع مربعی به سیستم کنترل برداری موتور القایی با استفاده از شبکه عصبی غیر همزمان

در این قسمت تأثیر تغییر زمان نمونه بر کیفیت سرعت تخمین زده شده بوسیله شبکه عصبی با آموزش همزمان نشان داده می شود. شکل های (۶) تا (۸) بترتیب تخمین سرعت با زمان های نمونه برداری ۱، ۱۰، ۱۰، ۱، ۱ و ۰، ۰ میلی ثانیه را نشان می دهد. معانطر که لز اشکال (۶) تا (۸) مشاهده می کنید با کاهش زمان نمونه برداری دقیق تخمینگر بالاتر می رود و شکل شماره (۸) با زمان نمونه برداری ۱، ۰ میلی ثانیه دارای کیفیت تخمین سرعت مطلوبی می باشد. بنابراین زمان ۱، ۰ میلی ثانیه را به عنوان زمان نمونه برداری در نظر گرفتیم.

۴- شبیه سازی تخمین سرعت موتور القایی بدون سنسور سرعت با استفاده از شبکه عصبی با آموزش غیر همزمان

در این روش ابتدا شبکه عصبی با آموزش غیر همزمان براساس داده های نمونه برداری شده از سیستم تعلیم داده می شود. در این مقاله لز یک شبکه عصبی پرسپترون سه لایه با الگوریتم آموزش پس- انتشار (Back propagation) استفاده شده است. سرعت روتور به عنوان خروجی شبکه می باشد. بررسی رابطه (۲) نشان می دهد که ورودی های مورد نیاز شبکه جریان استاتور و شار روتور در همان لحظه ولحظه قبل برای تخمین سرعت روتور می باشد ، بعلت عدم وجود رابطه ریاضی بین سرعت روتور و گشتاور بار و گشتاور الکترومناتیکی، لز این دو پارامتر بعضان ورودی شبکه عصبی استفاده نمی گردد. در تحقیقات قبلی لز ورودی های ییشتر شامل گشتاور بار و گشتاور الکترومناتیکی مانند نیز استفاده شده است[۴]. شکل (۹) ساختار داخلی این شبکه عصبی را نشان می دهد. برای نمونه برداری از جریانها و شارها از مدار کنترل برداری موتور القایی بدون حسگر سرعت استفاده شده



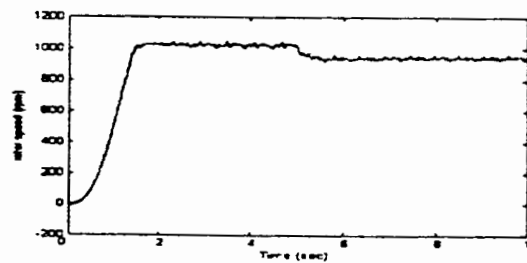
شکل ۹- ساختار داخلی شبکه عصبی

۵- نتیجه گیری

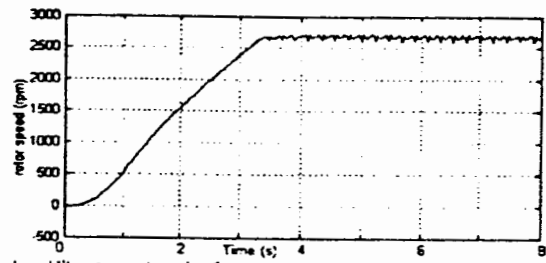
در این مقاله از شبکه عصبی در تخمین سرعت سیستم کنترل برداری موتور القایی بدون حسگر سرعت استفاده گردیده است. این تخمینگر در دو حالت آموزش همزمان و غیر همزمان مورد بررسی قرار گرفته است. نتایج حاصل از شیوه سازی با استفاده از نرم افزار Matlab Simulink حاکی از عملکرد مناسب هر دو روش در بازه های وسیع سرعت، بار گذاری و نواحی عبور از نقطه صفر می باشد. قابل ذکر است که تخمینگر سیستم با روش آموزش غیر همزمان در موقعیت مانا دارای اعوجاجاتی می باشد و این اعوجاجات دارای ۳ درصد خطأ در وضعیت مانا می باشد.

۶- مراجع

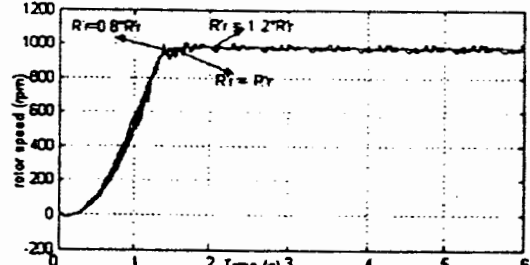
- [۱] R. Kaushik ,K. Atsou , M. Kouki, "Sensorless Control of AC Motor Drive", IEEE Press ۱۹۹۵
- [۲] H.K. Seong, S.P. Tae, T.P. Gwi, "Speed sensorless Vector Control of an Induction Motor Using Neural Network Speed Estimation", IEEE Trans. On industrial electronics Vol. ۴۸, No. ۷, June ۲۰۰۱
- [۳] Ben-Brahim L. Tadakum S., "Practical considerations for Sensorless Induction Motor Drive System", Proceedings of the ۱۸th Annual Industrial Electronics Conference of ۱۹۹۸ Society, IECON'۹۸, pp. ۱۰۰-۱۰۱
- [۴] D. Fodor , F. Ionescu, P. Delarue , D. Diana , J.P. G. Griva Six, "Neural Networks Applied for Induction Motor Speed Sensorless Estimation", Proceedings of the IEEE International Symposium on Industrial Electronics ISIE '۹۵, pp. ۱۸۱-۱۸۵, ۱۹۹۵.
- [۵] M.P. Kazmierkowski , D.L. Sobczuk, P.Z. Filipek, "Sensorless Control of Induction Motor Using a Neural Network for Speed Estimation", IEEE International Symposium on Industrial Electronics, ISIE '۹۴, pp. ۱۱۲۱-۱۱۲۶, ۱۹۹۴
- [۶] مرتضی اساعیلی، محسن نیستی، احمد غلامی، محمدعلی شرکت مصصرم "کنترل موتور القایی بدون سنسور سرعت با استفاده از شبکه عصبی" پایاً دهمین کنفرانس مهندسی برق ایران، نوبهشت ۱۳۸۷
- [۷] B.K.Bose "Power Electronics and AC Drives" Prentice-Hall, Englewood Cliffs, New Jersey ۱۹۸۶



شکل ۱۲ - نمودار سرعت با اعمال گشناوریار پله به سیستم کنترل برداری موتور القایی با استفاده از شبکه عصبی با آموزش غیر همزمان



شکل ۱۳ - نمودار سرعت نامی در سیستم کنترل برداری موتور القایی با استفاده از شبکه عصبی با آموزش غیر همزمان



شکل ۱۴- نمودار سرعت به ازای تغییرات مقاومت روتور در سیستم کنترل برداری موتور القایی با استفاده از شبکه عصبی با آموزش غیر همزمان مطابق شکل های (۱۱) الی (۱۴) سرعت تخمینی سیستم با روش آموزش غیر همزمان در موقعیت مانا دارای اعوجاجاتی می باشد. این اعوجاجات به میزان ۳ درصد بوده و در صورتی که در محدوده قابل قبول برای بار موتور باشد قابل صرف نظر کردن می باشد. بطور کلی همانطور که از اشکال فوق مشاهده می شود، عملکرد تخمینگر در حالات مانا و گفرا در شرایط بار گذاری و عبور از نقطه صفر در حالت آموزش غیر همزمان مطلوب می باشد. اما در مقایسه با روش آموزش همزمان از کیفیت تخمین ضعیف تری برخوردار می باشد. همچنین مطابق شکل (۱۴) عملکرد تخمینگر به ازای تغییرات مقاومت روتور مطلوب می باشد.

طراحی و آموزش یک شبکه عصبی خارج از خط برای کنترل بدون حسگر موتورهای القایی

علی نقدی نژاد^۱

علی دستفان^۲

مصطفی محمدیان^۳

گروه قدرت دانشکده برق و رباتیک دانشگاه صنعتی شاهروド
ali_n_n@yahoo.com

چکیده

در این مقاله یک شبکه عصبی خارج از خط برای تخمین سرعت موتور القایی بدون حسگر طراحی گردیده است. روشهای مختلف آموزش برای طراحی این شبکه عصبی به ازای تعداد تکرار معین و تعداد نمونه‌های متغیر مورد بررسی قرار گرفته است. سپس تعداد نمونه مناسب به ازای حداقل خطای در هر روش را بدست آورده‌یم، با استفاده از اطلاعات بدست آمده فوق در مرحله بعد، تعداد تکرار آموزش را به ازای تعداد نمونه بدست آمده، افزایش دادیم و الگوریتم با حداقل خطای را بدست آورده‌یم. نتایج شبیه سازی نشان می‌دهد که الگوریتم لیونبرگ-مارکوارت دارای دقت بالاتری نسبت به سایر الگوریتمها می‌باشد. همچنین نتایج این شبیه سازی تعداد لایه‌های مخفی شبکه را یک لایه و تعداد نمونه‌ها را ۳۰ عدد مشخص نمود. پس از مشخص گردیدن ساختار شبکه عصبی، این شبکه در سیستم کنترل برداری موتور القایی به عنوان تخمینگر سرعت استفاده گردید. شبیه سازی انجام شده با استفاده از نرم افزار MATLAB برنامه Simulink انجام پذیرفت. نتایج شبیه سازی نشان دهنده عملکرد مطلوب روش پیشنهادی به همراه خطای ناجز می‌باشد.

واژدهای کلیدی: موتور القایی- شبکه عصبی با آموزش غیرهمزان- تخمین سرعت.

۱- مقدمه

محركه‌های الکتریکی موتور القایی در روند عملیات کنترل خود به سرعت موتور القایی در هر لحظه نیازمندند. این سرعت بمنظور تبدیل متغیرهای مختلف (عموماً جریان و ولتاژ استاتور) از قالب مرجع استاتور به سنکرون و بالعکس بکار برده می‌شوند. همچنین در صورتیکه محركه الکتریکی بمنظور کنترل سرعت بکار رود سرعت موتور به عنوان فیدبک در حلقة کنترل سرعت بکار گمارده می‌شوند. بنابراین محاسبه سرعت روتور در محركه‌های الکتریکی الزامی است. ساده‌ترین روش اندازه گیری سرعت بوسیله حسگر سرعت (تکدر یا تاکومتر) از روی محور موتور می‌باشد. اما بکار گیری حسگر سرعت در محركه الکتریکی مشکلاتی از قبیل نصب حسگر سرعت، پائین آمدن قابلیت اطمینان سیستم، اضافه شدن هزینه حسگر سرعت و ناتوانی عملکرد محركه الکتریکی در محیط‌های کاری نامساعد را ایجاد می‌کند. بنابراین سعی می‌شود که با حذف حسگر سرعت و جایگزینی آن با یک تخمینگر سرعت از مواجه شدن با مشکلات فوق اجتناب گردد. برای این منظور تخمینگرهای سرعت متنوعی تاکنون بکار گرفته شده است که هر کدام دارای مزایا و معایب منحصر به خویش است [۱].

^۱-دانشجوی کارشناسی ارشد قدرت، دانشکده برق و رباتیک دانشگاه صنعتی شاهروド

^۲- استادیار گروه قدرت دانشکده برق و رباتیک دانشگاه صنعتی شاهرود

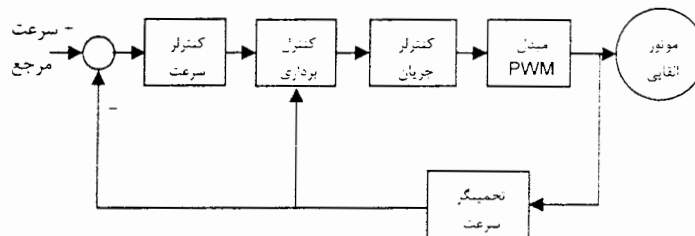
^۳- استادیار گروه قدرت دانشکده برق دانشگاه تربیت مدرس

شبکه های عصبی برگرفته از ساختار مغز انسان می باشند و بصورت لایه لایه تعریف گردیده اند که هر لایه شامل تعدادی المان به نام نرون می باشد. این لایه ها با اتصالات و وزنهای (weight) مشخص به یکدیگر مرتبط می باشند. این شبکه ها عموما برای شبیه سازی عملکرد مغز انسان در سیستمهای هوش مصنوعی مورد استفاده قرار می گیرد. شبکه های عصبی دارای مزایایی از جمله قابلیت یادگیری، تحمل خطا(Fault Tolerate) و قابل تعمیم (Generalization) می باشند. شبکه های عصبی دارای ساختارهای متفاوتی از جمله تک لایه (perceptrons)، پیش خورد (Feedforward) و پس خورد (Recurrent) می باشند. شبکه عصبی تک لایه عموما برای طبقه بندی (classification) و روش پیش خورد (بدون فیلتر داخلی) عموما برای سیستمهای غیرخطی استاتیک استفاده می گردد. روش پس خورد دارای فیدبکهای داخلی می باشد و عموما برای سیستمهای غیرخطی دینامیک استفاده می گردد. هر کدام از روشها فوق الذکر دارای الگوریتم های آموزشی متفاوتی می باشند.

در این مقاله برای تخمین سرعت در یک سیستم کنترل برداری موتور القایی بدون حسگر، از یک شبکه عصبی پیش خورد استفاده گردیده است. روشها مختلفی برای آموزش شبکه های عصبی پیش خورد وجود دارند که مهمترین آنها پس انتشار(BackPropagation) می باشد. روش پس انتشار یک روش گرادیان نزولی(gradient descent) می باشد که وزنهای سیستم براساس گرادیان خطای شبکه اصلاح می گردد. عموما زمان آموزش شبکه پس انتشار طولانی می باشد. روشها مجدیدی نیز ارایه گردیده اند که سبب کاهش زمان آموزش روش پس انتشار می گردد. در این مقاله با استفاده از یک الگوریتم کامپیوتویی، روشها مختلف آموزش پس انتشار و تعداد نرون های این شبکه، مشخص گردیده اند. این شبکه در تخمین سرعت سیستم کنترل سرعت موتور القایی بدون حسگر استفاده گردیده است.

۲- ساختار سیستم

ساختار کنترل برداری موتور القایی بدون حسگر در شکل(۱) نشان داده شده است. در این سیستم، سرعت مرجع با سرعت تخمینی مقایسه می گردد و خطای سرعت به کنترلر سرعت که یک کنترلر خطی PI، وارد می گردد. خروجی کنترلر سرعت به همراه سرعت تخمین زده شده اطلاعات مورد نیاز را در اختیار بلوک کنترل برداری که یک کنترلر غیرخطی می باشد قرار می دهد. خروجی کنترلر برداری که فرمانهای جریان استاتور موتور القایی می باشد، توسط بلوک کنترلر جریان (کنترلر PI) به فرمانهای ولتاژ موتور تبدیل می گردد. این فرمانها نهایتاً توسط بلوک PWM شامل یک یکسوکننده و ایسورتر می باشد به موتور اعمال می گردد. این سیستم عموما در کنترل حرکت با دینامیک سریع در صنعت مورد استفاده قرار می گیرد. لازم به ذکر است که ضرایب PI کنترلهای سرعت و جریان با استفاده از روش سعی و خطا بدست آمده اند.



شکل ۱- بلوک دیگرام سیستم کنترل برداری غیرمستقیم بدون حسگرسرعت

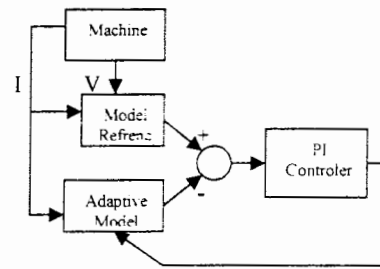
روشهای متفاوتی برای تخمین سرعت روتور تاکنون پیشنهاد گردیده است [۱]. عموما این روشها بر اساس مقایسه معادلات شار حوزت می پذیرند. از مقایسه خطای بین معادلات جریانی و ولتاژی شار، سرعت روتور تعیین می گردد. (شکل ۲) این معادلات عبارتند از:

$$\frac{d\overline{\lambda_r^s}}{dt} = \frac{L_r}{L_m} \left(\overline{V_s^s} - R_s \overline{i_s^s} - \sigma L_s \frac{di_s^s}{dt} \right) \quad (1)$$

$$\frac{d\overline{\lambda_r^s}}{dt} = - \left(\frac{1}{T_r} I + w_r J \right) \overline{\lambda_r^s} + \frac{L_m}{T_r} \overline{i_s^s} \quad (2)$$

$$\sigma = 1 - \frac{L_m^2}{L_r L_s} \quad T_r = \frac{L_r}{R_r} \quad \overline{V_s^s} = \begin{bmatrix} V_{ds}^s \\ V_{qs}^s \end{bmatrix}, \overline{\lambda_r^s} = \begin{bmatrix} \lambda_{dr}^s \\ \lambda_{qr}^s \end{bmatrix}, \overline{i_s^s} = \begin{bmatrix} i_{ds}^s \\ i_{qs}^s \end{bmatrix}, J = \begin{bmatrix} 0 & -1 \\ 1 & 0 \end{bmatrix}, I = \begin{bmatrix} 1 & 0 \\ 0 & 1 \end{bmatrix}$$

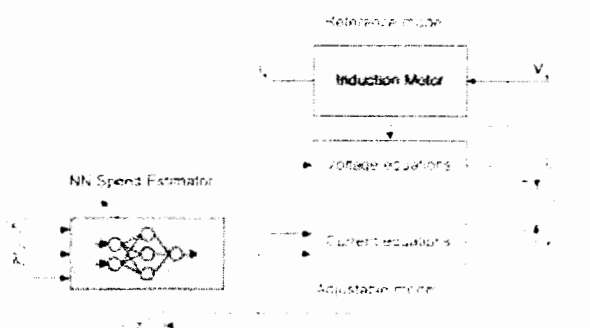
ضریب کمبود می باشد. که در آن $\overline{\lambda_r^s}$ شار روتور، V_s^s ولتاژ، I_s^s بترتیب: اندوکتانسیهای استاتور، روتور و مغناطیس شوندگی می باشند. معادله (1) وابسته به سرعت روتور نمی باشد و شار واقعی روتور را تولید می کند . معادله (2) وابسته به سرعت روتور می باشد.



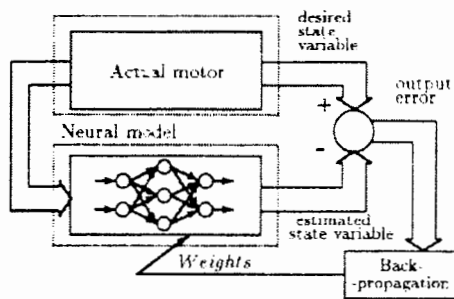
شکل ۲- تخمین سرعت با مقایسه معادلات جریانی و ولتاژی شار

استفاده از شبکه عصبی در روش فوق الذکر به دو صورت امکان پذیر می باشد. تخمینگر عصبی می تواند جایگزین کنترلر خطی (PI) شود [۲.۶] (شکل ۳) و یا جایگزین کنترلر خطی PI و معادله جریانی شار گردد [۳-۵] (شکل ۴). در این مقاله از روش دوم استفاده گردیده است.

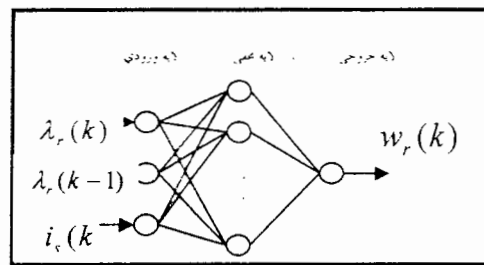
این شبکه عصبی را می توان به دو صورت خارج از خط (Offline) و روی خط (Online) طراحی و آموزش داد. مقایسه این دو تخمینگر توسط نویسندهای این مقاله قبل از اینه گردیده است [۷]. در این مقاله نحوه طراحی و آموزش شبکه عصبی خارج از خط به عنوان تخمینگر سرعت بررسی گردیده است. بررسی رابطه (۲) نشان می دهد که ورودی های مورد نیاز شبکه عصبی، جریان استاتور و شار روتور در همان لحظه و لحظه قبیل می باشد [۷]. شکل (۵) ورودی ها و خروجی های مورد نیاز شبکه عصبی را نشان می دهد.



شکل ۳- تخمینگر عصبی جایگزین کنترلر خطی (PI)



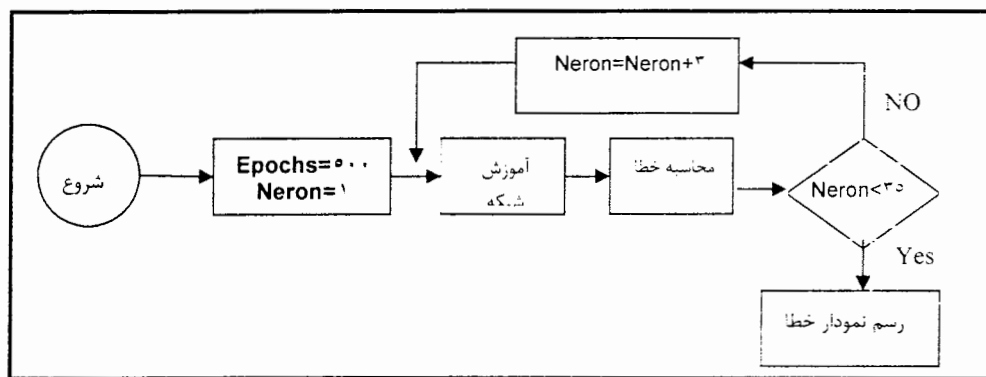
شکل ۴ - تخمینگر عصبی جایگزین کنترل خطی (PI) و معادله جریانی شار



شکل ۵ - ساختار ورودیها و خروجی شبکه عصبی خارج از خط

۳- طراحی شبکه عصبی خارج از خط

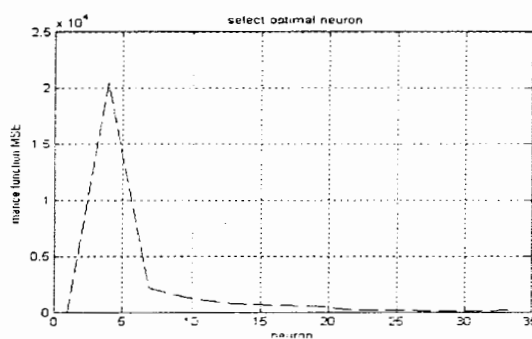
روش های پس انتشار متفاوتی برای آموزش عصبی خارج از خط وجود دارد. این روشها دارای نحوه محاسبات، سرعت و حافظه مورد نیاز متفاوتی می باشد. استفاده از هر کدام از این روشها بستگی به شرایط و سیستم مورد استفاده دارد. برای انتخاب بهترین روش آموزش و صراحی بهینه ساختار شبکه عصبی یک برنامه برنامه کامپیوتر طراحی گردیده است. این برنامه کامپیوتری بطور اتوماتیک کمترین تعداد نرون مورد نیاز و بهترین روش آموزش را تعیین می کند. این انتخاب بر اساس کمترین خطای شبکه عصبی صورت پذیرفته است. نحوه عملکرد این برنامه در فلوچارت شکل (۶) نمایش داده شده است. در این فلوچارت تعداد تکرار ۵۰۰ انتخاب گردیده است. سپس به ازا تعدد نرونها مختلف شبکه عصبی آموزش داده شده است و خطای نهایی ذخیره گردیده است. در هر مرحله (iteration) این فلوچارت تعداد نرونها به اندازه ۳ اضافه می گردد و این عمل تا ماکریتم ۳۵ ادامه پیدا می نماید. در پایان میزان خطای تعداد نرونی متفاوت در یک شکل رسم می گردد. این الگوریتم



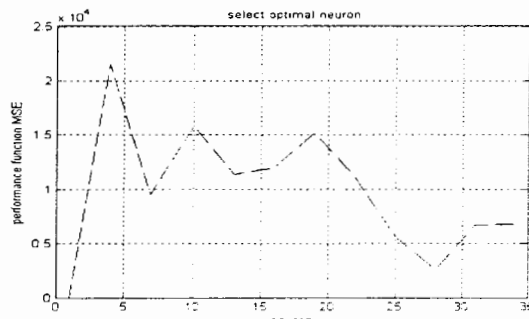
شکل ۶ - فلوچارت محاسبه بهترین الگوریتم

برای روش‌های مختلف پس انتشار شامل پس انتشار ارجاعی (Resilient backpropagation)، مارکوارت-لیونبرگ (Basic Fletcher-Reeves conjugate gradient)، گرادین درهم فلچر (Levenberg-Marquardt) و گرادین درهم (gradient descent) انجام پذیرفته است. نتایج این مقایسه در شکل‌های (۷) الی (۱۰) نشان داده شده است.

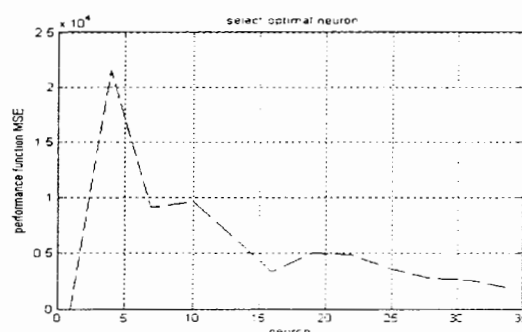
در ابتدا نمودار خطای هر روش را با تعداد تکرار ۵۰ بست آوردم. با استفاده از نمودار فوق تعداد نرون‌های ازای حداقل خطای را بدست آوردیم. در مرحله بعد، تعداد تکرار آموزش را به ازای تعداد نرون بدست آمده، به ۲۰۰۰ افزایش دادیم و الگوریتم با حداقل خطای را بدست آوردیم. نتایج شبیه سازی نشان می‌دهد که الگوریتم لیونبرگ-مارکوارت دارای دقت بالاتری نسبت به سایر الگوریتمها می‌باشد. از آنجاییکه شرایط اولیه آموزش بصورت تصادفی (random) انتخاب گردیده است. مراحل فوق به ازای شرایط اولیه مختلفی تکرار گردیده است که نتایج آن موید انتخاب روش فوق می‌باشد. لازم به ذکر است که اطلاعات آموزش (test data) به نحوی انتخاب گردیده است که نقاط کار مختلف موتور را در برگیرد. شکل (۱۱) نمودار خطای روش فوق با ۲۰۰۰ تکرار و ۳۰ نرون را نشان می‌دهد. مقدار خطای در حدود ۲۰ می‌باشد.



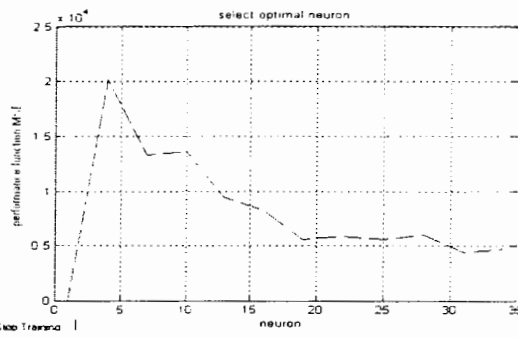
شکل ۷- نمودار خطای با الگوریتم Resilient backpropagation



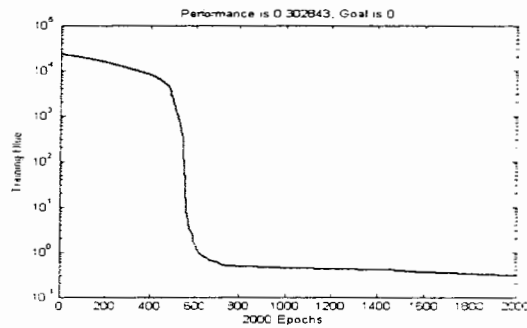
شکل ۸- نمودار خطای با الگوریتم Levenberg-Marquardt



شکل ۹- نمودار خطای با الگوریتم Basic gradient descent



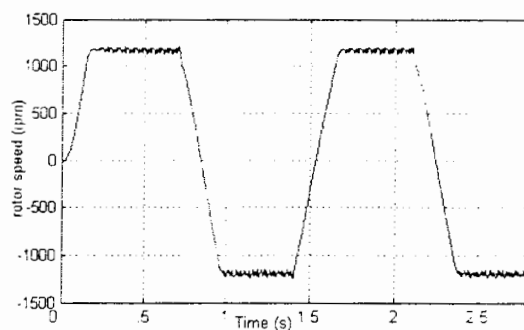
شکل ۱۰- نمودار خطای الگوریتم Fletcher- Reeves conjugate gradient



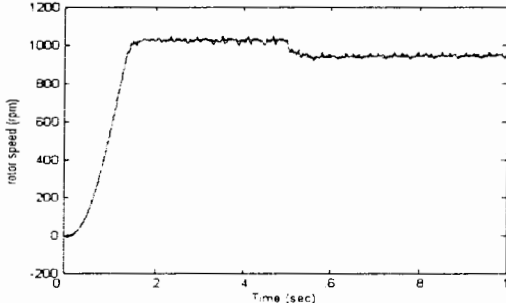
شکل ۱۱- نمودار خطای الگوریتم Levenberg-Marquardt به ازای ۲۰۰۰ تکرار و ۳۰ نرون

۴- نتایج شبیه سازی

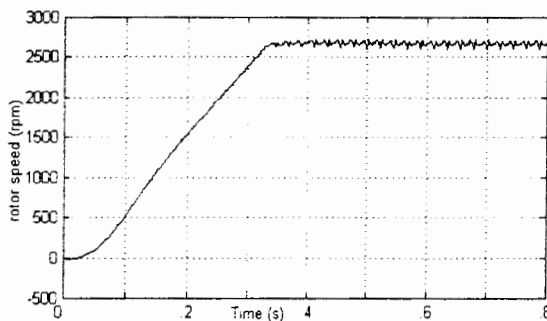
شبیه سازی های گوناگونی با شرایط کاری متفاوت برای تصدیق کارایی تخمینگر عصبی سرعت انجام گرفته است. شکل (۱۲) مقدار سرعت تخمینی در تغییر جهت سرعت مرجع به شکل موج مربعی را نشان می دهد. شکل (۱۳) منحنی سرعت به ازای اعمال گستاورپله بار از 0° به 3° نیوتن متر را نشان می دهد. شکل های (۱۴) و (۱۵) بترتیب منحنی های سرعت نامی و سرعت به ازی تغییرات مقاومت روتور را نشان می دهد مطابق شکل های (۱۲) الی (۱۵) سرعت تخمینی سیستم با روش آموزش خارج از خط در موقعیت مانا دارای اعوجاجاتی می باشد. این اعوجاجات به میزان ۳ درصد بوده و درصورتیکه در محدوده قابل قبول برای بار موتور باشد، قابل صرفنظر کردن می باشد. بطور کلی همانطور که از اشکال فوق مشاهده می شود، عملکرد تخمینگر در حالات مانا و گذرا در شرایط بارگذاری و عبور از نقطه صفردر حالت آموزش غیرهمزان مطلوب می باشد.



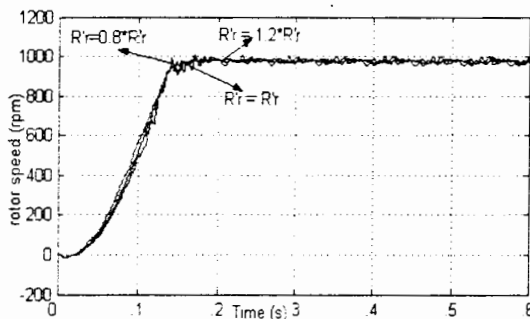
شکل ۱۲- نمودار سرعت به ازای اعمال سرعت مرجع مربعی به سیستم کنترل برداری موتورالقایی با استفاده از شبکه عصبی



شکل ۱۳ - نمودار سرعت با اعمال گشتاوربار پله به کنترل برداری موتور القایی با استفاده از شبکه عصبی



شکل ۱۴ - نمودار سرعت نامی در سیستم کنترل برداری موتور القایی با استفاده از شبکه عصبی



شکل ۱۵ - نمودار سرعت به ازای تغییرات مقاومت رotor در سیستم کنترل برداری موتور القایی با استفاده از شبکه عصبی

۵- نتیجه گیری

در این مقاله طراحی یک شبکه عصبی خارج از خط جهت تخمین سرعت موتور القایی با کنترل برداری و بدون حسگر انجام گرفته است. روش های مختلف آموزش پس انتشار، همین تعداد نمونهای بهینه جهت رسیدن به حداقل خطای آموزش توسط یک برنامه کامپیوتری بررسی گردیده است. نتایج شبیه سازی حاکی از عملکرد با دقت بالاتر روش Levenberg-Marquardt، با یک لایه مخفی و ۳۰ نرون می باشد. ماکریتم خطای خروجی سرعت تخمین زده با این روش ۳ درصد اندازه گیری شده است. نتایج حاصل از شبیه سازی حاکی از عملکرد مطلوب سیستم طراحی شده می باشد.

مراجع

۱. R. Kaushik ,K. Atsou , M. Kouki, "Sensorless Control of AC Motor Drive", IEEE Press ۱۹۹۶
۲. H.K. Seong, S.P. Tae, T.P. Gwi, "Speed sensorless Vector Control of an Induction Motor Using Neural Network Speed Estimation", IEEE Trans On industrial electronics Vol. ۴۸, No. ۳, June ۲۰۰۱
۳. Ben-Brahim L. Tadakum S., "Practical considerations for Sensorless Induction Motor Drive System", Proceedings of the ۲۴th Annual Conference of Industrial Electronics Society,IECON'۹۸,pp. ۱۰۰۲- ۱۰۰۷, ۱۹۹۸
۴. D. Fodor , F. Ionescu, P. Delarue , D. Diana , J.P.G. Griva Six, "Neural Networks Applied for Induction Motor Speed Sensorless Estimation", Proceedings of the IEEE International Symposium on Industrial Electronics ISIE '۹۵, pp. ۱۸۱-۱۸۶, ۱۹۹۵.
۵. M.P. Kazmierkowski , D.L. Sobczuk, P.Z. Filipek, "Sensorless Control of Induction Motor Using a Neural Network for Speed Estimation", IEEE International Symposium on Industrial Electronics, ISIE '۹۷, pp. ۱۲۴۲- ۱۲۴۶, ۱۹۹۷
۶. مرتضی اسماعیلی، محسن نیاستی، احمد غلامی، محمدعلی شرکت معموم کنترل موتور القایی بدون سنسور سرعت با استفاده از شبکه های عصبی، یازدهمین کنفرانس مهندسی برق ایران، اردیبهشت ۱۳۸۲
۷. علی نقדי نژاد، علی دستفان، مصطفی محمدیان تخمین سرعت در کنترل برداری موتور القایی بدون حسگر سرعت با استفاده از شبکه های عصبی، سیزدهمین کنفرانس مهندسی برق ایران، اردیبهشت ۱۳۸۴

Abstract:

In high performance control of induction machines, Rotor speed is an essential parameter. Measurement of speed by using speed sensors from the motor shaft is the simplest way. But using speed sensors in electrical drives may increase cost, reduce system performance and introduce noise to the system. Thus it is important to replace the speed sensors with speed estimator for solving these problems.

Nowadays, neural network are used to estimate different events in engineering systems. As induction machines have complex behaviors and an exact linear model is not available. Therefore neural network is very suitable for this type of systems as it is based on statistic information and can learn behavior from system.

In this thesis, first, indirect vector control of a 1.5 KW induction machine is designed and simulated. Then performance of this system is checked in different condition. Different method of speed estimation, such as neural network and model reference adaptive system (MRAS) estimator, are designed and simulated for this induction machine. The neural network was trained online and offline and its performance have been evaluated. Simulation results show the good performance of the designed speed estimator used in vector control of induction machine.

Key Words: Induction machine, Vector control, Neural network, Speed estimator

University of Shahrood

Neural Network control of sensorless vector control of
Induction machines

By: Ali Naghdinezhad

Under Supervision of dr. Ali Dastfan

September 2005

